



UNIVERSIDAD TECNOLÓGICA NACIONAL
FACULTAD REGIONAL VENADO TUERTO
DEPARTAMENTO INGENIERÍA ELECTROMECAÁNICA

PROYECTO FINAL N°36

**DISEÑO, CÁLCULO Y DIMENSIONAMIENTO
DE UN PUENTE GRÚA**

ALUMNOS:

AGUIRRE, ALEJANDRO OMAR

MEDEI, RICARDO URIEL

DOCENTES:

ING. ALI, DANIEL

ING. FERREYRA, DANIEL



ABRIL 2018

MEMORIA DESCRIPTIVA

El presente proyecto tiene como objetivo la realización del diseño y cálculo mecánico de un puente grúa birriel, el cual se empleará dentro de una empresa metalúrgica. Dicha máquina tendrá las siguientes dimensiones:

- Altura útil de 6 m
- Longitud de 25 m
- Ancho de 10m.

La carga máxima de elevación será de 5000 kg. Hemos decidido utilizar un sistema birriel con el que se logra no solo mayor estabilidad estructural de la máquina, sino que también se reducen notablemente la sección de los perfiles normalizados utilizados en las vigas principales, secundarias, y componentes del mecanismo de avance del puente.

La selección del cable de acero la realizamos según metodología de cálculo de la norma DIN 4130. Al utilizar un sistema de cuatro ramales la carga máxima soportada por cada ramal será de 1250 kg, con esto se obtiene reducir la sección del cable de acero, diámetro del tambor y su consiguiente disminución de la relación de transmisión del reductor, haciéndose posible utilizar un reductor más liviano.

En cuanto a los cálculos estructurales, para el carro de traslación se han utilizado perfiles cuadrados normalizados; para las vigas principales, secundarias y columnas perfiles IPN estandarizados que optimizan los tiempos de fabricación y reducen el costo de la máquina.

Para la seguridad de los operarios e instalaciones, el puente contará con motores equipados con freno electromagnético, limitador de carga máxima, finales de carreras en los desplazamientos de elevación, traslación del carro y avance del puente, además, tendrá tres rangos de velocidades de movimiento en función al peso de la carga.

El resultado final de éste proyecto, será el cálculo mecánico de un puente grúa birriel, hecho a medida, para satisfacer las necesidades concretas de una empresa metalúrgica.

- Los planos de circuitos de potencia y comando, programación del PLC, selección de componentes eléctricos se encuentran en el proyecto de la cátedra de automatización y control industrial.

ÍNDICE

| | |
|--|----------|
| DISEÑO Y CÁLCULO | 1 |
| 1. INTRODUCCIÓN | 2 |
| 1.1 Descripción general de los componentes del puente grúa | 2 |
| 1.2 Prestaciones del puente grúa | 3 |
| 1.3 Movimientos del puente grúa | 4 |
| 2. CÁLCULO DEL MECANISMO DE IZAJE | 5 |
| 2.1 Cálculo del motor de izaje | 5 |
| 2.2 Adopción del cable | 5 |
| 2.3 Cálculo del diámetro del tambor | 6 |
| 2.4 Cálculo del número de espiras. Largo del cable | 6 |
| 2.5 Paso de la hélice. Ángulo de elevación | 6 |
| 2.6 Radio de la espira | 7 |
| 2.7 Pestaña del tambor | 7 |
| 2.8 Separación S' | 7 |
| 2.9 Longitud del tambor | 7 |
| 2.10 Velocidad angular del tambor | 7 |
| 2.11 Cálculo del eje del tambor | 8 |
| 2.12 Cálculo de la cascara del tambor | 9 |
| 2.13 Selección de rodamiento tambor | 10 |
| 2.14 Selección caja para rodamiento | 10 |
| 2.15 Cálculo de las chavetas eje tambor | 11 |
| 2.16 Selección del reductor | 12 |
| 2.17 Diseño de la polea del gancho | 12 |
| 2.18 Selección del gancho | 13 |
| 2.19 Cálculo del eje de las poleas del gancho | 14 |
| 2.20 Selección de rodamientos poleas | 15 |
| 2.21 Cálculo eje polea de compensación | 16 |
| 2.22 Cálculo bulón polea de compensación | 17 |
| 2.23 Cálculo diámetro de masa sujeción polea compensación | 18 |
| 2.24 Espesor chapa soporte polea compensación y gancho | 19 |
| 2.25 Sistema guía cable y sujeción del cable al tambor | 19 |
| 2.26 Cálculo del peso del sistema de izaje | 21 |

| | |
|--|-----------|
| 3. CÁLCULO DEL MECANISMO DEL TRASLACIÓN DEL CARRO | 22 |
| 3.1 Cálculo estructural del carro | 22 |
| 3.2 Cálculo del eje de la rueda del carro | 34 |
| 3.3 Verificación a la compresión de la rueda del carro | 35 |
| 3.4 Cálculo de la potencia del motor de traslación del carro | 36 |
| 3.5 Selección de rodamientos de los ejes del carro | 37 |
| 3.6 Cálculo chavetas ejes del carro | 37 |
| 3.7 Cálculo estructural de las vigas principales | 39 |
| 3.8 Verificación a la compresión del perfil guía carril de traslación del carro | 40 |
| 3.9 Cálculo del peso del sistema de traslación del carro | 41 |
| 3.10 Verificación peso estimado en cálculo ítem 26 | 41 |
| 4. CÁLCULO DEL MECANISMO DE TRASLACIÓN DEL BIRRIEL | 42 |
| 4.1 Cálculo diámetro del eje de las testeras | 42 |
| 4.2 Cálculo rueda traslación birriel | 43 |
| 4.3 Verificación por compresión perfil guía carril de traslación de las testeras | 44 |
| 4.4 Selección de rodamientos de los ejes de las testeras | 45 |
| 4.5 Cálculo motorreductor de las testeras | 45 |
| 4.6 Cálculo chaveta eje testeras | 47 |
| 4.7 Cálculo bulones unión birriel-testeras | 48 |
| 4.8 Cálculo espesor placa soporte viga principal | 48 |
| 4.9 Cálculo estructural de las testeras | 49 |
| 4.10 Cálculo estructural de las vigas carrileras de las testeras | 50 |
| 4.11 Cálculo del perfil de las columnas | 51 |
| 4.12 Cálculo del peso del mecanismo de traslación del birriel | 52 |
| 4.13 Verificación peso estimado en cálculo ítem 34 | 53 |
| 5. CONCLUSIÓN | 54 |
| PLANIMETRÍA | 55 |
| ANEXOS, CATÁLOGOS Y NORMAS | |

DISEÑO Y CÁLCULO

1. INTRODUCCIÓN

Un puente grúa es un aparato de elevación y transporte; una de las principales aplicaciones del cual es el transporte de diferentes materiales dentro del taller. Gracias a que circulan por vías elevadas, al contrario de lo que sucede con otras clases de grúas (por ejemplo, las grúas pórtico o las giratorias) dejan libre toda la superficie del taller, de modo que el trabajo y el tránsito sobre el suelo puede efectuarse sin estorbos.

1.1 Descripción general de los componentes del puente grúa

Los principales componentes de un puente grúa son:

Basidór: consta de un par de vigas transversales en dirección a la nave (vigas principales) y de dos vigas longitudinales en dirección a la luz de la nave (vigas secundarias), que sirven para el avance de las primeras.

Mecanismo de elevación: conjunto de motor y reductor (sistema de poleas y cables destinados a variar fuerzas y velocidades) que se aplican en el movimiento vertical de la carga.

Mecanismo de traslación del carro: motorreductor que se aplica en el movimiento transversal del carro.

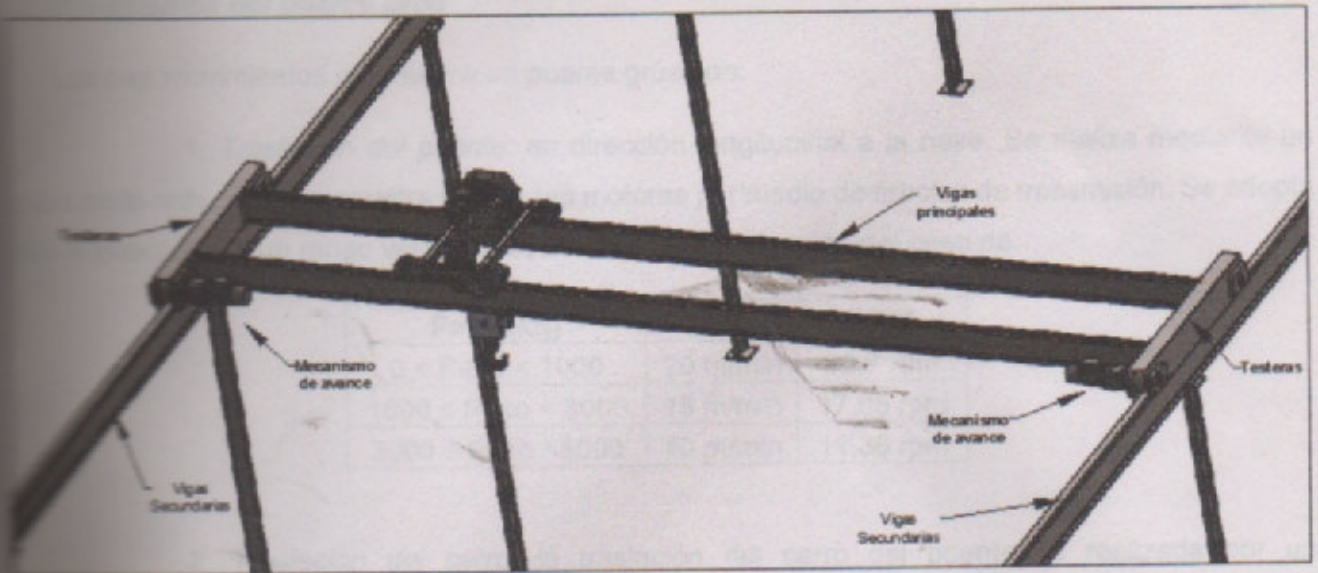
Mecanismo de avance del puente: conjunto de motores que incluye los testeros como estructuras portantes que incorporan este mecanismo para el movimiento longitudinal de la grúa.

Camino de rodadura: elemento estructural por el que se desplaza longitudinalmente la grúa.

Caja colgante: dispositivo eléctrico o electrónico unido físicamente mediante una manguera de cables eléctricos a la grúa, para el manejo de la misma desde el exterior de la cabina.

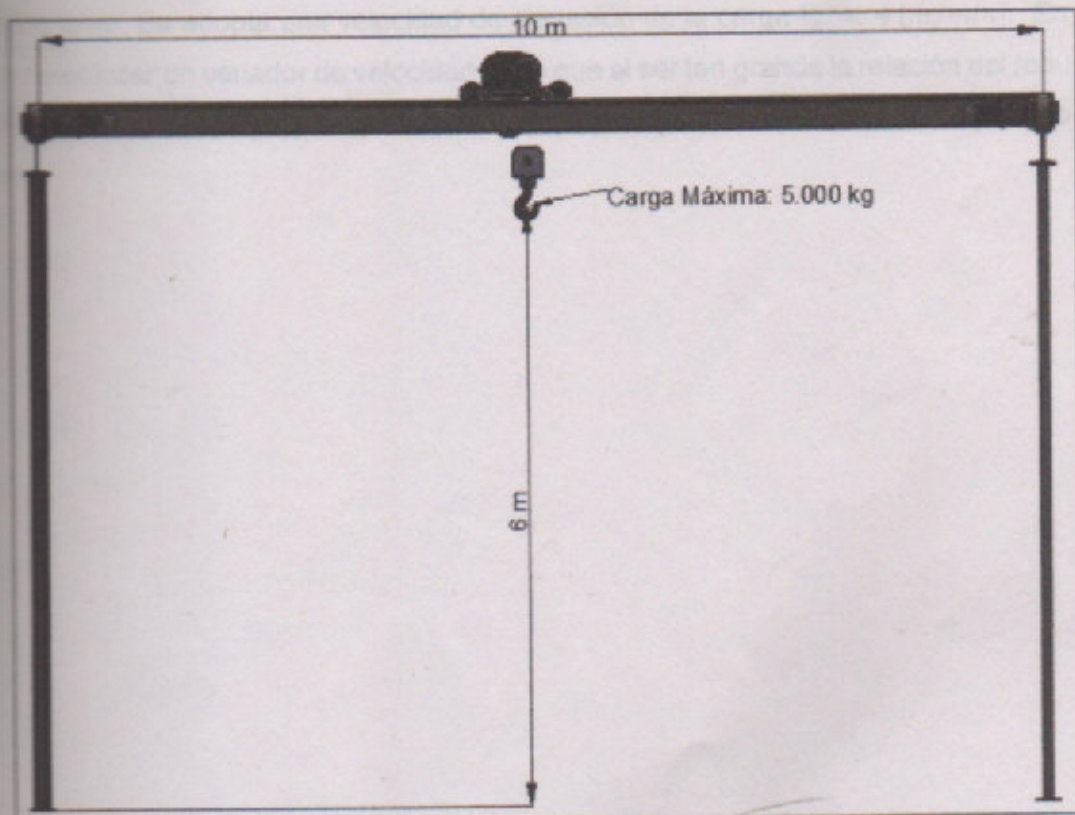
Comando remoto: dispositivo electrónico inalámbrico (sin unión física a la grúa), para el manejo de la grúa.





1.2 Prestaciones del puente grúa

Dimensiones principales del puente grúa: las dimensiones del puente grúa están determinadas principalmente por el uso que se le va a dar, que como ya dijimos será empleado principalmente para la manipulación de la materia prima, como así también para un eventual manipuleo de productos semi-elaborados y terminados, la luz del puente grúa (separación entre vigas testeras o laterales del puente grúa) será de 10 metros de luz, altura de elevación 6 metros y una carga máxima de 5000 kg.



1.3 Movimientos del puente grúa

Los tres movimientos que realiza un puente grúa son:

1. *Traslación del puente*: en dirección longitudinal a la nave. Se realiza mediante un grupo moto-reductor, que arrastra las ruedas motoras por medio de árboles de transmisión. Se adopta para el puente grúa un rango velocidades de traslación en función del peso de:

| Peso (kg) | Vt | RPM |
|--------------------------------|----------|-----------|
| $0 < \text{Peso} < 1000$ | 20 m/min | 22,7 rpm |
| $1000 \leq \text{Peso} < 3000$ | 15 m/min | 17,05 rpm |
| $3000 \leq \text{Peso} < 5000$ | 10 m/min | 11,36 rpm |

2. *Traslación del carro*: la traslación del carro del puente es realizada por un motoreductor, al igual que en la traslación del puente, se adopta un rango de velocidades en función del peso de:

| Peso (kg) | Vt | RPM |
|--------------------------------|----------|-----------|
| $0 < \text{Peso} < 1000$ | 16 m/min | 28,64 rpm |
| $1000 \leq \text{Peso} < 3000$ | 12 m/min | 21,22 rpm |
| $3000 \leq \text{Peso} < 5000$ | 8 m/min | 14,14 rpm |

3. *Elevación - descenso*: la carga es subida o bajada por efecto del motoreductor y sistema de izaje. Se adopta una velocidad de elevación de la carga $V_e = 4 [m/min]$. En este caso decidimos no colocar un variador de velocidad dado que al ser tan grande la relación del reductor (50/1) y la altura es relativamente pequeña, consideré que no se justifica colocar este dispositivo para este movimiento.

2. CALCULO DEL MECANISMO DE IZAJE

2.1 Cálculo del motor de izaje

$$F = 5000 \text{ kg}$$

$$v = 4 \frac{\text{m}}{\text{min}} = \frac{1 \text{ m}}{15 \text{ s}}$$

$$\eta = 0,8$$



La fuerza $F = 5000 \text{ kg}$ debido a que el sistema de izaje cuenta con cuatro ramales, por lo que la tensión del cable a enrollar es la cuarta parte de la carga máxima. Por el mismo motivo la velocidad del cable es 4 veces la de la carga.

$$N = \frac{\frac{F}{4} \times V}{75 \times \eta} = \frac{5000 \text{ kg} \times \frac{4}{15} \text{ m/s}}{75 \times 0,8}$$

$$\Rightarrow N = 5,55 \text{ HP}$$

Adoptamos motor Czerweny 7,5 HP de 6 Polos 950 RPM
con freno electromagnético

2.2 Adopción del cable

La norma DIN 4130 recoge las reglas para el dimensionamiento de los cables, basadas en ensayos y experiencias prácticas. De dicha norma obtenemos el coeficiente $k = 0,32$ a $0,34$.

$$d = k \times \sqrt{F}$$

$$d = 0,34 \times \sqrt{1250}$$

$$\Rightarrow d = 12,02 \text{ mm}$$

De catálogo de cables IPH:

-Cable 6x19 Alma de Fibra

-Diámetro: 12,7 mm

-Peso: 0,62 kg/m

-Carga Mínima de Ruptura (CMR): 9710 kg

-Carga de trabajo: 1385 kg

-Antigratorio

23. Cálculo del diámetro del tambor

$C = 7 - 8$ (Norma DIN 4130)

$F = 1250 \text{ Kg}$

$$D = C \times \sqrt{F}$$

$$D = 7 \times \sqrt{1250}$$

$$\Rightarrow D = 247,48 \text{ mm}$$

Adoptamos $D = 250 \text{ mm}$

24. Cálculo del número de espiras. Largo del cable

$h = 6 \text{ m}$

$d = 12,7 \text{ mm}$

$N =$ espiras adicionales para no arrollar todo el cable

$$h = 2,5 \times 12,7 \text{ mm}$$

$$L = 4 \times h + 2(\pi \times D)$$

$$L = 4 \times 6 \text{ m} + 2(\pi \times 0,25 \text{ m})$$

$$L = 25,57 \text{ m}$$

$$N = \frac{L}{\pi \times D} + 2$$

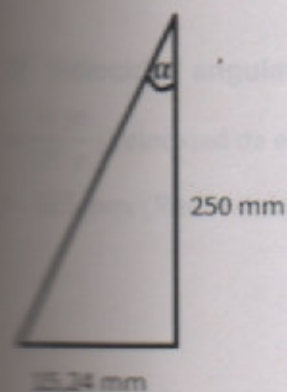
$$N = \frac{25,57 \text{ m}}{\pi \times 0,25 \text{ m}} + 2$$

$$\Rightarrow N = 33,55$$

Adoptamos 34 espiras

25. Paso de la hélice. Ángulo de elevación

$\alpha = 4^\circ$



$$S = 1,2 \times d$$

$$S = 1,2 \times 12,7 \text{ mm}$$

$$\Rightarrow S = 15,24 \text{ mm}$$

$$\text{Tg } \alpha = \frac{15,24 \text{ mm}}{250 \text{ mm}}$$

$$\alpha = \text{Arc Tg} \left(\frac{15,24 \text{ mm}}{250 \text{ mm}} \right)$$

$$\alpha = 3,48^\circ \leq \alpha_{\text{permitido}} \rightarrow \text{Verifica}$$

226 Radio de la espira

 $d = 12,7 \text{ mm}$

$$r = \frac{d}{2} + (1 + 3)$$

$$r = \frac{12,7 \text{ mm}}{2} + (1 + 3)$$

$$r = \frac{12,7 \text{ mm}}{2} + 2$$

$$\Rightarrow r = 8,35 \text{ mm}$$

227 Pestaña del tambor

 $d = 12,7 \text{ mm}$

$$h = 2,5 \times d$$

$$h = 2,5 \times 12,7 \text{ mm}$$

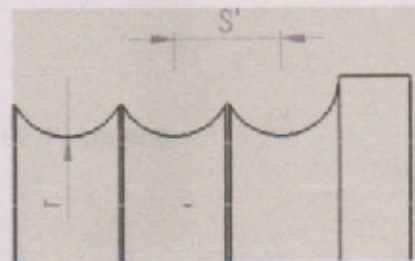
$$\Rightarrow h = 31,75 \text{ mm}$$

Adoptamos $h = 32 \text{ mm}$ 228 Separación S' $d = 12,7 \text{ mm}$

$$S' = d + (1 + 3)$$

$$S' = 12,7 \text{ mm} + 3$$

$$\Rightarrow S' = 15,7 \text{ mm}$$



229 Longitud del tambor

 $S = 15,24 \text{ mm}$ (Paso de la hélice) $N = 34$ (Número de espiras)

$$L = S \times N$$

$$L = 15,24 \text{ mm} \times 34$$

$$\Rightarrow L = 518,16 \text{ mm}$$

Adoptamos $L = 520 \text{ mm}$

230 Velocidad angular del tambor

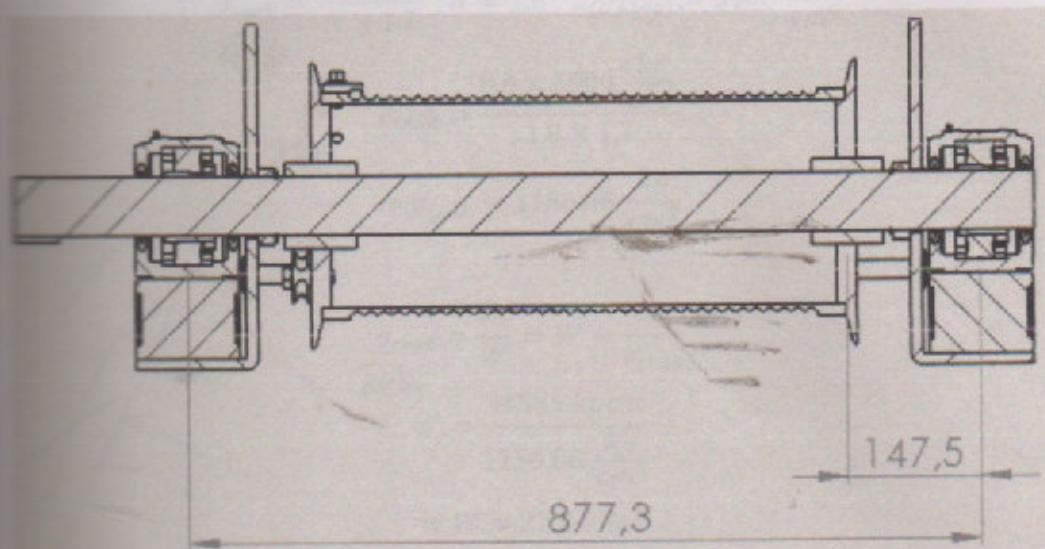
 $V = \frac{4 \text{ m}}{15 \text{ s}}$ (Velocidad de elevación) $r = 125 \text{ mm}$ (Radio del tambor)

$$V_t = \omega \times r \Rightarrow \omega = \frac{V_t}{r}$$

$$\omega = \frac{4 \text{ m}}{15 \text{ s}} = \frac{32 \text{ rad}}{15 \text{ s}} \times \frac{1 \text{ rev}}{2 \times \pi \times \text{rad}} \times \frac{60 \text{ s}}{1 \text{ min}}$$

$$\Rightarrow \omega = 20,37 \text{ rpm}$$

Cálculo del eje del tambor



Material: Acero SAE 4140

$$F_A + F_B - 1250 \text{ kg} = 0$$

$$F_A = 1250 \text{ kg} - 625 \text{ kg}$$

$$\Rightarrow F_A = 625 \text{ kg}$$

Cálculo de la reacción del tambor

$$M_A = 1250 \text{ kg} \times \frac{87,73 \text{ cm}}{2} - F_B \times 87,73 \text{ cm} = 0$$

$$F_B = \frac{47156,25 \text{ kgcm}}{87,73 \text{ cm}}$$

$$\Rightarrow F_B = 625 \text{ kg}$$

$$M_f = F_B \times \frac{87,73 \text{ cm}}{2}$$

$$M_f = 625 \text{ kg} \times \frac{87,73 \text{ cm}}{2}$$

$$\Rightarrow M_f = 27415 \text{ kgcm}$$

$$M_t = 1250 \text{ kg} \times r_{\text{Tambor}}$$

$$M_t = 1250 \text{ kg} \times 12,5 \text{ cm}$$

$$\Rightarrow M_t = 15625 \text{ kgcm}$$

$$M_c = \sqrt{M_f^2 + M_t^2}$$

$$M_c = \sqrt{27415^2 + 15625^2} [\text{kgcm}]^2$$

$$\Rightarrow M_c = 31555 \text{ kgcm}$$

$$\sigma_{trab} = \frac{0,6 \times \sigma_{fl}}{N \times 1,7}; N = 1,8; \sigma_{fl(4140)} = 5900 \frac{kg}{cm^2}$$

$$\sigma_{trab} = \frac{0,6 \times 5900 \frac{kg}{cm^2}}{1,8 \times 1,7}$$

$$\Rightarrow \sigma_{trab} = 1156,86 \frac{kg}{cm^2}$$

$$\sigma_{trab} = \frac{M_c}{W} \Rightarrow W = \frac{M_c}{\sigma_{trab}}$$

$$W = \frac{31555 \text{ kgcm}}{1156,86 \frac{kg}{cm^2}}$$

$$\Rightarrow W = 27,24 \text{ cm}^3$$

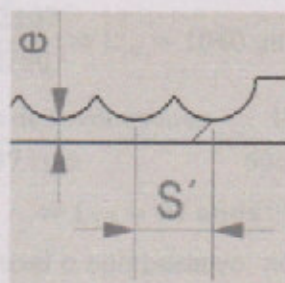
$$W = \frac{\pi \times \phi^3}{32} \Rightarrow \phi = \sqrt[3]{\frac{27,27 \text{ cm}^3 \times 32}{\pi}}$$

$$\Rightarrow \phi = 6,49 \text{ cm}$$

Adoptamos diametro del eje de $\phi = 6,5 \text{ cm}$

Cálculo de la cascara del tambor

$$e = \frac{\sigma_{fluencia}}{1,6} = \frac{2100 \frac{kg}{cm^2}}{1,6} = 1312,5 \frac{kg}{cm^2}$$



$$P \leq S' \times e \times \sigma_{adm} \Rightarrow e \geq \frac{P}{S' \times \sigma_{adm}}$$

$$e \geq \frac{1250 \text{ kg}}{1,57 \text{ cm} \times 1312,5 \frac{kg}{cm^2}}$$

$$\Rightarrow e = 0,606 \text{ cm}$$

Adoptamos chapa laminada en caliente $e = 1/2'' = 12,7 \text{ mm}$ para mecanizar las espiras

$$M_f = \frac{P \times l}{4} = \frac{1250 \text{ kg} \times 52 \text{ cm}}{4}$$

$$M_f = 16250 \text{ kgcm}$$

$$\sigma_{adm} = \frac{M_f}{W}$$

$$W = \frac{M_f}{\sigma_{adm}} \leq \frac{\pi}{32} \times \left(\frac{D^4 - d^4}{D} \right)$$

$$W = \frac{16250 \text{ kg}\cdot\text{cm}}{1312,5 \text{ kg}/\text{cm}^2} \leq \frac{\pi}{32} \times \left(\frac{(25 \text{ cm})^4 - (22,46 \text{ cm})^4}{25 \text{ cm}} \right) [\text{cm}^3]$$

$$\Rightarrow W = 12,38 \text{ cm}^3 \leq 534,67 \text{ cm}^3 \Rightarrow \text{Verifica}$$

utilizar la de pieza
MECANICA

2.13 Selección de rodamiento tambor

Debido a que las fuerzas axiales son despreciables con respecto a las radiales, seleccionamos rodamientos de rodillos a rotula.

Del catalogo SKF online seleccionamos el rodamiento 22215 EK cuyas características son:

- Ancho B: 31 mm
- C2: 24450 kg
- C: 22107 kg
- d: 65 mm
- D: 130 mm
- Peso: 2,45 kg

Calculo de la vida útil del rodamiento

$$L_{10} = \sqrt[3/10]{\frac{C}{P}} = \sqrt[3/10]{\frac{22107}{2750}} \Rightarrow L_{10} = 1040 \text{ millones de revoluciones}$$

$$L_{10} = \frac{1040 \text{ millones de revoluciones}}{20,37 \text{ rpm}} \times \frac{1 \text{ h}}{60 \text{ min}} \times \frac{1 \text{ día}}{24 \text{ hs}} \times \frac{1 \text{ año}}{365 \text{ días}}$$

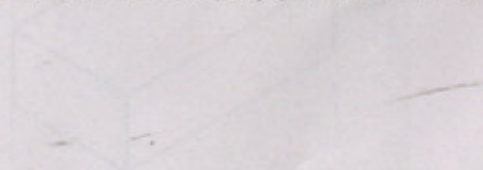
$$\Rightarrow L_{10} = 97 \text{ años}$$

El valor obtenido es de carácter referencial o comparativo, no precisamente el rodamiento va a durar ese tiempo en todos los casos.

Admisión chapeta normalizada de 25 x 36 x 50 (mm)

2.14 Selección caja para rodamiento

Del catalogo SKF online seleccionamos soporte de pie FSE 515-612, con manguito de fijación H 315 y anillo de fijación 2 x FRB 12.5/130. La cual es sellada y permite realizar la lubricación del rodamiento por medio del alemite.



Cálculo de las chavetas eje tambor

$$\sigma_{adm} = 2900 \text{ kg/cm}^2 \text{ (Acero SAE 1045)}$$

$$\sigma_{adm} = \frac{\sigma_{rotura}}{1,6} = 1812,5 \text{ kg/cm}^2$$

$$\tau_{adm} = 0,8 \times \sigma_{adm} = 1450 \text{ kg/cm}^2$$

$$M_t = 71620 \times \frac{Pot}{w}$$

$$M_t = 71620 \times \frac{7,5 \text{ HP}}{20,32 \text{ rpm}}$$

$$M_t = 26434,54 \text{ kgcm}$$

$$F = \frac{M_t}{r_{eje}}$$

$$F = \frac{26434,54 \text{ kgcm}}{3,75 \text{ cm}}$$

$$F = 7049,21 \text{ kg}$$

Verificación al corte:

$$\tau = \frac{F}{b \times l} \Rightarrow l = \frac{F}{b \times \tau}$$

$$l = \frac{7049,21 \text{ kg}}{2,8 \text{ cm} \times 1450 \text{ kg/cm}^2}$$

$$l = 1,73 \text{ cm}$$

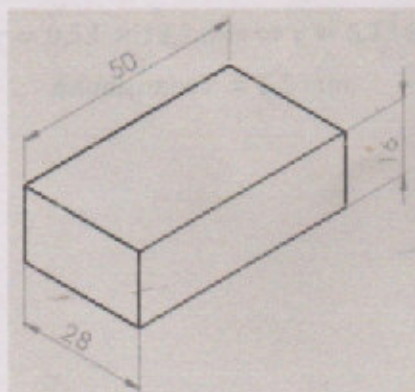
Verificación al aplastamiento:

$$\sigma_{adm} = \frac{F}{\frac{a}{2} \times l} \Rightarrow l = \frac{F}{\frac{a}{2} \times \sigma_{adm}}$$

$$l = \frac{7049,21 \text{ kg}}{0,8 \text{ cm} \times 1812,5 \frac{\text{kg}}{\text{cm}^2}}$$

$$\Rightarrow l = 4,866 \text{ cm}$$

Adoptamos chaveta normalizada de $28 \times 16 \times 50$ [mm]



26) Selección del reductor

electromotor caja reductora TP160 Lentax

potencia mecánica: 8,54 KW = 11,45 HP

peso: 150 kg

POTENCIAS MECANICAS (kW) Y RELACIONES NOMINALES

POWER RATING (kW) AND NOMINAL RATIO

Triple Reducción -Ejes Paralelos.

Triple Reduction -Helical Gear Units

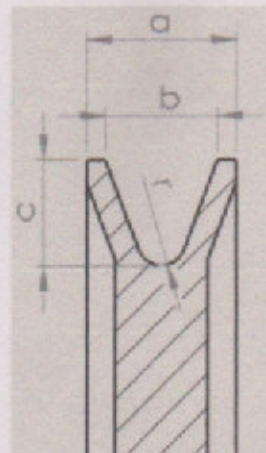
| Modelo | n1 (r.p.m.) | Relaciones Nominales | | | | | | | | | |
|--------|----------------|----------------------|------|------|------|------|------|------|------|------|------|
| | | Nominal Ratio | | | | | | | | | |
| Modelo | | 25 | 31,5 | 40 | 50 | 63 | 71 | 80 | 90 | 100 | 112 |
| TP 160 | 1800 | 32,4 | 25,6 | 19,7 | 16,0 | 12,2 | 11,3 | 10,2 | 9,05 | 7,88 | 6,47 |
| | 1500 | 28,0 | 22,2 | 17,0 | 13,8 | 10,5 | 9,73 | 8,83 | 7,82 | 6,81 | 5,59 |
| | 1200 | 22,4 | 17,7 | 13,9 | 11,3 | 8,5 | 7,8 | 7,1 | 6,3 | 5,5 | 4,5 |
| | 1000 | 18,7 | 14,8 | 11,8 | 9,57 | 7,07 | 6,51 | 5,89 | 5,22 | 4,55 | 3,75 |
| | 900 | 16,8 | 13,3 | 10,5 | 8,54 | 6,45 | 5,91 | 5,30 | 4,70 | 4,09 | 3,37 |
| | 750 | 14,1 | 11,1 | 8,54 | 6,99 | 5,52 | 5,00 | 4,42 | 3,91 | 3,40 | 2,80 |

27) Diseño de la polea del gancho

Material fundición gris

según Din 990 (pag. 620 – Manual Dubbel)

- a: 40 mm
- b: 30 mm
- c: 18 mm



Del Manual Dubbel obtenemos los siguientes datos:

$r \leq 0,53d$

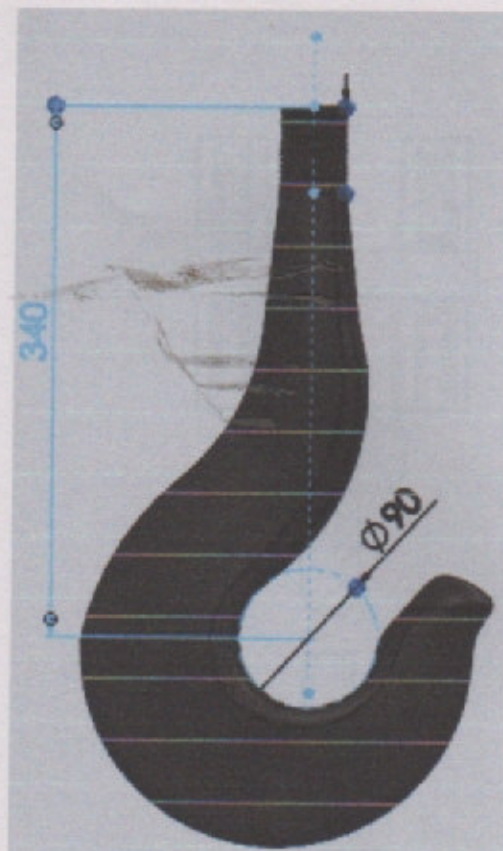
$r = 0,53 \times 12,7 \text{ mm} \Rightarrow r = 6,73 \text{ mm.}$

Adoptamos $r = 6,5 \text{ mm.}$

228) Selección del gancho

Del manual Dubbel pag. 611, tabla 2 DIN 687:

- = $\phi = 5 t$
- = $a = 90 \text{ mm}$
- = $c = 304$
- = $d_1 = 41,5 \text{ mm}$
- = $d_2 = 48 \text{ mm}$
- = $d_3 = 60 \text{ mm}$
- = $h = 100 \text{ mm}$
- = $b_1 = 80 \text{ mm}$
- = $b_2 = 30 \text{ mm}$
- = $r = 36 \text{ mm}$
- = $b_3 = 67 \text{ mm}$
- = $b_4 = 40 \text{ mm}$
- = $\delta_1 = 35 \text{ mm}$
- = $\delta_2 = 55 \text{ mm}$
- = Peso: 17,22 kg



$$M_y = \frac{F \times L}{4} = \frac{5000 \text{ kg} \times 22,8 \text{ cm}}{4}$$

$$M_y = 28500 \text{ kg}$$

$$\sigma_{trab} = \frac{0,6 \times \sigma_y}{N \times 1,7} \quad N = 1,0 \times 5000 \text{ kg} = 5000 \frac{\text{kg}}{\text{cm}^2}$$

$$\sigma_{trab} = \frac{0,6 \times 5000 \frac{\text{kg}}{\text{cm}^2}}{1,0 \times 1,7}$$

$$\sigma_{trab} = 1764,7 \frac{\text{kg}}{\text{cm}^2}$$

$$\sigma_{trab} = \frac{M_y}{W} \Rightarrow W = \frac{M_y}{\sigma_{trab}}$$

$$W = \frac{28500 \text{ kgcm}}{1764,7 \frac{\text{kg}}{\text{cm}^2}}$$

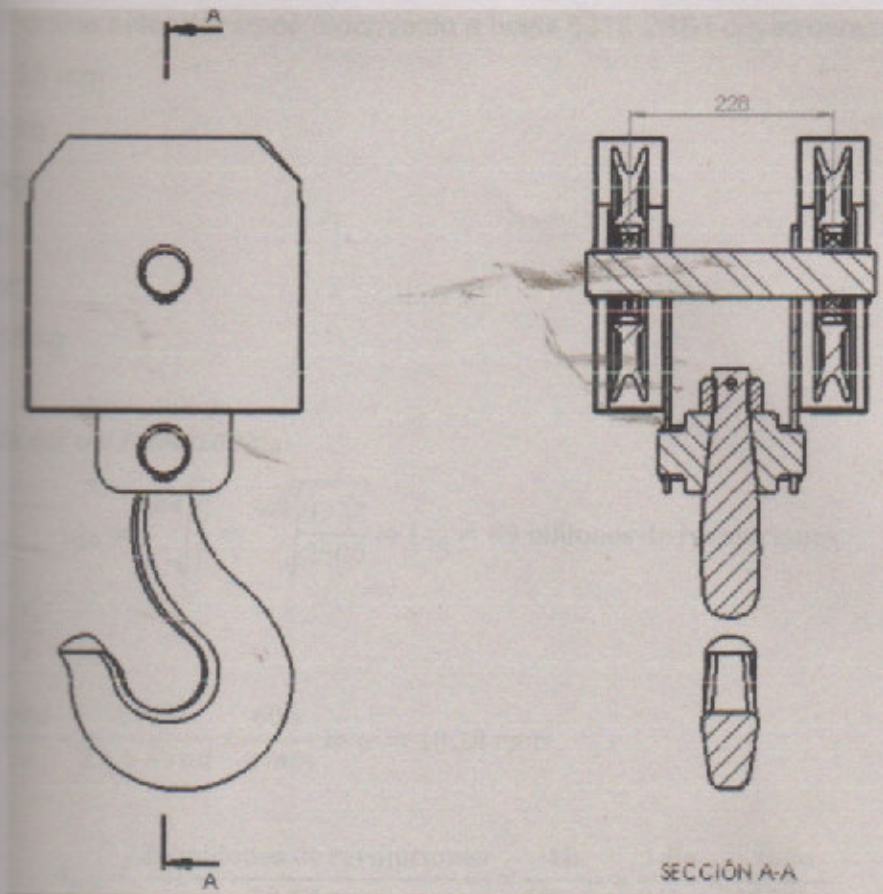
$$W = 16,15 \text{ cm}^3$$

$$W = \frac{\pi \times D^3}{32} \Rightarrow D = \sqrt[3]{\frac{32 \times 16,15 \text{ cm}^3}{\pi}}$$

$$\Rightarrow D = 6,3 \text{ cm}$$

Adoptamos diámetro del eje de $D = 6,5 \text{ cm}$

2.2. Cálculo del eje de las poleas del gancho



$$M_f = \frac{P \times l}{4} = \frac{5000 \text{ kg} \times 22,8 \text{ cm}}{4}$$

$$M_f = 28500 \text{ kg}$$

$$\sigma_{trab} = \frac{0,6 \times \sigma_{fl}}{N \times 1,7}; N = 1,8; \sigma_{fl(4140)} = 5900 \frac{\text{kg}}{\text{cm}^2}$$

$$\sigma_{trab} = \frac{0,6 \times 5900 \frac{\text{kg}}{\text{cm}^2}}{1,8 \times 1,7}$$

$$\sigma_{trab} = 1156,86 \frac{\text{kg}}{\text{cm}^2}$$

$$\sigma_{trab} = \frac{M_f}{W} \Rightarrow W = \frac{M_f}{\sigma_{trab}}$$

$$W = \frac{28500 \text{ kgcm}}{1156,86 \frac{\text{kg}}{\text{cm}^2}}$$

$$W = 24,63 \text{ cm}^3$$

$$W = \frac{\pi \times \phi^3}{32} \Rightarrow \phi = \sqrt[3]{\frac{24,63 \text{ cm}^3 \times 32}{\pi}}$$

$$\Rightarrow \phi = 6,3 \text{ cm}$$

Adoptamos diametro del eje de $\phi = 6,5 \text{ cm}$

Selección de rodamientos poleas

Según SKF online seleccionamos rodamiento a bolas 6313-2RS1 cuyas características son:

Ancho B: 33 mm

C₁₀: 6112 kg

C: 9932 kg

d: 65 mm

D: 130 mm

Peso: 2,15 kg

Para la vida útil del rodamiento

$$L_{10} = \sqrt[3/10]{\frac{C}{P}} = \sqrt[3/10]{\frac{9932}{2500}} \Rightarrow L_{10} = 99 \text{ millones de revoluciones}$$

$$\omega = \frac{V_t}{r}$$

$$\frac{16 \text{ m}}{15 \text{ s}} = \frac{16 \text{ rad}}{15 \text{ s}} * \frac{1 \text{ rev}}{2 * \pi * \text{rad}} * \frac{60 \text{ s}}{1 \text{ min}} \Rightarrow \omega = 10,18 \text{ rpm}$$

$$L_{10} = \frac{24 \text{ millones de revoluciones}}{10,18 \text{ rpm}} * \frac{1 \text{ h}}{60 \text{ min}} * \frac{1 \text{ día}}{24 \text{ hs}} * \frac{1 \text{ año}}{365 \text{ días}}$$

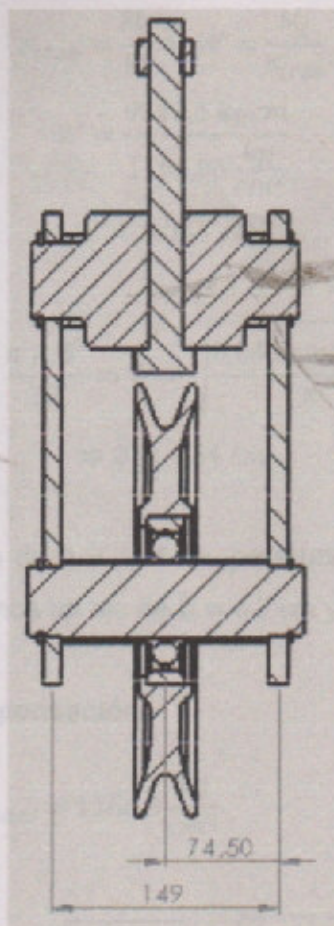
$$\Rightarrow L_{10} = 18 \text{ años}$$

Obtenido es de carácter referencial, no precisamente el rodamiento va a durar ese valor en todos los casos.

La fuerza axial es despreciable con respecto a la radial, decidimos utilizar rodamientos a bolas en lugar de rodillos para facilitar la construcción, dado que estos no vienen sellados. Los rodamientos a bolas rígidos soportan cargas radiales y axiales en ambos sentidos y requieren poco mantenimiento.

Además, considerando los puentes grúas que se fabrican en el mercado y teniendo en cuenta que el tamaño mediano a pequeño, utilizan rodamientos a bolas.

Cálculo eje polea compensación



$$F_A + F_B - 2500 \text{ kg} = 0$$

$$F_A = 2500 \text{ kg} - 1250 \text{ kg}$$

$$\Rightarrow F_A = 1250 \text{ kg}$$

$$M_A = 2500 \text{ kg} \times \frac{14,9 \text{ cm}}{2} - F_B \times 14,9 \text{ cm} = 0$$

$$F_B = \frac{18625 \text{ kgcm}}{14,9 \text{ cm}}$$

$$\Rightarrow F_B = 1250 \text{ kg}$$

$$M_f = F_B \times \frac{14,9 \text{ cm}}{2}$$

$$M_f = 1250 \text{ kg} \times \frac{14,9 \text{ cm}}{2}$$

$$\Rightarrow M_f = 9312,5 \text{ kgcm}$$

$$\sigma_{trab} = \frac{0,6 \times \sigma_{fl}}{N \times 1,7}; N = 1,8; \sigma_{fl(4140)} = 5900 \frac{\text{kg}}{\text{cm}^2}$$

$$\sigma_{trab} = \frac{0,6 \times 5900 \frac{\text{kg}}{\text{cm}^2}}{1,8 \times 1,7}$$

$$\sigma_{trab} = 1156,86 \frac{\text{kg}}{\text{cm}^2}$$

$$\sigma_{trab} = \frac{M_f}{W} \Rightarrow W = \frac{M_f}{\sigma_{trab}}$$

$$W = \frac{9312,5 \text{ kgcm}}{1156,86 \frac{\text{kg}}{\text{cm}^2}}$$

$$W = 8,049 \text{ cm}^3$$

$$W = \frac{\pi \times \phi^3}{32} \Rightarrow \phi = \sqrt[3]{\frac{8,049 \text{ cm}^3 \times 32}{\pi}}$$

$$\Rightarrow \phi = 4,34 \text{ cm}$$

Como el diámetro del eje calculo es de $\phi = 4,34 \text{ cm}$, para unificar componentes del mecanismo de compensación y del gancho utilizaremos un eje de $\phi = 6,5 \text{ cm}$ y rodamiento a bolas 6313-2RS1.

2.2.2. Cálculo bulón polea de compensación

$$\sigma_{adm} = \frac{\sigma_{fluencia}}{\eta} = \frac{2100 \frac{\text{kg}}{\text{cm}^2}}{1,8} \Rightarrow \sigma_{adm} = 1166,6 \frac{\text{kg}}{\text{cm}^2}$$

$$P = 2500 \text{ kg}$$

$$\sigma_{adm} = \frac{P}{\frac{\pi \times \phi^2}{4}} \Rightarrow \phi = \sqrt{\frac{P \times 4}{\sigma_{adm} \times \pi}} = \sqrt{\frac{2500 \text{ kg} \times 4}{1166,6 \frac{\text{kg}}{\text{cm}^2} \times \pi}} \Rightarrow \phi = 1,65 \text{ cm}$$

Como es el diámetro del núcleo, por lo que restándole la profundidad de la rosca seleccionamos bulón

verificación:

$$\phi_{Nucleo} = \phi_{Total} - Profundidad_{Rosca}$$

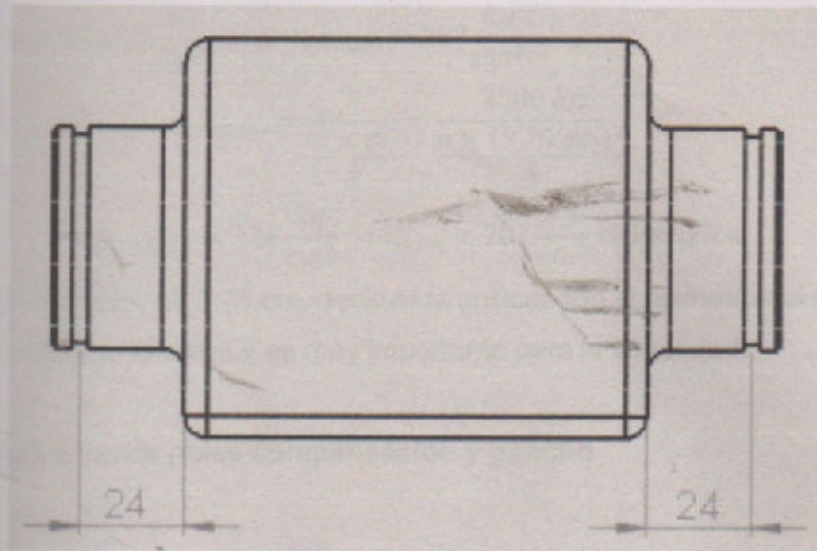
$$\phi_{Nucleo} = 2,22 \text{ cm} - 0,36 \text{ cm}$$

$$\phi_{Nucleo} = 2,18 \text{ cm}$$

$$\sigma_{Trabajo} = \frac{P}{\frac{\pi \times \phi^2}{4}} = \frac{2500 \text{ kg}}{\frac{\pi \times (2,18 \text{ cm})^2}{4}}$$

$$\Rightarrow \sigma_{Trabajo} = 670 \frac{\text{kg}}{\text{cm}^2} < \sigma_{adm} = 1166,6 \frac{\text{kg}}{\text{cm}^2} \Rightarrow \text{Verifica}$$

5.2. Cálculo diámetro de masa sujeción del gancho



Cálculo de la flexión

$$M_f = F \times 2,4 \text{ cm}$$

$$M_f = 2500 \text{ kg} \times 2,4 \text{ cm}$$

$$\Rightarrow M_f = 6000 \text{ kgcm}$$

$$\sigma_{trab} = \frac{0,6 \times \sigma_{fl}}{N \times 1,7}; N = 1,8; \sigma_{fl(4140)} = 5900 \frac{\text{kg}}{\text{cm}^2}$$

$$\sigma_{trab} = \frac{0,6 \times 5900 \frac{\text{kg}}{\text{cm}^2}}{1,8 \times 1,7}$$

$$\sigma_{trab} = 1156,86 \frac{\text{kg}}{\text{cm}^2}$$

$$\sigma_{trab} = \frac{M_f}{W} \Rightarrow W = \frac{M_f}{\sigma_{trab}}$$

$$W = \frac{6000 \text{ kgcm}}{1156,86 \frac{\text{kg}}{\text{cm}^2}}$$

$$W = 5,186 \text{ cm}^3$$

$$W = \frac{\pi \times \phi^3}{32} \Rightarrow \phi = \sqrt[3]{\frac{5,186 \text{ cm}^3 \times 32}{\pi}}$$

$$\Rightarrow \phi = 3,75 \text{ cm}$$

Verificación al corte

$$\tau_{adm} = \sigma_{adm} \times 0,6 = 1312,5 \frac{kg}{cm^2} \times 0,6 \Rightarrow \tau_{adm} = 787 \frac{kg}{cm^2}$$

$$\tau_{Trabajo} = \frac{P}{\frac{\pi \times \phi^2}{4}} = \frac{2500 kg}{\frac{\pi \times (3,75 cm)^2}{4}}$$

$$\Rightarrow \tau_{Trabajo} = 226 \frac{kg}{cm^2} < \tau_{adm} = 787 \frac{kg}{cm^2} \Rightarrow \text{Verifica}$$

Si bien verifica con un diametro de 3,75 cm, decidimos unificar con el diametro del eje de 6,5 cm dado que es un pieza que sostiene la carga y es muy importante para la seguridad.

2.24 Espesor chapa soporte polea compensación y gancho

$$\sigma_{aplastamiento} = 2100 \frac{kg}{cm^2}$$

$$P = 2500 kg$$

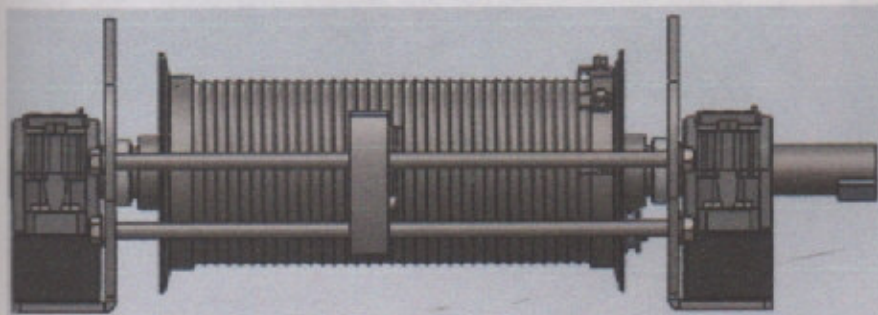
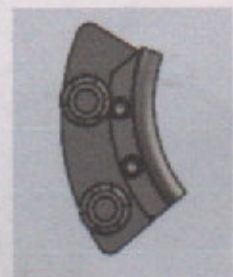
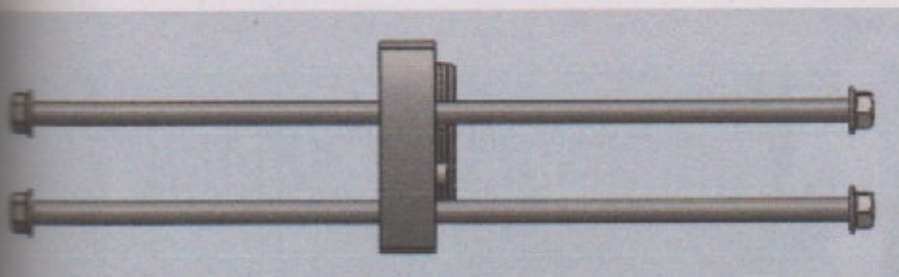
$$P = e \times \phi \times \sigma_{aplastamiento} \Rightarrow e = \frac{P}{\phi \times \sigma_{aplastamiento}} = \frac{2500 kg}{6,5 cm \times 2100 \frac{kg}{cm^2}}$$

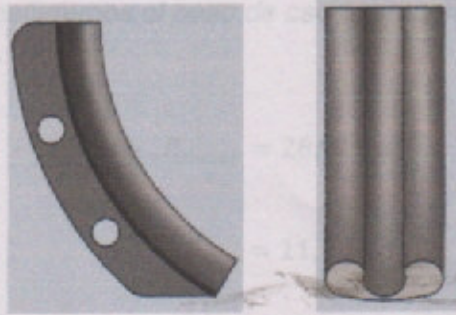
$$\Rightarrow e = 2 mm$$

Adoptamos espesor ¼"

2.25 Sistema guía cable y sujeción del cable al tambor

Este sistema copia el paso de avance del tambor y guía el cable de acero para un correcto enrollamiento del mismo.





Para los efectos de aumentar la vida útil del cable, este deberá mantenerse siempre bien lubricado. El lubricante del cable cumple con las siguientes funciones:

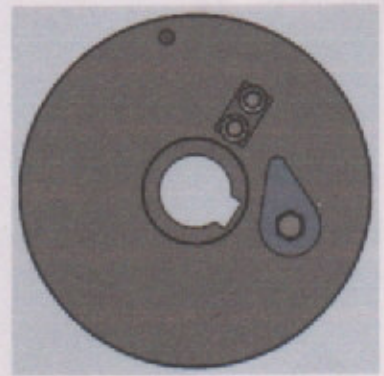
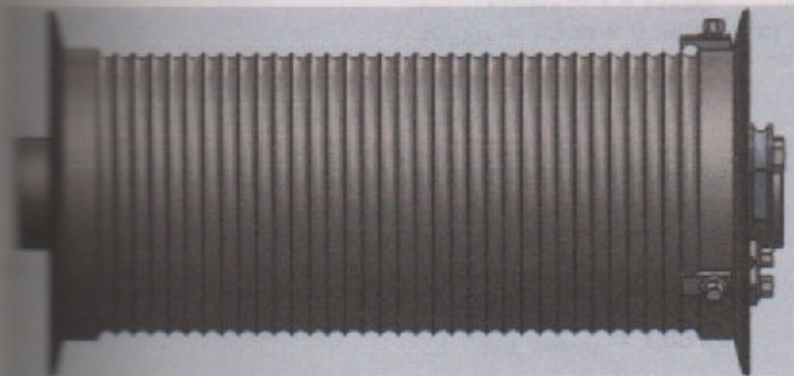
- Disminuye la fricción entre los alambres y los cordones, facilitando el deslizamiento.
- Evita la corrosión del cable.
- Preserva el alma textil.

En general, la correcta inspección de un cable comprende las siguientes observaciones:

- Alambres rotos
- Oxidación
- Alambres flojos

Por otro lado, la sujeción del cable al tambor se hará por medio de un tornillo que donde se colocará un guardacabo para evitar el "quiebre" del cable de acero, éste se hará llegar por medio de un agujero que se hace en la pestaña del tambor. Además, dispondrá de 3 grampas dispuestas a 120° una de la otra, que evitarían que se desenrolle la última espira en caso de una falla del final de carrera.

Este sistema se ilustra en las siguientes imágenes:



2.25 Cálculo del peso del sistema de izaje

Utilizando el software Solidwork estimamos el peso de cada componente del sistema:

Tambor

a) Masas

$$P_{masas} = 26,92 \text{ kg}$$

b) Discos

$$P_{Discos} = 11,14 \text{ kg}$$

c) Cascara

$$P_{cascara} = 18,5 \text{ kg}$$

$$P_{Tambor} = 56,56 \text{ kg}$$

Eje del tambor

$$P_{Eje Tambor} = 25,89 \text{ kg}$$

Soporte de pie rodamiento

$$P_{Soporte de pie} = 2 \times 7 \text{ kg.}$$

$$P_{Soporte de pie} = 14 \text{ kg.}$$

Rodamientos tambor

$$P_{Rod.Tambor} = 2 \times 1,05 \text{ kg.}$$

$$P_{Rod.Tambor} = 2,1 \text{ kg.}$$

Caja reductora

$$P_{Caja Reductora} = 160 \text{ kg.}$$

Motor

$$P_{Motor} = 90 \text{ kg}$$

Gancho

$$P_{Gancho} = 17,22 \text{ kg}$$

Cable

$$P_{Cable} = l \times \gamma_{cable}$$

$$P_{Cable} = 25 \text{ m} \times 0,680 \text{ kg/m}$$

$$P_{Cable} = 17 \text{ kg}$$

Poleas

$$P_{poleas} = 2 \times 8,1 \text{ kg}$$

$$P_{poleas} = 16,2 \text{ kg}$$

Rodamientos poleas

$$P_{Rod. Poleas} = 4 \times 0,47 \text{ kg.}$$

$$P_{Rod. Poleas} = 1,88 \text{ kg.}$$

Eje Poleas

$$P_{Rod. Poleas} = 6,59 \text{ kg}$$

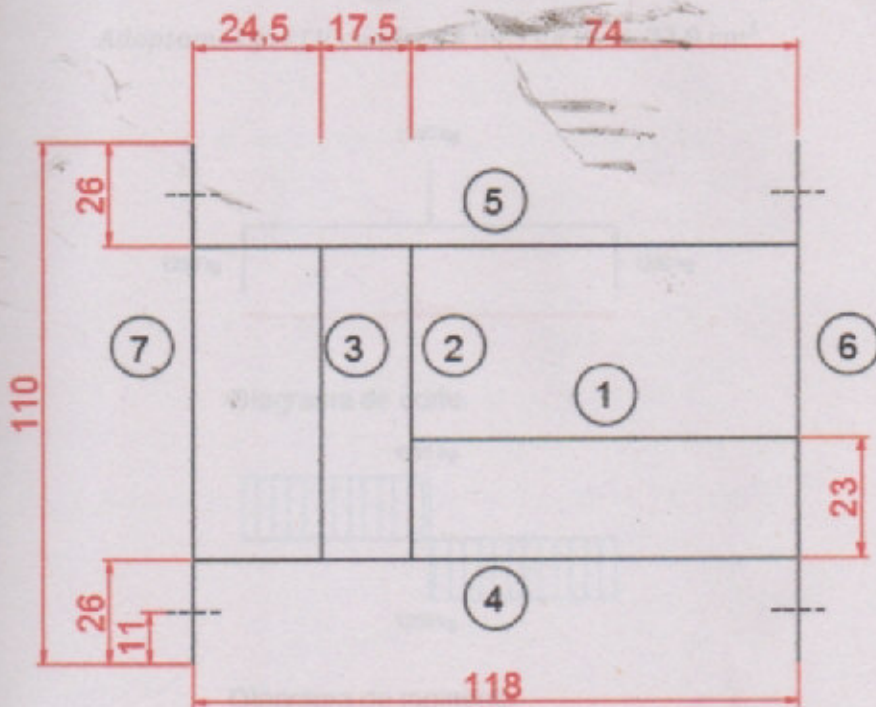
Peso Sistema de Izaje Completo

$$\Rightarrow P_{T.Sist.Izaje} \approx 410 \text{ kg}$$

II CALCULO DEL MECANISMO DE TRASLACION DEL CARRO

II.1 Calculo estructural del carro

$$\sigma_{trab} = \frac{\sigma_{fluencia}}{\eta} = \frac{2100 \frac{kg}{cm^2}}{1.6} \Rightarrow \sigma_{trab} = 1312,5 \frac{kg}{cm^2}$$



$$M_f = \frac{P \times l}{4} = \frac{2500 \text{ kg} \times 76 \text{ cm}}{4} = 47.500 \text{ kgcm}$$

$$\sigma_{trab} = \frac{M_f}{W} \Rightarrow W = \frac{M_f}{\sigma_{trab}}$$

$$W = \frac{47.500 \text{ kgcm}}{1312,5 \frac{\text{kg}}{\text{cm}^2}} \Rightarrow W = 36,19 \text{ cm}^3$$

Adoptamos perfil cuadrado 90.3 de $W = 37,9 \text{ cm}^3$

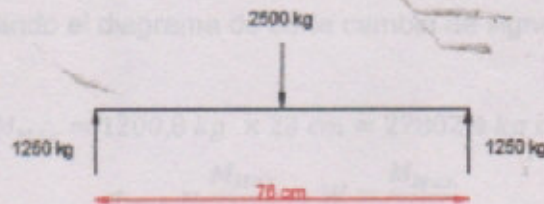


Diagrama de corte.

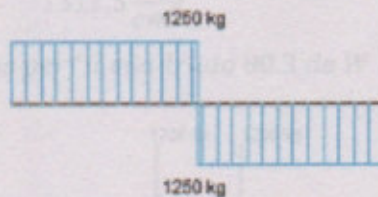
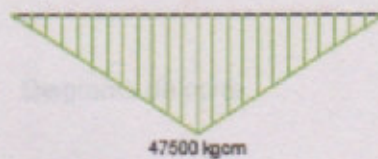


Diagrama de momento.



Verificación de soldadura

$$e_1 = 0,55$$

$$e_2 = 0,70$$

$$\sigma_{sold} = 84 \frac{\text{kg}}{\text{cm}^2}$$

$$\sigma_{trab} = \frac{F}{A} = \frac{1250 \text{ kg}}{9 \text{ cm} \times 0,55 + 2 \times 9 \text{ cm} \times 0,70}$$

$$\Rightarrow \sigma_{trab} = 25,48 \text{ cm}^3$$

$$\sigma_{trab} < \sigma_{sold} \Rightarrow \text{Verifica}$$

$$\sum F_Y = F_A + F_B - 1250 \text{ kg} - 1290 \text{ kg} = 0$$

$$F_A = 2540 \text{ kg} - F_B$$

$$\sum M_A = -1250 \text{ kg} \times 23 \text{ cm} - 1290 \text{ kg} \times 40 \text{ cm} + F_B \times 60 \text{ cm} = 0$$

$$\Rightarrow F_B = \frac{80.350 \text{ kg cm}}{60 \text{ cm}} = 1339,2 \text{ kg}$$

$$F_A = 2540 \text{ kg} - 1339,2 \text{ kg} \Rightarrow F_A = 1200,8 \text{ kg}$$

El momento será máximo cuando el diagrama de corte cambia de signo:

$$M_{Max} = 1200,8 \text{ kg} \times 23 \text{ cm} = 27802,4 \text{ kg cm}$$

$$\sigma_{trab} = \frac{M_{Max}}{W} \Rightarrow W = \frac{M_{Max}}{\sigma_{trab}}$$

$$W = \frac{27802,4 \text{ kg cm}}{1312,5 \frac{\text{kg}}{\text{cm}^2}} \Rightarrow W = 21,18 \text{ cm}^3$$

Adoptamos perfil cuadrado 80.3 de $W = 21,7 \text{ cm}^3$

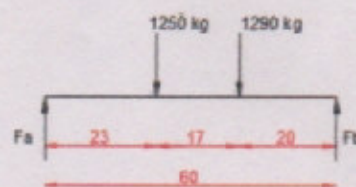


Diagrama de corte.

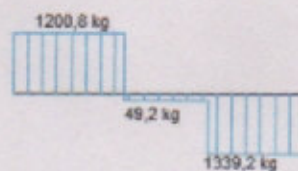
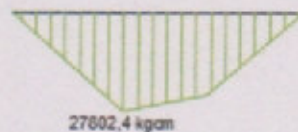


Diagrama de momento.



Verificación de soldadura

$\sigma_{\text{trab}} = 0,55$

$\sigma_{\text{trab}} = 0,70$

$\sigma_{\text{sold}} = 84 \frac{\text{kg}}{\text{cm}^2}$

$$\sigma_{\text{trab}} = \frac{F_A}{A} = \frac{1339 \text{ kg}}{9 \text{ cm} \times 0,55 + 2 \times 9 \text{ cm} \times 0,70}$$

$$\Rightarrow \sigma_{\text{trab}} = 27,29 \text{ cm}^2$$

$\sigma_{\text{trab}} < \sigma_{\text{sold}} \Rightarrow \text{Verifica}$

$$\sigma_{\text{trab}} = \frac{F_B}{A} = \frac{1200,8 \text{ kg}}{9 \text{ cm} \times 0,55 + 2 \times 9 \text{ cm} \times 0,70}$$

$$\Rightarrow \sigma_{\text{trab}} = 24,48 \text{ cm}^3$$

$\sigma_{\text{trab}} < \sigma_{\text{sold}} \Rightarrow \text{Verifica}$

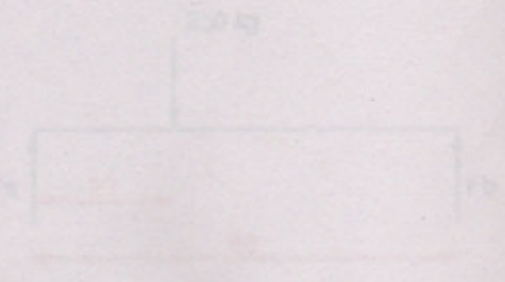


Diagrama de corte

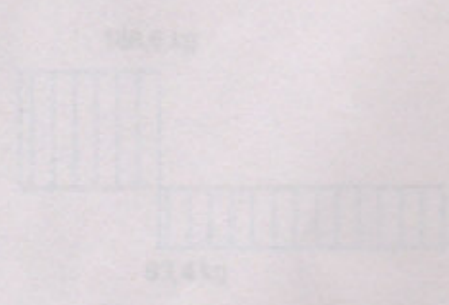


Diagrama de momento

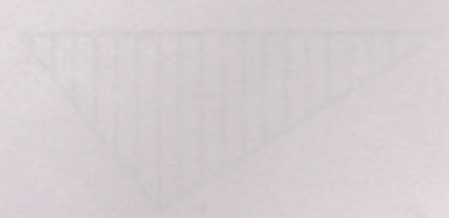
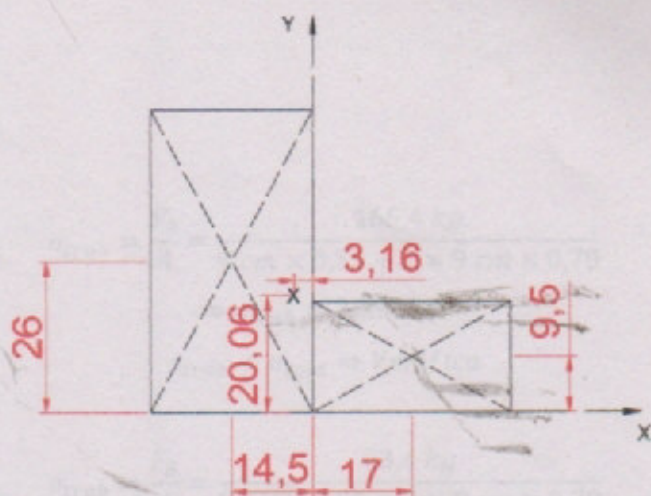


Figura 3



$$\bar{x} = \frac{160 \text{ kg} \times 26 \text{ cm} + 90 \text{ kg} \times 9,5 \text{ cm}}{250 \text{ kg}} \cong 20 \text{ cm}$$

$$\bar{y} = \frac{-160 \text{ kg} \times 14,5 \text{ cm} + 90 \text{ kg} \times 17 \text{ cm}}{250 \text{ kg}} \cong -3 \text{ cm}$$

$$\sum F_x = F_A + F_B - 250 \text{ kg} = 0$$

$$F_A = 250 \text{ kg} - F_B$$

$$\sum M_A = -250 \text{ kg} \times 20 \text{ cm} + F_B \times 60 \text{ cm} = 0$$

$$\Rightarrow F_B = 83,4 \text{ kg}$$

$$F_A = 250 \text{ kg} - 83,4 \text{ kg} \Rightarrow F_A = 166,6 \text{ kg}$$

$$M_{max} = 166,6 \text{ kg} \times 20 \text{ cm} = 3.332 \text{ kg cm}$$

$$\sigma_{max} = \frac{M_{max}}{W} \Rightarrow W = \frac{M_{max}}{\sigma_{trab}}$$

$$W = \frac{3.332 \text{ kg cm}}{1312,5 \frac{\text{kg}}{\text{cm}^2}} \Rightarrow W = 2,53 \text{ cm}^3$$

Seleccionamos perfil cuadrado 40.2 de $W = 3,40 \text{ cm}^3$

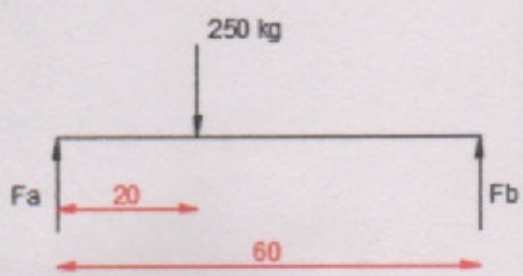


Diagrama de corte.

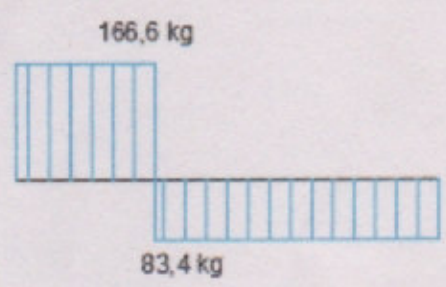
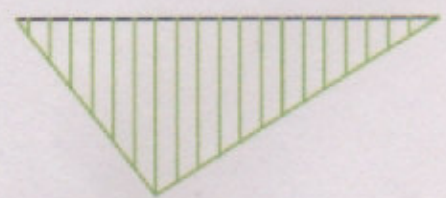


Diagrama de momento.



Verificación de soldadura

$e_1 = 0,55$

$e_2 = 0,70$

$\sigma_{sold} = 84 \frac{kg}{cm^2}$

$$\sigma_{trab} = \frac{F_A}{A} = \frac{166,4 \text{ kg}}{9 \text{ cm} \times 0,55 + 2 \times 9 \text{ cm} \times 0,70}$$

$$\Rightarrow \sigma_{trab} = 3,39 \text{ cm}^3$$

$$\sigma_{trab} < \sigma_{sold} \Rightarrow \text{Verifica}$$

$$\sigma_{trab} = \frac{F_B}{A} = \frac{83,4 \text{ kg}}{9 \text{ cm} \times 0,55 + 2 \times 9 \text{ cm} \times 0,70}$$

$$\Rightarrow \sigma_{trab} = 1,70 \text{ cm}^3$$

$$\sigma_{trab} < \sigma_{sold} \Rightarrow \text{Verifica}$$

Adoptamos perfil cuadrado 80.5 de $W = 32,00 \text{ cm}^3$



Diagrama de corte

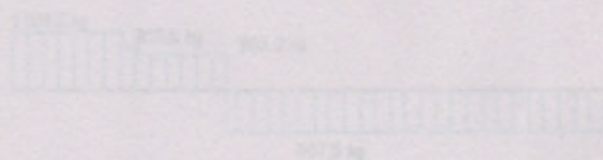
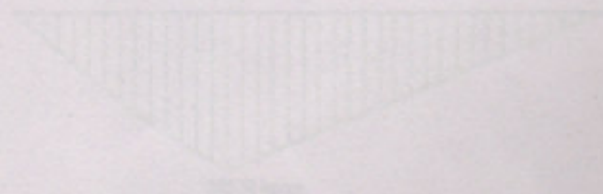


Diagrama de momento



$$\sum F_Y = F_A + F_B - 250 \text{ kg} - 166,6 \text{ kg} - 1200,8 \text{ kg} = 0$$

$$F_A = 1617,4 \text{ kg} - F_B$$

$$\sum M_A = -250 \text{ kg} \times 21,5 \text{ cm} - 166,6 \text{ kg} \times 24,5 \text{ cm} - 1200,8 \text{ kg} \times 42 \text{ cm} + F_B \times 116 \text{ cm} = 0$$

$$\Rightarrow F_B = \frac{97530,7 \text{ kg cm}}{11 \text{ cm}} = 840,8 \text{ kg}$$

$$F_A = 1617,4 \text{ kg} - 840,8 \text{ kg} \Rightarrow F_A = 1672,8 \text{ kg}$$

$$M_{Max} = 1109,8 \text{ kg} \times 21,5 \text{ cm} + 858,8 \text{ kg} \times 3 \text{ cm} + 693,2 \text{ kg} \times 17,5 \text{ cm} = 38578 \text{ kg cm}$$

$$\sigma_{trab} = \frac{M_{Max}}{W} \Rightarrow W = \frac{M_{Max}}{\sigma_{trab}}$$

$$W = \frac{38578 \text{ kg cm}}{1312,5 \frac{\text{kg}}{\text{cm}^2}} \Rightarrow W = 29,39 \text{ cm}^3$$

Adoptamos perfil cuadrado 80.5 de $W = 32,00 \text{ cm}^3$

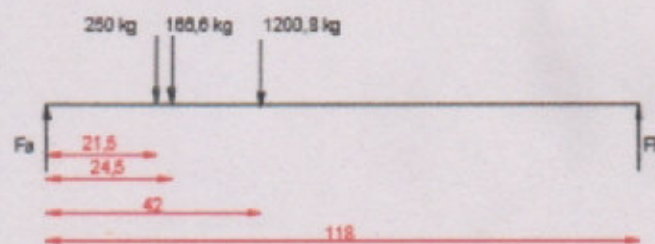


Diagrama de corte.

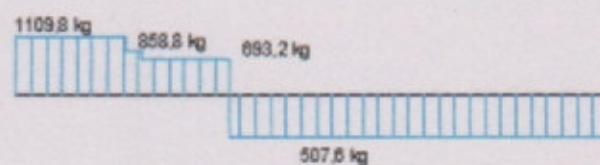
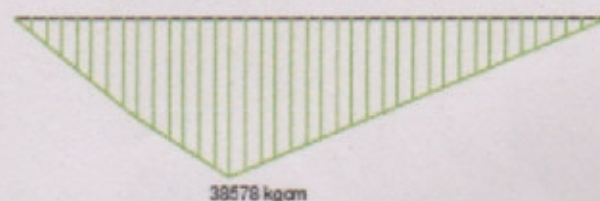


Diagrama de momento.



Verificación de soldadura

$$e_1 = 0,55$$

$$e_2 = 0,70$$

$$\sigma_{\text{sold}} = 84 \frac{\text{kg}}{\text{cm}^2}$$

$$\sigma_{\text{trab}} = \frac{F_A}{A} = \frac{1672,8 \text{ kg}}{9 \text{ cm} \times 0,55 + 2 \times 9 \text{ cm} \times 0,70}$$

$$\Rightarrow \sigma_{\text{trab}} = 34,10 \text{ cm}^3$$

$$\sigma_{\text{trab}} < \sigma_{\text{sold}} \Rightarrow \text{Verifica}$$

$$\sigma_{\text{trab}} = \frac{F_B}{A} = \frac{840,8 \text{ kg}}{9 \text{ cm} \times 0,55 + 2 \times 9 \text{ cm} \times 0,70}$$

$$\Rightarrow \sigma_{\text{trab}} = 17,14 \text{ cm}^3$$

$$\sigma_{\text{trab}} < \sigma_{\text{sold}} \Rightarrow \text{Verifica}$$

$$\sum F_Y = F_A + F_B - 83,4 \text{ kg} - 1339,2 \text{ kg} - 1250 \text{ kg} = 0$$

$$F_A = 2672,6 \text{ kg} - F_B$$

$$\sum M_A = -83,4 \text{ kg} \times 24,5 \text{ cm} - 1339,2 \text{ kg} \times 42 \text{ cm} - 1250 \text{ kg} \times 42 \text{ cm} + F_B \times 118 \text{ cm} = 0$$

$$\Rightarrow F_B = \frac{158.289,7 \text{ kg cm}}{118 \text{ cm}} = 1341,4 \text{ kg}$$

$$F_A = 2672,6 \text{ kg} - 1341,4 \text{ kg} \Rightarrow F_A = 1331,2 \text{ kg}$$

$$M_{Max} = 1341,4 \text{ kg} \times 24,5 \text{ cm} + 1258 \text{ kg} \times 17,5 \text{ cm} = 54.879 \text{ kg cm}$$

$$\sigma_{trab} = \frac{M_{Max}}{W} \Rightarrow W = \frac{M_{Max}}{\sigma_{trab}}$$

$$W = \frac{54.879 \text{ kg cm}}{1312,5 \frac{\text{kg}}{\text{cm}^2}} \Rightarrow W = 41,8 \text{ cm}^3$$

Adoptamos perfil cuadrado 90.5 de $W = 41,9 \text{ cm}^3$

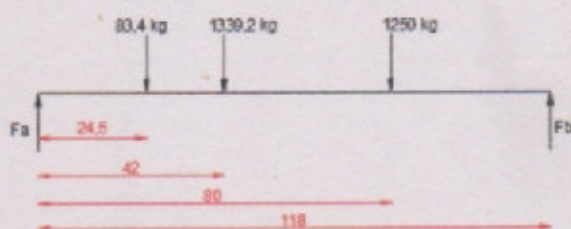


Diagrama de corte.

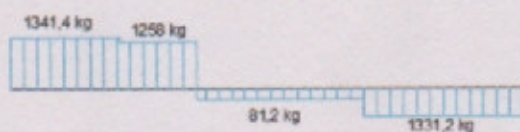
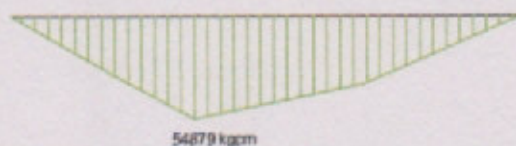


Diagrama de momento.



Verificación de soldadura

$$a_1 = 1,55$$

$$a_2 = 0,70$$

$$\sigma_{\text{adm}} = 84 \frac{\text{kg}}{\text{cm}^2}$$

$$\sigma_{\text{trab}} = \frac{F_A}{A} = \frac{1331,2 \text{ kg}}{9 \text{ cm} \times 0,55 + 2 \times 9 \text{ cm} \times 0,70}$$

$$\Rightarrow \sigma_{\text{trab}} = 27,14 \text{ cm}^3$$

$$\sigma_{\text{trab}} < \sigma_{\text{sold}} \Rightarrow \text{Verifica}$$

$$\sigma_{\text{trab}} = \frac{F_B}{A} = \frac{1341,4 \text{ kg}}{9 \text{ cm} \times 0,55 + 2 \times 9 \text{ cm} \times 0,70}$$

$$\Rightarrow \sigma_{\text{trab}} = 27,34 \text{ cm}^3$$

$$\sigma_{\text{trab}} < \sigma_{\text{sold}} \Rightarrow \text{Verifica}$$

$$\sum F_Y = F_A + F_B - 1341,4 \text{ kg} - 1250 \text{ kg} - 1290 \text{ kg} - 507,6 \text{ kg} = 0$$

$$F_A = 4389 \text{ kg} - F_B$$

$$\sum M_x = -507,6 \text{ kg} \times 15 \text{ cm} - 1250 \text{ kg} \times 38 \text{ cm} - 1290 \text{ kg} \times 55 \text{ cm} - 1341,4 \text{ kg} \times 75 \text{ cm} + F_B \times 90 \text{ cm} = 0$$

$$\Rightarrow F_B = \frac{226639 \text{ kg cm}}{90 \text{ cm}} = 2518,2 \text{ kg}$$

$$F_A = 4389 \text{ kg} - 2518,2 \text{ kg} \Rightarrow F_A = 1870,8 \text{ kg}$$

$$M_{Max} = 1870,8 \text{ kg} \times 15 \text{ cm} + 1363,2 \text{ kg} \times 23 \text{ cm} + 113,2 \text{ kg} \times 17 \text{ cm} = 61328 \text{ kg cm}$$

$$\sigma_{trab} = \frac{M_{Max}}{W} \Rightarrow W = \frac{M_{Max}}{\sigma_{trab}}$$

$$W = \frac{61328 \text{ kg cm}}{1312,5 \frac{\text{kg}}{\text{cm}^2}} \Rightarrow W = 46,73 \text{ cm}^3$$

Adoptamos perfil cuadrado 90.6 de $W = 47,6 \text{ cm}^3$

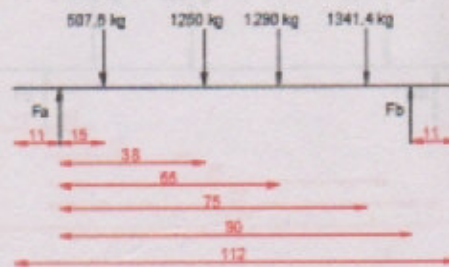


Diagrama de corte.

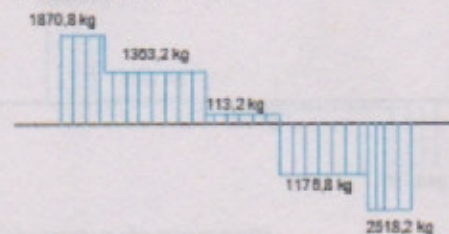
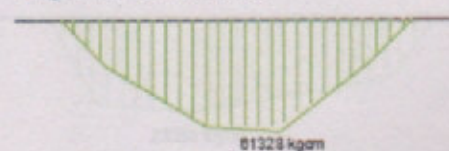


Diagrama de momento.



$$\sum F_Y = F_A + F_B - 1109,8 \text{ kg} - 250 \text{ kg} - 1331,2 \text{ kg} = 0$$

$$F_A = 2691 \text{ kg} - F_B$$

$$\sum M_A = -1109,8 \text{ kg} \times 15 \text{ cm} - 250 \text{ kg} \times 35 \text{ cm} - 1331,2 \text{ kg} \times 75 \text{ cm} + F_B \times 90 \text{ cm} = 0$$

$$\Rightarrow F_B = \frac{125.237 \text{ kg cm}}{90 \text{ cm}} = 1391,5 \text{ kg}$$

$$F_A = 2691 \text{ kg} - 1391,52 \text{ kg} \Rightarrow F_A = 1299,5 \text{ kg}$$

$$M_{Max} = 1299,5 \text{ kg} \times 15 \text{ cm} + 189,7 \text{ kg} \times 20 \text{ cm} = 23286 \text{ kg cm}$$

$$\sigma_{trab} = \frac{M_{Max}}{W} \Rightarrow W = \frac{M_{Max}}{\sigma_{trab}}$$

$$W = \frac{23286 \text{ kg cm}}{1312,5 \frac{\text{kg}}{\text{cm}^2}} \Rightarrow W = 17,74 \text{ cm}^3$$

Adoptamos perfil cuadrado 70.4 de $W = 20,1 \text{ cm}^3$

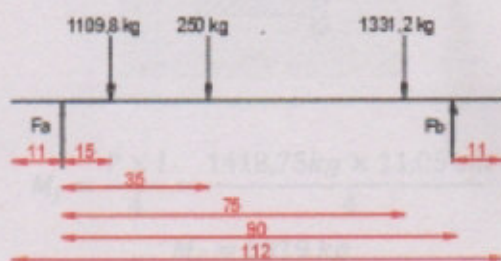


Diagrama de corte.

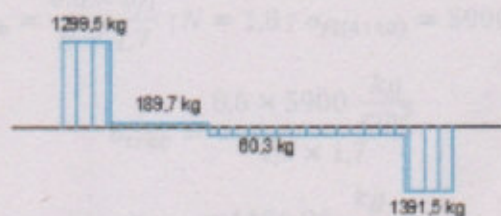


Diagrama de momento.



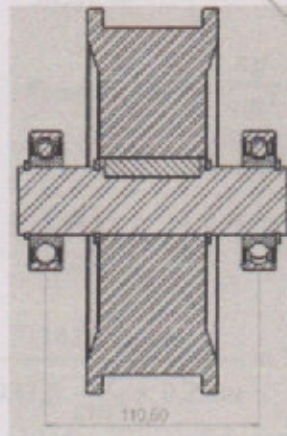
Comparando los diferentes valores de los momentos resistentes obtenidos, y de manera de facilitar la fabricación y disminuir el stock de materias primas consideramos necesario unificar la construcción del eje con un perfil 90.6 pese a que algunos tramos quedarán sobredimensionados.

3.2 Cálculo del eje de la rueda de translación del carro

Si bien el puente grúa está siendo diseñado para elevar una carga de 5000 kg, a este peso hay que sumarle la carga de los diferentes mecanismos; como es el caso los refuerzos de rodamientos, motoreductor, ruedas del resto del carro, ejes, los cuales aún no han sido calculados y estimamos en 180 kg. Este peso será verificado una vez calculados los mecanismos.

$$P = \frac{P_{Carga} + P_{T.Sist.Izaje} + P_{Estructura Carro} + P_{Sin calcular}}{4} = \frac{5000 \text{ kg} + 410 \text{ kg} + 85 \text{ kg} + 180 \text{ kg}}{4}$$

$$\Rightarrow P = 1418,75 \text{ Kg}$$



$$M_f = \frac{P \times l}{4} = \frac{1418,75 \text{ kg} \times 11,05 \text{ cm}}{4}$$

$$M_f = 3919 \text{ kg}$$

$$\sigma_{trab} = \frac{0,6 \times \sigma_{fl}}{N \times 1,7}; N = 1,8; \sigma_{fl(4140)} = 5900 \frac{\text{kg}}{\text{cm}^2}$$

$$\sigma_{trab} = \frac{0,6 \times 5900 \frac{\text{kg}}{\text{cm}^2}}{1,8 \times 1,7}$$

$$\sigma_{trab} = 1156,86 \frac{\text{kg}}{\text{cm}^2}$$

$$\sigma_{trab} = \frac{M_f}{W} \Rightarrow W = \frac{M_f}{\sigma_{trab}}$$

$$W = \frac{3919 \text{ kg cm}}{1156,86 \frac{\text{kg}}{\text{cm}^2}}$$

$$W = 3,38 \text{ cm}^3$$

$$W = \frac{\pi \times \phi^3}{32} \Rightarrow \phi = \sqrt[3]{\frac{3,38 \text{ cm}^3 \times 32}{\pi}}$$

$$\boxed{\phi = 3,25 \text{ cm}}$$

Adoptamos diámetro del eje de $\phi = 3,5 \text{ cm}$

2.3 Verificación a la compresión de la rueda del carro

Datos:

$$P = 1418,75 \text{ kg}$$

$$b = 2 \text{ mm}$$

$$\text{Mat. Acero SAE 1045} \Rightarrow \sigma_{fl(1045)} = 3100 \frac{\text{kg}}{\text{cm}^2}$$

$$\sigma_{trab} = \frac{\sigma_{fl(1045)}}{N}; N = 1,8$$

$$\sigma_{trab} = \frac{3100 \frac{\text{kg}}{\text{cm}^2}}{1,8}$$

$$\sigma_{trab} = 1937,5 \frac{\text{kg}}{\text{cm}^2}$$

$$\sigma_{adm} = \frac{P}{A} = \frac{P}{b \times e} \Rightarrow e = \frac{P}{\sigma_{adm} \times b}$$

$$e = \frac{1418,75 \text{ kg}}{1937,5 \frac{\text{kg}}{\text{cm}^2} \times 0,2 \text{ cm}} = 3,66 \text{ cm}$$

El espesor de apoyo deberá ser del al menos 36,6 mm, igualmente el espesor de la rueda será mayor para permitir el giro por la vía del carril.

2.4 Cálculo de la potencia del motor de traslación del carro

Datos: $m = 5675 \text{ kg}$ (carro) $r = 0,09 \text{ m}$ (radio de la rueda) $\mu = 0,15$ (coeficiente de fricción) $a = 0,27 \frac{\text{m}}{\text{s}^2}$ (aceleración) $t = 2 \text{ s}$ (tiempo) $V_f = 2 \text{ a } 4 \text{ m/s}$ (velocidad final)

$$m = 5675 \text{ kg}$$

$$m = 578,14 \text{ kg}$$

$$r = 9 \text{ cm} = 0,09 \text{ m}$$

$$a = 0,27 \frac{\text{m}}{\text{s}^2}$$

$$\mu = 0,15 \text{ (metal sobre metal - Dubel I pág. 273)}$$

$$t = 2 \text{ a } 4 \text{ s (Dubel II pág. 655)}$$

$$V_f = 2 \text{ a } 4 \text{ m/s} \Rightarrow \text{Catálogo SEW}$$

$$a = \frac{V_f - V_i}{t} = \frac{0,27 \frac{\text{m}}{\text{s}}}{2 \text{ s}} = 0,135 \frac{\text{m}}{\text{s}^2}$$

$$\Sigma F_y = N - P = 0$$

$$\Rightarrow N = 5675 \text{ kg}$$

$$\Sigma F_x = F - F_r = m \times a$$

$$\Sigma F_x = F = m \times a + F_r \quad F_r = \mu \times N$$

$$F_r = 0,15 \times 5675 \text{ kg} = 851,25 \text{ kg}$$

$$F = 578,14 \text{ kg} \times 0,135 \frac{\text{m}}{\text{s}^2} + 851,25 \text{ kg}$$

$$\Rightarrow F = 929,3 \text{ kg}$$

$$M_t = F \times r$$

$$M_t = 929,3 \text{ kg} \times 0,09 \text{ m} = 83,637 \text{ kgcm}$$

$$M_t = 8363,7 \text{ kgcm} = 852 \text{ Nm}$$

$$V = w \times r \Rightarrow w = \frac{V}{r}$$

$$w = \frac{0,27 \frac{\text{m}}{\text{s}}}{0,09 \text{ m}} \times \frac{60 \text{ s}}{2\pi} = 28,64 \text{ rpm}$$

$$M_t = \frac{71620 \times N}{w \times \eta} \Rightarrow N = \frac{M_t \times w \times \eta}{71620}$$

$$N = \frac{8363,69 \text{ kgcm} \times 28,64 \text{ rpm} \times 0,73}{71620}$$

$$\Rightarrow N = 2,44 \text{ HP}$$

Seleccionamos motoreductor 3 HP

Con freno electromagnético

2.5 Selección de rodamientos de los ejes del carro

Del catálogo SKF online seleccionamos rodamiento a bolas 6207-2RS1 cuyas características son:

- Ancho B: 17 mm
- C0: 1558 kg
- C: 2251 kg
- d: 35 mm
- D: 72 mm
- Peso: 0,28 kg

Calculo de la vida útil del rodamiento

$$L_{10} = \frac{3/10 \sqrt{C}}{\sqrt{P}} = \frac{3/10 \sqrt{2251}}{\sqrt{709}} \Rightarrow L_{10} = 47 \text{ millones de revoluciones}$$

$$L_{10} = \frac{47 \text{ millones de revoluciones}}{28,64 \text{ rpm}} \times \frac{1 \text{ h}}{60 \text{ min}} \times \frac{1 \text{ día}}{24 \text{ hs}} \times \frac{1 \text{ año}}{365 \text{ días}}$$

$$\Rightarrow L_{10} = 4 \text{ años}$$

El valor obtenido es de carácter referencial o comparativo, no precisamente el rodamiento va a durar ese tiempo en todos los casos.

Si bien la fuerza axial es despreciable con respecto a la radial, decidimos utilizar rodamientos a bolas rígidos en lugar de rodillos para facilitar la construcción, dado que estos no vienen sellados. Los rodamientos a bolas rígidos soportan cargas radiales y axiales en ambos sentidos y requieren poco mantenimiento.

Por otro lado, considerando los puentes grúas que se fabrican el mercado y teniendo en cuenta que es de tamaño mediano a pequeño, utilizan rodamientos a bolas.

2.6 Calculo chaveta ejes del carro

$$\sigma_{perm} = 2900 \text{ kg/cm}^2 \text{ (Acero SAE 1045)}$$

$$\sigma_{adm} = \frac{\sigma_{fatiga}}{1,6} = 1812,5 \text{ kg/cm}^2$$

$$\tau_{adm} = 0,8 \times \sigma_{adm} = 1450 \text{ kg/cm}^2$$

$$M_t = 71620 \times \frac{Pot}{w}$$

$$M_t = 71620 \times \frac{3 \text{ HP}}{28,64 \text{ rpm}}$$

$$M_t = 7502,09 \text{ kgcm}$$

$$F = \frac{M_t}{\tau_{eje}}$$

$$F = \frac{7502,09 \text{ kgem}}{1,75 \text{ em}}$$

$$F = 4287 \text{ kg}$$

Verificación al corte

$$\tau = \frac{F}{b \times l} \Rightarrow l = \frac{F}{b \times \tau}$$

$$l = \frac{4287 \text{ kg}}{2 \text{ em} \times 1450 \frac{\text{kg}}{\text{cm}^2}}$$

$$l = 1,47 \text{ cm}$$

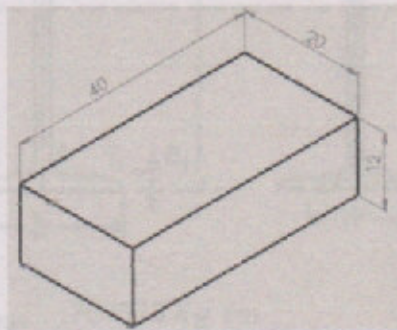
Verificación al aplastamiento

$$\sigma_{adm} = \frac{F}{\frac{a}{2} \times l} \Rightarrow l = \frac{F}{\frac{1,2}{2} \times \sigma_{adm}}$$

$$l = \frac{4287 \text{ kg}}{0,6 \text{ em} \times 1812,5 \frac{\text{kg}}{\text{cm}^2}}$$

$$\Rightarrow l = 3,94 \text{ cm}$$

Adoptamos chaveta normalizada de $20 \times 12 \times 40$ [mm]



2.7 Cálculo estructural de las vigas principales

$$P = 5675 \text{ kg}$$

$$Lucha = 10 \text{ m}$$

Material: SAE 1010

$$\sigma_{adm} = \frac{\sigma_{fluencia}}{\eta} = \frac{2100 \frac{\text{kg}}{\text{cm}^2}}{1.6} \Rightarrow \sigma_{adm} = 1312,5 \frac{\text{kg}}{\text{cm}^2}$$

$$M_{Max} = \frac{P}{2} \times l = \frac{5675 \text{ kg}}{2} \times 1000 \text{ cm} \Rightarrow M_{Max} = 709375 \text{ Kg.cm}$$

$$\sigma_{adm} = \frac{M_{Max}}{W} \Rightarrow W = \frac{M_{Max}}{\sigma_{adm}}$$

$$W = \frac{709375 \text{ Kg.cm}}{1312,5 \frac{\text{kg}}{\text{cm}^2}} \Rightarrow W = 540,47 \text{ cm}^3$$

Adoptamos perfil IPN 280 de $W = 542 \text{ cm}^3$

Dimensiones

$$h = 280 \text{ mm}$$

$$b = 119 \text{ mm}$$

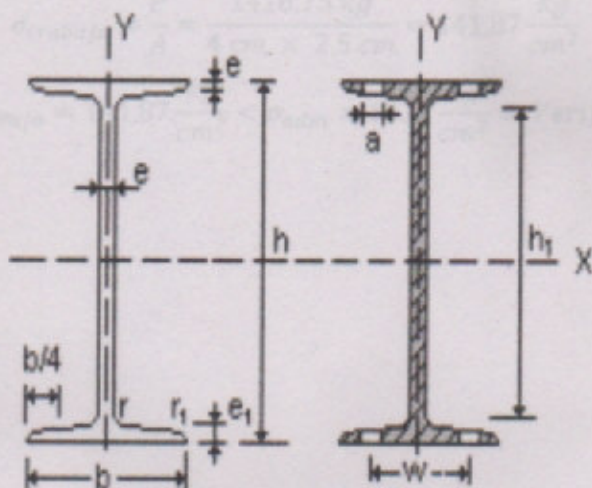
$$I_{yy} = 61,1 \text{ cm}^4$$

$$W = 542 \text{ cm}^3$$

$$P = 48 \text{ kg/m}$$

$$r = 18,1 \text{ mm}$$

$$r_x = 225 \text{ mm}$$



$$\sigma_{trab} = \frac{M_{Max}}{W} = \frac{709375 \text{ Kg.cm}}{542 \text{ cm}^3} \Rightarrow \sigma_{trab} = 1308,8 \frac{\text{kg}}{\text{cm}^2}$$

$$\sigma_{trab} = 1308,8 \frac{\text{kg}}{\text{cm}^2} < \sigma_{adm} = 1312,5 \frac{\text{kg}}{\text{cm}^2} \Rightarrow \text{Verifica}$$

Verificación al corte

$$\tau_{adm} = \sigma_{adm} \times 0,8 = 1312,5 \frac{\text{kg}}{\text{cm}^2} \times 0,8 \Rightarrow \tau_{adm} = 1050 \frac{\text{kg}}{\text{cm}^2}$$

$$P_{bisel} = 7000 \text{ kg}$$

$$\tau_{Trab} = \frac{P_{bisel}}{2 \text{ Sup}} = \frac{5675 \text{ kg}}{2 \times 61,1 \text{ cm}^2} \Rightarrow \tau_{Trab} = 46,44 \frac{\text{kg}}{\text{cm}^2}$$

$$\tau_{Trab} = 46,44 \frac{\text{kg}}{\text{cm}^2} < \tau_{adm} = 1050 \frac{\text{kg}}{\text{cm}^2} \Rightarrow \text{Verifica}$$

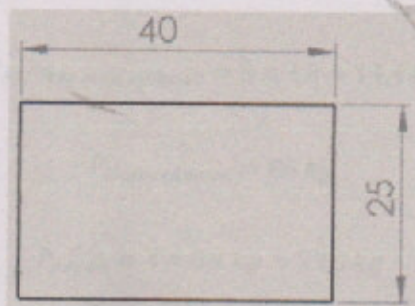
Verificación por compresión del perfil guía carril de traslación del carro

$$= 1418,75 \text{ kg}$$

SAE 1010

$$\sigma_{\text{trabajo}} = \frac{\sigma_{\text{fluencia}}}{\eta} = \frac{2100 \frac{\text{kg}}{\text{cm}^2}}{1.6} \Rightarrow \sigma_{\text{adm}} = 1312,5 \frac{\text{kg}}{\text{cm}^2}$$

teniendo en cuenta que la superficie de apoyo debe ser de al menos 36,6 mm, seleccionamos perfil:



$$\sigma_{\text{trabajo}} = \frac{P}{A} = \frac{1418,75 \text{ kg}}{4 \text{ cm} \times 2,5 \text{ cm}} = 141,87 \frac{\text{kg}}{\text{cm}^2}$$

$$\sigma_{\text{trabajo}} = 141,87 \frac{\text{kg}}{\text{cm}^2} < \sigma_{\text{adm}} = 1312 \frac{\text{kg}}{\text{cm}^2} \Rightarrow \text{Verifica}$$

2.2.1 Cálculo del peso del sistema de traslación del carro

estructura del carro

$$P_{\text{Carro}} = 85 \text{ Kg}$$

Traslación carro

$$P_{\text{Eje traslación}} = 1,5 \text{ kg}$$

Refuerzo guía interior

$$P_{\text{Refuerzo guía interior}} = 3 \times 3,1 = 9,3 \text{ kg}$$

Refuerzo traslación exterior

$$P_{\text{Refuerzo traslación exterior}} = 4,7 \text{ kg}$$

Refuerzo guía exterior

$$P_{\text{Refuerzo guía exterior}} = 3 \times 4,8 = 14,4 \text{ kg}$$

Motoreductor

$$P_{\text{Motoreductor}} = 85 \text{ kg}$$

Rueda

$$P_{\text{Rueda}} = 4 \times 8,4 \text{ kg} = 33,6 \text{ kg}$$

Eje guía carro

$$P_{\text{Eje guía carro}} = 2 \times 1 \text{ kg} = 2 \text{ kg}$$

Traslación carro

$$P_{\text{Eje traslación carro}} = 2 \times 1,5 \text{ kg} = 3 \text{ kg}$$

vigas Principales

$$P_{\text{Vigas Principales}} = 20 \text{ m} \times 48 \frac{\text{Kg}}{\text{m}} = 960 \text{ kg}$$

Perfil guía rueda carro traslación

$$P_{\text{Perfil guía carro}} = 2 \times 88,5 \text{ kg} = 177 \text{ kg}$$

Peso total del sistema de traslación del carro

$$P_{\text{Sistema de traslación del carro}} \cong 416 \text{ kg}$$

Peso total sistema de izaje, traslación del carro y carga

$$P_{T.\text{Sistema izaje y traslación del carro}} = P_{T.\text{Sist. Izaje}} + P_{\text{Sistema de traslación del carro}} + P_{\text{Carga}}$$

$$P_{T.\text{Sistema izaje y traslación del carro}} = 410 \text{ kg} + 1376 \text{ kg} + 5000 \text{ kg}$$

$$P_{T.\text{Sistema izaje y traslación del carro}} = 6786 \text{ kg}$$

2.2.2 Verificación peso estimado en cálculo ítem 26

$$P = P_{\text{Eje traslación}} + P_{\text{Refuerzo guía interior}} + P_{\text{Refuerzo guía exterior}} + P_{\text{Refuerzo traslación exterior}} \\ + P_{\text{Motoreductor}} + P_{\text{Rueda}} + P_{\text{Eje guía carro}}$$

$$P = 1,5 \text{ kg} + 9,3 \text{ kg} + 4,7 \text{ kg} + 14,4 \text{ kg} + 85 \text{ kg} + 33,6 + 3 \text{ kg}$$

$$P = 151,5 \text{ kg} \leq P_{\text{Sin calcular}} = 180 \text{ kg} \Rightarrow \text{Verifaca}$$

Como puede verse el peso estimado es de 151,5 kg, valor muy próximo al utilizado anteriormente para realizar los cálculos, los cuales teniendo en cuenta este criterio resultan correctos.

CÁLCULO DEL MECANISMO DE TRASLACIÓN DEL BIRRIEL

Cálculo diámetro del eje de las ruedas de las testeras

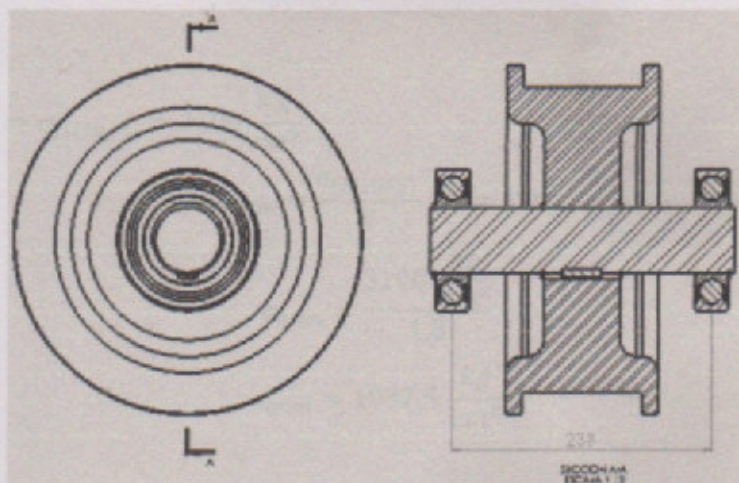
Teniendo en cuenta el mismo criterio anterior en cual hay mecanismos que aún no se han calculado, como como valor estimado de los distintos mecanismos en 850 kg.

$$P = \frac{P_{Carga} + P_{T.Sist.Izaje} + \frac{P_{Sistema\ traslación\ del\ carro}}{2} + P_{Sin\ calcular}}{2}$$

$$= \frac{5000\ kg + 410\ kg + \frac{1376\ kg}{2} + 850\ kg}{2}$$

$$= P = 3474\ Kg$$

Para el caso del cálculo del sistema de avance del birriel consideramos la peor condición, en la que el carro se encuentra ubicado en uno de los extremos laterales, por tal motivo los pesos de los mecanismos se encuentran dividido dos. El único caso que considero dividido cuatro es el sistema de traslación del carro, dado que el mayor peso de dicho sistema es el aportado por el de las vigas principales, la cuales su carga no tiene desplazamiento hacia los costados.



$$M_f = \frac{P \times l}{4} = \frac{3474\ kg \times 23,8\ cm}{4}$$

$$M_f = 20670\ kg$$

$$\sigma_{trab} = \frac{0,6 \times \sigma_{fl}}{N \times 1,7}; N = 1,8; \sigma_{fl(4140)} = 5900 \frac{kg}{cm^2}$$

$$\sigma_{trab} = \frac{0,6 \times 5900 \frac{kg}{cm^2}}{1,8 \times 1,7}$$

$$\sigma_{trab} = 1156,86 \frac{kg}{cm^2}$$

$$\sigma_{trab} = \frac{M_f}{W} \Rightarrow W = \frac{M_f}{\sigma_{trab}}$$

$$W = \frac{20670 \text{ kgcm}}{1156,86 \frac{\text{kg}}{\text{cm}^2}}$$

$$W = 17,867 \text{ cm}^3$$

$$W = \frac{\pi \times \phi^3}{32} \Rightarrow \phi = \sqrt[3]{\frac{17,867 \text{ cm}^3 \times 32}{\pi}}$$

$$\phi = 5,66 \text{ cm}$$

Adoptamos diametro del eje de $\phi = 6 \text{ cm}$

4.2 Cálculo rueda traslación birriel

$$P = 3474 \text{ Kg}$$

$$b = 2 \text{ mm}$$

$$\text{Mat. Acero SAE 1045} \Rightarrow \sigma_{f1(1045)} = 3100 \frac{\text{Kg}}{\text{cm}^2}$$

$$\sigma_{adm} = \frac{\sigma_{f1(1045)}}{N} ; N = 1,8$$

$$\sigma_{adm} = \frac{3100 \frac{\text{kg}}{\text{cm}^2}}{1,8}$$

$$\sigma_{adm} = 1937,5 \frac{\text{kg}}{\text{cm}^2}$$

$$\sigma_{Trabajo} = \frac{P}{A} = \frac{P}{b \times e} \Rightarrow e = \frac{P}{\sigma_{adm} \times b}$$

$$e = \frac{3474 \text{ kg}}{1937,5 \frac{\text{kg}}{\text{cm}^2} \times 0,2 \text{ cm}} = 8,96 \text{ cm}$$

El espesor de apoyo deberá ser del al menos 89,6 mm, igualmente el espesor de la rueda será mayor para permitir el giro por la vía del carril.

4.2 Verificación por compresión perfil guía carril de traslación de las testeras

$$P = 3474 \text{ kg}$$

Material SAE 1010

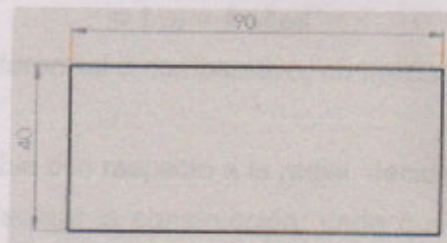
$$\sigma_{adm} = \frac{\sigma_{Fluencia}}{\eta} = \frac{2100 \frac{\text{kg}}{\text{cm}^2}}{1.6} \Rightarrow \sigma_{adm} = 1312,5 \frac{\text{kg}}{\text{cm}^2}$$

Teniendo en cuenta que la superficie de apoyo debe ser de al menos 89,6 mm:

$$\sigma_{trabajo} = \frac{P}{A} = \frac{3474 \text{ kg}}{9 \text{ cm} \times 4 \text{ cm}} = 96,5 \frac{\text{kg}}{\text{cm}^2}$$

$$\sigma_{trabajo} = 96,5 \frac{\text{kg}}{\text{cm}^2} < \sigma_{adm} = 1312,5 \frac{\text{kg}}{\text{cm}^2} \Rightarrow \text{Verifica}$$

Adoptamos perfil 90 x 40



Selección de rodamientos de los ejes de las testeras

Del catálogo SKF online seleccionamos rodamientos a bolas 6312-2RSH cuyas características son:

- Ancho B: 31 mm
- C0: 5297 kg
- C: 8679 kg
- ϕ : 60 mm
- D: 130 mm
- Peso: 1,76 kg

Cálculo de la vida útil del rodamiento

$$L_{10} = \sqrt[3]{\frac{C}{P}} = \sqrt[3]{\frac{5297}{1737}} \Rightarrow L_{10} = 40 \text{ millones de revoluciones}$$

$$L_{10} = \frac{40 \text{ millones de revoluciones}}{22,7 \text{ rpm}} \times \frac{1 \text{ h}}{60 \text{ min}} \times \frac{1 \text{ día}}{24 \text{ hs}} \times \frac{1 \text{ año}}{365 \text{ días}}$$

$$\Rightarrow L_{10} = 4 \text{ años}$$

El valor obtenido es de carácter referencial o comparativo, no precisamente el rodamiento va a durar ese tiempo en todos los casos.

Como la fuerza axial es despreciable con respecto a la radial, decidimos utilizar rodamientos a bolas rígidos en lugar de rodillos para facilitar la construcción, dado que estos no vienen sellados. Los rodamientos a bolas rígidos soportan cargas radiales y axiales en ambos sentidos y requieren poco mantenimiento.

Por otro lado, considerando los puentes grúas que se fabrican en el mercado y teniendo en cuenta que son de tamaño mediano a pequeño, utilizan rodamientos a bolas.

Cálculo motoreductor de las testeras

$$P_{\text{Carga}} + P_{T,\text{Sist. Iza je}} + P_{\text{Sistema traslación del carro}} + P_{\text{Sin calcular}}$$

$$= 5000 \text{ kg} + 410 \text{ kg} + 1376 \text{ kg} + 850 \text{ kg}$$

$$\Rightarrow P = 7636 \text{ Kg}$$

$$\Rightarrow 777,91 \text{ kg}$$

$$\Rightarrow 36,8 \text{ cm} = 0,14 \text{ m}$$

$$\Rightarrow 30 \sim 20 \frac{\text{m}}{\text{min}} \Rightarrow 0,33 \frac{\text{m}}{\text{s}}$$

$$\Rightarrow 0,15 \text{ (metal sobre metal - Dubel I pág. 273)}$$

$$\Rightarrow \text{para alcanzar la } V_f = 2 \text{ a } 4 \text{ s (Dubel II pág. 655)}$$

$$\Rightarrow 0,7 = \text{Catálogo SEW}$$

$$\frac{V_2 - V_1}{t} = \frac{0,33 \frac{\text{m}}{\text{s}}}{2 \text{ s}} = 0,166 \frac{\text{m}}{\text{s}^2}$$

$$\Sigma F_y = N - P = 0$$

$$\Rightarrow N = 7636 \text{ Kg}$$

$$\Sigma F_x = F - F_r = m \times a$$

$$\Sigma F_x = F = m \times a + F_r, \quad F_r = \mu \times N$$

$$F_r = 0,15 \times 7636 \text{ kg} = 1145,4 \text{ kg}$$

$$F = 777,91 \text{ kg} \times 0,166 \frac{\text{m}}{\text{s}^2} + 1145,4 \text{ kg}$$

$$\Rightarrow F = 1274,5 \text{ kg}$$

$$M_t = F \times r$$

$$M_t = 1274,5 \text{ kg} \times 0,14 \text{ m} = 178,42 \text{ kgm}$$

$$M_t = 17842,7 \text{ kgcm} = 1817,72 \text{ Nm}$$

$$V = w \times r \Rightarrow w = \frac{V}{r}$$

$$w = \frac{0,33 \frac{\text{m}}{\text{s}}}{0,14 \text{ m}} \times \frac{60 \text{ s}}{2\pi} = 22,50 \text{ rpm}$$

$$M_t = \frac{71620 \times N}{w \times \eta} \Rightarrow N = \frac{M_t \times w \times \eta}{71620}$$

$$N = \frac{17609,8 \text{ kgcm} \times 22,5 \text{ rpm} \times 0,8}{71620}$$

$$\Rightarrow N = 4,48 \text{ HP}$$

Seleccionamos 2 motoreductores de 3 HP cada uno

Con freno electromagnético



Adaptamos chaveta normalizada de 20 x 12 x 30 [mm]

4.4.2 Cálculo chaveta ejes testeras

$$\sigma_{adm} = 2900 \text{ kg/cm}^2 \text{ (Acero SAE 1045)}$$

$$\sigma_{adm} = \frac{\sigma_{fatiga}}{1,6} = 1812,5 \text{ kg/cm}^2$$

$$\tau_{adm} = 0,8 \times \sigma_{adm} = 1450 \text{ kg/cm}^2$$

$$M_t = 71620 \times \frac{Pot}{w}$$

$$M_t = 71620 \times \frac{3 \text{ HP}}{28,64 \text{ rpm}}$$

$$M_t = 7502,09 \text{ kgcm}$$

$$F = \frac{M_t}{r_{eje}}$$

$$F = \frac{7502,09 \text{ kgcm}}{3 \text{ cm}}$$

$$F = 2500,7 \text{ kg}$$

Verificación al corte

$$\tau = \frac{F}{b \times l} \Rightarrow l = \frac{F}{b \times \tau}$$

$$l = \frac{2500,7 \text{ kg}}{2 \text{ cm} \times 1450 \text{ kg/cm}^2}$$

$$l = 0,86 \text{ cm}$$

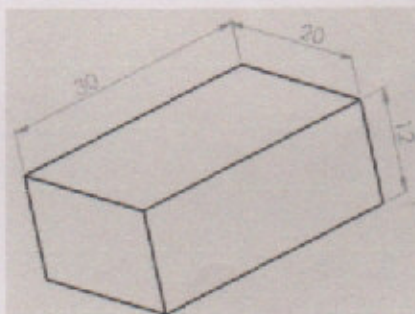
Verificación al aplastamiento

$$\sigma_{adm} = \frac{F}{\frac{a}{2} \times l} \Rightarrow l = \frac{F}{\frac{1,2}{2} \times \sigma_{adm}}$$

$$l = \frac{2500,7 \text{ kg}}{0,6 \text{ cm} \times 1812,5 \frac{\text{kg}}{\text{cm}^2}}$$

$$\Rightarrow l = 2,3 \text{ cm}$$

Adoptamos chaveta normalizada de $20 \times 12 \times 30$ [mm]



Cálculo bulones unión birriel-testeras

$$P = 3474 \text{ kg}$$

$$\sigma_{\text{adm}} = \frac{\sigma_{\text{fluencia}}}{\eta} = \frac{2100 \frac{\text{kg}}{\text{cm}^2}}{1.6} \Rightarrow \sigma_{\text{adm}} = 1312,5 \frac{\text{kg}}{\text{cm}^2}$$

$$\tau_{\text{adm}} = \sigma_{\text{adm}} \times 0,6 = 1312,5 \frac{\text{kg}}{\text{cm}^2} \times 0,6 \Rightarrow \tau_{\text{adm}} = 787,5 \frac{\text{kg}}{\text{cm}^2}$$

Seleccionamos bulones 5/8"

$$\phi_{\text{Nucleo}} = \phi_{\text{Total}} - \text{Profundidad}_{\text{rosca}}$$

$$\phi_{\text{Nucleo}} = 1,58 \text{ cm} - 0,29 \text{ cm}$$

$$\phi_{\text{Nucleo}} = 1,29 \text{ cm}$$

Verificación:

$$\tau_{\text{Trabajo}} = \frac{3474 \text{ kg}}{4 \times \frac{\pi \times 1,29^2}{4}}$$

$$\Rightarrow \tau_{\text{Trabajo}} = 664,5 \frac{\text{kg}}{\text{cm}^2} < \tau_{\text{adm}} = 787,5 \frac{\text{kg}}{\text{cm}^2} \Rightarrow \text{Verifica}$$

Cálculo espesor placa soporte viga principal

$$\sigma_{\text{aplastamiento}} = 2100 \frac{\text{kg}}{\text{cm}^2}$$

$$P = 3474 \text{ kg}$$

$$P = e \times \phi \times \sigma_{\text{aplastamiento}} \Rightarrow e = \frac{P}{n \times \phi \times \sigma_{\text{aplastamiento}}} = \frac{3474 \text{ kg}}{4 \times 1,29 \text{ cm} \times 2100 \frac{\text{kg}}{\text{cm}^2}}$$

$$\Rightarrow e = 0,32$$

Adoptamos espesor 1/4"

Cálculo estructural de las testeras

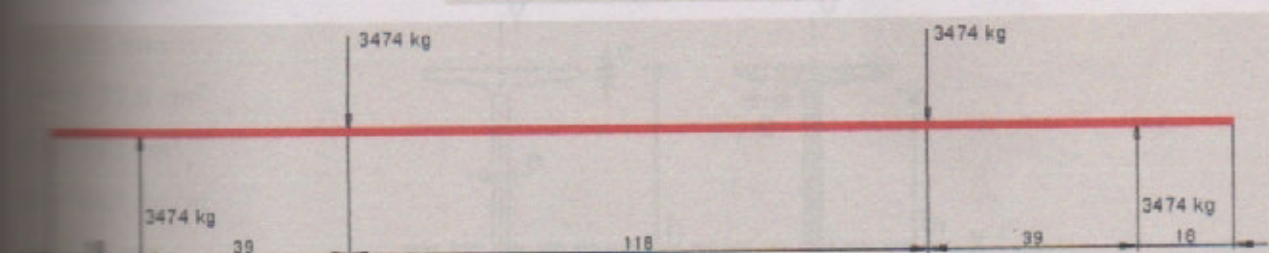
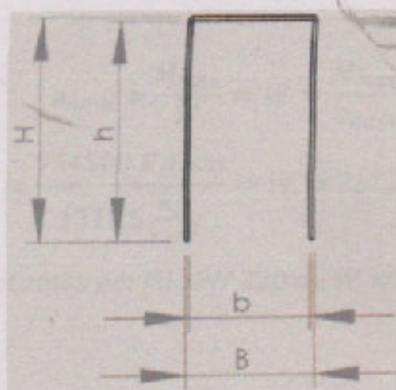
$$P = 3474 \text{ kg}$$

$$\sigma_{Fluencia} = \frac{2100 \frac{\text{kg}}{\text{cm}^2}}{\eta} = \frac{2100 \frac{\text{kg}}{\text{cm}^2}}{1.6} \Rightarrow \sigma_{adm} = 1312,5 \frac{\text{kg}}{\text{cm}^2}$$

Cálculo a la flexión:

$$W = \frac{B \times H^2 - b \times h^2}{6} = \frac{19,27 \text{ cm} \times (34 \text{ cm})^2 - 18,0 \text{ cm} \times (33,36 \text{ cm})^2}{6}$$

$$\Rightarrow W = 378,6 \text{ cm}^3$$



$$M_{fMAX} = P \times l = 3474 \text{ kg} \times 39 \text{ cm}$$

$$\Rightarrow M_{fMAX} = 135486 \text{ kg.cm}$$

$$\sigma_{Trabajo} = \frac{M_{fMAX}}{W} = \frac{135486 \text{ kg.cm}}{378,6 \text{ cm}^3}$$

$$\Rightarrow \sigma_{Trabajo} = 358 < \sigma_{adm} = 1312,5 \frac{\text{kg}}{\text{cm}^2} \Rightarrow \text{Verifica}$$

Cálculo estructural de las vigas carrileras de las testeras

$$P = 7636 \text{ kg}$$

$$\text{Distancia entre columnas} = 5 \text{ m}$$

Material: SAE 1010

$$\sigma_{Fluencia} = \frac{\sigma_{Fluencia}}{\eta} = \frac{2100 \frac{\text{kg}}{\text{cm}^2}}{1.6} \Rightarrow \sigma_{adm} = 1312,5 \frac{\text{kg}}{\text{cm}^2}$$

$$M_{Max} = \frac{P \times l}{4} = \frac{7636 \text{ kg} \times 500 \text{ cm}}{4} \Rightarrow M_{Max} = 954500 \text{ Kg.cm}$$

$$\sigma_{adm} = \frac{M_{Max}}{W} \Rightarrow W = \frac{M_{Max}}{\sigma_{adm}}$$

$$W = \frac{954500 \text{ Kg.cm}}{1312,5 \frac{\text{kg}}{\text{cm}^2}} \Rightarrow W = 727,23 \text{ cm}^3$$

Adoptamos perfil IPN 320 de $W = 782 \text{ cm}^3$

Dimensiones

$$h = 320 \text{ mm}$$

$$b = 131 \text{ mm}$$

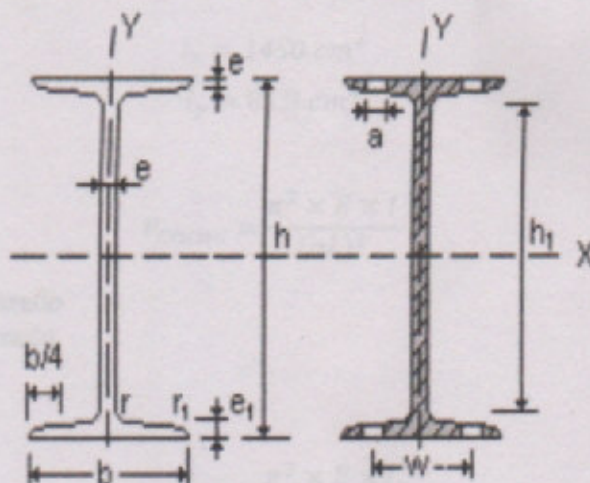
$$I_x = 77,8 \text{ cm}^2$$

$$W_x = 782 \text{ cm}^3$$

$$P = 61,1 \text{ kg/m}$$

$$r = 11,5 \text{ mm}$$

$$r_1 = 25,7 \text{ mm}$$



$$\sigma_{trab} = \frac{M_{Max}}{W} = \frac{954500 \text{ Kg.cm}}{782 \text{ cm}^3} \Rightarrow \sigma_{trab} = 1220,6 \frac{\text{kg}}{\text{cm}^2}$$

$$\sigma_{trab} = 1220,6 \frac{\text{kg}}{\text{cm}^2} < \sigma_{adm} = 1312,5 \frac{\text{kg}}{\text{cm}^2} \Rightarrow \text{Verifica}$$

Verificación al corte

$$\tau_{adm} = \sigma_{adm} \times 0,8 = 1312,5 \frac{\text{kg}}{\text{cm}^2} \times 0,8 \Rightarrow \tau_{adm} = 1050 \frac{\text{kg}}{\text{cm}^2}$$

$$P = 7636 \text{ kg}$$

$$\tau_{Trab} = \frac{P_{Total}}{2 \times Sup} = \frac{7636 \text{ kg}}{2 \times 77,8 \text{ cm}^2} \Rightarrow \tau_{Trab} = 49,07 \frac{\text{kg}}{\text{cm}^2}$$

$$\tau_{Trab} = 49,07 \frac{\text{kg}}{\text{cm}^2} < \tau_{adm} = 1050 \frac{\text{kg}}{\text{cm}^2} \Rightarrow \text{Verifica}$$

Cálculo del perfil de las columnas

Distancia entre columnas = 5 m

Altura de las columnas = 6,4 m (Altura Útil 6 m)

$$\sigma_{adm} = \frac{\sigma_{fluencia}}{\eta} = \frac{2100 \frac{kg}{cm^2}}{1.6} \Rightarrow \sigma_{adm} = 1312,5 \frac{kg}{cm^2}$$

$$P = 2.100.000 \frac{kg}{cm^2}$$

$$P = 7636 \text{ Kg}$$

$$\sigma_{adm} = \frac{P}{A} \Rightarrow A = \frac{P}{\sigma_{adm}} = \frac{7636 \text{ kg}}{1312,5 \frac{kg}{cm^2}}$$

$$\Rightarrow A = 5,81 \text{ cm}^2$$

Dado que el perfil IPN 80 que corresponde para la superficie calculada anteriormente no verifica:

adoptamos perfil IPN 180

$$I_x = 1450 \text{ cm}^4$$

$$I_y = 81,3 \text{ cm}^4$$

verificación a pandeo

$$P_{Crítico} = \frac{\pi^2 \times E \times I}{(\alpha L)^2}$$

 $\alpha = 0,5$ empotrado-empotrado

 $\alpha = 0,70$ articulado-empotrado

 $\alpha = 2$ libre-empotrado

$$P_{Crítico_y} = \frac{\pi^2 \times E \times I_y}{(\alpha L)^2}$$

$$P_{Crítico_y} = \frac{\pi^2 \times 2.100.000 \frac{kg}{cm^2} \times 81,3 \text{ cm}^4}{(0,7 \times 630 \text{ cm})^2}$$

$$P_{Crítico_y} = 8.664 \text{ kg} > P_{Total} = 7.636 \text{ kg} \Rightarrow \text{Verifica}$$

$$P_{Crítico_x} = \frac{\pi^2 \times 2.100.000 \frac{kg}{cm^2} \times 1.450 \text{ cm}^4}{(0,7 \times 630 \text{ cm})^2}$$

$$P_{Crítico_x} = 154.528 \text{ kg} > P_{Total} = 7.636 \text{ kg} \Rightarrow \text{Verifica}$$

4.12 Cálculo del peso del mecanismo de traslación del birriel

Utilizando el software Solidworks estimamos el peso de cada componente del sistema:

Vigas carrileras

$$P_{\text{Vigas Carrileras}} = 2 \times 1527 \text{ kg} = 3055 \text{ kg}$$

Perfil guía carril testeras

$$P_{\text{Perfil guía carril testeras}} = 2 \times 354 \text{ kg} = 708 \text{ kg}$$

Estructura testeras

$$P_{\text{Estructura testeras}} = 2 \times 94 \text{ kg} = 188 \text{ kg}$$

Ruedas

$$P_{\text{Ruedas}} = 4 \times 44 \text{ kg} = 176 \text{ kg}$$

Eje rueda guía

$$P_{\text{Eje rueda guía}} = 2 \times 4 \text{ kg} = 8 \text{ kg}$$

Eje traslación

$$P_{\text{Eje traslación}} = 2 \times 6 \text{ kg} = 12 \text{ kg}$$

Refuerzo rueda guía testera

$$P_{\text{Refuerzo rueda guía testera}} = 6 \times 22 \text{ kg} = 132 \text{ kg}$$

Refuerzo rueda traslación testera

$$P_{\text{Refuerzo rueda traslación testera}} = 2 \times 32 \text{ kg} = 64 \text{ kg}$$

Placa soporte vigas principales

$$P_{\text{Placa Soporte vigas principales}} = 2 \times 3 \text{ kg} = 6 \text{ kg}$$

Rodamientos

$$P_{\text{Rodamientos}} = 8 \times 2,75 \text{ kg} = 13,84 \text{ kg}$$

Motoreductor

$$P_{\text{Motoreductor}} = 2 \times 105 \text{ kg} = 210 \text{ kg}$$

Peso total del sistema de traslación del birriel

$$P_{\text{Sistema de traslación del birriel}} \cong 4581 \text{ kg}$$

Peso total sistema de izaje, traslación del carro, traslación del birriel y carga

$$P_{\text{Total}} = P_{T.\text{Sist. Izaje}} + P_{\text{Sistema de traslación del carro}} + P_{\text{Sistema de traslación del birriel}} + P_{\text{Carga}}$$

$$P_{\text{Total}} = 410 \text{ kg} + 1376 \text{ kg} + 4581 \text{ kg} + 5000 \text{ kg}$$

$$P_{\text{Total}} = 11370 \text{ kg}$$

4.33 Verificación peso estimado en cálculo ítem 34

$$P = \frac{P_{\text{Testeras}} + P_{\text{Ruedas}} + P_{\text{Eje guía}} + P_{\text{R. rueda guía}} + P_{\text{R. rueda tracción}} + P_{\text{Placa Soporte}} + P_{\text{Rodamientos}} + P_{\text{Motoreductor}}}{2}$$

$$P = \frac{708 \text{ kg} + 188 \text{ kg} + 176 \text{ kg} + 8 \text{ kg} + 12 \text{ kg} + 132 \text{ kg} + 64 \text{ kg} + 6 \text{ kg} + 22 \text{ kg} + 210 \text{ kg}}{2}$$

$$P = 770 \text{ kg} \leq P_{\text{Sin calcular}} = 850 \text{ kg} \Rightarrow \text{Verifaca}$$

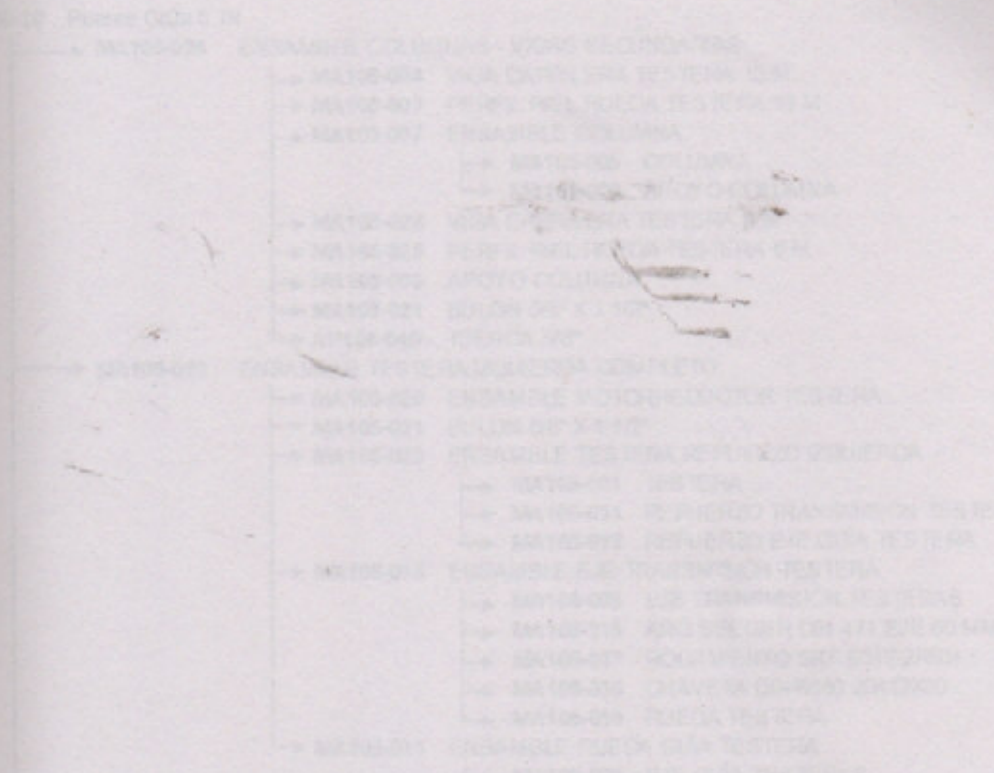
Como puede verse el peso estimado es de 770 kg, valor muy próximo al utilizado anteriormente para realizar los cálculos, los cuales teniendo en cuenta este criterio resultan correctos.

5. CONCLUSIÓN

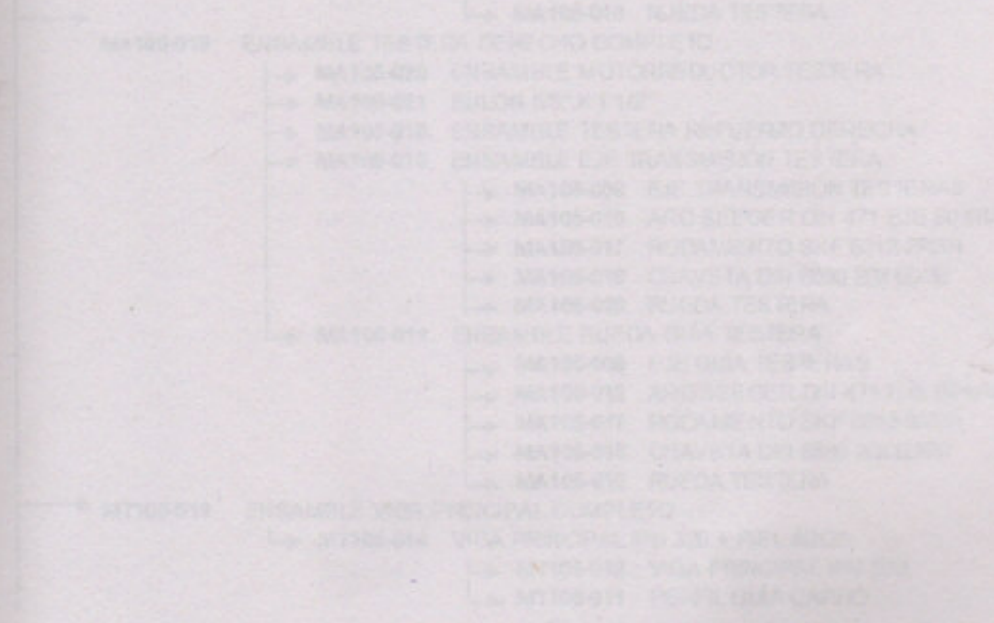
El proyecto que realizamos ha contribuido de manera muy importante para identificar y resaltar los puntos que hay que cubrir y considerar para llevar a cabo un proyecto desde el comienzo, identificar un punto de donde comenzar, relacionar asignaturas como Estabilidad, Tecnología Mecánica, Elementos de Máquinas, entre otras.

Esto deja muchas cosas importantes que reflexionar y muchas otras las ha reforzado para llevar una buena implementación de los conocimientos adquiridos a lo largo de la carrera.

PLANIMETRÍA



PLANIMETRÍA



10 Puente Grúa 5 TN

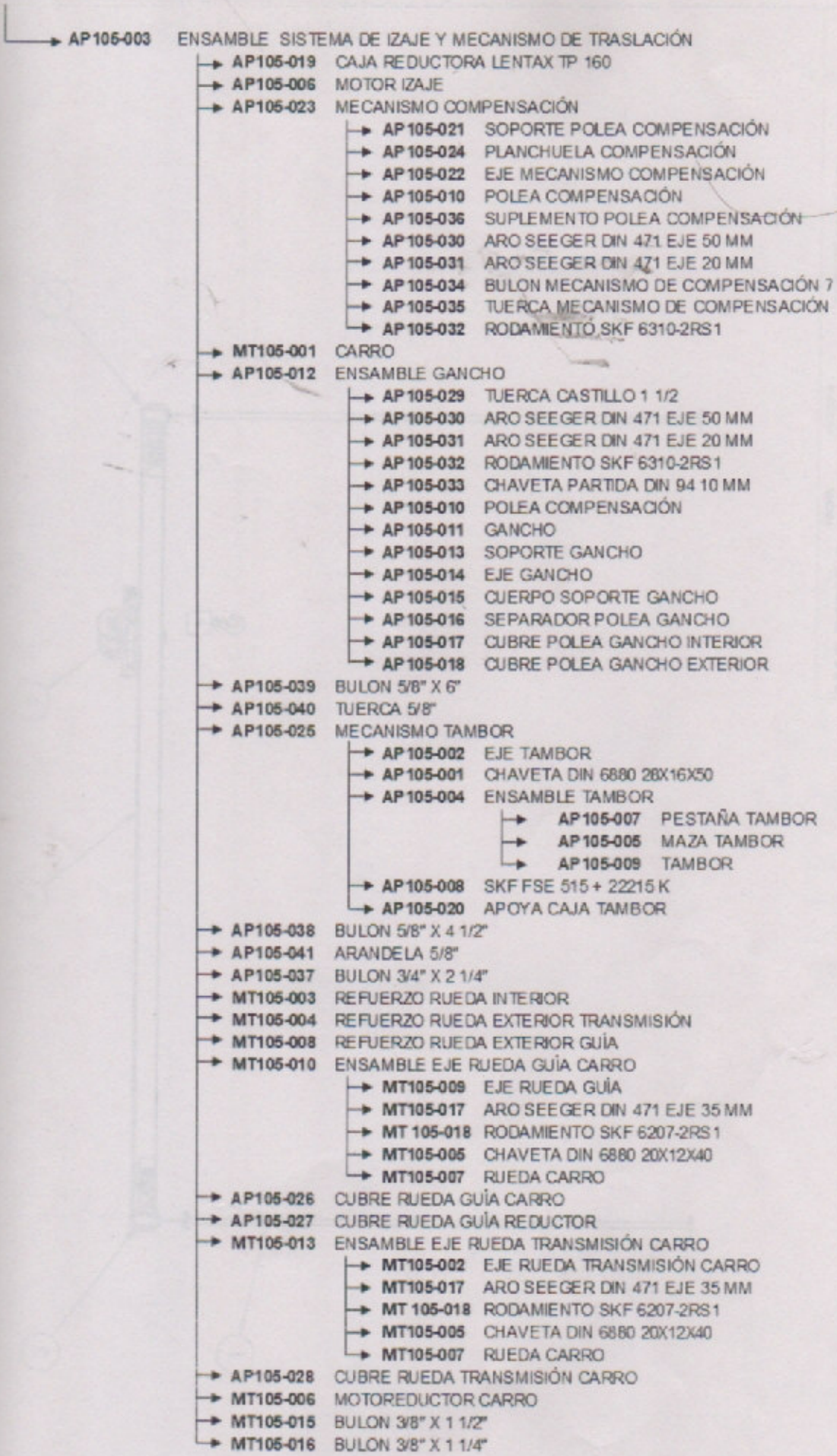
- MA105-024 ENSAMBLE COLUMNAS - VIGAS SECUNDARIAS
 - MA105-004 VIGA CARRILERA TESTERA 10 M
 - MA105-003 PERFIL RIEL RUEDA TESTERA 10 M
 - MA105-007 ENSAMBLE COLUMNA
 - MA105-005 COLUMNA
 - MA105-006 APOYO COLUMNA
 - MA105-026 VIGA CARRILERA TESTERA 5 M
 - MA105-025 PERFIL RIEL RUEDA TESTERA 5 M
 - MA105-006 APOYO COLUMNA
 - MA105-021 BULON 5/8" X 1 1/2"
 - AP105-040 TUERCA 5/8"

- MA105-022 ENSAMBLE TESTERA IZQUIERDA COMPLETO
 - MA105-020 ENSAMBLE MOTORREDUCTOR TESTERA
 - MA105-021 BULON 5/8" X 1 1/2"
 - MA105-023 ENSAMBLE TESTERA REFUERZO IZQUIERDA
 - MA105-001 TESTERA
 - MA105-014 REFUERZO TRANSMISIÓN TESTERA
 - MA105-012 REFUERZO EJE GUÍA TESTERA
 - MA105-013 ENSAMBLE EJE TRANSMISIÓN TESTERA
 - MA105-008 EJE TRANSMISIÓN TESTERAS
 - MA105-016 ARO SEEGER DIN 471 EJE 60 MM
 - MA105-017 RODAMIENTO SKF 6312-2RSH
 - MA105-015 CHAVETA DIN 6880 20X12X30
 - MA105-010 RUEDA TESTERA
 - MA105-011 ENSAMBLE RUEDA GUÍA TESTERA
 - MA105-009 EJE GUÍA TESTERAS
 - MA105-016 ARO SEEGER DIN 471 EJE 60 MM
 - MA105-017 RODAMIENTO SKF 6312-2RSH
 - MA105-015 CHAVETA DIN 6880 20X12X30
 - MA105-010 RUEDA TESTERA

- MA105-019 ENSAMBLE TESTERA DERECHO COMPLETO
 - MA105-020 ENSAMBLE MOTORREDUCTOR TESTERA
 - MA105-021 BULON 5/8" X 1 1/2"
 - MA105-018 ENSAMBLE TESTERA REFUERZO DERECHA
 - MA105-013 ENSAMBLE EJE TRANSMISIÓN TESTERA
 - MA105-008 EJE TRANSMISIÓN TESTERAS
 - MA105-016 ARO SEEGER DIN 471 EJE 60 MM
 - MA105-017 RODAMIENTO SKF 6312-2RSH
 - MA105-015 CHAVETA DIN 6880 20X12X30
 - MA105-010 RUEDA TESTERA
 - MA105-011 ENSAMBLE RUEDA GUÍA TESTERA
 - MA105-009 EJE GUÍA TESTERAS
 - MA105-016 ARO SEEGER DIN 471 EJE 60 MM
 - MA105-017 RODAMIENTO SKF 6312-2RSH
 - MA105-015 CHAVETA DIN 6880 20X12X30
 - MA105-010 RUEDA TESTERA

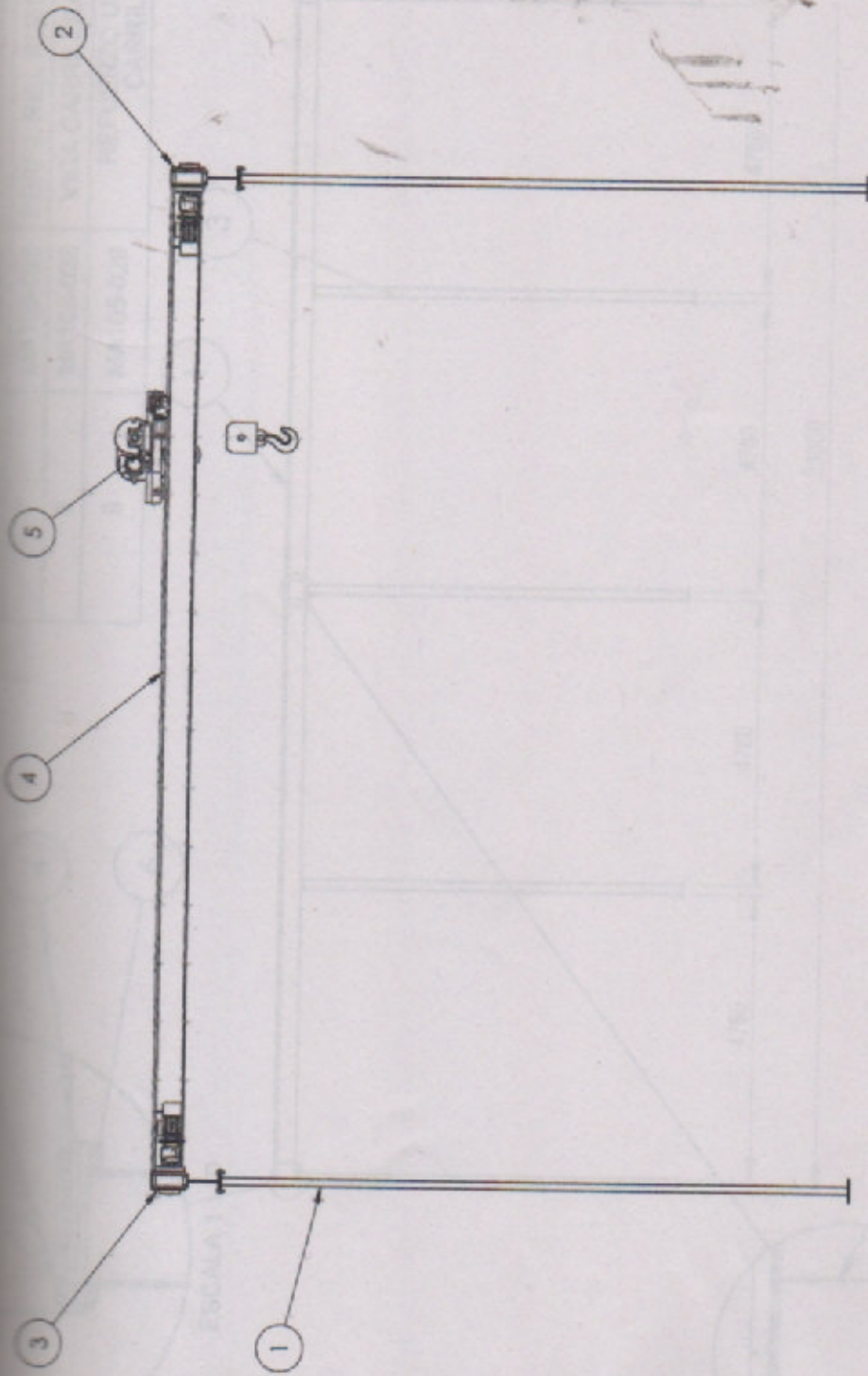
- MT105-019 ENSAMBLE VIGA PRINCIPAL COMPLETO
 - MT105-014 VIGA PRINCIPAL IPN 320 + RIEL 40X20
 - MT105-012 VIGA PRINCIPAL IPN 320
 - MT105-011 PERFIL GUÍA CARRO

| | | | |
|------------|-------------------|--------------------|---------|
| FECHA | 11/3/2018 | | |
| DIBUJO | AGUIRRE ALEJANDRO | ÍNDICE PLANIMETRÍA | |
| CONTROLADO | MEDEI URIEL | MATERIAL | - |
| APROBÓ | - | CÓDIGO | - |
| | | TIPO DE PLANO: | ESCALA: |
| | | PLANIMETRÍA | - |



→ AP105-003 ENSAMBLE SISTEMA DE IZAJE Y MECANISMO DE TRASLACIÓN

- AP105-019 CAJA REDUCTORA LENTAX TP 160
- AP105-006 MOTOR IZAJE
- AP105-023 MECANISMO COMPENSACIÓN
 - AP 105-021 SOPORTE POLEA COMPENSACIÓN
 - AP 105-024 PLANCHUELA COMPENSACIÓN
 - AP 105-022 EJE MECANISMO COMPENSACIÓN
 - AP 105-010 POLEA COMPENSACIÓN
 - AP 105-036 SUPLEMENTO POLEA COMPENSACIÓN
 - AP105-030 ARO SEEGER DIN 471 EJE 50 MM
 - AP105-031 ARO SEEGER DIN 471 EJE 20 MM
 - AP 105-034 BULON MECANISMO DE COMPENSACIÓN 7
 - AP 105-035 TUERCA MECANISMO DE COMPENSACIÓN
 - AP 105-032 RODAMIENTO SKF 6310-2RS1
- MT105-001 CARRO
- AP105-012 ENSAMBLE GANCHO
 - AP 105-029 TUERCA CASTILLO 1 1/2
 - AP 105-030 ARO SEEGER DIN 471 EJE 50 MM
 - AP 105-031 ARO SEEGER DIN 471 EJE 20 MM
 - AP 105-032 RODAMIENTO SKF 6310-2RS1
 - AP 105-033 CHAVETA PARTIDA DIN 94 10 MM
 - AP 105-010 POLEA COMPENSACIÓN
 - AP 105-011 GANCHO
 - AP 105-013 SOPORTE GANCHO
 - AP 105-014 EJE GANCHO
 - AP 105-015 CUERPO SOPORTE GANCHO
 - AP 105-016 SEPARADOR POLEA GANCHO
 - AP 105-017 CUBRE POLEA GANCHO INTERIOR
 - AP 105-018 CUBRE POLEA GANCHO EXTERIOR
- AP105-039 BULON 5/8" X 6"
- AP105-040 TUERCA 5/8"
- AP105-025 MECANISMO TAMBOR
 - AP 105-002 EJE TAMBOR
 - AP 105-001 CHAVETA DIN 6880 28X16X50
 - AP 105-004 ENSAMBLE TAMBOR
 - AP 105-007 PESTAÑA TAMBOR
 - AP 105-005 MAZA TAMBOR
 - AP 105-009 TAMBOR
 - AP 105-008 SKF FSE 515 + 22215 K
 - AP 105-020 APOYA CAJA TAMBOR
- AP105-038 BULON 5/8" X 4 1/2"
- AP105-041 ARANDELA 5/8"
- AP105-037 BULON 3/4" X 2 1/4"
- MT105-003 REFUERZO RUEDA INTERIOR
- MT105-004 REFUERZO RUEDA EXTERIOR TRANSMISIÓN
- MT105-008 REFUERZO RUEDA EXTERIOR GUÍA
- MT105-010 ENSAMBLE EJE RUEDA GUÍA CARRO
 - MT105-009 EJE RUEDA GUÍA
 - MT105-017 ARO SEEGER DIN 471 EJE 35 MM
 - MT 105-018 RODAMIENTO SKF 6207-2RS1
 - MT105-005 CHAVETA DIN 6880 20X12X40
 - MT105-007 RUEDA CARRO
- AP105-026 CUBRE RUEDA GUÍA CARRO
- AP105-027 CUBRE RUEDA GUÍA REDUCTOR
- MT105-013 ENSAMBLE EJE RUEDA TRANSMISIÓN CARRO
 - MT105-002 EJE RUEDA TRANSMISIÓN CARRO
 - MT105-017 ARO SEEGER DIN 471 EJE 35 MM
 - MT 105-018 RODAMIENTO SKF 6207-2RS1
 - MT105-005 CHAVETA DIN 6880 20X12X40
 - MT105-007 RUEDA CARRO
- AP105-028 CUBRE RUEDA TRANSMISIÓN CARRO
- MT105-006 MOTOREDUCTOR CARRO
- MT105-015 BULON 3/8" X 1 1/2"
- MT105-016 BULON 3/8" X 1 1/4"



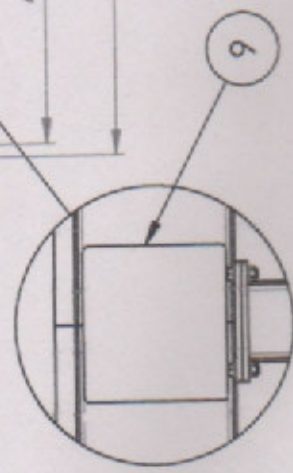
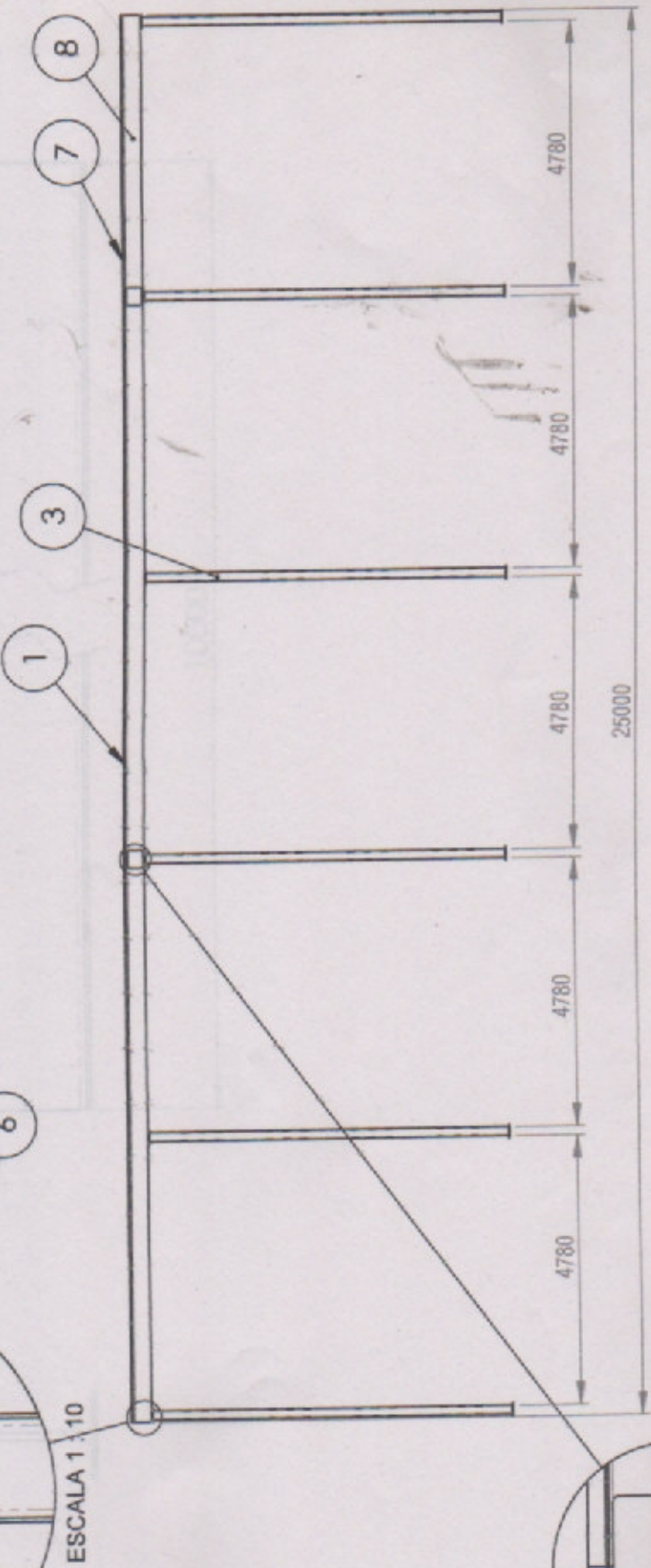
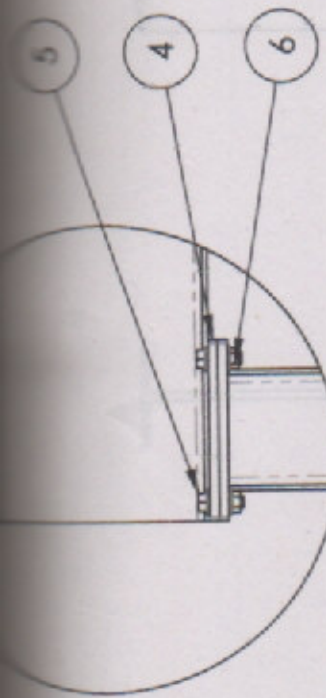
| | | | | | |
|----------|-------------------|-------------------|------------------|----------------|----------|
| FECHA | 18/02/2018 | ENSAJO E COLUMNAS | PUENTE GRÚA 5 TN | ESCALA: | 1:50 |
| DIBUJO | AGUIRRE ALEJANDRO | | | TIPO DE PLANO: | DESPIECE |
| CONTROL | MECIBUREL | | MATERIAL | | |
| APROBADO | | | CODIGO | PG-5000-10 | |



UTN

DETALLE 6
ESCALA 1:10

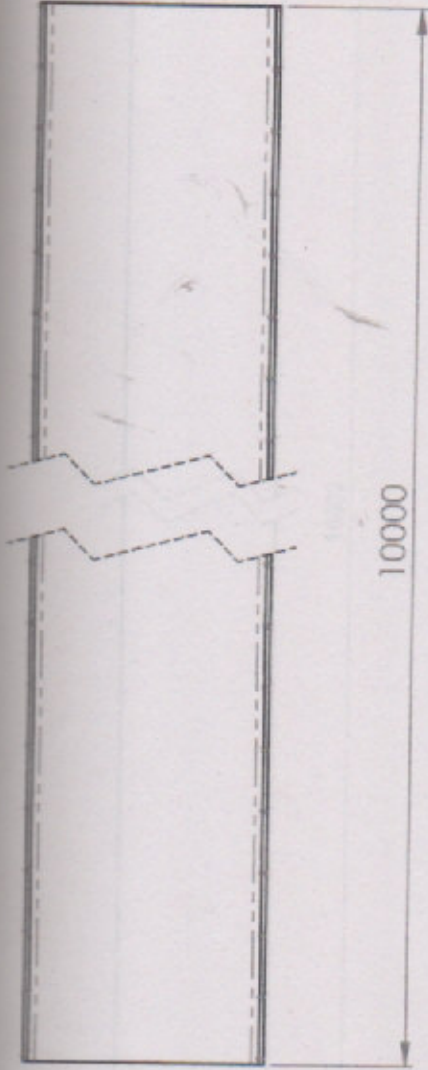
| | | | |
|---|-----------|---------------------------------|----|
| 4 | MA105-006 | APOYO COLUMNA | 6 |
| 5 | MA105-021 | BULON 5/8" X 1 1/2" | 36 |
| 6 | AP105-040 | TUERCA 5/8" | 36 |
| 7 | MA105-025 | PERFIL RIEL RUEDA TESTERA 5 M | 1 |
| 8 | MA105-026 | VIGA CARRILERA TESTERA 5 M | 1 |
| 9 | MA105-029 | REFUERZO UNIÓN VIGAS CARRILERAS | 4 |



| | |
|------------|-------------------|
| FECHA | 9/4/2018 |
| DIBUJO | AGUIRRE ALEJANDRO |
| CONTROLADO | MEDEI URIEL |
| APROBÓ | - |

| | |
|----------|---------------------------------------|
| VIGA | ENSAMBLE COLUMNAS - VIGAS SECUNDARIAS |
| MATERIAL | - |
| CÓDIGO | MA105-024 |

| | |
|----------------|----------|
| TIPO DE PLANO: | DESPIECE |
| ESCALA: | 1:100 |



FECHA

18/4/2018

DIBUJO

AGUIRRE ALEJANDRO

CONTROLADO

MEDEI URIEL

APROBÓ

-

VIGA CARRILERA TESTERA 10 M

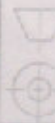
MATERIAL

SAE 1010

TIPO DE PLANO:

PIEZA

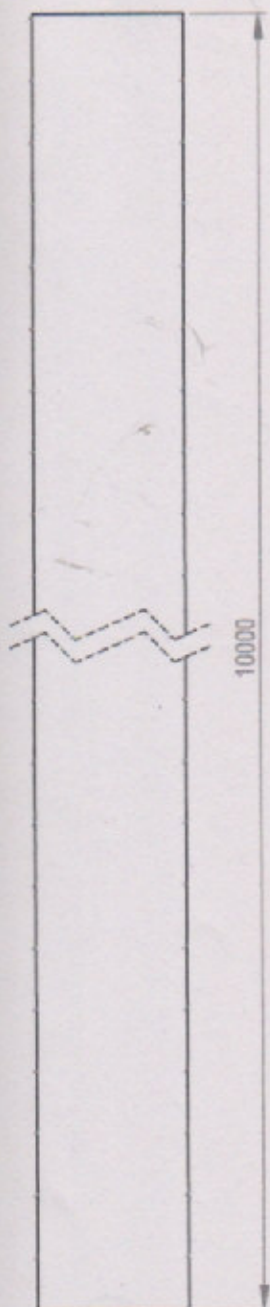
MA105-004



ESCALA:

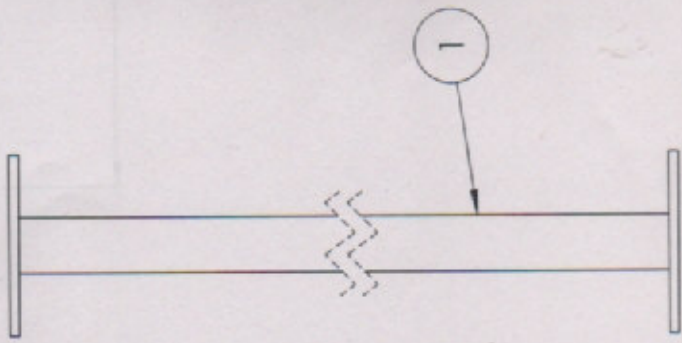
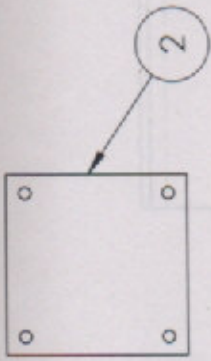
1:10

PERFIL IPN 320



PERFIL 90 X 40

| | | | | | |
|------------|-------------|-------------------|--------------------------------|----------|---------|
| | FECHA | 8/4/2013 | PERFIL RIEL RUEDA TESTERA 10 M | | |
| | DIBUJO | AGUIRRE ALEJANDRO | MATERIAL | SAE 1010 | |
| CONTROLADO | MEDEI URIEL | CÓDIGO | MA105-003 | PIEZA | ESCALA: |
| APROBÓ | - | | | | 1:2 |



| | |
|---------|-------------------|
| FECHA | 28/2/2018 |
| DIBUJO | AGUIRRE ALEJANDRO |
| CONTROL | MEDEI URIEL |
| APROBÓ | - |

ENSAMBLE COMLUNA

ESCALA:

1:10

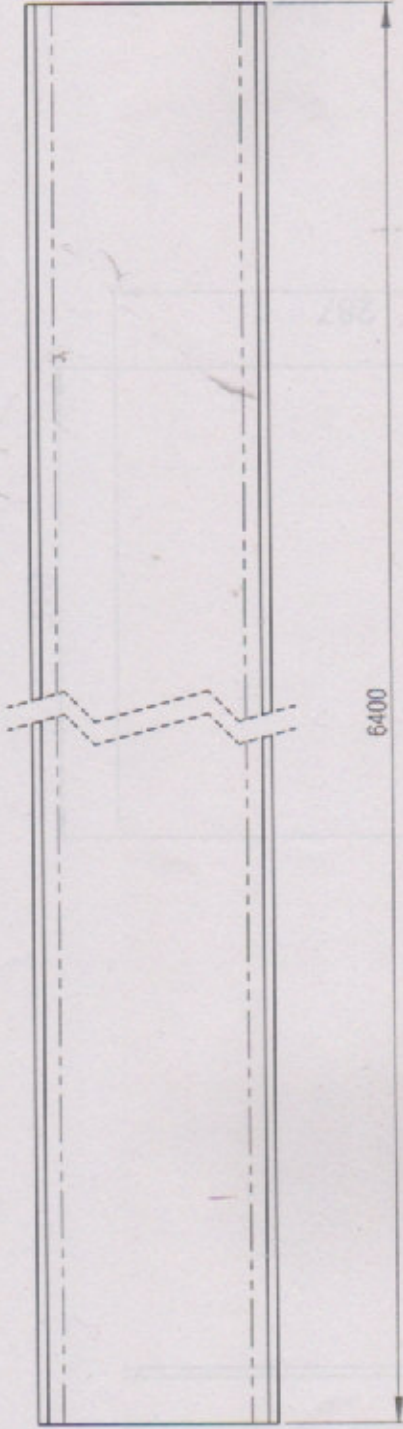
TIPO DE PLANO:

DESPIECE

MATERIAL

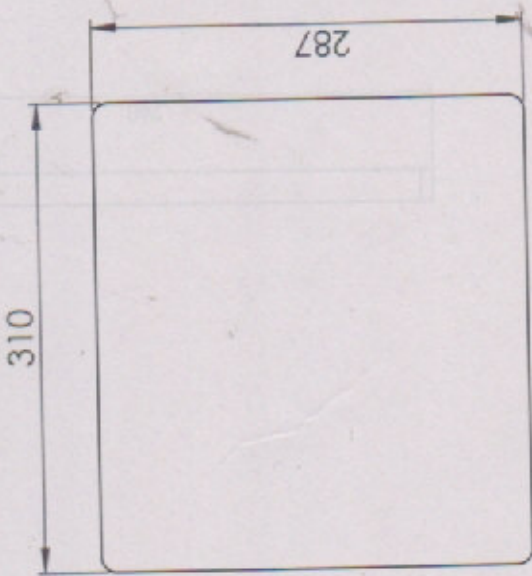
MA105-007

CÓDIGO



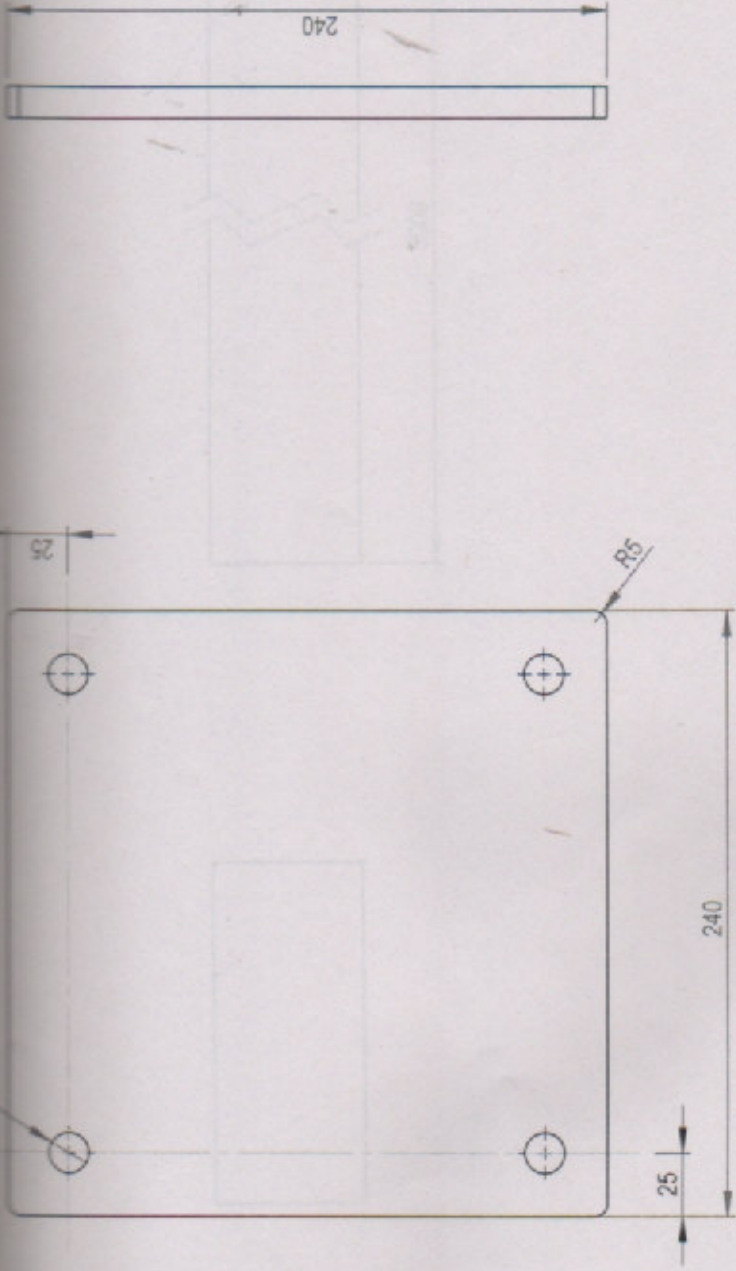
PERFIL IPN 180

| | | | | | | |
|---|--------------------------------------|---|---------|-----------------------|-------------------------|----------------|
|  UNIVERSIDAD TECNOLÓGICA NACIONAL | FECHA DIBUJO CONTROL APROBÓ | 18/4/2018 AGUIRRE ALEJANDRO MEDEI URIEL | COLUMNA | SAE 1010 MA105-005 | TIPO DE PLANO: PIEZA | ESCALA: 1:5 |
|---|--------------------------------------|---|---------|-----------------------|-------------------------|----------------|



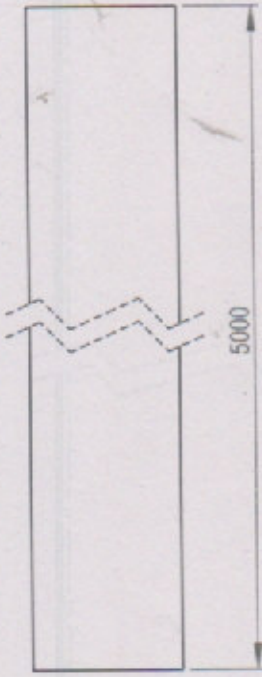
ESPESOR: 1/4"

| | | | | | | |
|---|-------------|----------|-------------------|---------------------|---------|--|
|  UTN UNIVERSIDAD TECNOLÓGICA NACIONAL | | FECHA | 18/4/2018 | REFUERZO UNION VIGA | |  |
| | | DIBUJO | AGUIRRE ALEJANDRO | CARRILERA | | |
| CONTROL | MEDEI URIEL | MATERIAL | SAE 1010 | TIPO DE PLANO: | ESCALA: | PIEZA 1:5 |
| APROBÓ | | CÓDIGO | MA105-028 | | | |



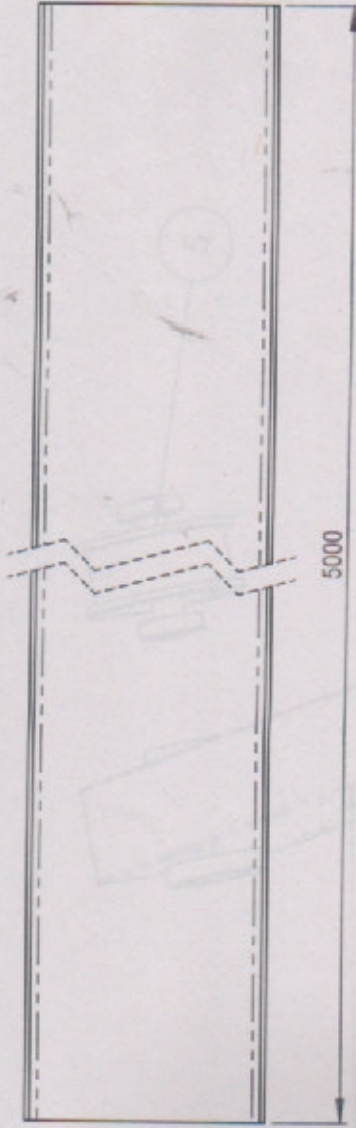
ESPESOR 1/2"

| | | | | | |
|---|--|---|---|---------------------------------------|-------------|
|  UNIVERSIDAD TECNOLÓGICA NACIONAL | | FECHA: 18/4/2018 DIBUJO: AGUIRRE ALEJANDRO CONTROL: MEDEIURIEL APROBÓ: | MATERIAL: SAE 1010 CÓDIGO: MA105-006 | APOYO COLUMNA TIPO DE PLANO: PIEZA | ESCALA: 1:3 |
|---|--|---|---|---------------------------------------|-------------|



PERFIL 90 X 40

| | | | | | | | |
|------------|----------|-------------------------------|--|----------|-----------|----------------|---------|
| | | PERFIL RIEL RUEDA TESTERA 5 M | | | | | |
| FECHA | 8/4/2018 | AGUIRRE ALEJANDRO | | MATERIAL | SAE 1010 | TIPO DE PLANO: | ESCALA: |
| DIBUJO | | MEDEI URIEL | | CÓDIGO | MA105-025 | PIEZA | 1:2 |
| CONTROLADO | | | | | | | |
| APROBÓ | | | | | | | |



5000

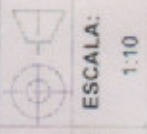
PERFIL IPN 320



| | |
|---------|-------------------|
| FECHA | 18/4/2018 |
| DIBUJO | AGUIRRE ALEJANDRO |
| CONTROL | MEDEI URIEL |
| APROBÓ | |

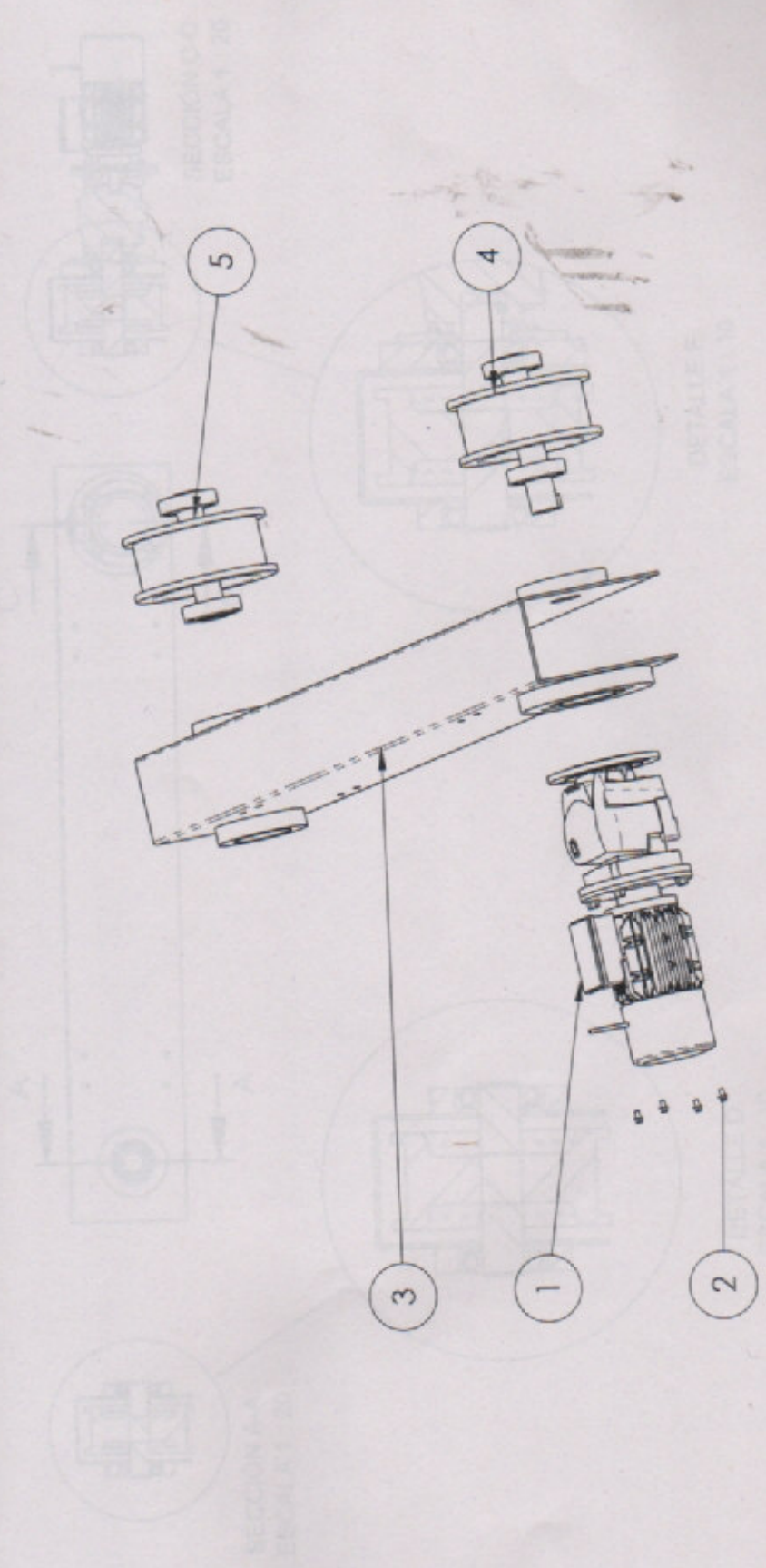
VIGA CARRILERA TESTERA 5 M

| | | | |
|----------|-----------|----------------|-------|
| MATERIAL | SAE 1010 | TIPO DE PLANO: | PIEZA |
| CÓDIGO | MA105-026 | | |

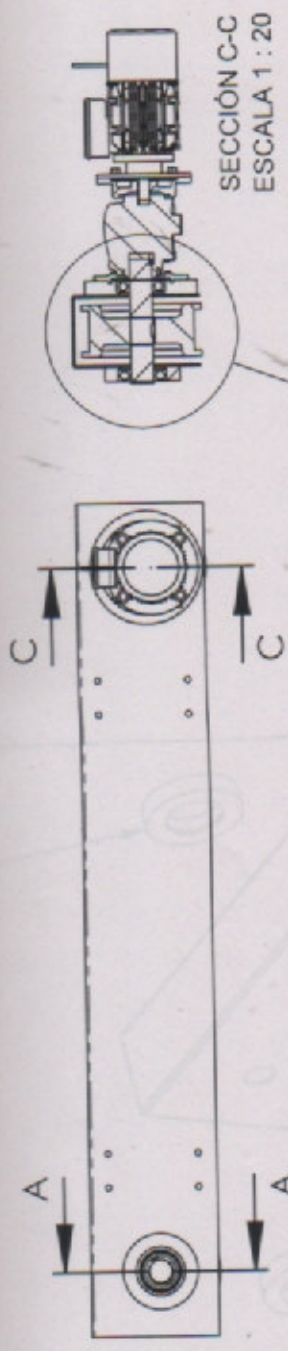


ESCALA:
1:10

| | | | |
|---|-----------|--------------------------------------|---|
| 3 | MA105-011 | ENSAMBLE TESTERA DE FUERZO IZQUIERDA | 1 |
| 4 | MA105-013 | ENSAMBLE EJE TRANSMISION TESTERA | 1 |
| 5 | MA105-011 | ENSAMBLE RUEDA GUIA TESTERA | 1 |

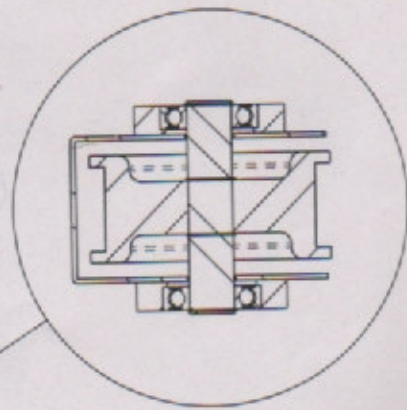


| | | | |
|---|---------|-------------------|--------------------|
| JUTN UNIVERSIDAD TECNOLÓGICA NACIONAL | FECHA | 18/4/2018 | ENSAMBLE TESTERA |
| | DIBUJO | AGUIRRE ALEJANDRO | IZQUIERDA COMPLETO |
| | CONTROL | MEDEI URIEL | MATERIAL |
| | APROBÓ | | CÓDIGO |
| | | | MA105-022 |
| | | | TIPO DE PLANO: |
| | | | DESPIECE |
| | | | ESCALA: |
| | | | 1:15 |

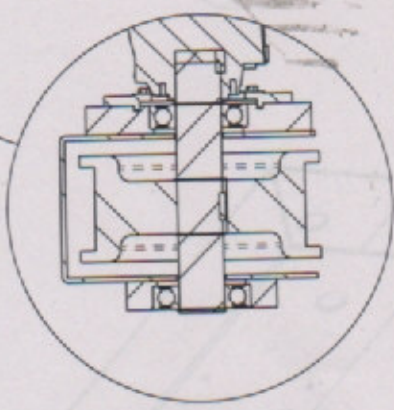


SECCIÓN A-A
ESCALA 1 : 20

SECCIÓN C-C
ESCALA 1 : 20



DETALLE D
ESCALA 1 : 10



DETALLE E
ESCALA 1 : 10



| | |
|---------|-------------------|
| FECHA | 18/4/2018 |
| DIBUJO | AGUIRRE ALEJANDRO |
| CONTROL | MEDEI URIEL |
| APROBÓ | - |

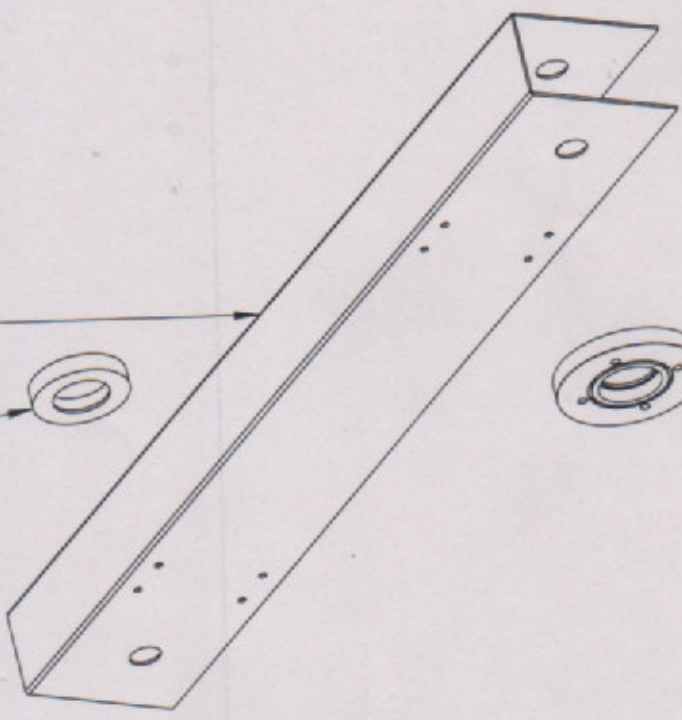
CONUNTO TESTERA
IZQUIERDA

| | | | | | |
|----------|-----------|----------------|----------|---------|------|
| MATERIAL | - | TIPO DE PLANO: | CONJUNTO | ESCALA: | 1:20 |
| CÓDIGO | MA105-022 | | | | |

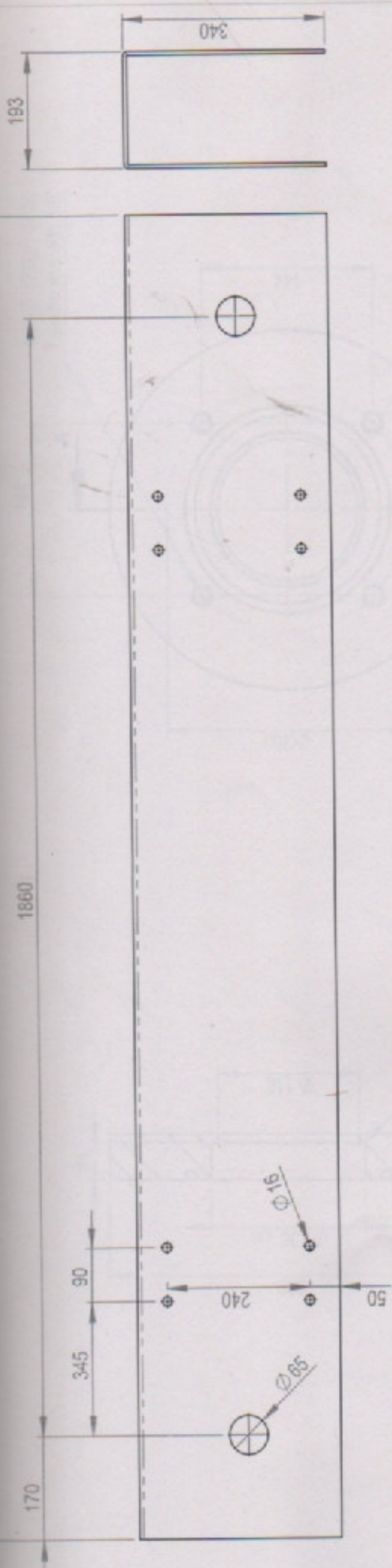


3
1

2

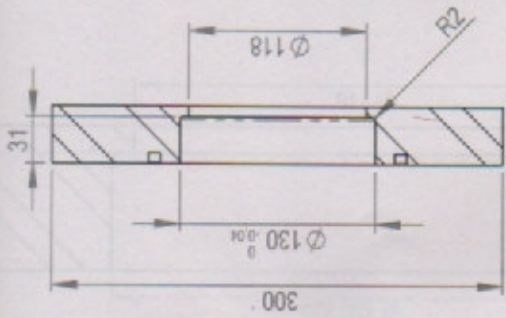
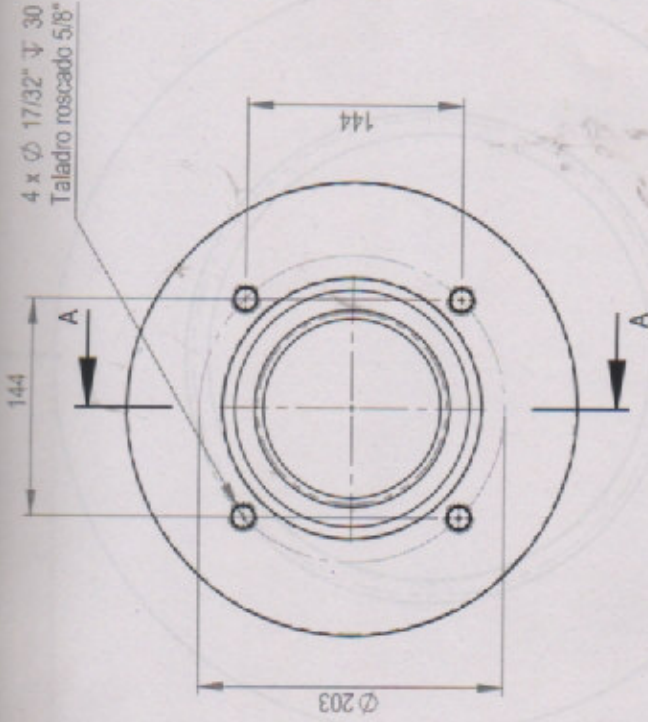


| | | | | | |
|--|-------------------|-----------|-------------|------------------|--------------------|
| UTN UNIVERSIDAD TECNOLÓGICA NACIONAL | | FECHA | 18/4/2018 | ENSAMBLE TESTERA | |
| DIBUJO | AGUIRRE ALEJANDRO | CONTROLLO | MEDEI URIEL | MATERIAL | REFUERZO IZQUIERDA |
| APROBÓ | | | | CÓDIGO | MA105-023 |
| | | | | TIPO DE PLANO: | DESPIECE |
| | | | | | ESCALA: 1:15 |



ESPESOR 1/4"

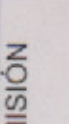
| | | | | |
|--|---------------------------|-----------------------------|-----------------------------|--|
|  UNIVERSIDAD TECNOLÓGICA NACIONAL | FECHA 18/4/2018 | DIBUJO AGUIRRE ALEJANDRO | REVISOR TESTERA |  |
| | CONTROLADO MEDEI URIEL | MATERIAL SAE 1010 | TIPO DE PLANO: MA105-001 | ESCALA: 1:10 |
| APROBÓ | CÓDIGO | PIEZA | | |

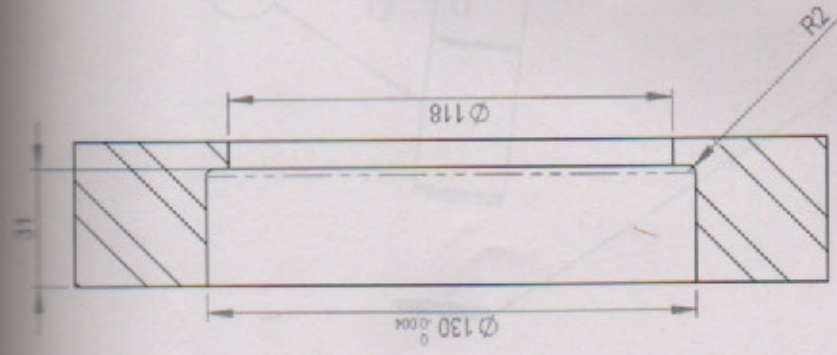


SECCIÓN A-A

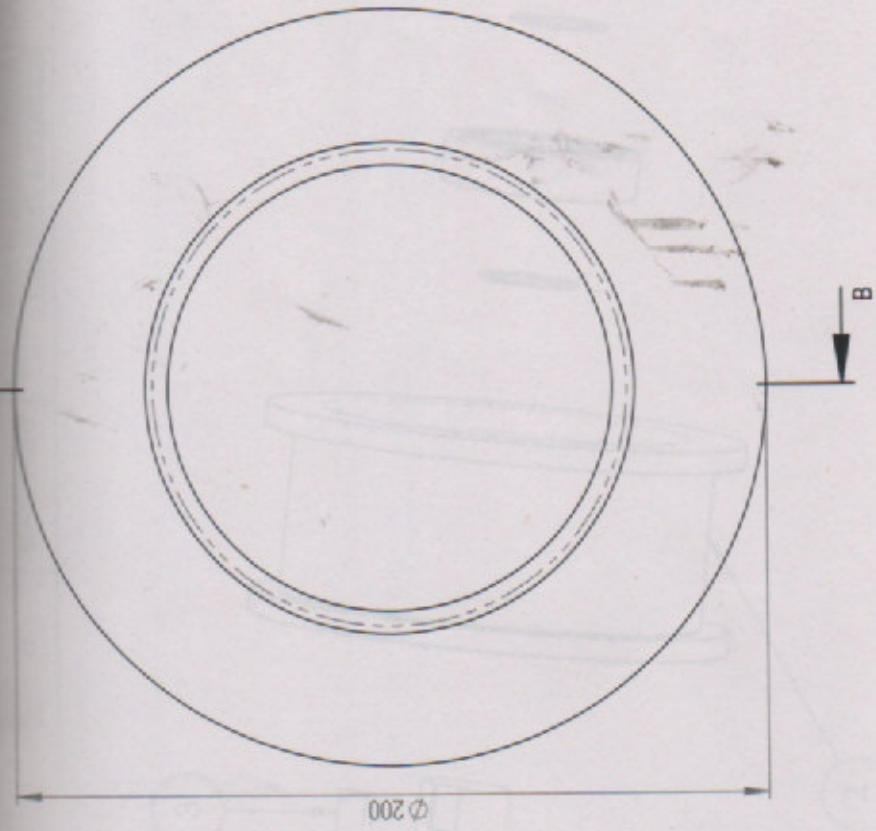
SECCIÓN B-B
ESCALA 1:2

ESPELOR 1 1/2"

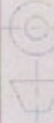
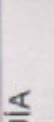
| | | | | | |
|---|-------------|-------------------|----------------------|----------------|---|
|  UTN UNIVERSIDAD TECNOLÓGICA NACIONAL | FECHA | 18/4/2018 | REFUERZO TRANSMISIÓN | |   ESCALA: 1:5 |
| | DIBUJO | AGUIRRE ALEJANDRO | TESTERA | | |
| CONTROL | MEDEI URIEL | MATERIAL | SAE 1010 | TIPO DE PLANO: | PIEZA |
| APROBÓ | - | CÓDIGO | MA105-014 | | |



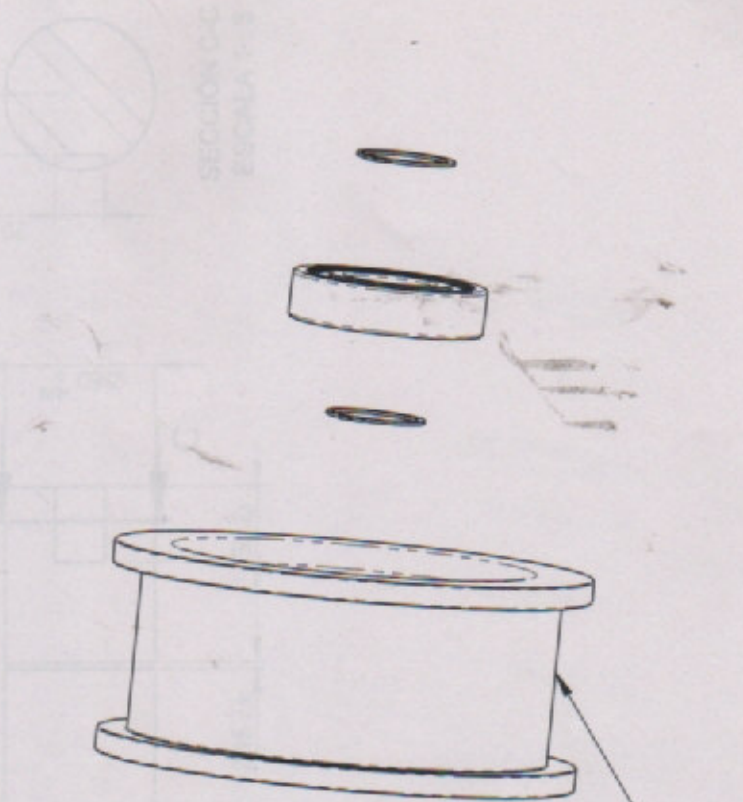
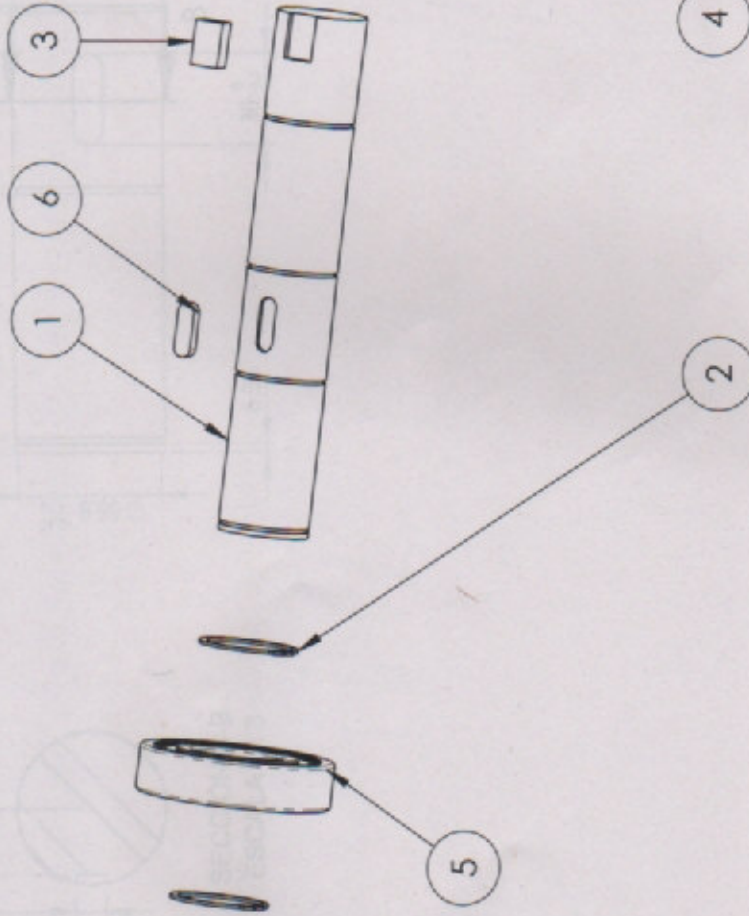
SECCIÓN B-B
ESCALA 1 : 2



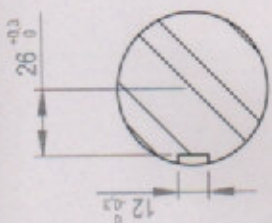
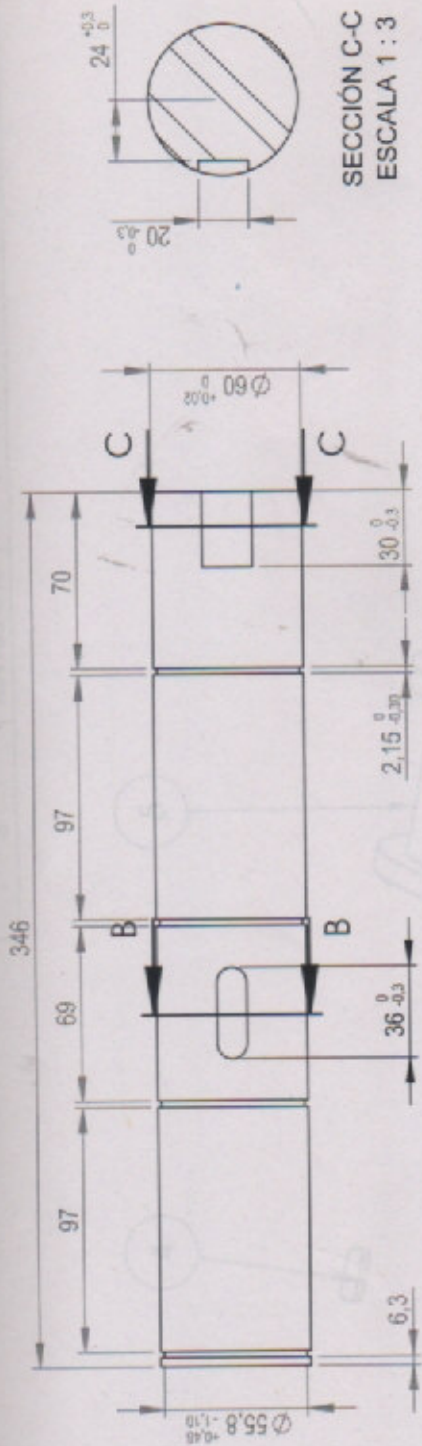
ESPESOR 1 1/2"

| | | | | | | |
|---|-------------|----------|-------------------|-------------------|---------|---|
|  UNIVERSIDAD TECNOLÓGICA NACIONAL | | FECHA | 18/4/2018 | REFUERZO EJE GUÍA | |   |
| | | DIBUJO | AGUIRRE ALEJANDRO | TESTERA | | |
| CONTROL | MEDEI URIEL | MATERIAL | SAE 1010 | TIPO DE PLANO: | ESCALA: | 1:2 |
| APROBÓ | - | CÓDIGO | MA105-012 | PIEZA | 1:2 | |

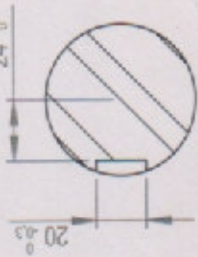
| | | |
|-----------|---|---|
| MA105-018 | CHAVETA DIN 6880 20X12X30 | 1 |
| MA105-010 | RUEDA TESTERA | 1 |
| MA105-017 | RODAMIENTO SKF 6312-2RSH | 2 |
| MA105-028 | CHAVETA NORMALIZADA PLANA DIN 6885 A 12X8X36 | 1 |



| | | | | | |
|--|-------------------|---------------------|-----------|-------------------------|--|
| UTN UNIVERSIDAD TECNOLÓGICA NACIONAL | | FECHA | 8/4/2018 | ENSAMBLE EJE | |
| DIBUJO | AGUIRRE ALEJANDRO | TRANSMISIÓN TESTERA | | ESCALA: 1:5 | |
| CONTROLADO | MEDEI URIEL | MATERIAL | - | TIPO DE PLANO: DESPIECE | |
| APROBÓ | - | CÓDIGO | MA105-013 | DESPIECE | |



SECCIÓN B-B
ESCALA 1 : 3



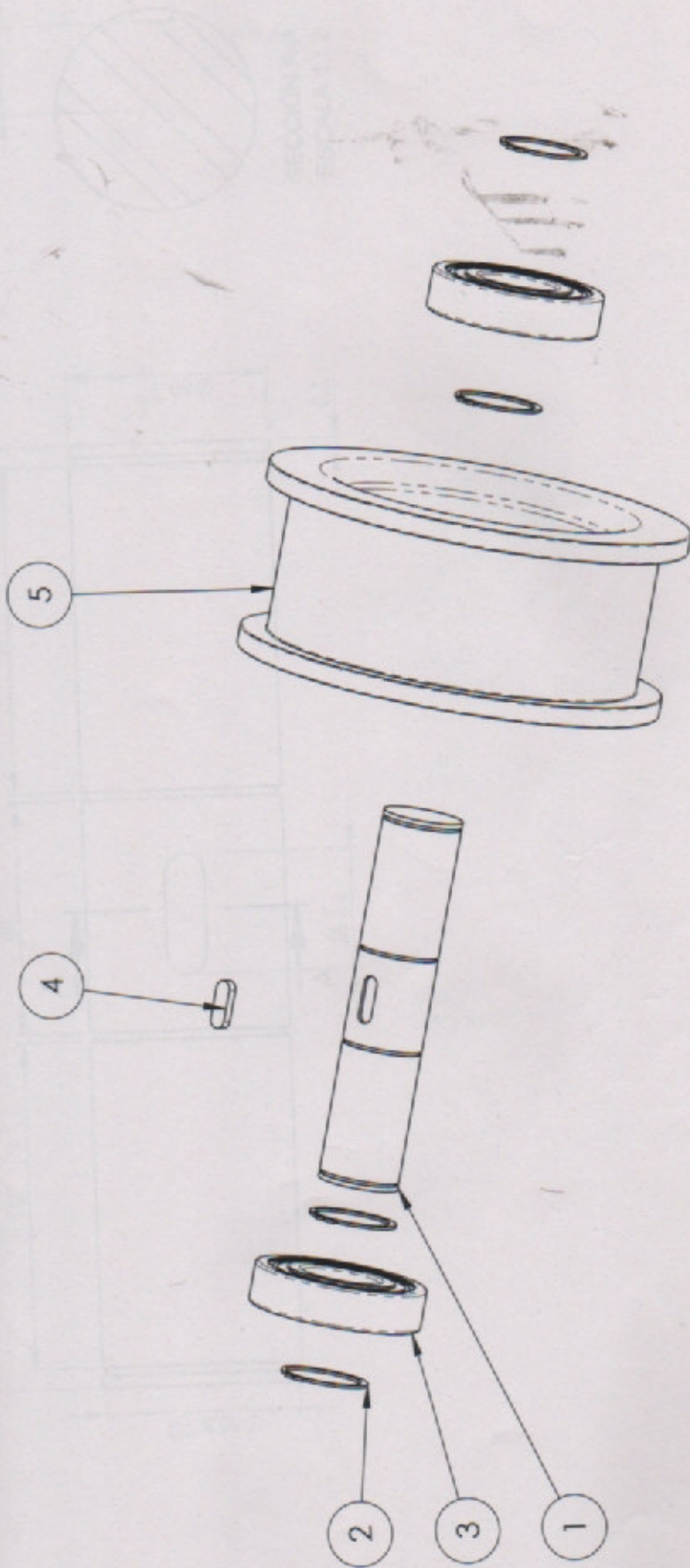
SECCIÓN C-C
ESCALA 1 : 3



| | |
|---------|-------------------|
| FECHA | 18/4/2018 |
| DIBUJO | AGUIRRE ALEJANDRO |
| CONTROL | MEDEI URIEL |
| APROBÓ | - |

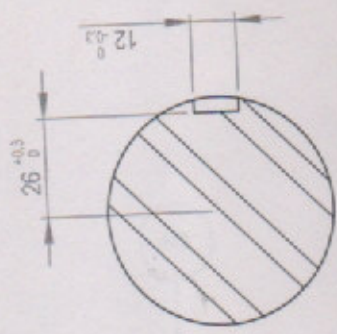
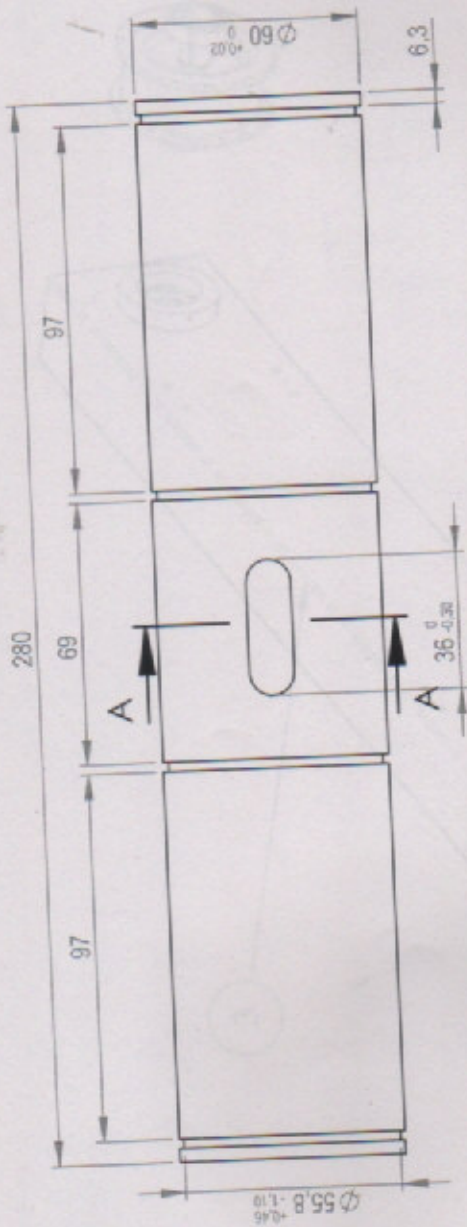
| | | |
|--------------------------|-----------|------------------------|
| EJE TRANSMISIÓN TESTERAS | | |
| MATERIAL | SAE 4140 | TIPO DE PLANO: ESCALA: |
| CÓDIGO | MA105-008 | PIEZA 1:2 |

| | | | |
|---|-----------|---|---|
| 3 | MA105-010 | CHAVETA NORMALIZADA PLANA DIN 6885 A 12X6X36 | 1 |
| 4 | MA105-020 | | 1 |
| 5 | MA105-010 | RUEDA TESTERA | 1 |



| | |
|------------|-------------------|
| FECHA | 8/4/2018 |
| DIBUJO | AGUIRRE ALEJANDRO |
| CONTROLADO | MEDEI URIEL |
| APROBÓ | - |

| | | | |
|------------------------------|-----------|----------------|----------|
| ENSAMBLE RUEDA GUÍA TESTERAS | | ESCALA: | 1:5 |
| MATERIAL | - | TIPO DE PLANO: | DESPIECE |
| CÓDIGO | MA105-011 | | |



SECCIÓN A-A
ESCALA 1:2

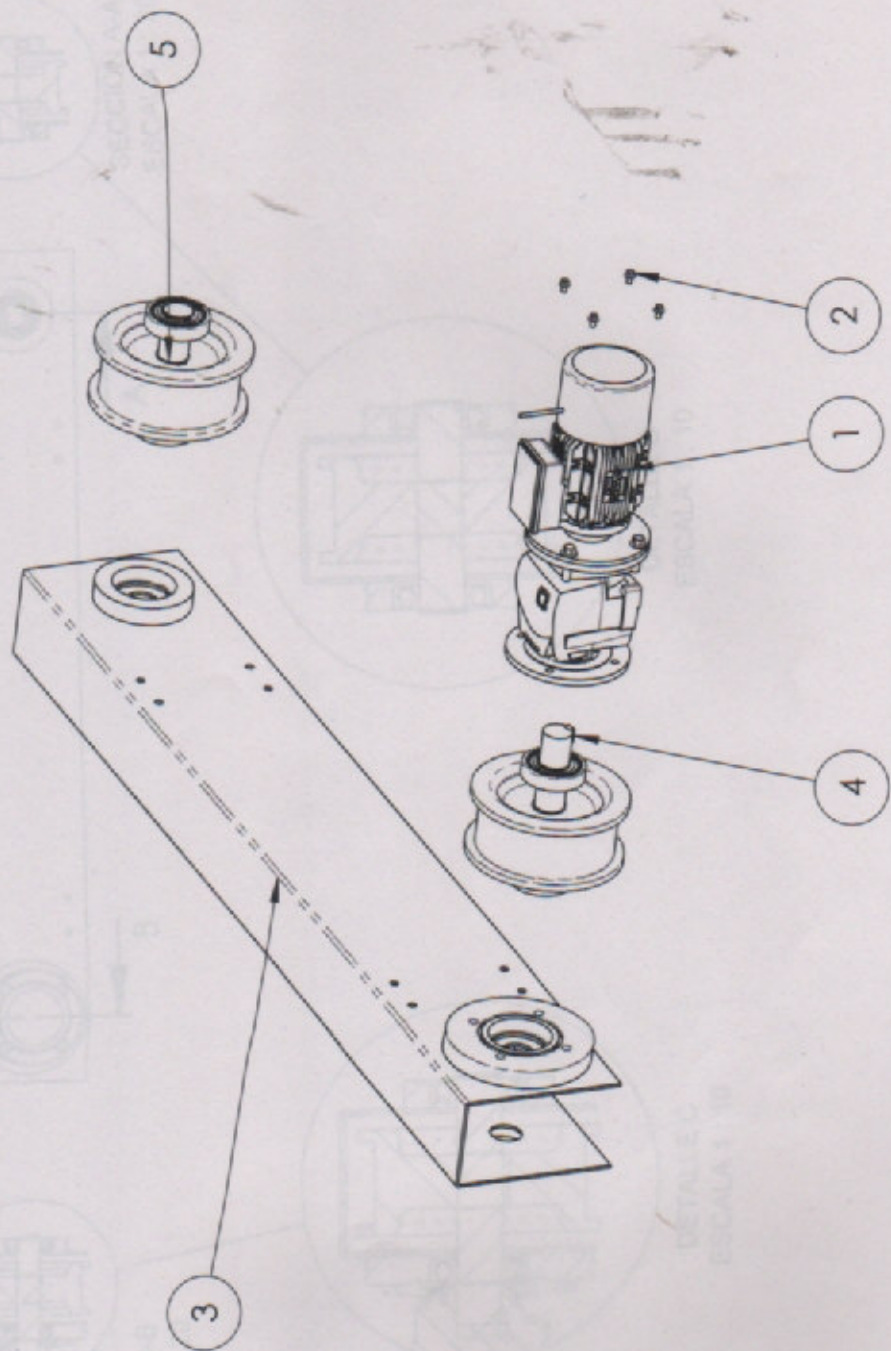
EJE GUIA TESTERA

| | | | |
|------------|-------------------|----------------------|-----------|
| | | ESCALA: 1:2 | |
| FECHA | 18/4/2018 | MATERIAL | SAE 4140 |
| DIBUJO | AGUIRRE ALEJANDRO | CÓDIGO | MA105-009 |
| CONTROLADO | MEDEI URIEL | TIPO DE PLANO: PIEZA | |
| APROBÓ | - | | |



MA105-011

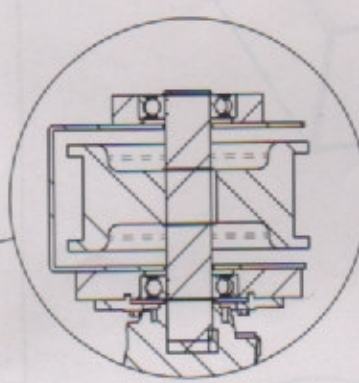
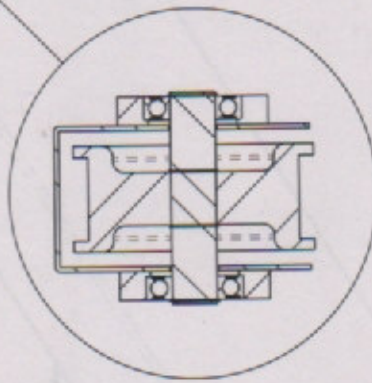
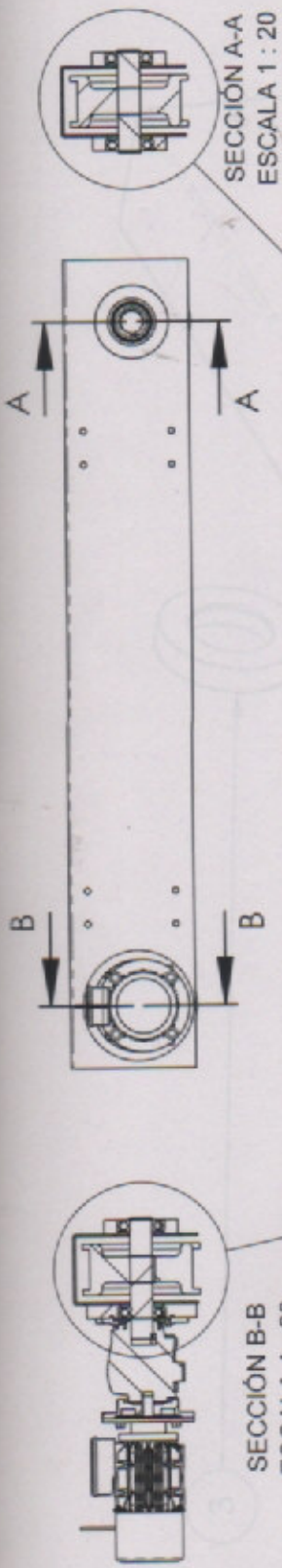
| | | | |
|---|-----------|-----------------------------------|---|
| 2 | MA105-011 | ENSAMBLE TESTERA REFUERZO DERECHA | 1 |
| 3 | MA105-018 | ENSAMBLE EJE TRANSMISIÓN TESTERA | 1 |
| 4 | MA105-013 | ENSAMBLE RUEDA GUÍA TESTERA | 1 |
| 5 | MA105-011 | ENSAMBLE RUEDA GUÍA TESTERA | 1 |



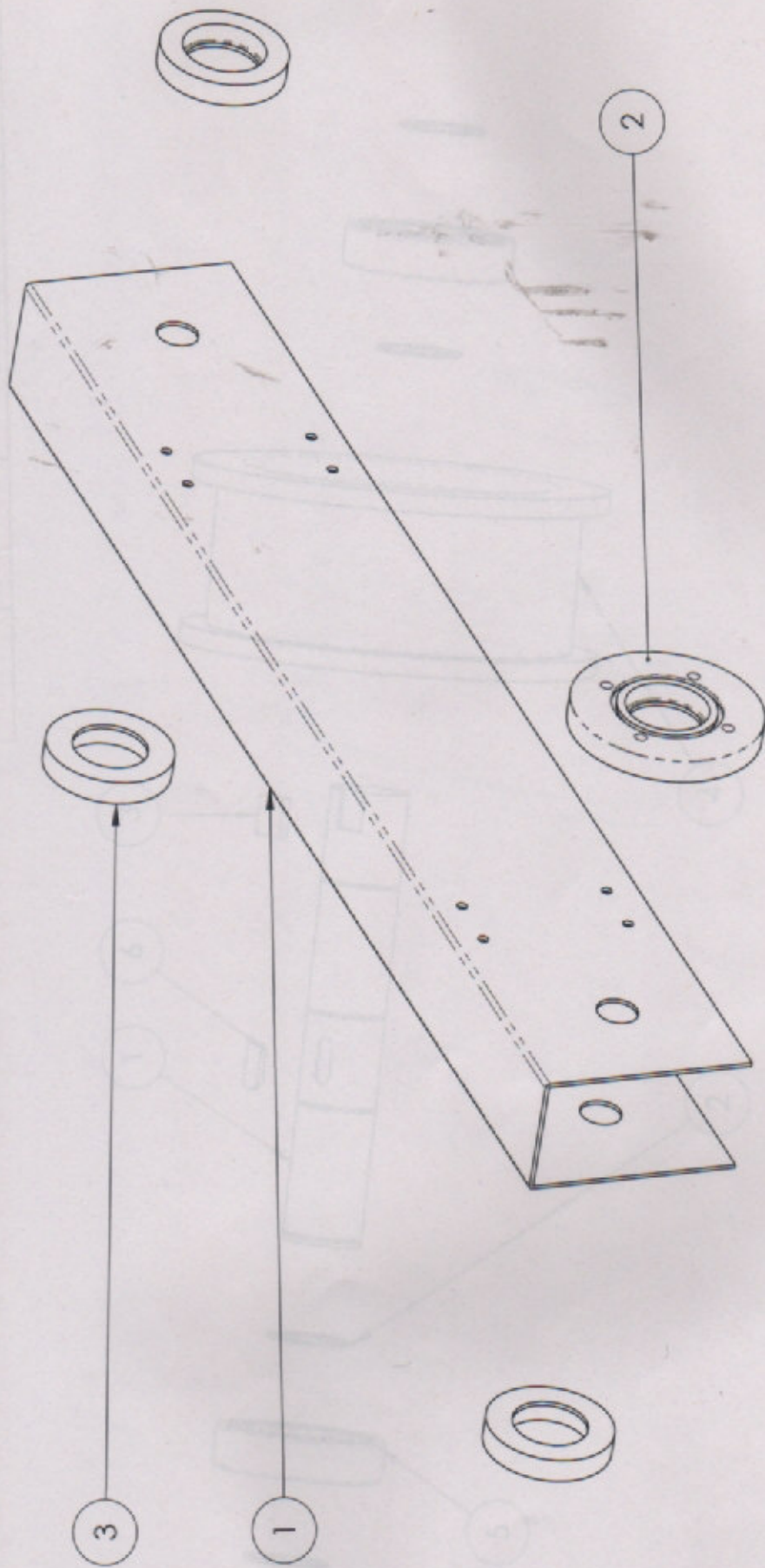
SECCIÓN 5-6
ESCALA 1

DETALLE
ESCALA 1:10

| | | | | |
|---|------------------------|-----------------------------|--------------------------------------|--|
|  UTN UNIVERSIDAD TECNOLÓGICA NACIONAL | FECHA 18/4/2018 | DIBUJO AGUIRRE ALEJANDRO | ENSAMBLE TESTERA DERECHA COMPLETO |  ESCALA: 1:15 |
| | CONTROL MEDEI URIEL | MATERIAL - | TIPO DE PLANO: DESPIECE | CÓDIGO MA105-019 |

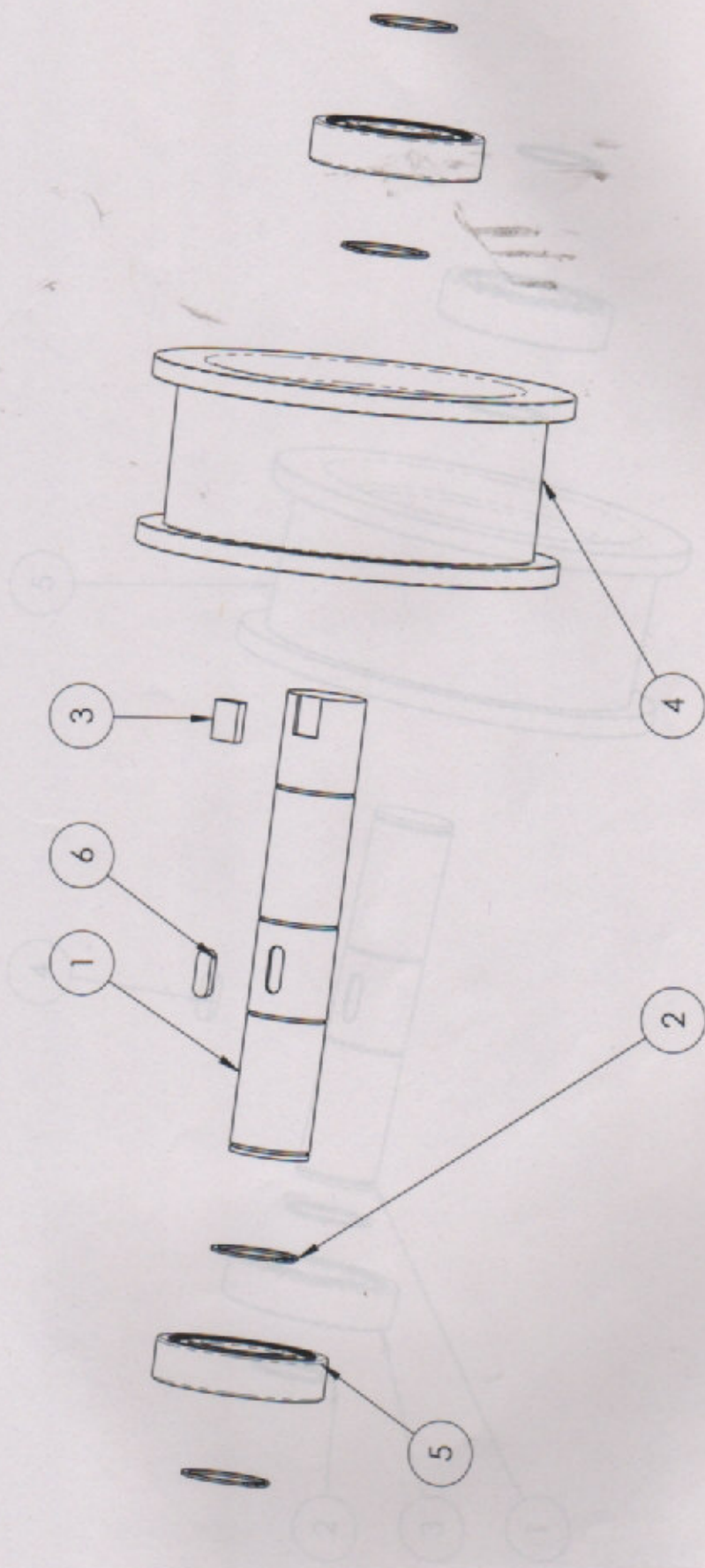


| | | | | | | |
|---------|-------------|----------|-------------------|------------------|--|---------|
| | | FECHA | 18/4/2018 | CONJUNTO TESTERA | | |
| | | DIBUJO | AGUIRRE ALEJANDRO | DERECHA | | |
| CONTROL | MEDEI URIEL | MATERIAL | SAE 1010 | TIPO DE PLANO: | | ESCALA: |
| APROBÓ | - | CÓDIGO | MA105-019 | CONJUNTO | | 1:20 |



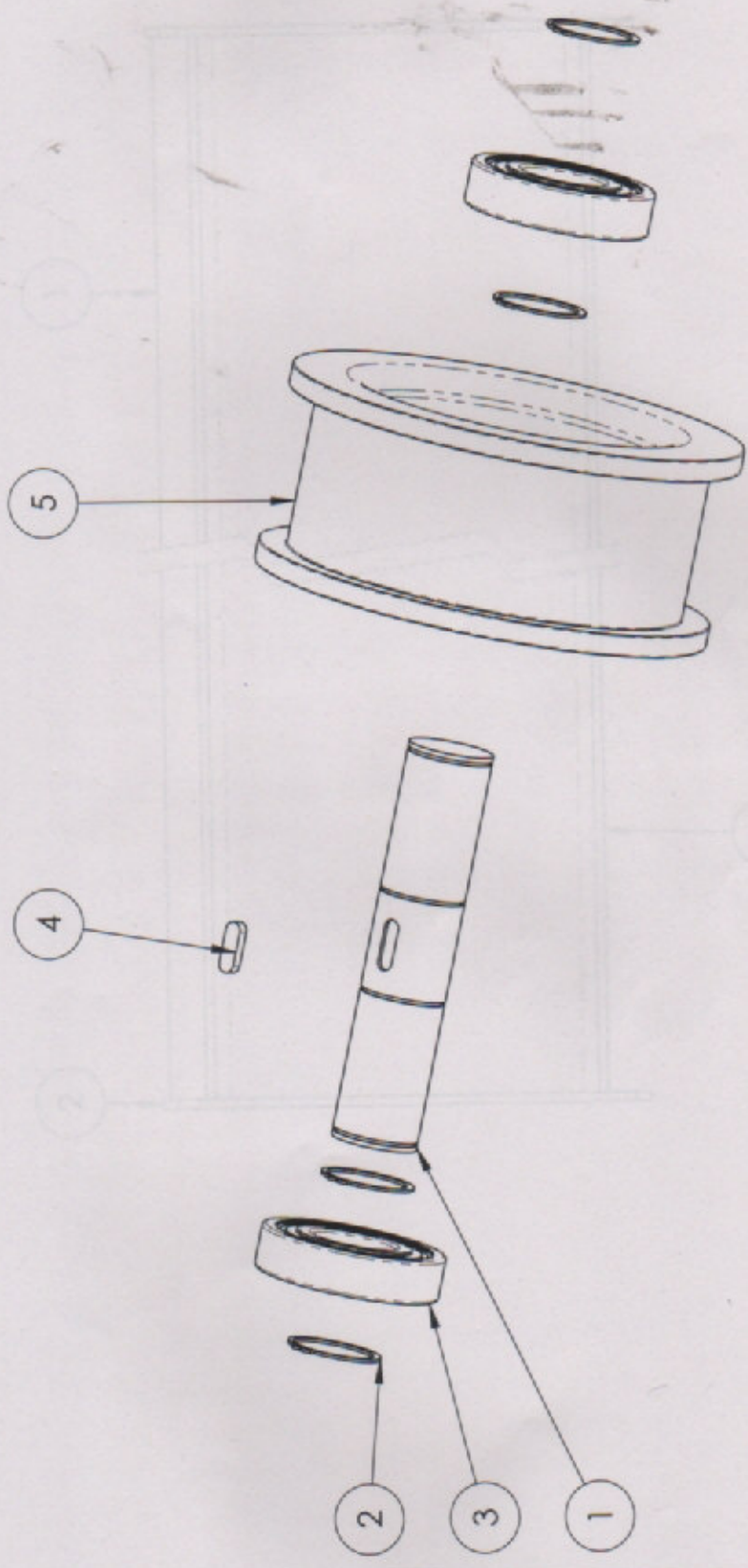
| | | | | |
|---|-----------------------------|---------------------------|---------------|--|
|  UNIVERSIDAD TECNOLÓGICA NACIONAL | FECHA 18/4/2018 | ENSAMBLE TESTERA DERECHA | |  ESCALA: 1:10 |
| | DIBUJO AGUIRRE ALEJANDRO | CONTROLADO MEDEI URIEL | MATERIAL - | TIPO DE PLANO: DESPIECE |
| APROBÓ - | CÓDIGO MA105-018 | | | |

| | | | |
|---|-----------|---|---|
| 2 | MA105-016 | CHAVETA DIN 6880 20X12X30 | 1 |
| 3 | MA105-016 | CHAVETA DIN 6880 20X12X30 | 1 |
| 4 | MA105-010 | RUEDA TESTERA | 1 |
| 5 | MA105-017 | RODAMIENTO SKF 6312-2RSH | 2 |
| 6 | MA105-028 | CHAVETA NORMALIZADA PLANA DIN 6885 A 12X8X36 | 1 |



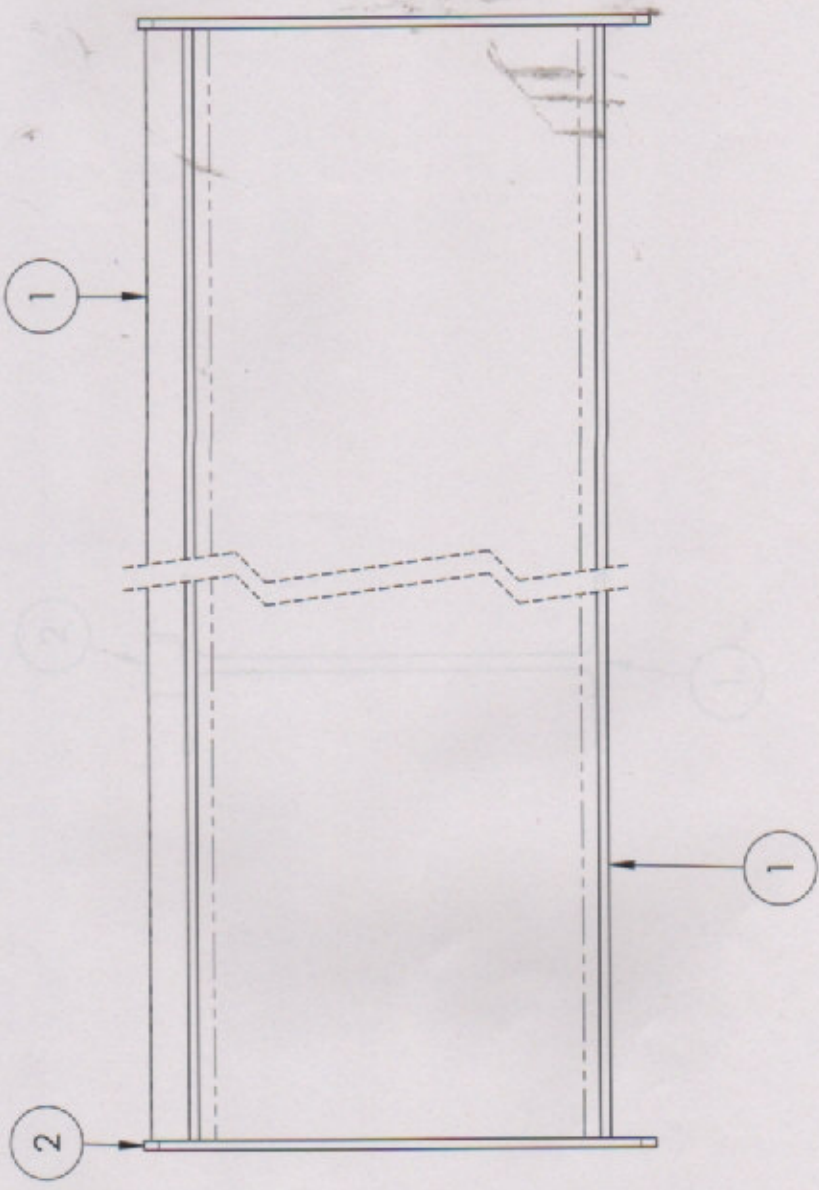
| | | | | | |
|---|-------------|-------------------|---------------------|----------------|---------------------|
|  UTN UNIVERSIDAD TECNOLÓGICA NACIONAL | FECHA | 8/4/2018 | ENSAMBLAJE | | ENSAMBLE EJE |
| | DIBUJO | AGUIRRE ALEJANDRO | TRANSMISION TESTERA | | TRANSMISION TESTERA |
| CONTROL | MEDEI URIEL | MATERIAL | - | TIPO DE PLANO: | DESPIECE |
| APROBÓ | - | CÓDIGO | MA105-013 | ESCALA: | 1:5 |

| | | | |
|---|-----------|---|---|
| 3 | MA105-017 | RODAMIENTO SKF 6312 2RS1H | 2 |
| 4 | MA105-028 | CHAVETA NORMALIZADA PLANA DIN 6885 A 12X8X36 | 1 |
| 5 | MA105-010 | RUEDA TESTERA | 1 |



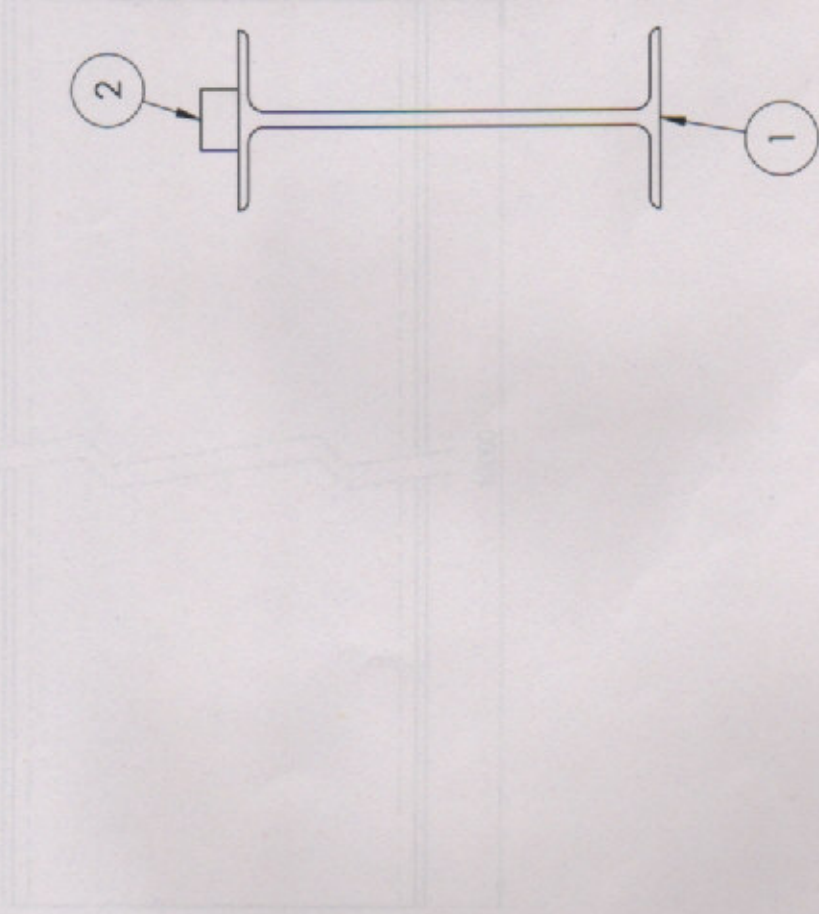
| | |
|------------|-------------------|
| FECHA | 8/4/2018 |
| DIBUJO | AGUIRRE ALEJANDRO |
| CONTROLADO | MEDEI URIEL |
| APROBÓ | - |

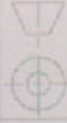
| | | | |
|------------------------------|-----------|----------------|----------|
| ENSAMBLE RUEDA GUÍA TESTERAS | | ESCALA: | 1:5 |
| MATERIAL | - | TIPO DE PLANO: | DESPIECE |
| CÓDIGO | MA105-011 | | |

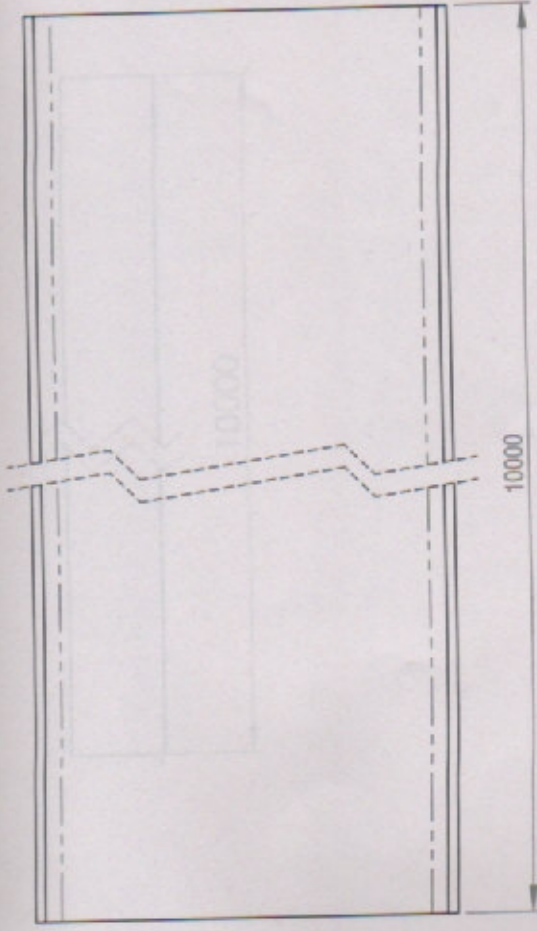


| | | | | | | | |
|--|-------------------|-------|----------|-------------------------------------|-----------|----------------|----------|
| UTN UNIVERSIDAD TECNOLÓGICA NACIONAL | | FECHA | 8/4/2018 | ENSAMBLE VIGA PRINCIPAL COMPLETA | | ESCALA: 1:5 | |
| DIBUJO | AGUIRRE ALEJANDRO | | | MATERIAL | - | TIPO DE PLANO: | DESPIECE |
| CONTROL | MEDEI URIEL | | | CÓDIGO | MT105-019 | | |
| APROBÓ | - | | | | | | |

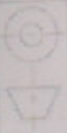
| | | |
|-----------|-------------------|---|
| MT105-011 | PERFIL GUÍA CARRO | 1 |
| MT105-011 | PERFIL GUÍA CARRO | 1 |

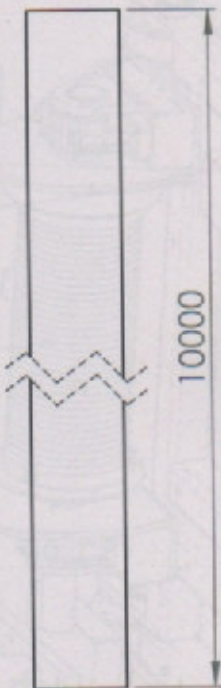


| | | | | | |
|---|-------------|-------------------|---------------------------------------|----------------|--|
|  UTN UNIVERSIDAD TECNOLÓGICA NACIONAL | FECHA | 7/3/2018 | VIGA PRINCIPAL IPN 320 +RIEL 40X25 | |  ESCALA: 1:5 |
| | DIBUJO | AGUIRRE ALEJANDRO | MATERIAL | TIPO DE PLANO: | |
| CONTROL | MEDEI URIEL | CÓDIGO | MT105-014 | DESPIECE | |
| APROBÓ | - | | | | |



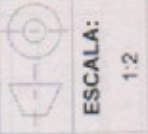
PERIFL IPN 280

| | | | | | | |
|---|------------|-------------------|------------------------|-----------|--|----------------|
|  UTN UNIVERSIDAD TECNOLÓGICA NACIONAL | FECHA | 18/4/2018 | VIGA PRINCIPAL IPN 280 | |  ESCALA: 1:5 | |
| | DIBUJO | AGUIRRE ALEJANDRO | MATERIAL | SAE 1010 | | TIPO DE PLANO: |
| | CONTROLADO | MEDEI URIEL | CÓDIGO | MT105-012 | | |
| | APROBÓ | - | | | | |



| FECHA | N. DE PIEZA | DESCRIPCION | CANTIDAD |
|----------|-------------|-------------------|----------|
| 8/4/2018 | 01 | PERFIL GUIA CARRO | 1 |
| | 02 | | |
| | 03 | | |
| | 04 | | |
| | 05 | | |
| | 06 | | |
| | 07 | | |
| | 08 | | |
| | 09 | | |
| | 10 | | |
| | 11 | | |
| | 12 | | |
| | 13 | | |
| | 14 | | |
| | 15 | | |
| | 16 | | |
| | 17 | | |
| | 18 | | |
| | 19 | | |
| | 20 | | |
| | 21 | | |
| | 22 | | |
| | 23 | | |
| | 24 | | |
| | 25 | | |
| | 26 | | |
| | 27 | | |
| | 28 | | |
| | 29 | | |
| | 30 | | |
| | 31 | | |
| | 32 | | |
| | 33 | | |
| | 34 | | |
| | 35 | | |
| | 36 | | |
| | 37 | | |
| | 38 | | |
| | 39 | | |
| | 40 | | |
| | 41 | | |
| | 42 | | |
| | 43 | | |
| | 44 | | |
| | 45 | | |
| | 46 | | |
| | 47 | | |
| | 48 | | |
| | 49 | | |
| | 50 | | |

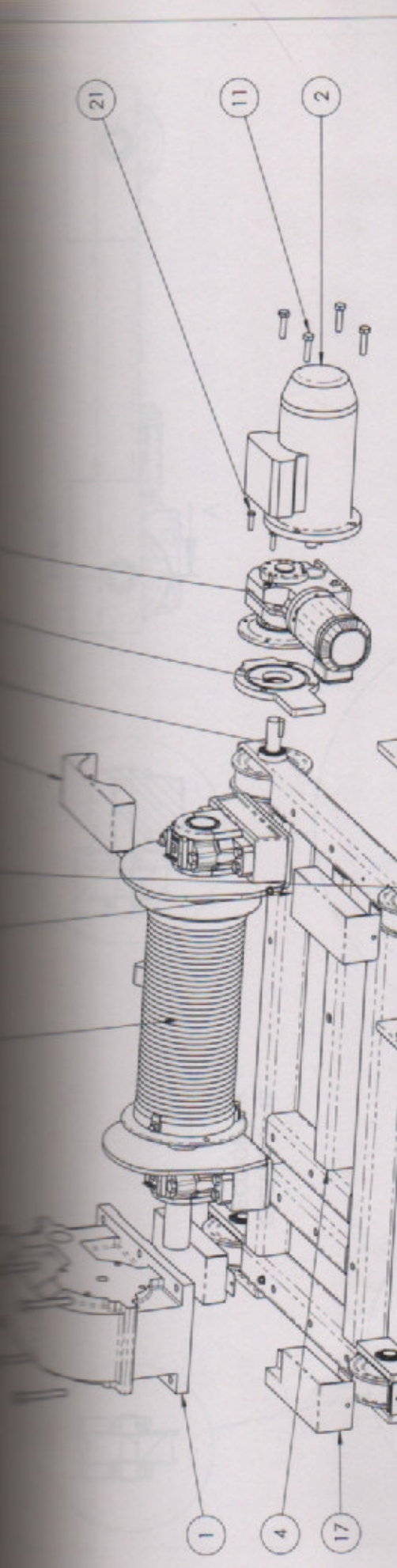
PERFIL 40X25



| | | | | | | | |
|-------------------|--------|----------|------------|----------------------|--|-------------|--|
| PERFIL GUIA CARRO | | SAE 1010 | | TIPO DE PLANO: PIEZA | | ESCALA: 1:2 | |
| MATERIAL | CÓDIGO | SAE 1010 | MT-105-011 | | | | |

| | |
|------------|-------------------|
| FECHA | 8/4/2018 |
| DIBUJO | AGUIRRE ALEJANDRO |
| CONTROLADO | MEDEI URIEL |
| APROBÓ | - |





| N.º DE ELEMENTO | N.º DE PIEZA | DESCRIPCIÓN | CANTIDAD |
|-----------------|--------------|--------------------------------------|----------|
| 1 | AP105-019 | CAJA REDUCTORA LENTAX TP 160 | 1 |
| 2 | AP105-006 | MOTOR IZAJE | 1 |
| 3 | AP105-023 | MECANISMO COMPENSACIÓN | 1 |
| 4 | MT105-001 | CARRO | 1 |
| 5 | AP105-012 | ENSAMBLE GANCHO | 1 |
| 6 | AP105-039 | BULON 5/8" X 6" | 6 |
| 7 | AP105-040 | TUERCA 5/8" | 4 |
| 8 | AP105-025 | MECANISMO TAMBOR | 1 |
| 9 | AP105-038 | BULON 5/8" X 4 1/2" | 4 |
| 10 | AP105-041 | ARANDELA 5/8" | 6 |
| 11 | AP105-037 | BULON 3/4" X 2 1/4" | 4 |
| 12 | MT105-003 | REFUERZO RUEDA INTERIOR | 4 |
| 13 | MT105-004 | REFUERZO RUEDA EXTERIOR TRANSMISIÓN | 1 |
| 14 | MT105-008 | REFUERZO RUEDA EXTERIOR GUÍA | 3 |
| 15 | MT105-010 | ENSAMBLE EJE RUEDA GUÍA CARRO | 3 |
| 16 | AP105-026 | CUBRE RUEDA GUÍA CARRO | 2 |
| 17 | AP105-027 | CUBRE RUEDA GUÍA REDUCTOR | 1 |
| 18 | MT105-013 | ENSAMBLE EJE RUEDA TRANSMISIÓN CARRO | 1 |
| 19 | AP105-028 | CUBRE RUEDA TRANSMISIÓN CARRO | 1 |
| 20 | MT105-006 | MOTOREDUCTOR CARRO | 1 |
| 21 | MT105-015 | BULON 3/8" X 1 1/2" | 4 |
| 22 | MT105-016 | BULON 3/8" X 1 1/4" | 7 |

UTN
UNIVERSIDAD TECNOLÓGICA NACIONAL

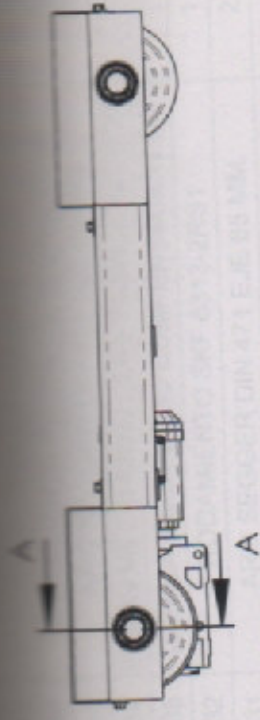
15/4/2018
AGUIRRE ALEJANDRO
MEDEL URIEL
CONTROLADO
APPROBADO

ENSAMBLE SISTEMA DE IZAJE Y
MECANISMO DE TRASLACION

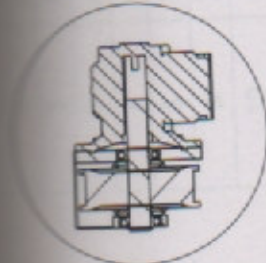
MATERIAL
CÓDIGO AP105-003

TIPO DE PLANO: DESPIECE

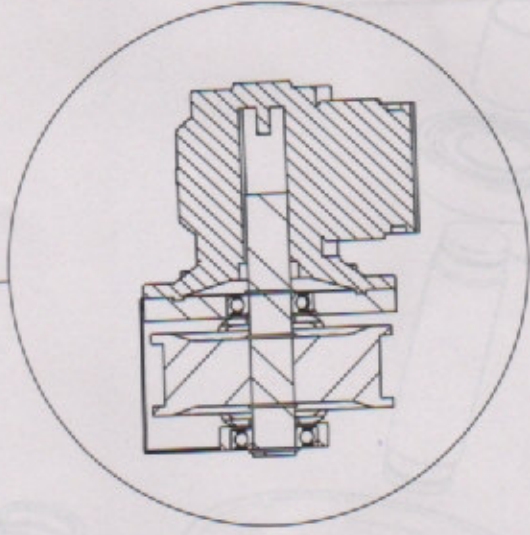
ESCALA: 1:10



SECCIÓN A-A
ESCALA 1 : 12

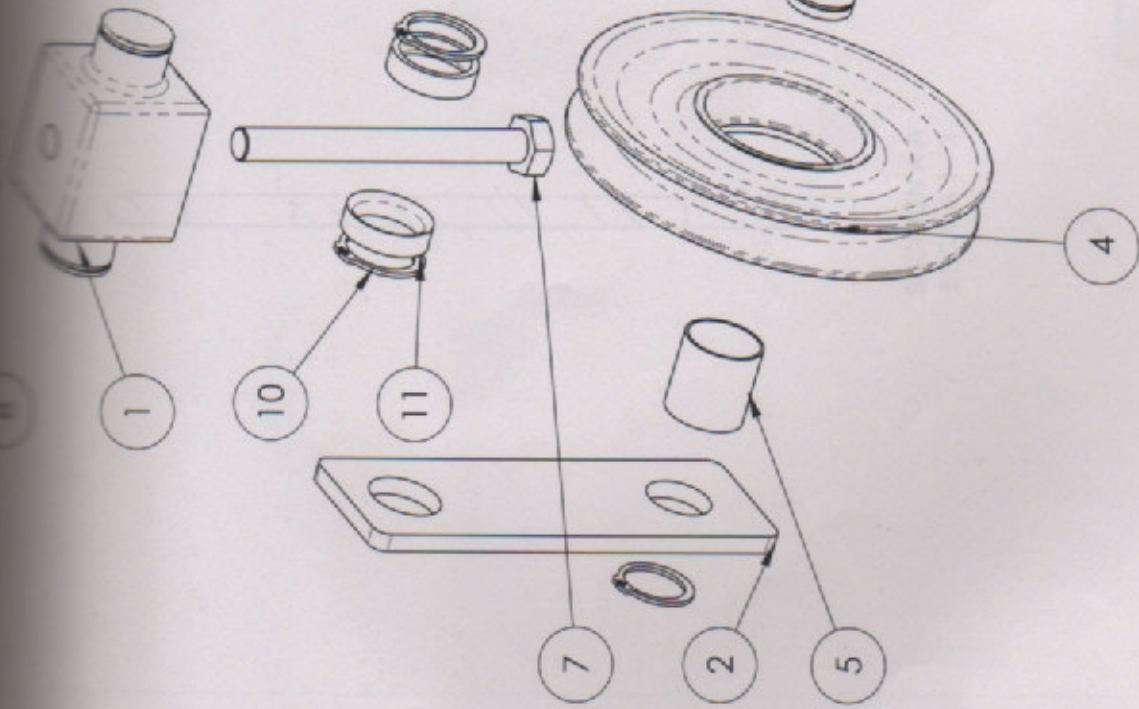


DETALLE B
ESCALA 1 : 6



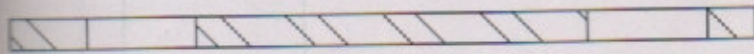
DETALLE C
ESCALA 1 : 6

| | | | | | | | |
|---|-------------|--------|-------------------|---------------------------------------|--|----------------|----------|
|  UTN UNIVERSIDAD TECNOLÓGICA NACIONAL | | FECHA | 8/4/2018 | MECANISMO DE TRANSMISIÓN Y GUÍA CARRO | | ESCALA: | 1:12 |
| | | DIBUJO | AGUIRRE ALEJANDRO | MATERIAL | | TIPO DE PLANO: | CONJUNTO |
| CONTROL | MEDEI URIEL | CÓDIGO | AP105-021 | | | | |
| APROBÓ | | | | | | | |

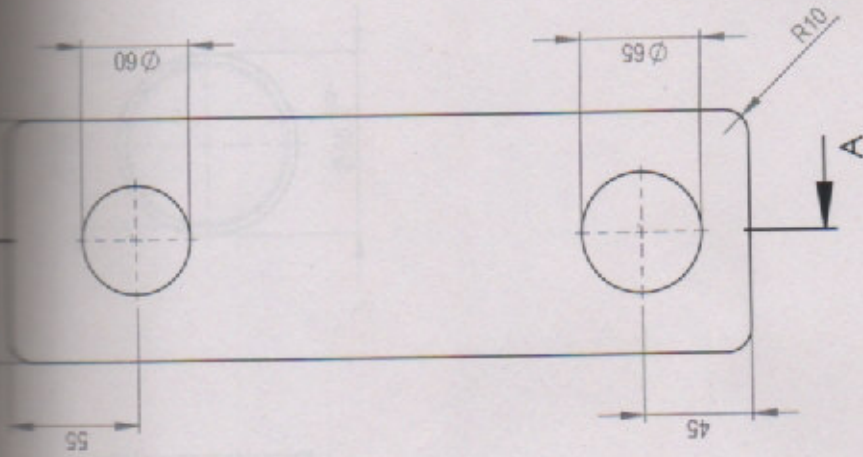


| | | | |
|----|-----------|--------------------------------------|---|
| 3 | AP105-022 | EJE MECANISMO COMPENSACION | 1 |
| 4 | AP105-010 | POLEA GANCHO | 1 |
| 5 | AP105-036 | SUPLENTO POLEA COMPENSACION | 2 |
| 6 | AP105-030 | ARO SEGGER DIN 471 EJE 60 MM | 2 |
| 7 | AP105-034 | BULON MECANISMO COMPENSACION 7/8"X8" | 1 |
| 8 | AP105-035 | TUERCA MECANISMO COMPENSACION 7/8" | 1 |
| 9 | AP105-032 | RODAMIENTO SKF 6313-2RS1 | 1 |
| 10 | AP105-031 | ARO SEGGER DIN 471 EJE 65 MM | 2 |
| 11 | AP105-054 | SEPARADOR MASA POLEA DE COMPESACION | 2 |

| | | | | |
|--|---------------------|-----------------------------|---------------------------|----------------------------|
|  UTN UNIVERSIDAD TECNOLÓGICA NACIONAL | | FECHA 18/4/2018 | MECANISMO DE COMPENSACIÓN | |
| | | DIBUJO AGUIRRE ALEJANDRO | MATERIAL - | TIPO DE PLANO: DESPIECE |
| CONTROL MEDEI URIEL | CÓDIGO AP105-023 | | | |
| APROBÓ | | | | |



SECCIÓN A-A
ESCALA 1 : 3



ESPESOR: 1/4"



FECHA 18/4/2018
DIBUJO AGUIRRE ALEJANDRO
CONTROL MEDEI URIEL
APROBÓ

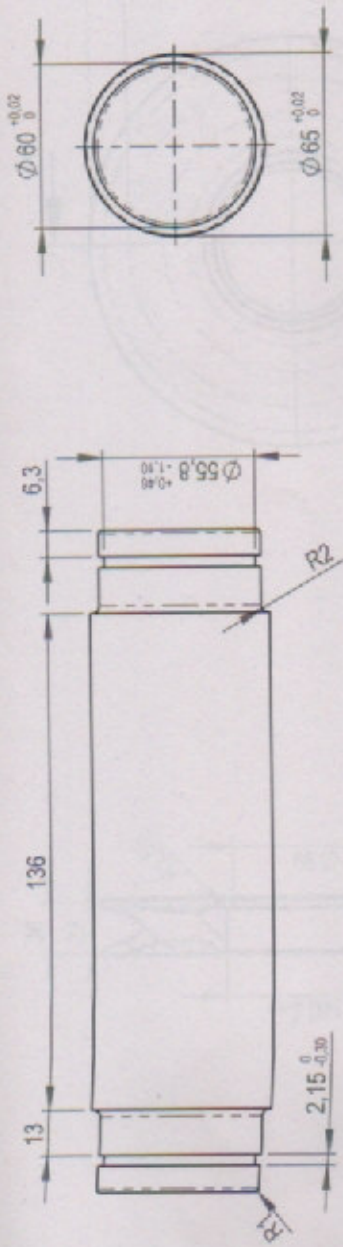
PLANCHUELA COMPENSACIÓN

MATERIAL SAE 1010
CÓDIGO AP105-024

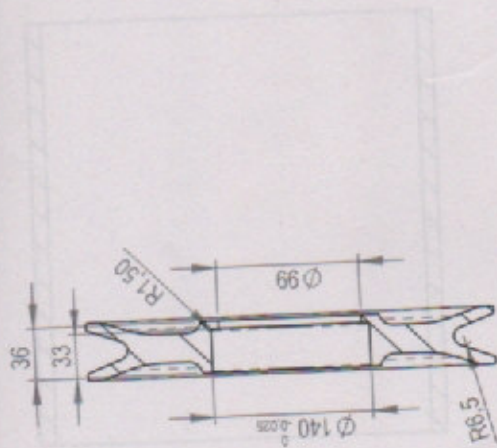
TIPO DE PLANO: PIEZA

ESCALA: 1:3

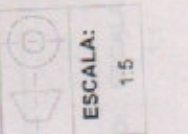
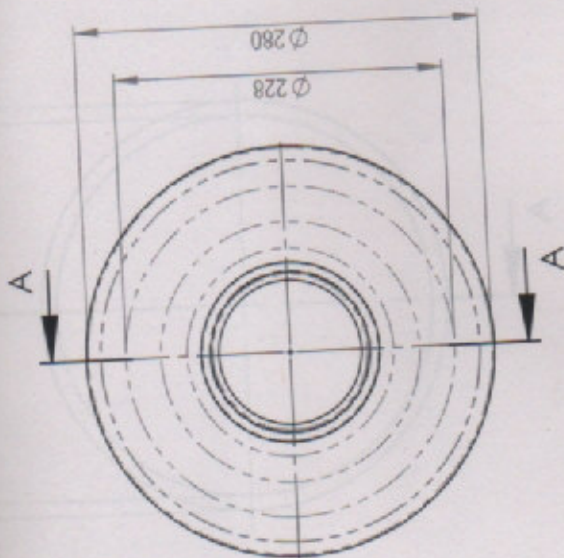




| | | | | | | |
|---|------------|--------|-------------------|-------------------------------|----------|--|
|  UTN UNIVERSIDAD TECNOLÓGICA NACIONAL | | FECHA | 18/4/2018 | EJE MECANISMO DE COMPENSACIÓN | |  ESCALA: 1:5 |
| | | DIBUJO | AGUIRRE ALEJANDRO | MATERIAL | SAE 4140 | |
| CONTROL | MEDEIURIEL | CÓDIGO | AP105-022 | | | |
| APROBÓ | | | | | | |



SECCIÓN A-A



POLEA MECANISMO
COMPENSACIÓN

ESCALA:
1:5

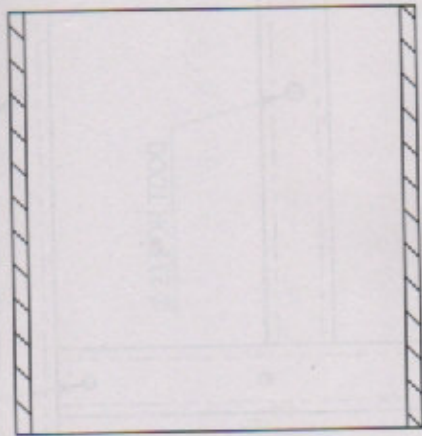
TIPO DE PLANO:
PIEZA

SAE 1045
AP105-010

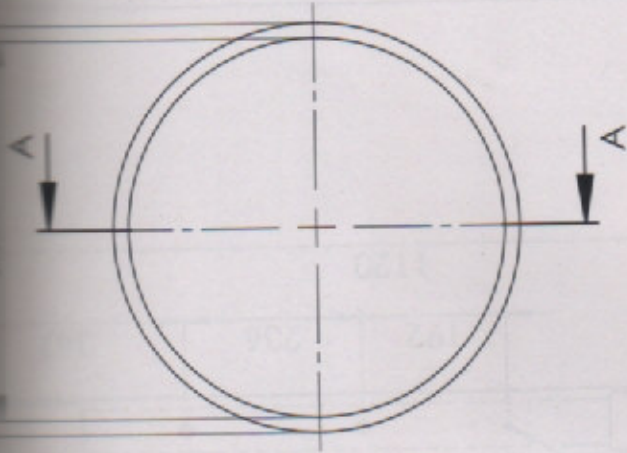
MATERIAL
CÓDIGO

| | |
|------------|-------------------|
| FECHA | 16/4/2018 |
| DIBUJO | AGUIRRE ALEJANDRO |
| CONTROLADO | MEDEI URIEL |
| APROBÓ | |

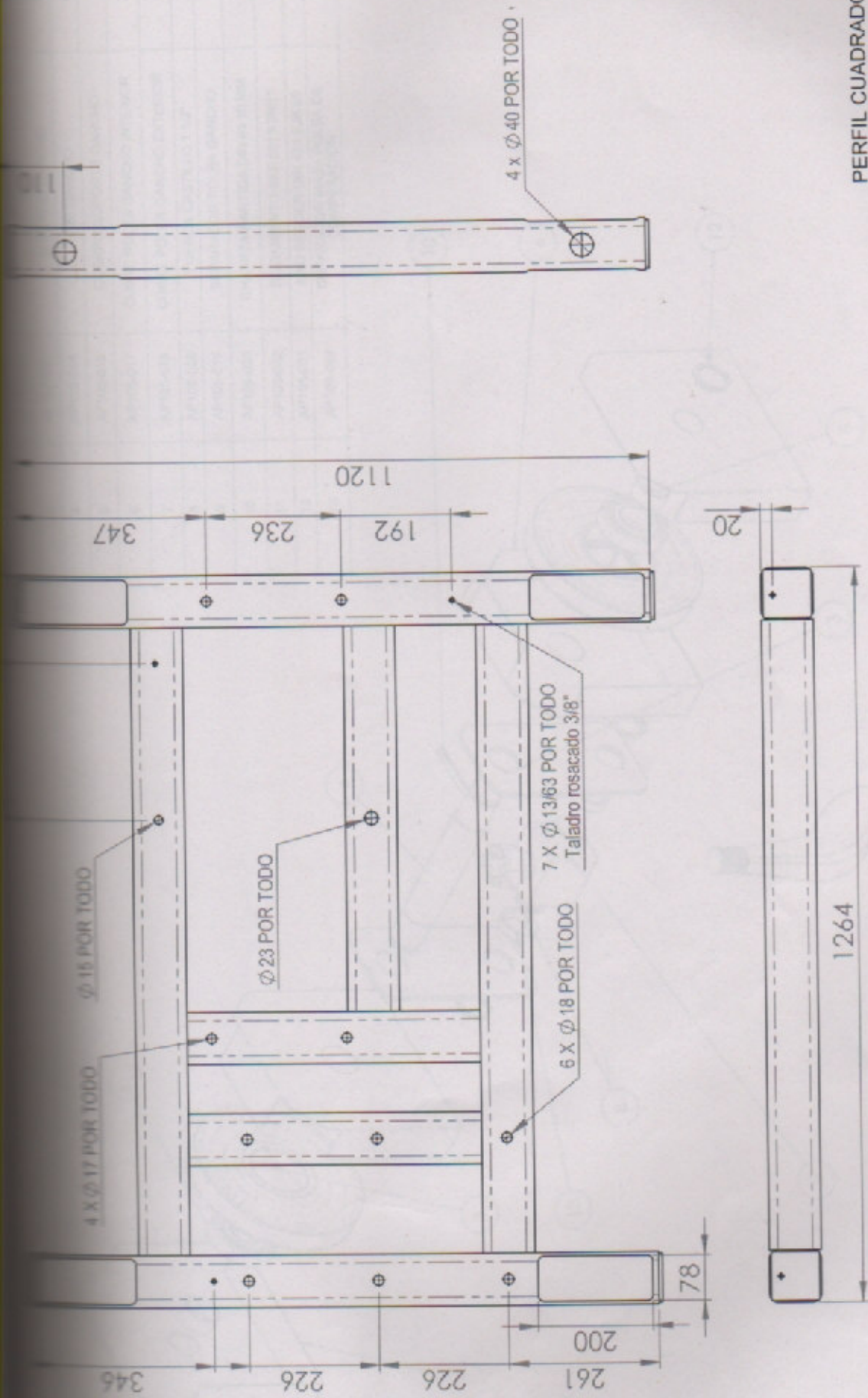




SECCIÓN A-A
ESCALA 1:1



| | | | | | | | |
|---|-------------|--------|-------------------|----------------------------------|----------|--|----------------|
|  UTN UNIVERSIDAD TECNOLÓGICA NACIONAL | | FECHA | 18/4/2018 | SUPLEMENTO POLEA COMPENSACIÓN | |  ESCALA: 1:1 | |
| | | DIBUJO | AGUIRRE ALEJANDRO | MATERIAL | SAE 1010 | | TIPO DE PLANO: |
| CONTROL | MEDEI URIEL | CÓDIGO | AP105-036 | | | | |
| APROBÓ | | | | | | | |

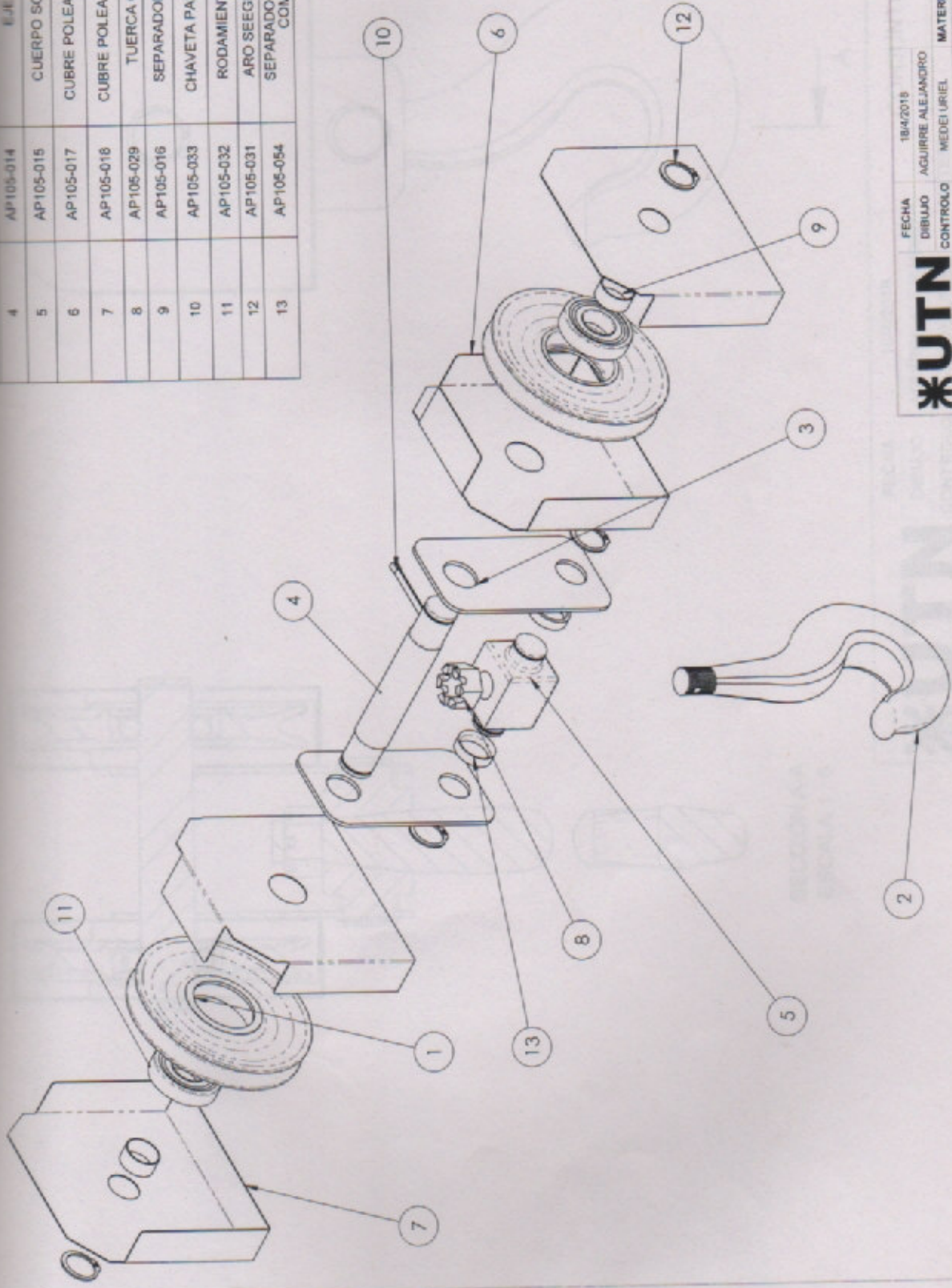


PERFIL CUADRADO 90.6

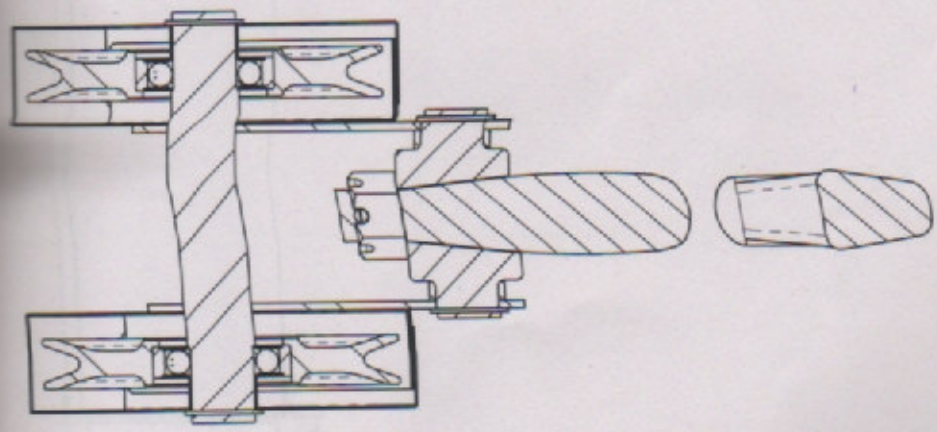
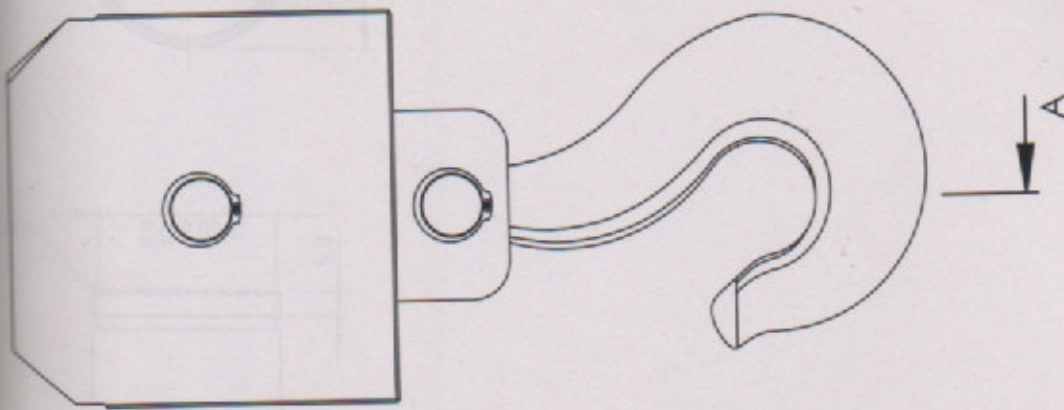
| | | | | | | | |
|--|--|------------------------------------|--|---------------------------------|--|--|--|
|  | | <p align="center">CARRO</p> | | <p align="center">SAE 1010</p> | | <p align="center">TIPO DE PLANO: ESCALA:</p> | |
| | | | | <p align="center">MT105-001</p> | | <p align="center">PIEZA</p> | |
| <p>FECHA: 8/4/2018</p> | | <p>DIBUJO: AGUIRRE ALEJANDRO</p> | | <p>MATERIAL:</p> | | <p>ESCALA: 1:10</p> | |
| <p>CONTROLADO: MEDEI URIEL</p> | | <p>APROBÓ:</p> | | <p>CÓDIGO:</p> | | <p>PIEZA:</p> | |



| | | | |
|----|-----------|-------------------------------------|---|
| 1 | AP105-013 | SOPORTE GANCHO | 1 |
| 4 | AP105-014 | EJE GANCHO | 1 |
| 5 | AP105-015 | CUERPO SOPORTE GANCHO | 1 |
| 6 | AP105-017 | CUBRE POLEA GANCHO INTERIOR | 2 |
| 7 | AP105-016 | CUBRE POLEA GANCHO EXTERIOR | 2 |
| 8 | AP105-029 | TUERCA CASTILLO 1 1/2" | 1 |
| 9 | AP105-016 | SEPARADOR POLEA GANCHO | 2 |
| 10 | AP105-033 | CHAVETA PARTIDA DIN 94 10 MM | 1 |
| 11 | AP105-032 | RODAMIENTO SKF 6313-2RS1 | 2 |
| 12 | AP105-031 | ARO SEEGER DIN 471 EJE 65 | 4 |
| 13 | AP105-054 | SEPARADOR MASA POLEA DE COMPESACIÓN | 2 |

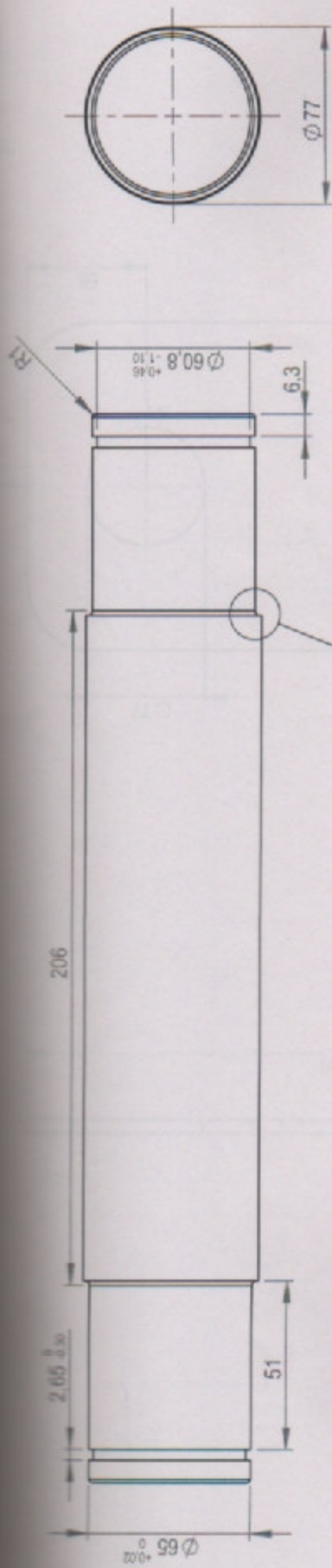


| | | | | | | |
|-----|----------------------------------|---------|-------------------|-----------------|----------------|-----------|
| UTN | UNIVERSIDAD TECNOLÓGICA NACIONAL | FECHA | 18/4/2018 | ENSAMBLE GANCHO | ESCALA: | 1:8 |
| | | DIBUJO | AGUIRRE ALEJANDRO | | TIPO DE PLANO: | DESPIECE |
| | | CONTROL | MEDEIURIEL | MATERIAL | CÓDIGO | AP-05-012 |
| | | APPROB | | | | |



SECCIÓN A-A
ESCALA 1:6

| | | | | | | |
|---|-------------|--------|-------------------|-----------------|----------------|---|
|  UTN UNIVERSIDAD TECNOLÓGICA NACIONAL | | FECHA | 18/4/2018 | CONJUNTO GANCHO | |  ESCALA: 1:6 |
| | | DIBUJO | AGUIRRE ALEJANDRO | MATERIAL | TIPO DE PLANO: | |
| CONTROLADO | MEDEI URIEL | CÓDIGO | AP105-012 | CONJUNTO | | |
| APROBÓ | - | | | | | |



DETALLE A
ESCALA 1:1

SECCIÓN A-A
ESCALA 1:1

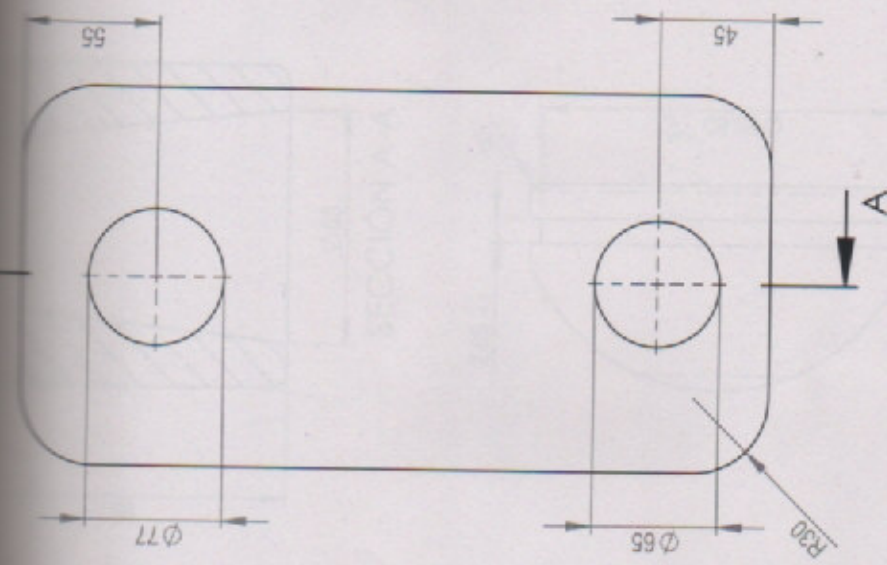


| | |
|---------|-------------------|
| FECHA | 19/4/2018 |
| DIBUJO | AGUIRRE ALEJANDRO |
| CONTROL | MEDEIURIEL |
| APROBÓ | - |

EJE GANCHO

| | | | | | |
|----------|-----------|----------------|-------|---------|-----|
| MATERIAL | SAE 4140 | TIPO DE PLANO: | PIEZA | ESCALA: | 1:2 |
| CÓDIGO | AP105-014 | | | | |

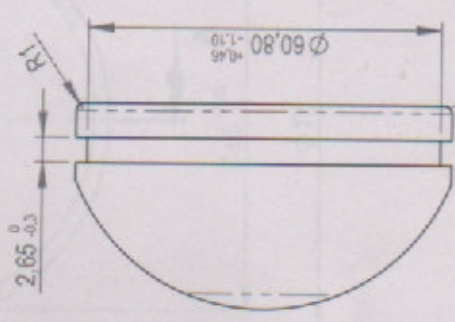
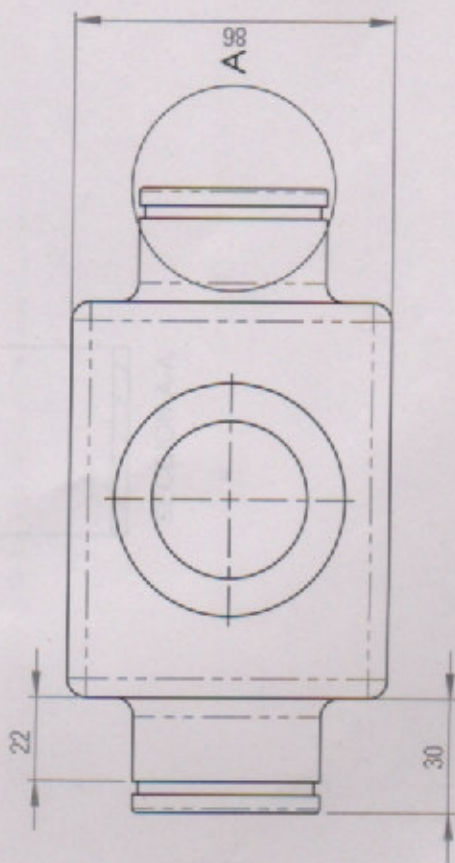
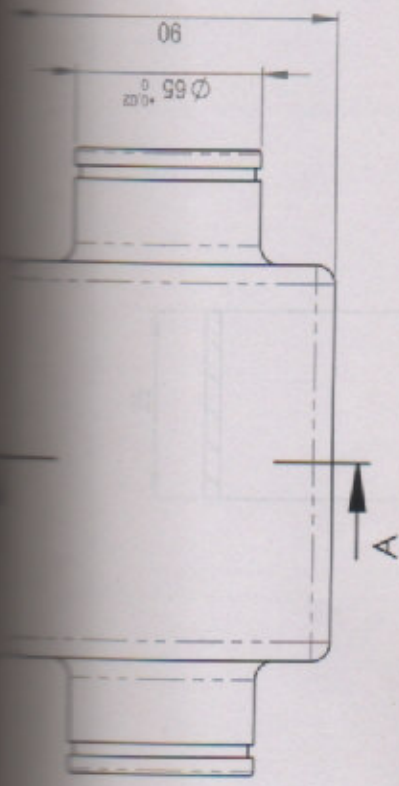
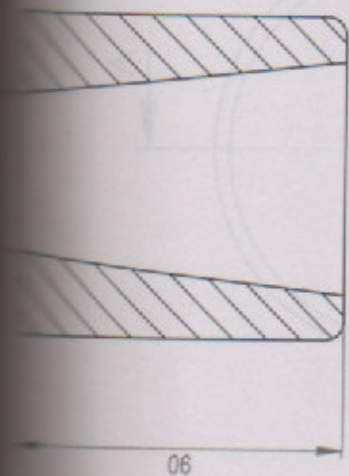




SECCIÓN A-A
ESCALA 1 : 3

ESPESOR: 1/4"

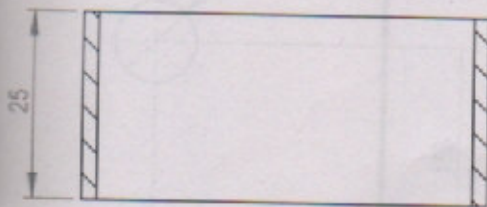
| | | | | | | | |
|---|------------|-------------------|--|----------------|-----------|--|---------|
|  | | 19/4/2018 | | SOPORTE GANCHO | |  | |
| FECHA | DIBUJO | AGUIRRE ALEJANDRO | | MATERIAL | SAE 1010 | TIPO DE FLANO: | ESCALA: |
| CONTROLADO | MEDEIURIEL | | | CÓDIGO | AP105-013 | PIEZA | 1:3 |
| APROBÓ | | | | | | | |



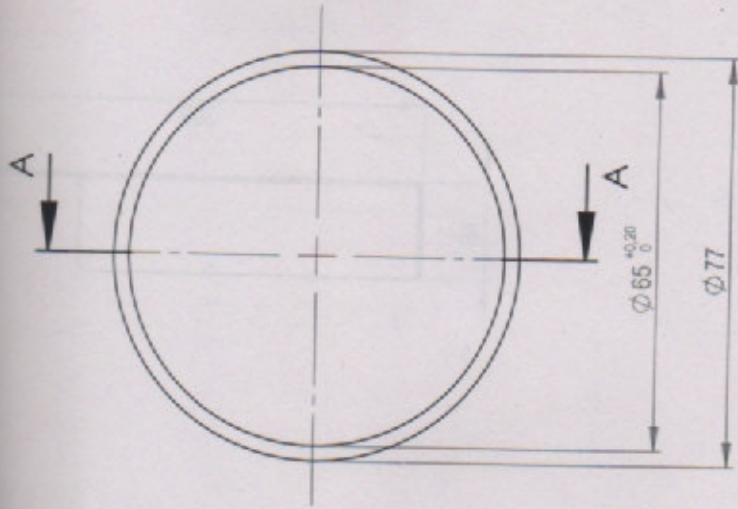
DETALLE A
ESCALA 1 : 1



| | | | | | |
|------------|-------------------|-----------------------|-----------|----------------|-------|
| FECHA | 19/4/2018 | CUERPO SOPORTE GANCHO | | ESCALA: | 1:2 |
| DIBUJO | AGUIRRE ALEJANDRO | MATERIAL | SAE 1010 | TIPO DE PLANO: | PIEZA |
| CONTROLADO | MEDEI URIEL | CODIGO | AP105-015 | | |
| APROBÓ | - | | | | |



SECCIÓN A-A

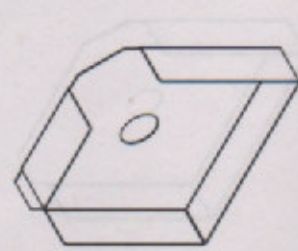
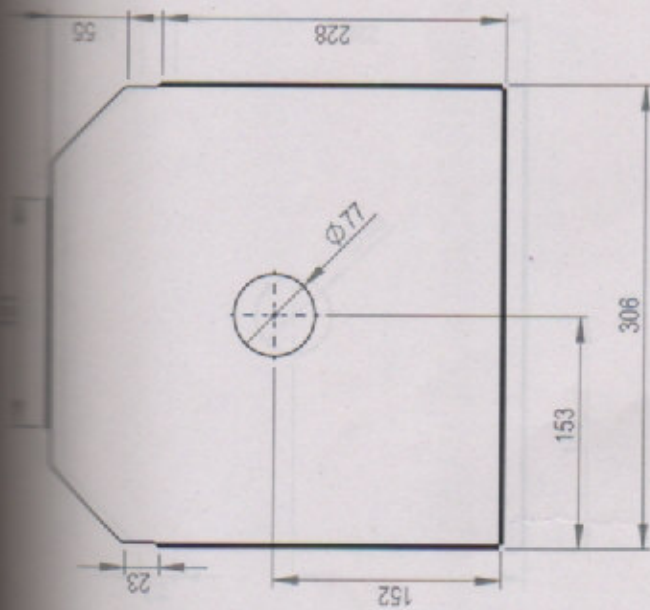


ESPEQUEYER

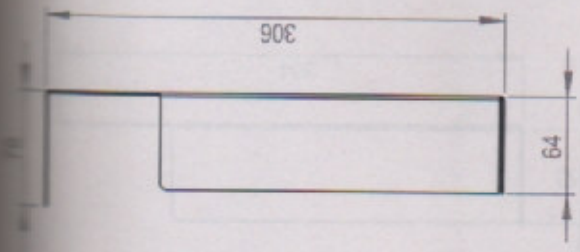


| | | | | | |
|-----------|-------------------|------------------------|-----------|----------------|-------|
| FECHA | 19/4/2018 | SEPARADOR POLEA GANCHO | | ESCALA: | 1:1 |
| DIBUJO | AGUIRRE ALEJANDRO | MATERIAL | SAE 1010 | TIPO DE PLANO: | PIEZA |
| CONTROLLO | MEDEI URIEL | CÓDIGO | AP105-016 | | |
| APROBÓ | - | | | | |

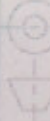


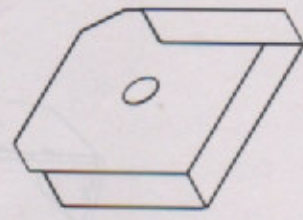
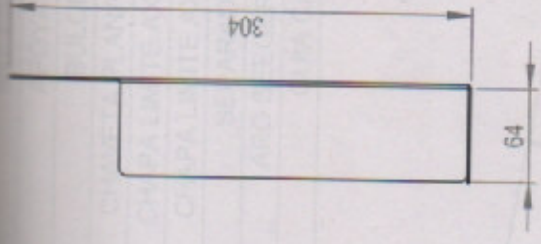
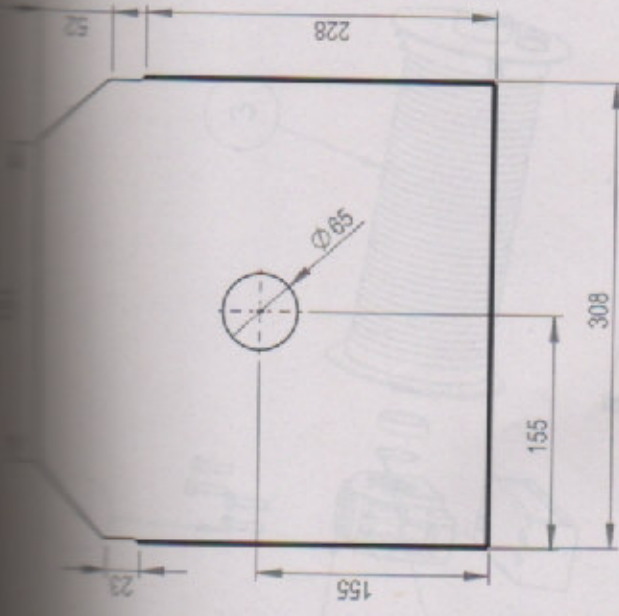


VISTA ISOMÉTRICA
ESCALA 1:10



ESPESOR 1,6 MM

| | | | | | | |
|---|-------------|----------|-------------------|--------------------|-------|--|
|  UNIVERSIDAD TECNOLÓGICA NACIONAL | | FECHA | 19/4/2018 | CUBRE POLEA GANCHO | |  |
| | | DIBUJO | AGUIRRE ALEJANDRO | INTERIOR | | |
| CONTROL | MEDEI URIEL | MATERIAL | SAE 1010 | TIPO DE PLANO: | PIEZA | ESCALA: |
| APROBÓ | | CÓDIGO | AP105-017 | | | 1:5 |



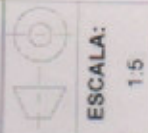
VISTA ISOMÉTRICA
ESCALA 1:10

ESPESOR 1,6 MM



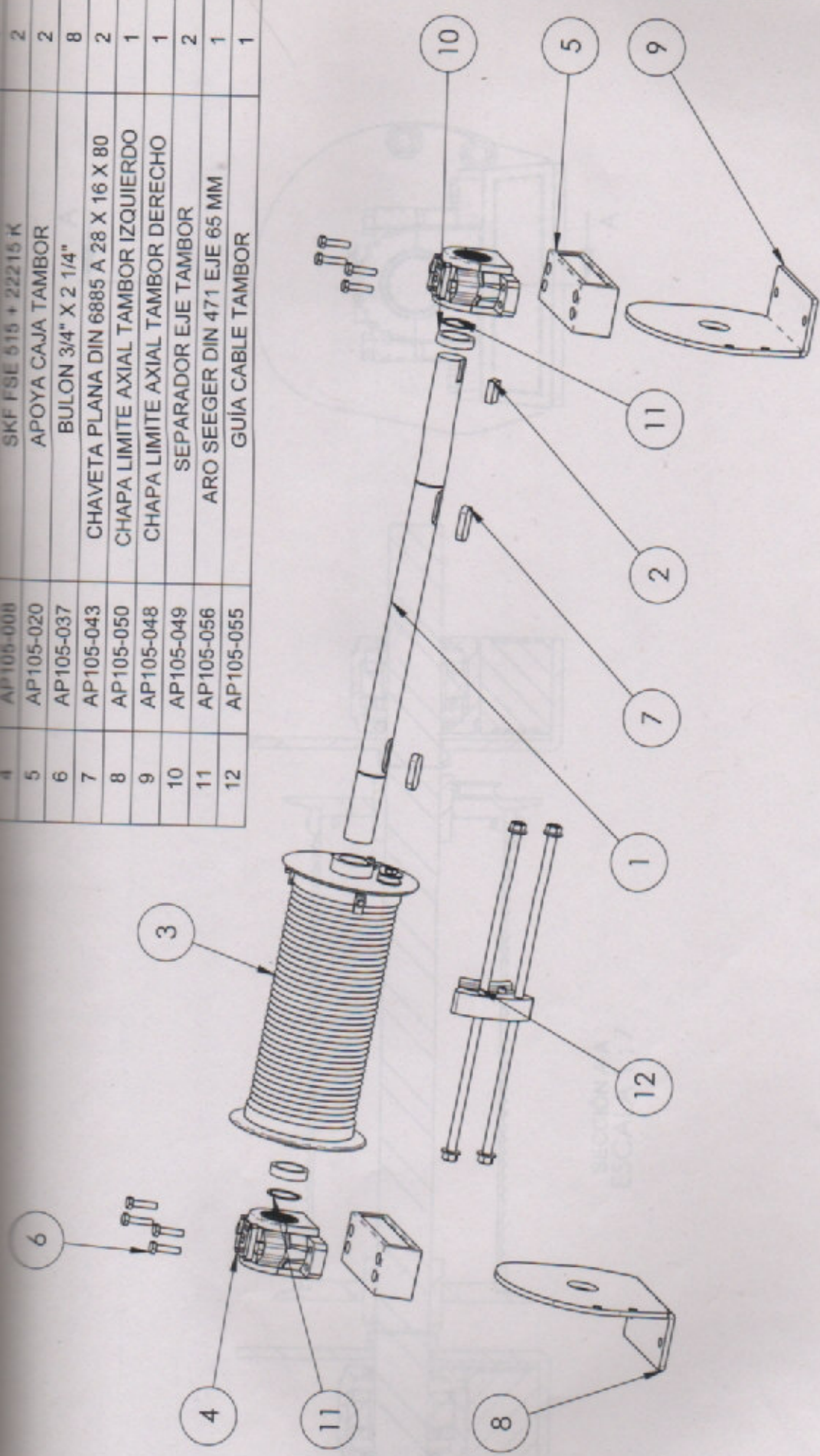
| | |
|------------|-------------------|
| FECHA | 19/4/2018 |
| DIBUJO | AGUIRRE ALEJANDRO |
| CONTROLADO | MEDEI URIEL |
| APROBÓ | |

| | |
|--------------------------------|-----------|
| CUBRE POLEA GANCHO EXTERIOR | |
| MATERIAL | SAE 1010 |
| CÓDIGO | AP105-018 |
| TIPO DE PLANO: | PIEZA |



ESCALA:
1:5

| | | | |
|----|-----------|---------------------------------------|---|
| 3 | AP105-004 | ENSAMBLE TAMBOR | 1 |
| 4 | AP105-008 | SKF FSE 515 + 22215 K | 2 |
| 5 | AP105-020 | APOYA CAJA TAMBOR | 2 |
| 6 | AP105-037 | BULON 3/4" X 2 1/4" | 8 |
| 7 | AP105-043 | CHAVETA PLANA DIN 6885 A 28 X 16 X 80 | 2 |
| 8 | AP105-050 | CHAPA LIMITE AXIAL TAMBOR IZQUIERDO | 1 |
| 9 | AP105-048 | CHAPA LIMITE AXIAL TAMBOR DERECHO | 1 |
| 10 | AP105-049 | SEPARADOR EJE TAMBOR | 2 |
| 11 | AP105-056 | ARO SEEGER DIN 471 EJE 65 MM | 1 |
| 12 | AP105-055 | GUIA CABLE TAMBOR | 1 |

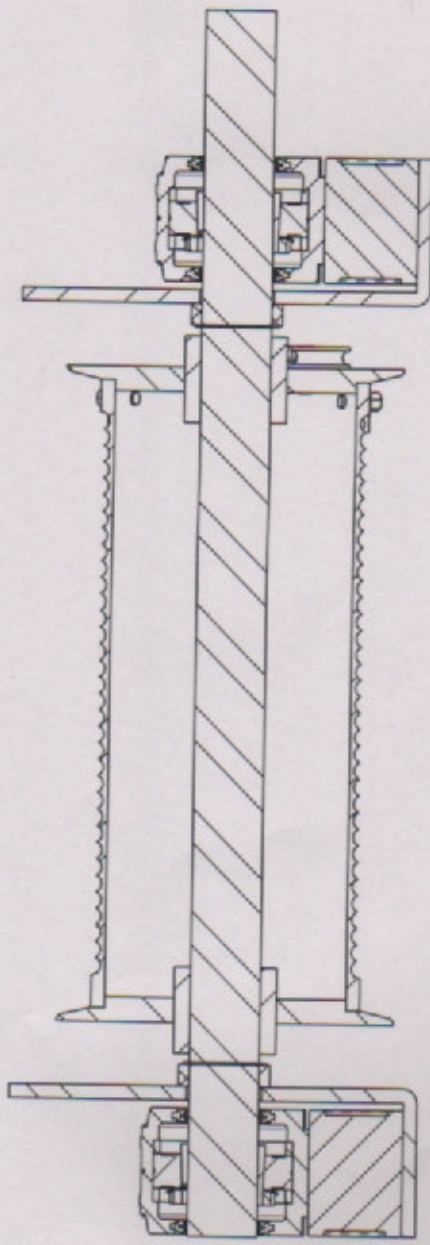


| | | | | | |
|-------------------|--|-------------------|--|-------------------------|--|
| FECHA | | 19/4/2018 | | MECANISMO TAMBOR | |
| DIBUJO | | AGUIRRE ALEJANDRO | | MATERIAL | |
| CONTROLADO | | MEDEI URIEL | | TIPO DE PLANO: | |
| APROBÓ | | - | | AP105-025 DESPIECE | |
| | | | | ESCALA: | |
| | | | | 1:13 | |

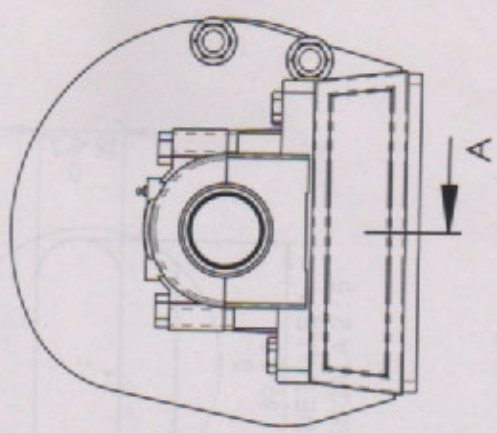


SECCION B-B
ESCALA 1:1

A



SECCION A-A
ESCALA 1:7



A



| | |
|---------|-------------------|
| FECHA | 19/4/2018 |
| DIBUJO | AGUIRRE ALEJANDRO |
| CONTROL | MEDEI URIEL |
| APROBÓ | - |

MECANISMO TAMBOR

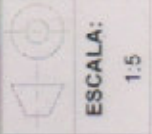
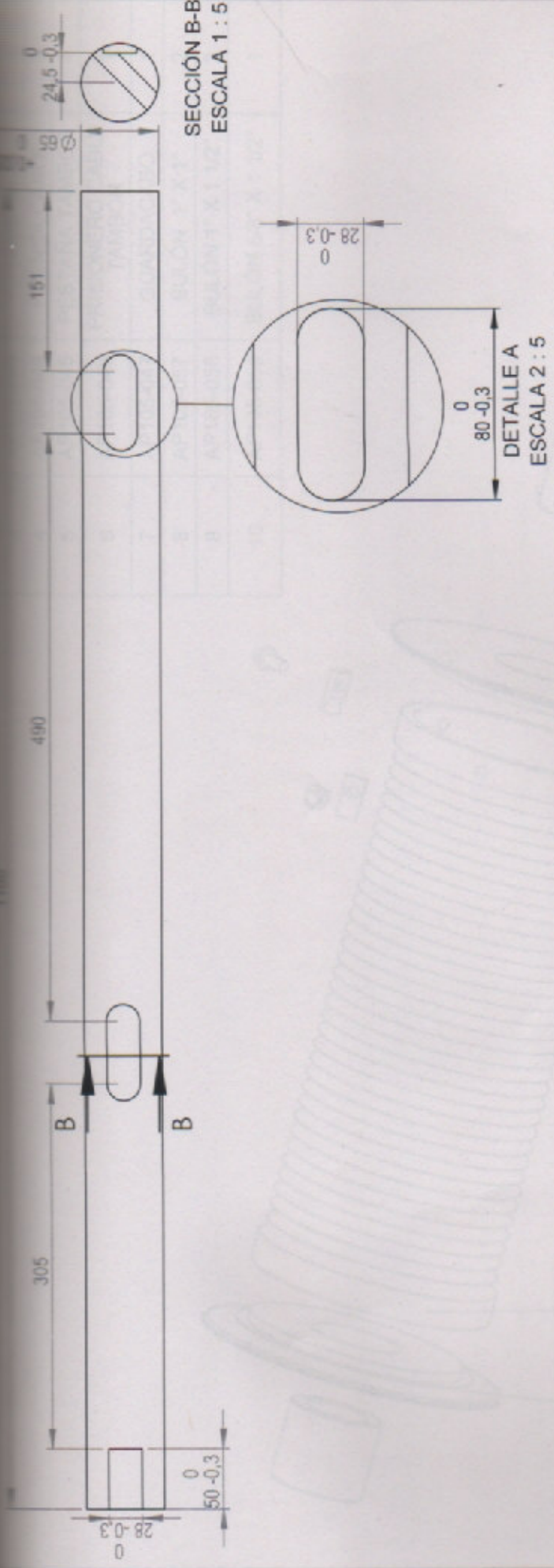
TIPO DE PLANO:
CONJUNTO

ESCALA:
1:7

CÓDIGO
AP105-025

MATERIAL
-





EJE TAMBOR

9/4/2018

AGUIRRE ALEJANDRO

MEDEI URIEL

APROBÓ

CONTROLÓ

DIBUJO

FECHA

9/4/2018

AGUIRRE ALEJANDRO

MEDEI URIEL

APROBÓ

ESCALA:

TIPO DE PLANO:

SAE 4140

MATERIAL

CÓDIGO

AP105-002

PIEZA

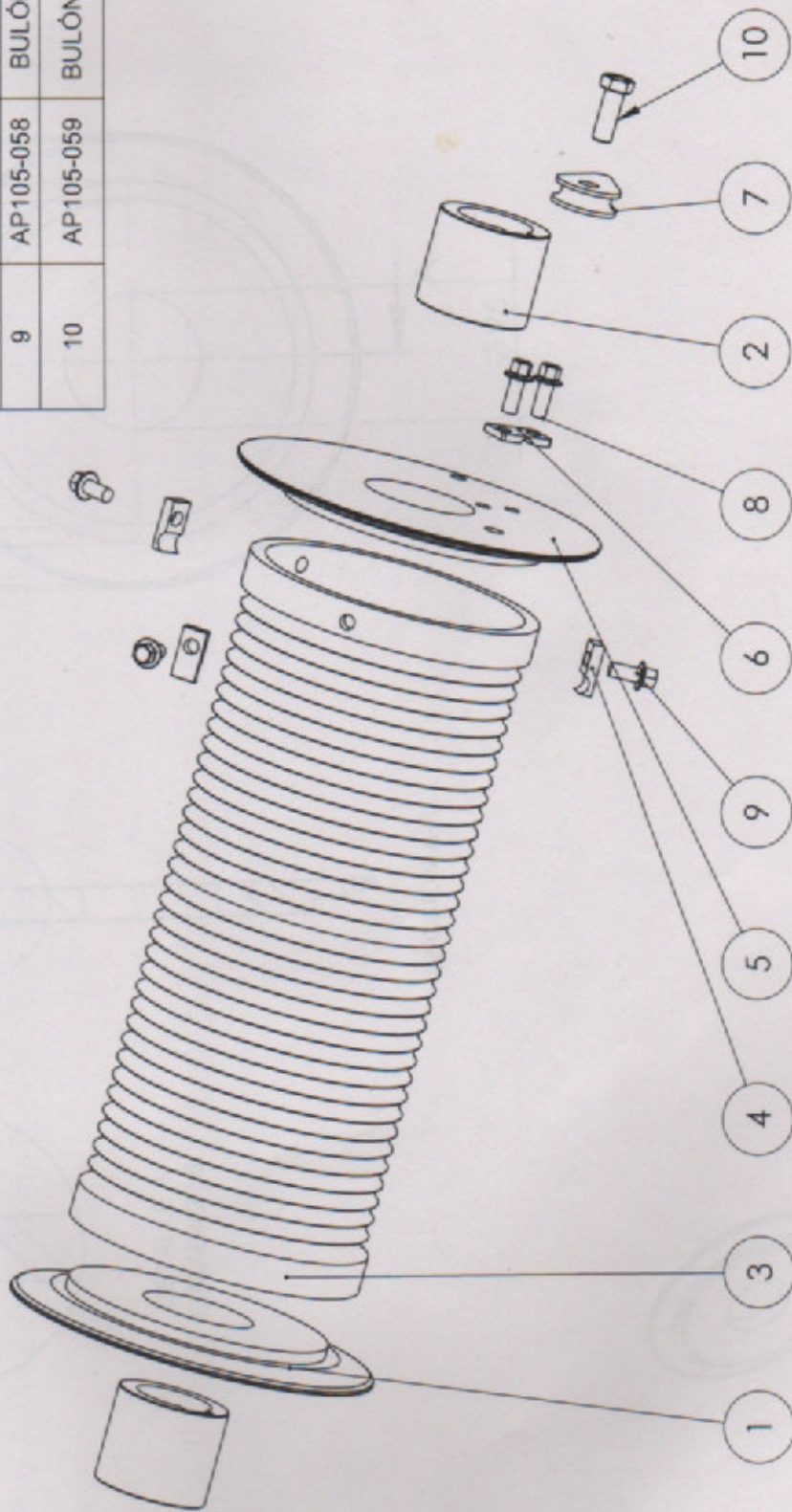
ESCALA:

1:5



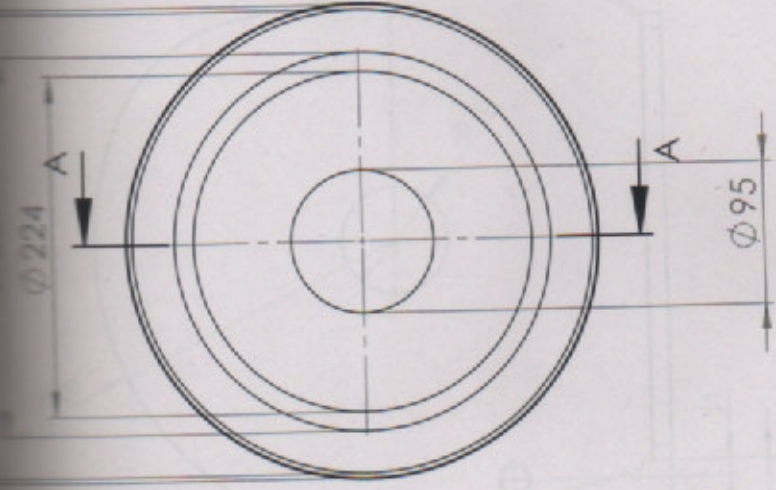
UNIVERSIDAD TECNOLÓGICA NACIONAL

| | | | |
|----|-----------|-------------------------|---|
| 2 | AP105-008 | MAZA TAMBOR | 1 |
| 3 | AP105-009 | TAMBOR | 1 |
| 4 | AP105-044 | PRENSA CABLE | 3 |
| 5 | AP105-045 | PESTAÑA TAMBOR | 1 |
| 6 | AP105-046 | PRISIONERO CABLE TAMBOR | 1 |
| 7 | AP105-047 | GUARDACABO | 1 |
| 8 | AP105-057 | BULÓN 1" X 1" | 2 |
| 9 | AP105-058 | BULÓN 1" X 1 1/2" | 3 |
| 10 | AP105-059 | BULÓN 5/8" X 1 1/2" | 1 |

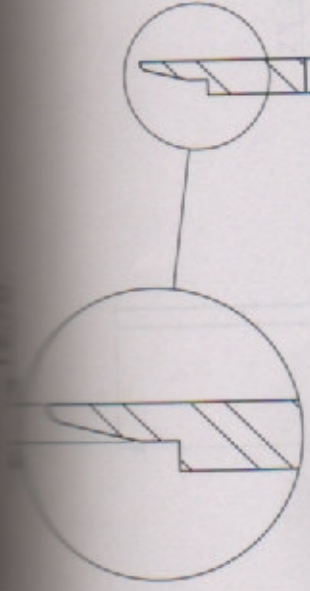


| | | | | |
|--|--|--|-------------------------|-------------|
| UTN UNIVERSIDAD TECNOLÓGICA NACIONAL | | FECHA: 19/4/2018 DIBUJO: AGUIRRE ALEJANDRO CONTROL: MEDEI URIEL APROBÓ: | DESPIECE TAMBOR | |
| | | MATERIAL: - | TIPO DE PLANO: DESPIECE | ESCALA: 1:5 |
| | | CÓDIGO: AP105-004 | | |

VISTA ISOMÉTRICA
(ESCALA 1:5)

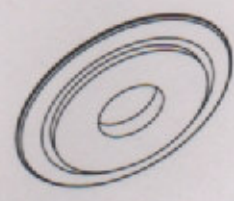


ESPESOR 1"



DETALLE A
ESCALA 2 : 5

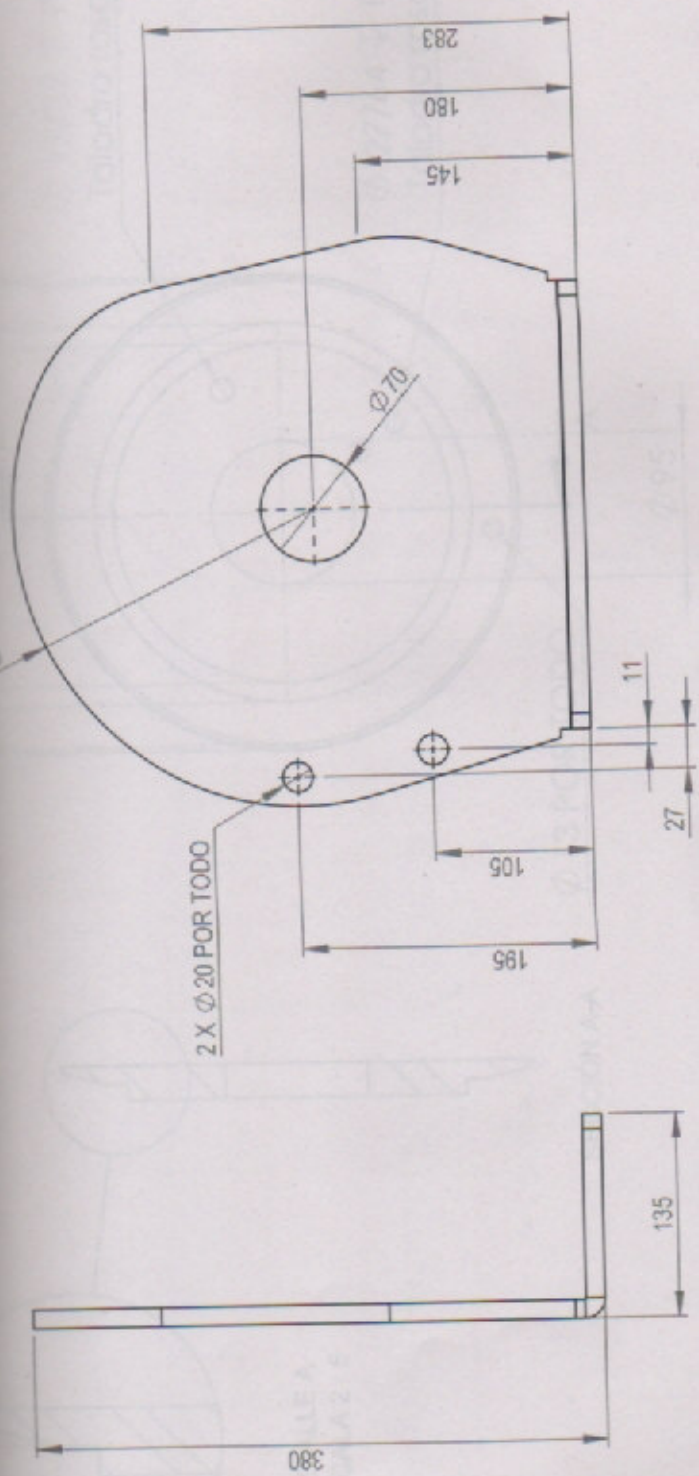
SECCIÓN A-A



VISTA ISOMÉTRICA
ESCALA 1:10

| | | | | | | | |
|-------------------------------|--|---------------------------------|------------------------------------|-----------------------------------|--------------------------------|--------------------|--|
| | | <p>CHAMFER</p> | | <p>PESTAÑA TAMBOR</p> | | <p>ESCALA: 1:5</p> | |
| <p>FECHA</p> <p>19/4/2018</p> | <p>DIBUJO</p> <p>AGUIRRE ALEJANDRO</p> | <p>MATERIAL</p> <p>SAE 1010</p> | <p>TIPO DE PLANO:</p> <p>PIEZA</p> | <p>CONTROL</p> <p>MEDEI URIEL</p> | <p>CÓDIGO</p> <p>AP105-007</p> | <p>APROBÓ</p> | |
| | | | | | | | |

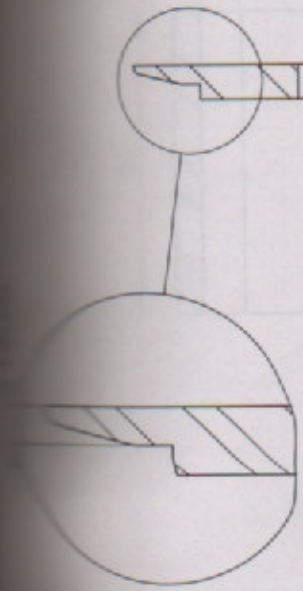
ESPESOR 1/2"



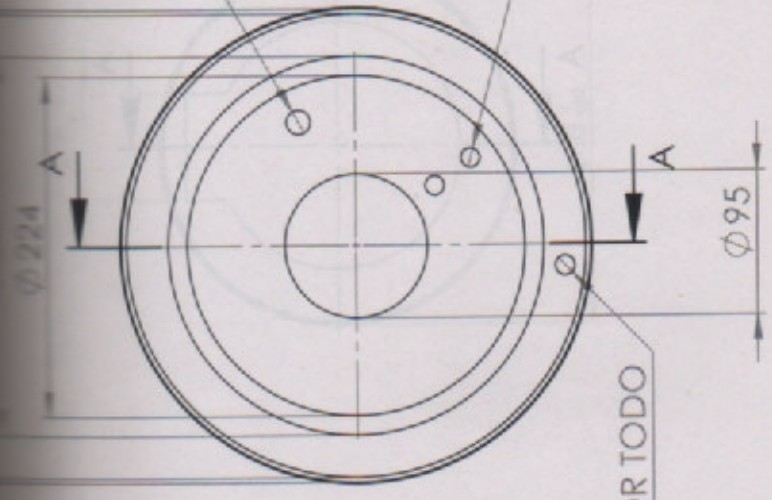
| | | | | | |
|---------|-------------|---------------------------|-------------------|----------------|-----------|
| | | CHAPA LIMITE AXIAL TAMBOR | | ESCALA: 1:5 | |
| | | MATERIAL | SAE 1010 | TIPO DE PLANO: | PIEZA |
| FECHA | 19/4/2018 | DIBUJO | AGUIRRE ALEJANDRO | CÓDIGO | AP105-048 |
| CONTROL | MEDEI URIEL | APROBÓ | - | | |



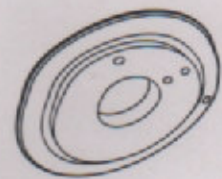
VISTA ISOMETRICA ESCALA 1:10



DETALLE A
ESCALA 2:5



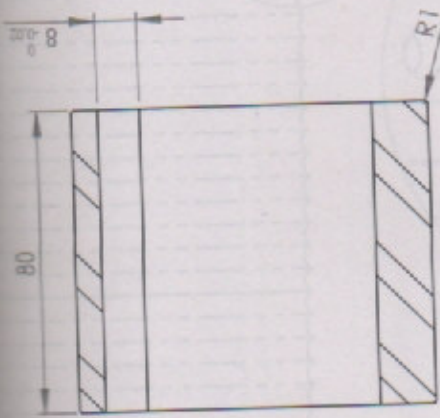
SECCIÓN A-A



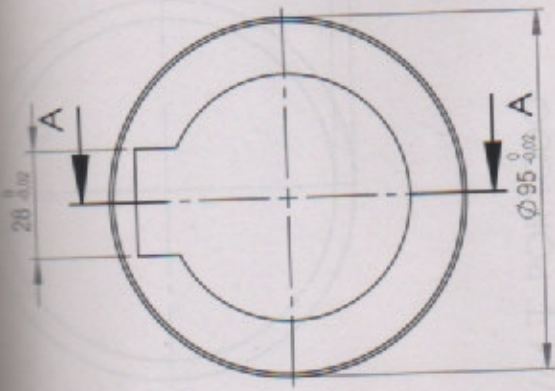
VISTA ISOMÉTRICA
ESCALA 1:10

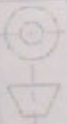
ESPESOR 1"

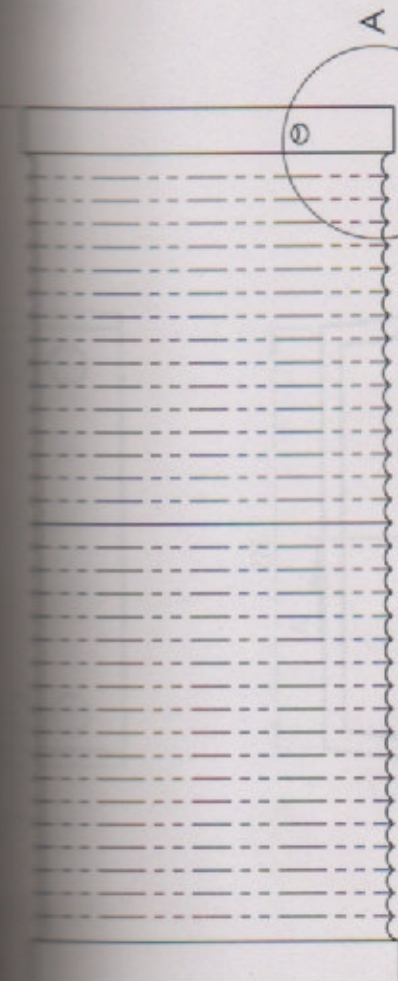
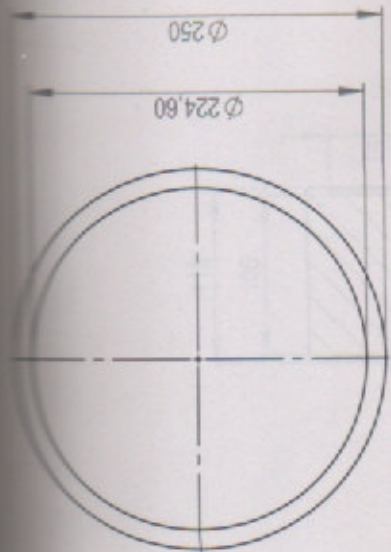
| | | | | | |
|---|-------------|--------|-------------------|-------------------------|----------|
|  UNIVERSIDAD TECNOLÓGICA NACIONAL | | FECHA | 19/4/2018 | PESTAÑA TAMBOR SUJECIÓN | |
| | | DIBUJO | AGUIRRE ALEJANDRO | MATERIAL | SAE 1010 |
| CONTROL | MEDEI URIEL | CÓDIGO | AP105-045 | PIEZA | ESCALA: |
| APROBÓ | - | | | | 1:5 |



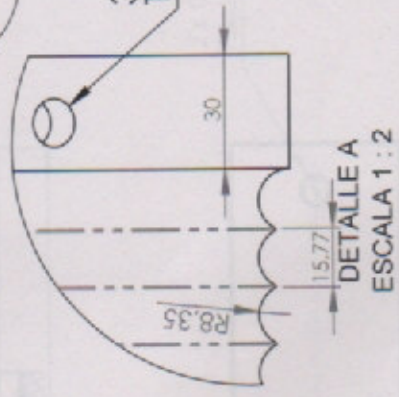
SECCIÓN A-A



| | | | | | | |
|---|-------------|--------|-------------------|-------------|----------|---|
|  UTN UNIVERSIDAD TECNOLÓGICA NACIONAL | | FECHA | 19/4/2018 | MAZA TAMBOR | |  ESCALA: 1:2 |
| | | DIBUJO | AGUIRRE ALEJANDRO | MATERIAL | SAE 1010 | |
| CONTROL | MEDEI URIEL | CÓDIGO | AP105-005 | PIEZA | | |
| APROBÓ | | | | | | |

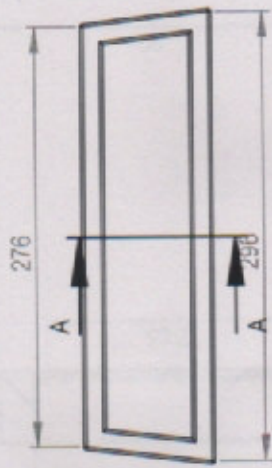


3 A 120° Φ 27/64 ∇ POR TODO
 Taladro roscado 1/2"

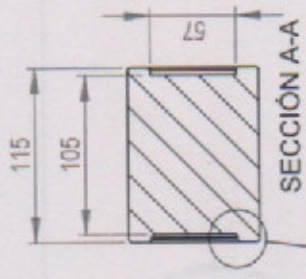


ESPESOR 1/2"

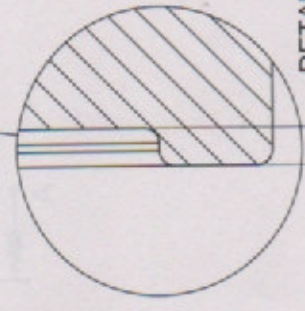
| | | | | | | | | |
|---|------------|--------|-------------------|-------------|----------|----------------|---------|-----|
|  UTN UNIVERSIDAD TECNOLÓGICA NACIONAL | | FECHA | 19/4/2018 | APOYO MAIOR | | TAMBOR | ESCALA: | |
| | | DIBUJO | AGUIRRE ALEJANDRO | MATERIAL | SAE 1010 | TIPO DE PLANO: | PIEZA | 1:5 |
| CONTROLADO | MEDEIURIEL | CÓDIGO | AP105-009 | | | | | |
| APROBÓ | - | | | | | | | |



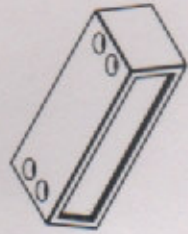
2 x ϕ 17/32 ∇ 25
Taladro roscado 5/8"



SECCIÓN A-A

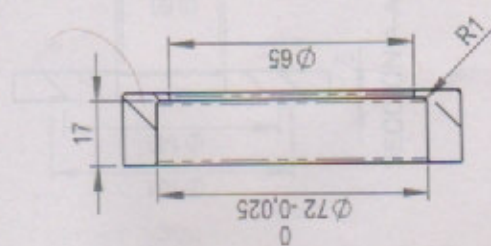
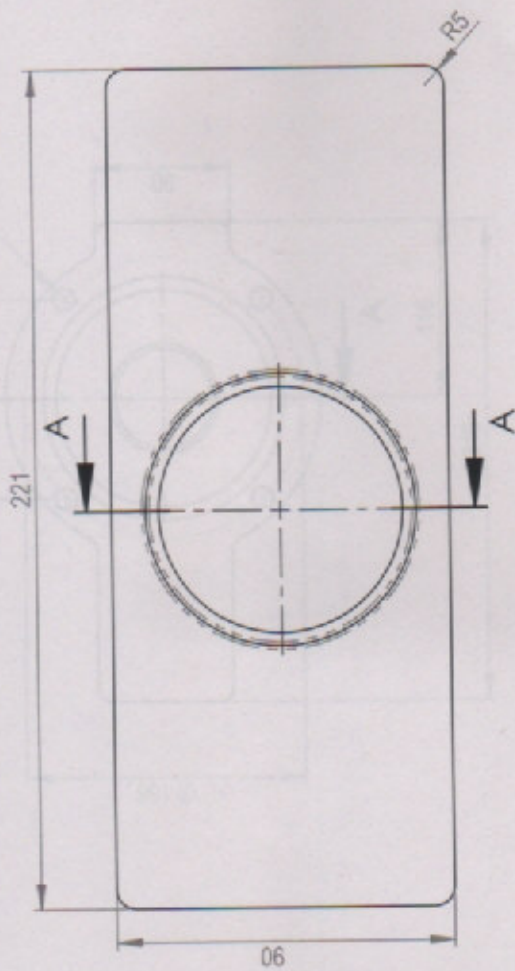


DETALLE B
ESCALA 1 : 1



VISTA ISOMÉTRICA
ESCALA 1:10

| | | | | | |
|---|-------------|----------------|-------------------|-------------------|-----------|
|  UNIVERSIDAD TECNOLÓGICA NACIONAL | | FECHA | 19/4/2018 | APOYO CAJA TAMBOR | |
| | | DIBUJO | AGUIRRE ALEJANDRO | MATERIAL | FUNDICIÓN |
| CONTROLADO | MEDEI URIEL | TIPO DE PLANO: | PIEZA | ESCALA: | 1:5 |
| APROBÓ | - | CÓDIGO | AP105-020 | | |

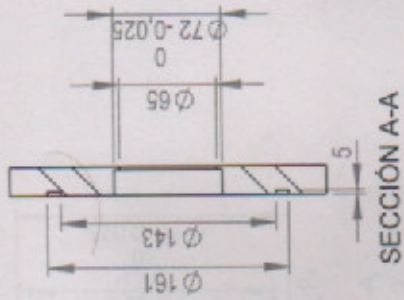
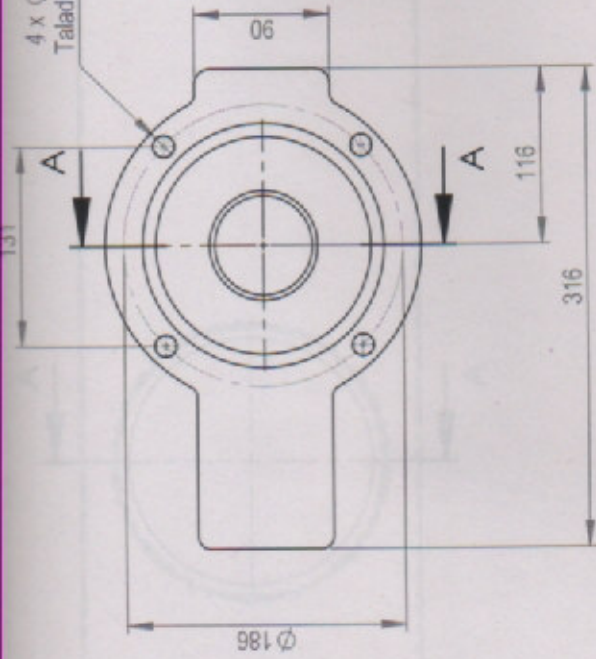


SECCIÓN A-A

ESPESOR 3/4"

| | | | | | | | |
|--|--|---------|-------------------|-------------------------|-----------|-------|----------------|
| | | FECHA | 19/4/2018 | REFUERZO RUEDA INTERIOR | | | |
| | | DIBUJO | AGUIRRE ALEJANDRO | MATERIAL | SAE 1010 | | TIPO DE PLANO: |
| | | CONTROL | MEDEI URIEL | CÓDIGO | MT105-003 | PIEZA | 1:5 |
| | | APROBÓ | - | | | | |

4 x \varnothing 5/16" ∇ 15
Taladro roscado 3/8"

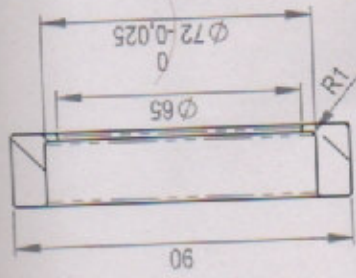
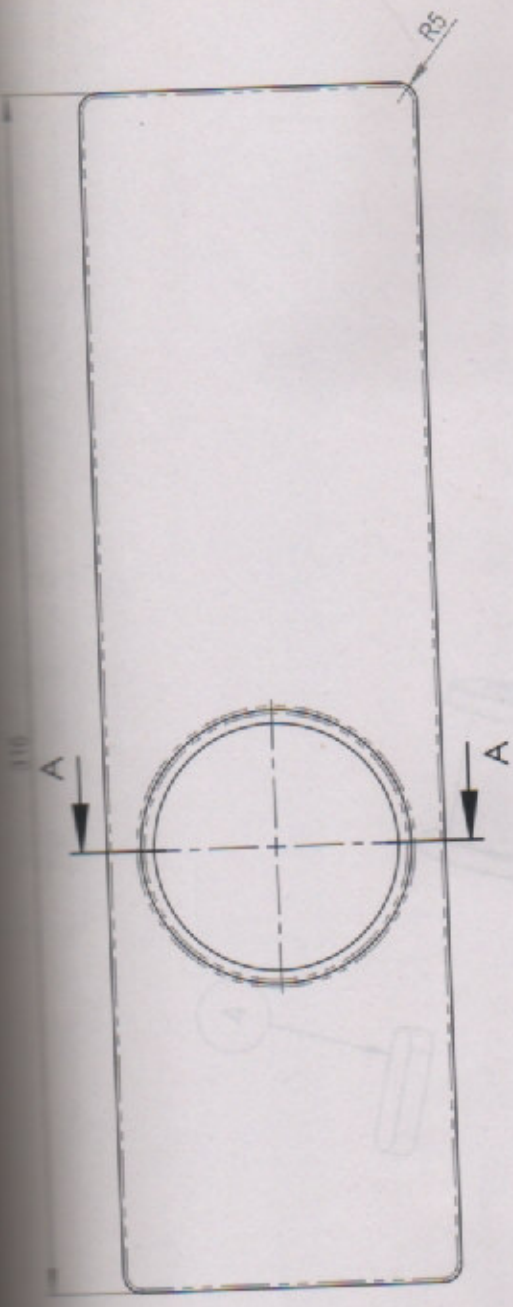


SECCIÓN A-A

ESPESOR 3/4"

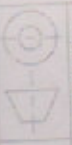
| | | | | | |
|----------------------|-------------------|----------------------|----------|-------------|-----------|
| | | REFUERZO RUEDA | | ESCALA: 1:5 | |
| EXTERIOR TRANSMISIÓN | | TIPO DE PLANO: PIEZA | | | |
| FECHA | 19/4/2018 | MATERIAL | SAE 1010 | CÓDIGO | MT105-004 |
| DIBUJO | AGUIRRE ALEJANDRO | | | | |
| CONTROL | MEDEI URIEL | | | | |
| APROBÓ | - | | | | |



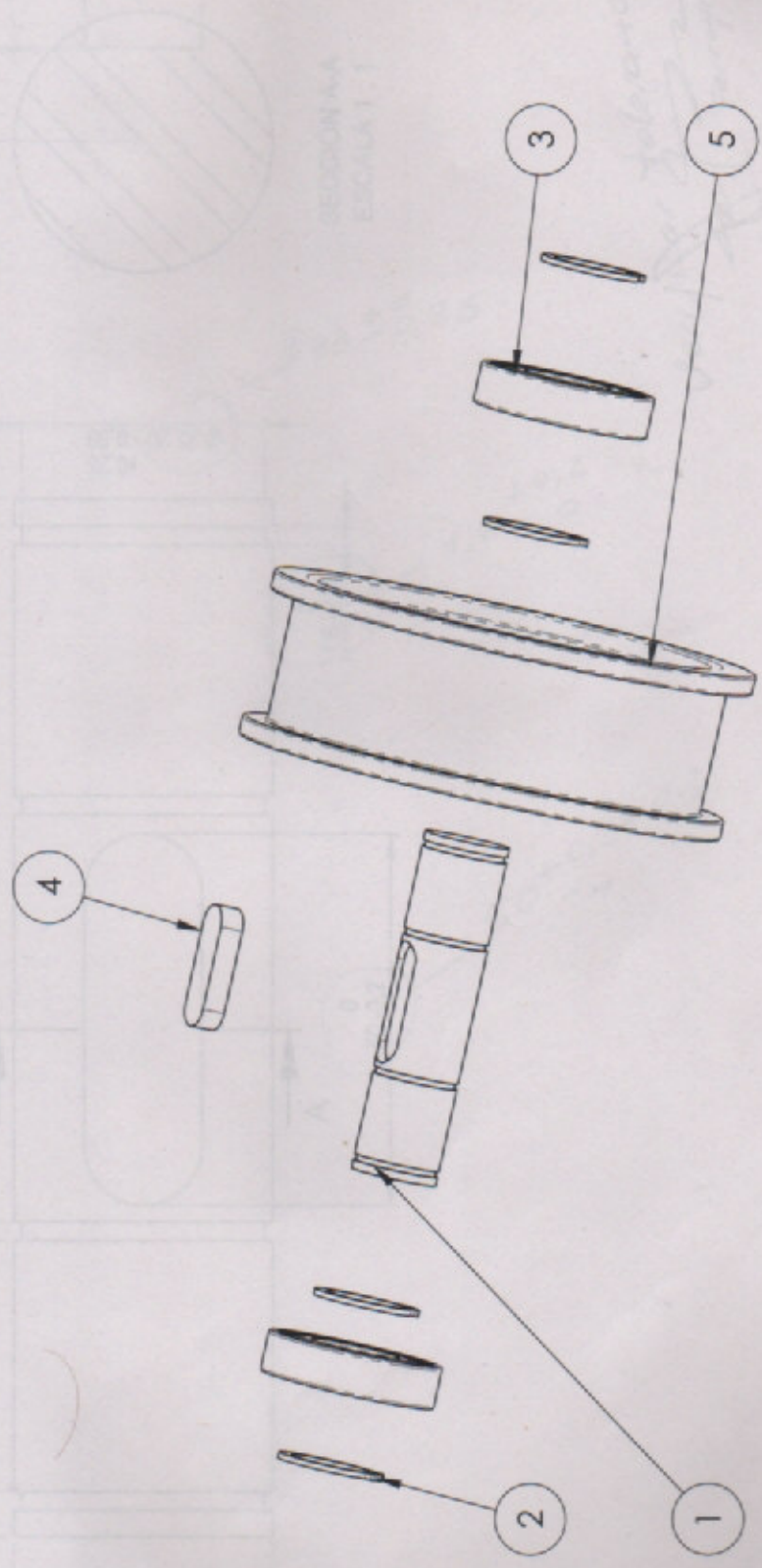


SECCIÓN A-A
ESCALA 1:2

ESPESOR 3/4

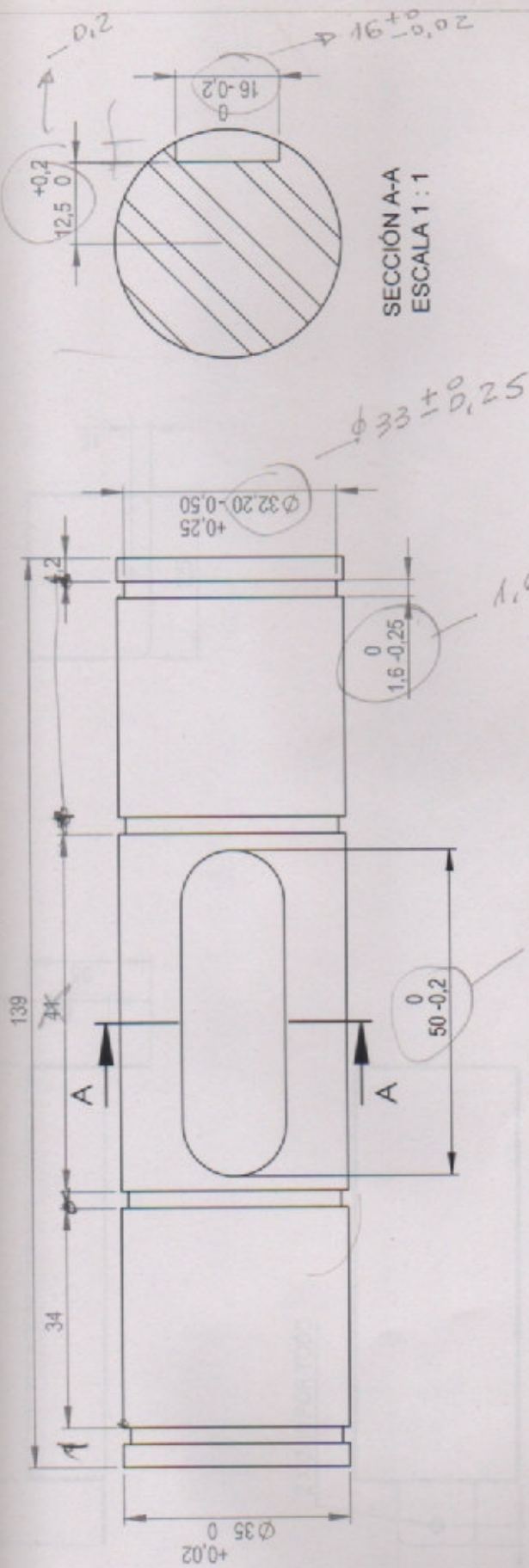
| | | | | | |
|---|-----------------------|----------------------|----------------------------------|----------------|--|
|  UNIVERSIDAD TECNOLÓGICA NACIONAL | | FECHA 19/4/2018 | REFUERZO RUEDA EXTERIOR GUIJA | |  |
| DIBUJO AGUIRRE ALEJANDRO | CONTROL MEDEIURIEL | MATERIAL SAE 1010 | TIPO DE PLANO: PIEZA | ESCALA: 1:2 | |
| APROBÓ | | CÓDIGO MT105-008 | | | |

| | | | |
|---|-----------|-----------------------------|---|
| 3 | MT105-010 | RODAMIENTO DE RUELLA | 1 |
| 4 | MT105-005 | CHAVETA DIN 6885 A 16X10X50 | 1 |
| 5 | MT105-007 | RUEDA CARRO | 1 |



SECCION A-A
ESCALA 1:1

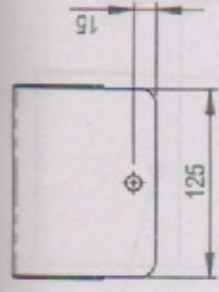
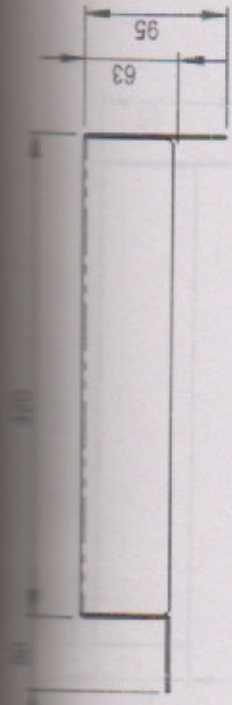
| | | | | |
|--|---|---------------------------|-------------|--|
| UTN UNIVERSIDAD TECNOLÓGICA NACIONAL | FECHA: 9/4/2018 DIBUJO: AGUIRRE ALEJANDRO CONTROL: MEDEI URIEL APROBÓ: - | ENSAMBLE RUEDA GUÍA CARRO | | |
| | MATERIAL: - CÓDIGO: MT105-010 | TIPO DE PLANO: DESPIECE | ESCALA: 1:3 | |



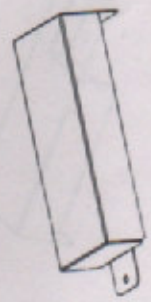
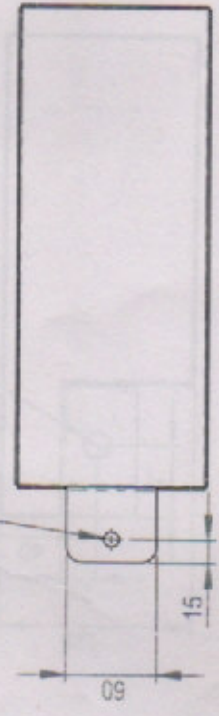
SECCIÓN A-A
ESCALA 1:1

Verificar tolerancias
Ferrayra

| | | | | | |
|--|-------------------|----------|-----------|----------------------|---------|
| UTN UNIVERSIDAD TECNOLÓGICA NACIONAL | | FECHA | 9/4/2018 | EJE RUEDA GUÍA CARRO | |
| DIBUJO | AGUIRRE ALEJANDRO | MATERIAL | SAE 4140 | TIPO DE PLANO: | ESCALA: |
| CONTROLADO | MEDEI URIEL | CÓDIGO | MT105-009 | PIEZA | 1:1 |
| APROBÓ | - | | | | |



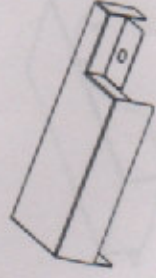
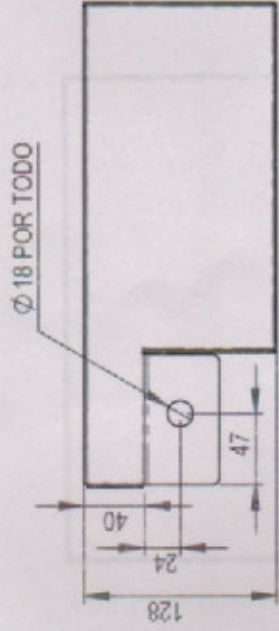
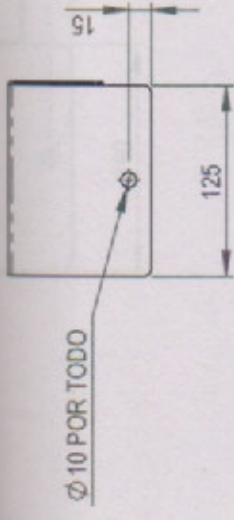
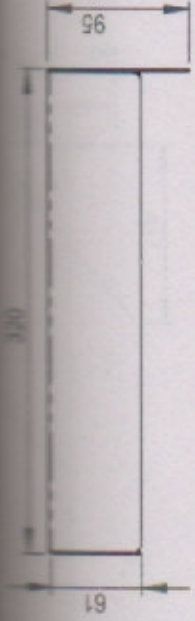
2 X Ø 10 POR TODO



VISTA ISOMÉTRICA
ESCALA 1:10

ESPESOR 1,6 MM

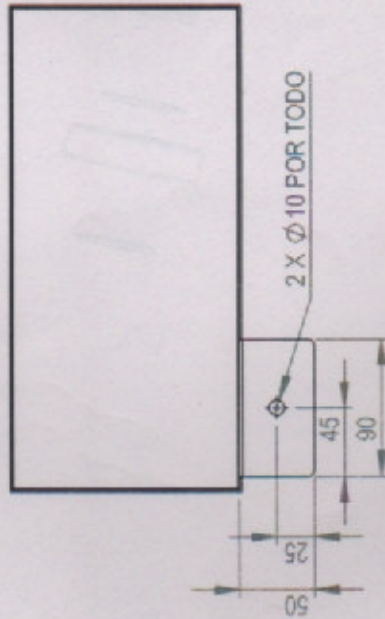
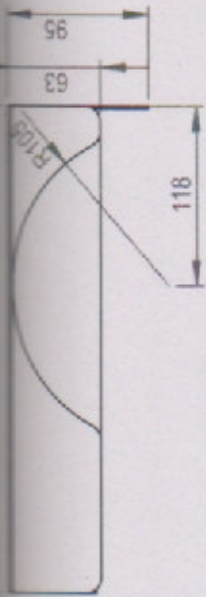
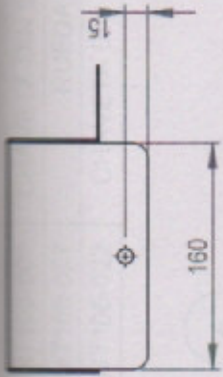
| | | | | | |
|--|-----------|-------------------|-----------------------------|---------------------------|--------|
|  UTN UNIVERSIDAD TECNOLÓGICA NACIONAL | | FECHA 9/4/2018 | DIBUJO AGUIRRE ALEJANDRO | CONTROLADO MEDEI URIEL | APROBÓ |
| CUBRE RUEDA GUÍA CARRO | | | | | |
| MATERIAL | SAE 1010 | TIPO DE PLANO: | ESCALA: | | |
| CÓDIGO | AP105-026 | PIEZA | 15 | | |



VISTA ISOMÉTRICA
ESCALA 1:10

ESPESOR 1,6 MM

| | | | | | | | |
|--|--|------------|-------------------|---------------------------|-----------|-------|----------------|
| | | FECHA | 9/4/2018 | CUBRE RUEDA GUÍA REDUCTOR | | | |
| | | DIBUJO | AGUIRRE ALEJANDRO | MATERIAL | SAE 1010 | | TIPO DE PLANO: |
| | | CONTROLADO | MEDEI URIEL | CÓDIGO | AP105-027 | PIEZA | 1:5 |
| | | APROBÓ | - | | | | |



ESPESOR 1:10

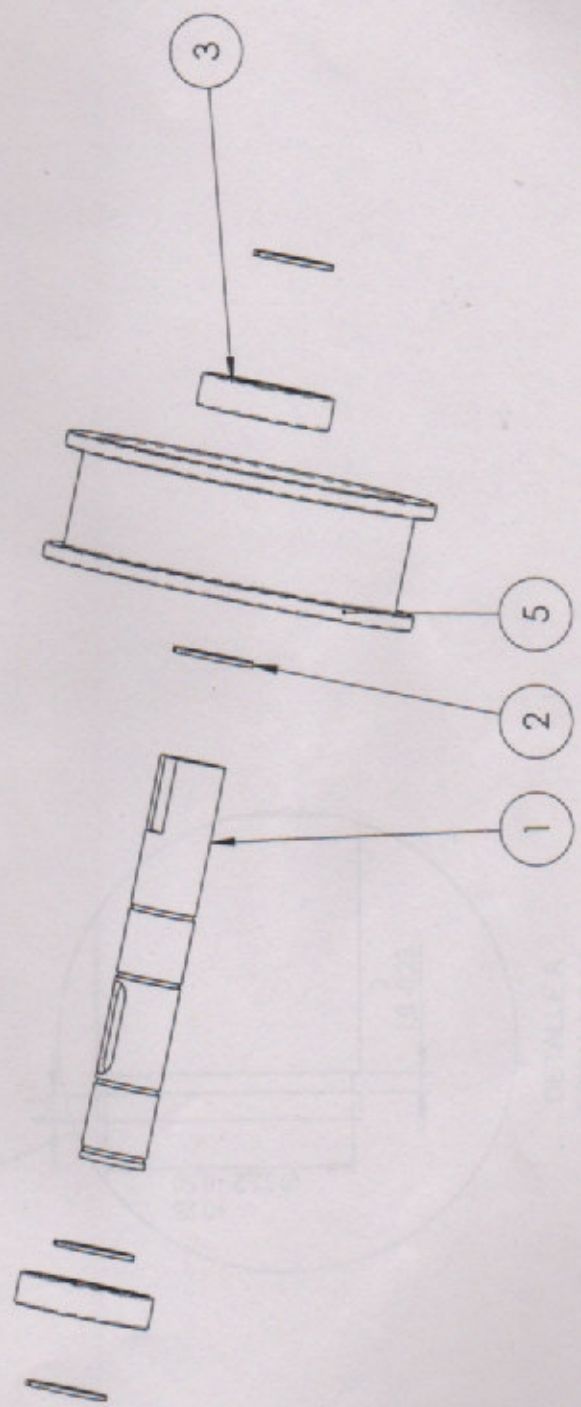
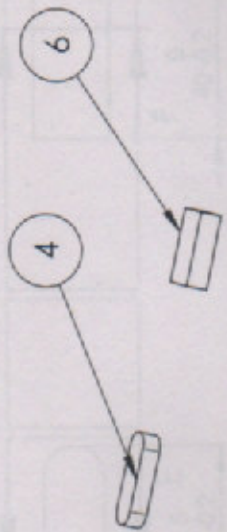
ESCALA ISOMÉTRICA
ESCALA 1:10



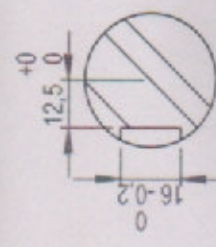
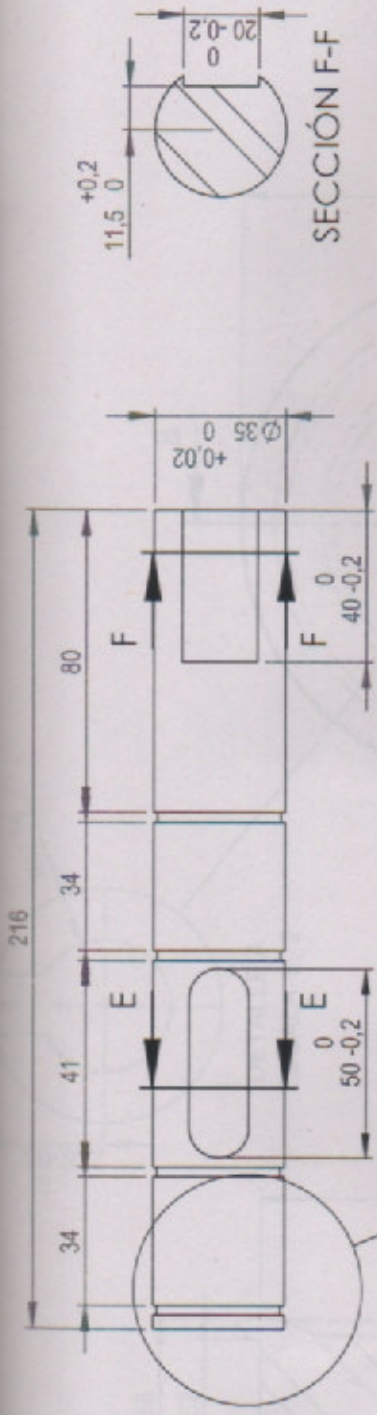
FECHA 8/3/2018
DIBUJO AGUIRRE ALEJANDRO
CONTROL MEDEI URIEL
APROBÓ

CUBRE RUEDA
TRANSMISIÓN CARRO
MATERIAL SAE 1010
CÓDIGO AP105-028
TIPO DE PLANO: PIEZA
ESCALA: 1:5

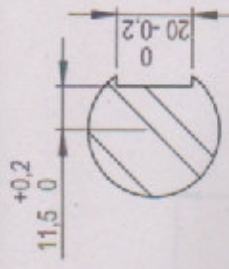
| | | | |
|---|-----------|-----------------------------|---|
| 3 | MT105-018 | RODAMIENTO SKF 6207-2RS1 | 2 |
| 4 | MT105-005 | CHAVETA DIN 6885 A 16X10X50 | 1 |
| 5 | MT105-007 | RUEDA CARRO | 1 |
| 6 | MT105-022 | CHAVETA DIN 6880 20X12X40 | 1 |



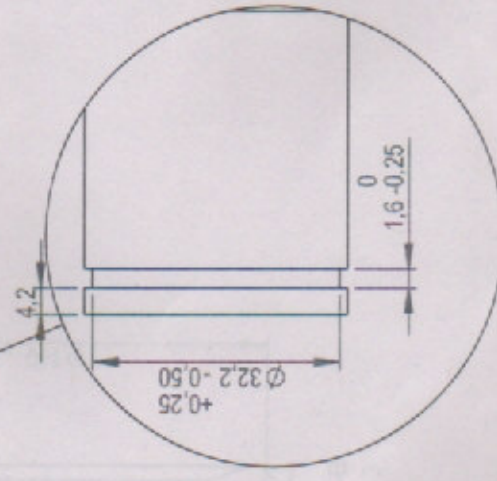
| | | | | | |
|--|---------|-------------------|-------------------------------|----------------|----------|
| UTN UNIVERSIDAD TECNOLÓGICA NACIONAL | FECHA | 9/4/2018 | ENSAMBLE EJE TRASMISIÓN CARRO | ESCALA: | 1:4 |
| | DIBUJO | AGUIRRE ALEJANDRO | MATERIAL | TIPO DE PLANO: | DESPIECE |
| | CONTROL | MEDEIURIEL | CÓDIGO | MT105-013 | |
| | APROBÓ | | | | |



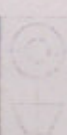
SECCIÓN E-E

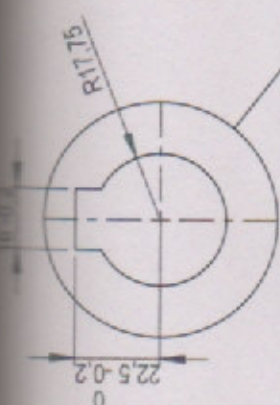
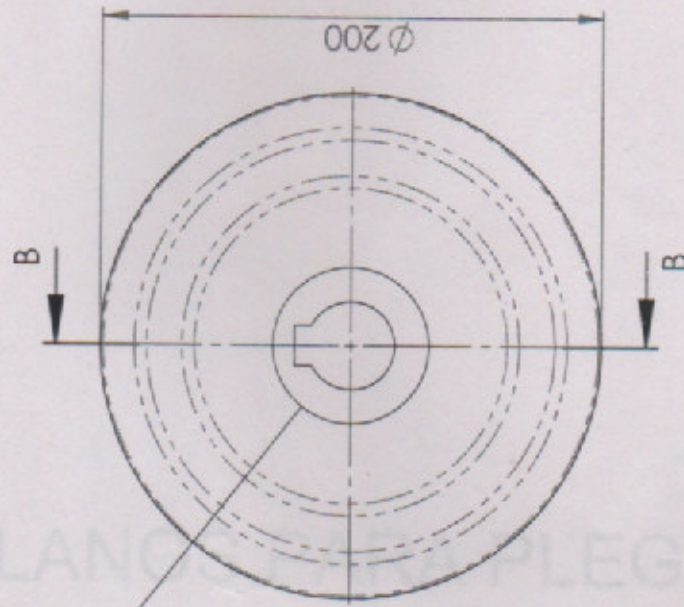


SECCIÓN F-F

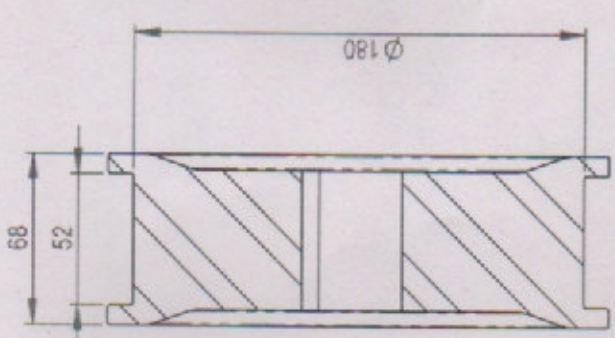


DETALLE A
ESCALA 1:1

| | | | | |
|--|--------------------------|----------------------|-------------------------|--|
|  UTN UNIVERSIDAD TECNOLÓGICA NACIONAL | | FECHA 9/4/2018 | EJE TRANSMISIÓN CARRO |  |
| DIBUJO AGUIRRE ALEJANDRO | CONTROLADO MEDEIURIEL | MATERIAL SAE 4140 | TIPO DE PLANO: PIEZA | ESCALA: 1:2 |
| APROBÓ | CÓDIGO MT105-002 | | | |



DETALLE A
ESCALA 1 : 2

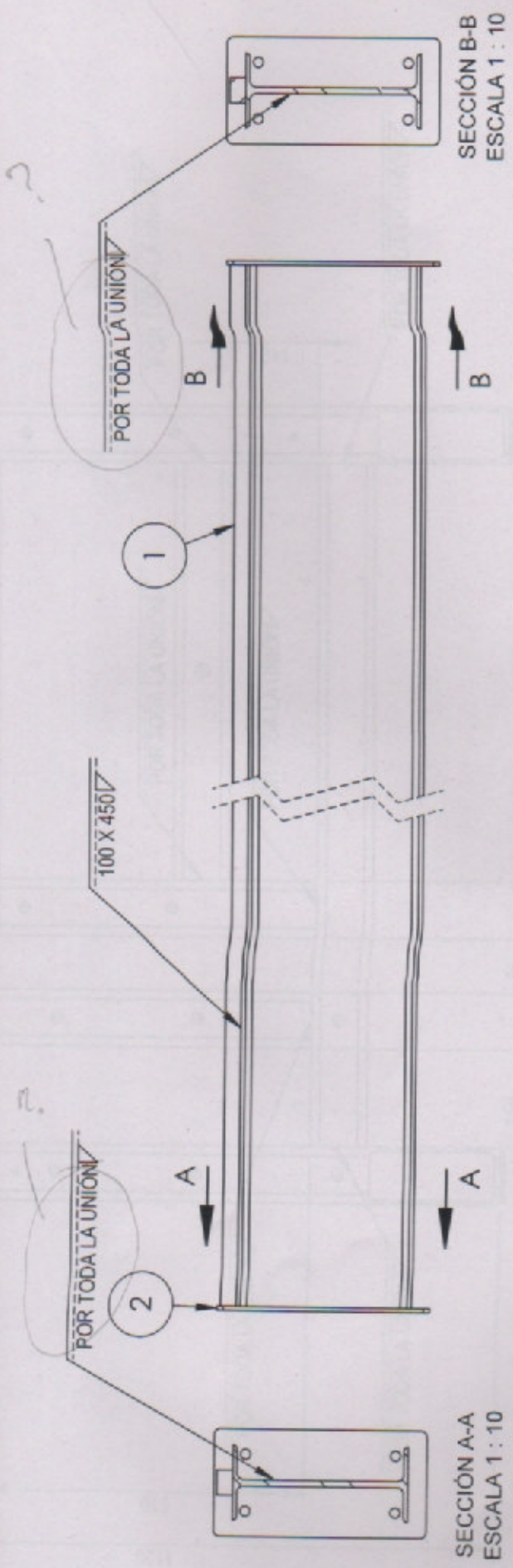


SECCIÓN B-B
ESCALA 1 : 3

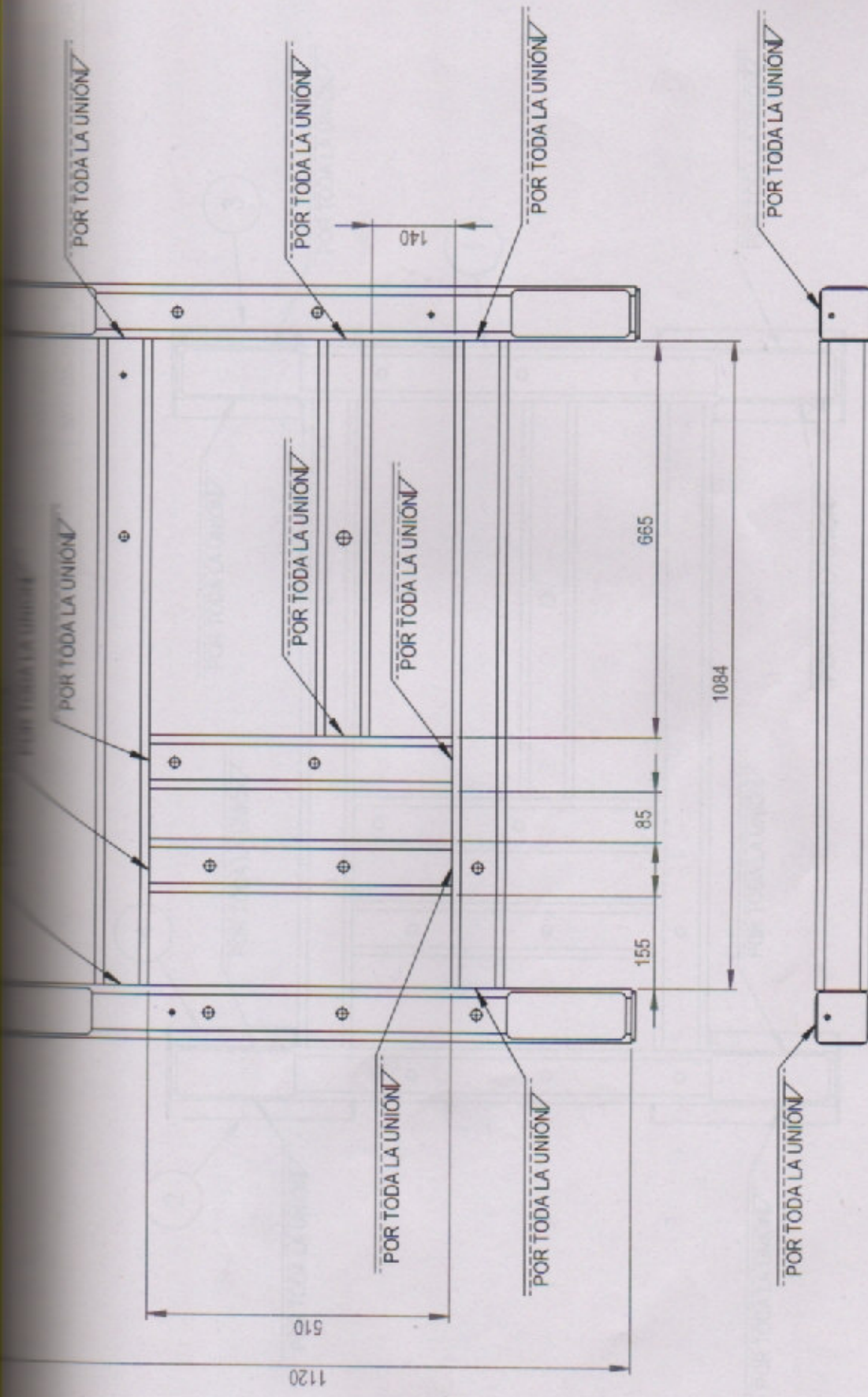
PLANO DE DISEÑO PLEGADO Y SOLDADURA

| | | | | | |
|--|-------------------|----------|-----------|----------------|---------|
| UTN UNIVERSIDAD TECNOLÓGICA NACIONAL | | FECHA | 9/4/2018 | RUEDA CARRO | |
| DIBUJO | AGUIRRE ALEJANDRO | MATERIAL | SAE 1045 | TIPO DE PLANO: | ESCALA: |
| CONTROL | MEDEI URIEL | CÓDIGO | MT105-007 | PIEZA | 1.3 |
| APROBÓ | | | | | |

PLANOS PARA PLEGADO Y SOLDADURA

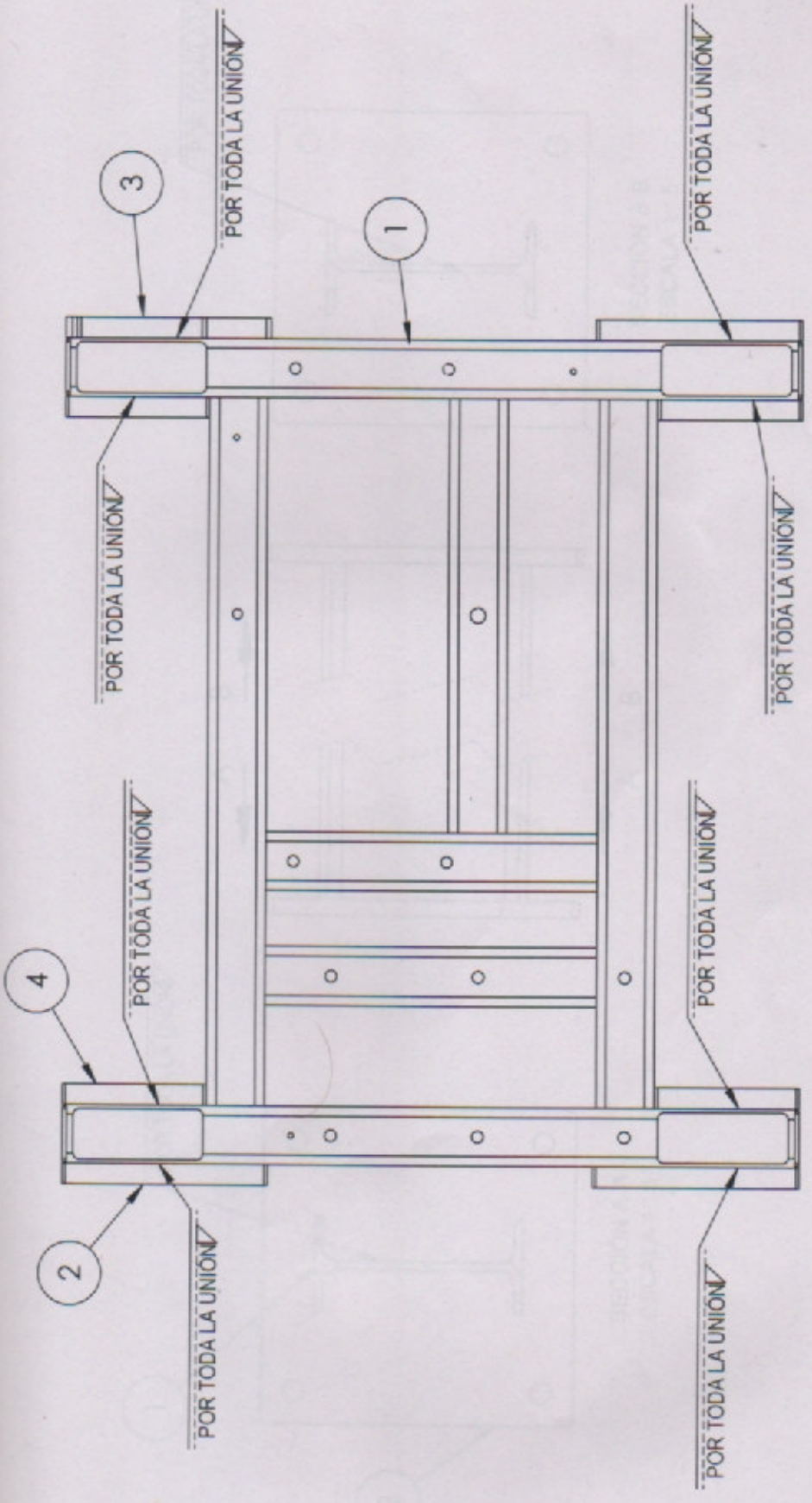


| | | | | | |
|--|-------------|----------|-------------------|--------------------|---------|
|  UNIVERSIDAD TECNOLÓGICA NACIONAL | | FECHA | 10/3/2018 | SOLDADURA VIGA | |
| | | DIBUJO | AGUIRRE ALEJANDRO | PRINCIPAL COMPLETA | |
| CONTROLADO | MEDEI URIEL | MATERIAL | SAE 1010 | TIPO DE PLANO: | ESCALA: |
| APROBÓ | | CÓDIGO | MT105-019 | SOLDADURA | 1:10 |

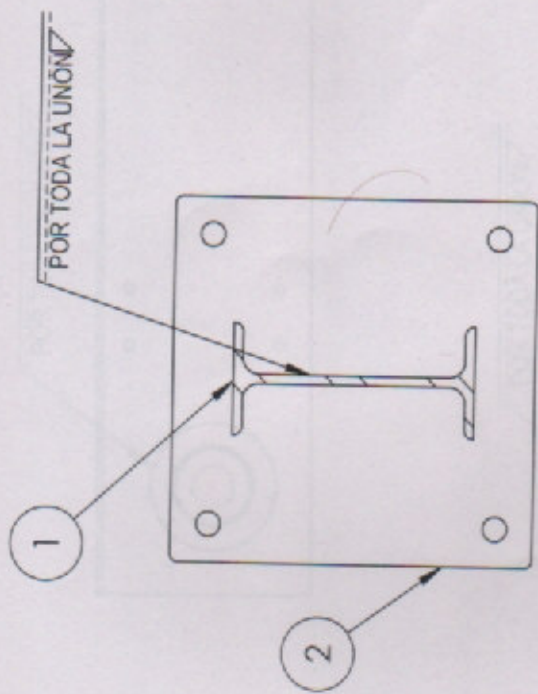


| | | | | | | | |
|--|--|---------|-------------------|-----------------|-----------|----------------|-----------|
|  UTN UNIVERSIDAD TECNOLÓGICA NACIONAL | | FECHA | 9/3/2018 | SOLDADURA CARRO | | | |
| | | DIBUJO | AGUIRRE ALEJANDRO | MATERIAL | SAE 1010 | TIPO DE PLANO: | ESCALA: |
| | | CONTROL | MEDEI LURIEL | CÓDIGO | MT105-001 | TIPO DE PLANO: | SOLDADURA |
| | | APROBÓ | - | | | | 1-10 |

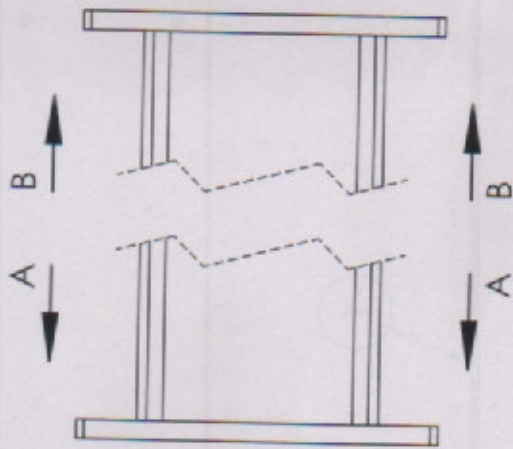
| | | | |
|---|------------|-------------------------------------|---|
| 3 | MT 105-004 | REFUERZO RUEDA EXTERIOR TRANSMISION | 1 |
| 4 | MT 105-003 | REFUERZO RUEDA INTERIOR | 4 |



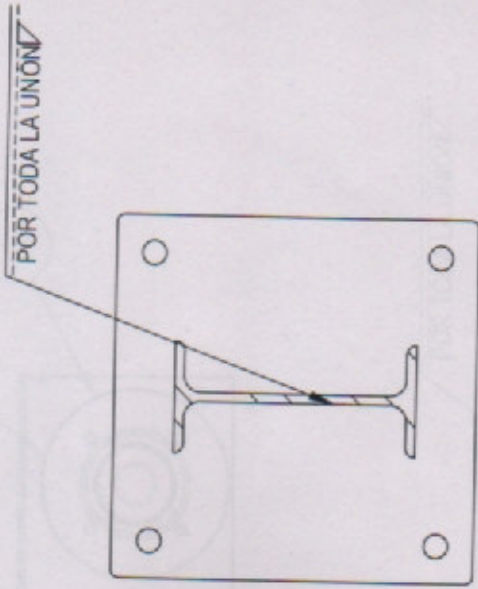
| | | | | | | |
|--|-------------|--------|-------------------|-----------------|------|--|
|  UTN UNIVERSIDAD TECNOLÓGICA NACIONAL | | FECHA | 9/3/2018 | REFUERZOS CARRO | |  |
| | | DIBUJO | AGUIRRE ALEJANDRO | MATERIAL | - | |
| CONTROLADO | MEDEI URIEL | CÓDIGO | MT105-020 | SOLDADURA | 1:10 | |
| APROBÓ | - | | | | | |



SECCIÓN A-A
ESCALA 1 : 5



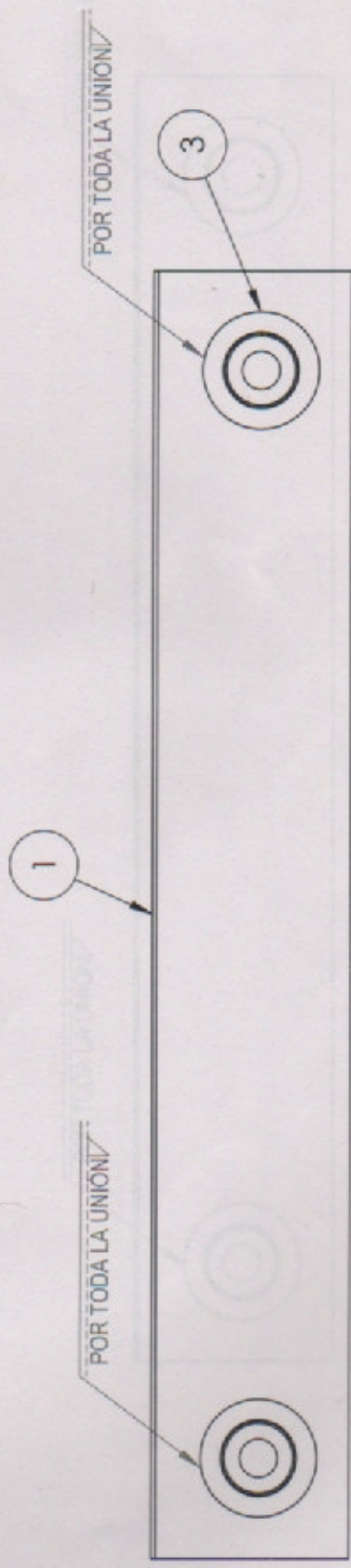
SECCIÓN B-B
ESCALA 1 : 5

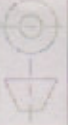


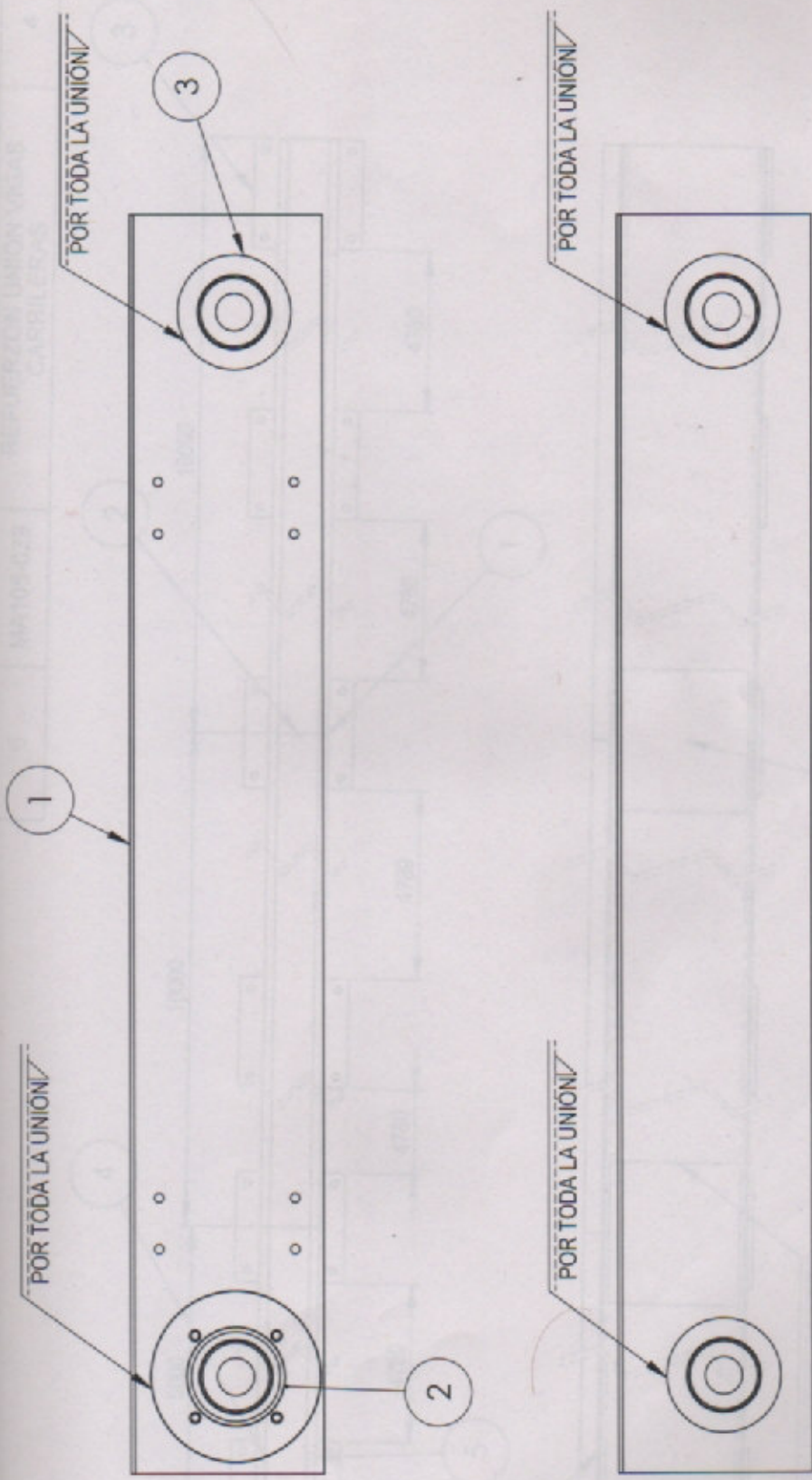
FECHA 10/3/2016
DIBUJO AGUIRRE ALEJANDRO
CONTROL MEDEIURIEL
APROBÓ

PLANO SOLDADURA
COLUMNA

MATERIAL SAE 1010
CÓDIGO MA105-007
TIPO DE PLANO: SOLDADURA
ESCALA: 1:5

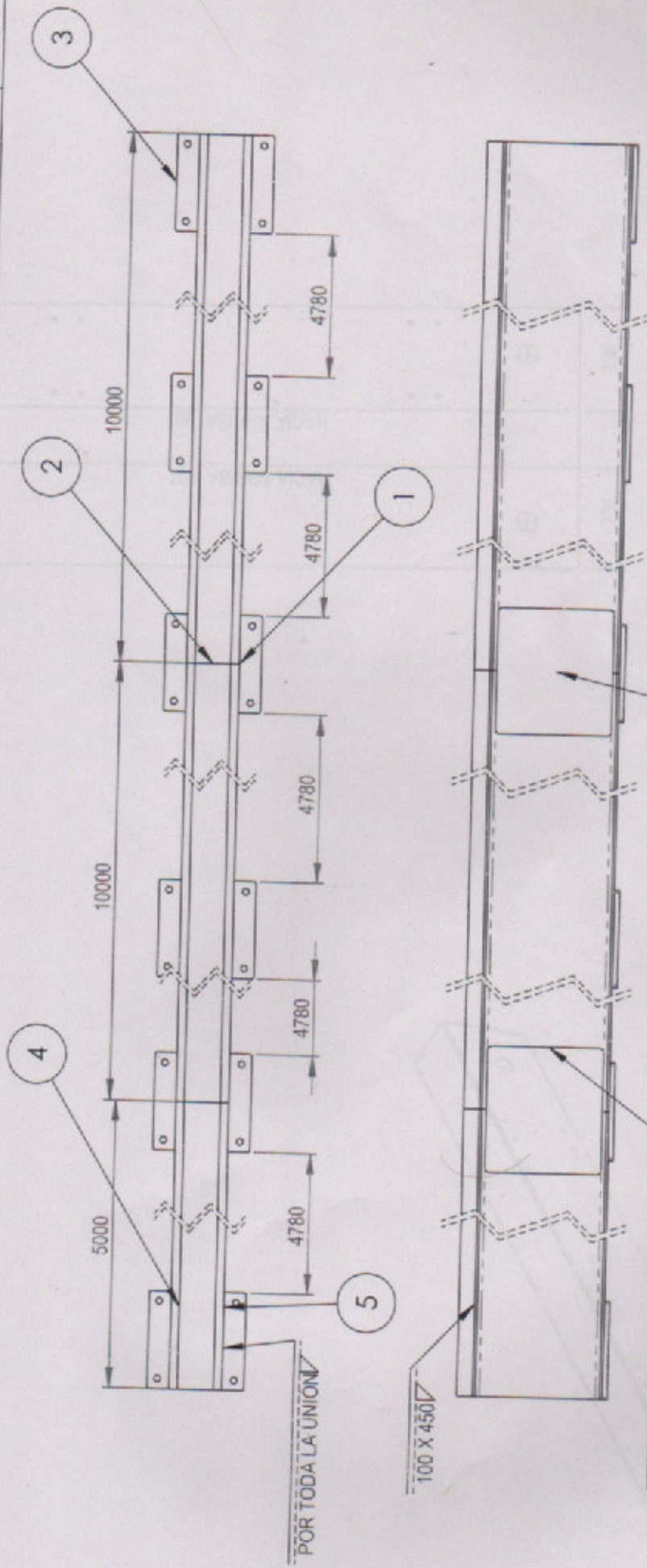


| | | | | | |
|---|------------|-------------------|---------------------|---------------------|---|
|  UTN UNIVERSIDAD TECNOLÓGICA NACIONAL | FECHA | 19/4/2018 | SOLDADURDA TESTERAS | |  ESCALA: 1:12 |
| | DIBUJO | AGUIRRE ALEJANDRO | MATERIAL | IZQUIERDA-REFUERZOS | |
| CONTROL | MEDEIURIEL | CÓDIGO | MA 105-023 | TIPO DE PLANO: | SOLDADURA |
| APROBÓ | - | | | | |



| | | | | | | |
|------------|-------------|----------|-------------------|--------------------|-------------------|------|
| | | FECHA | 19/4/2018 | CONJUNTO | SOLDADURA TESTERA | |
| | | DIBUJO | AGUIRRE ALEJANDRO | DERECHA- REFUERZOS | TIPO DE PLANO: | |
| CONTROLADO | MEDEI URIEL | MATERIAL | - | CÓDIGO | MA105-018 | 1:12 |
| APROBÓ | - | CÓDIGO | MA105-018 | TIPO DE PLANO: | SOLDADURA | |

| | | | |
|---|-----------|----------------------------------|---|
| 3 | MA105-000 | APoyo COLUMNA | 6 |
| 4 | MA105-025 | PERFIL RIEL RUEDA TESTERA 5 M | 1 |
| 5 | MA105-026 | VIGA CARRILERA TESTERA 5 M | 1 |
| 6 | MA105-029 | REFUERZON UNIÓN VIGAS CARRILERAS | 4 |



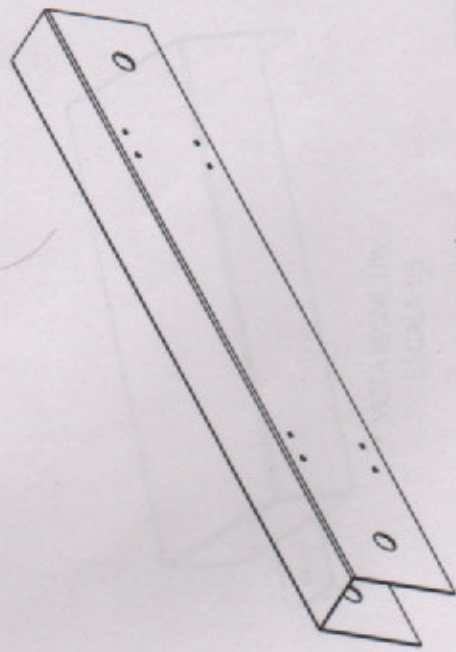
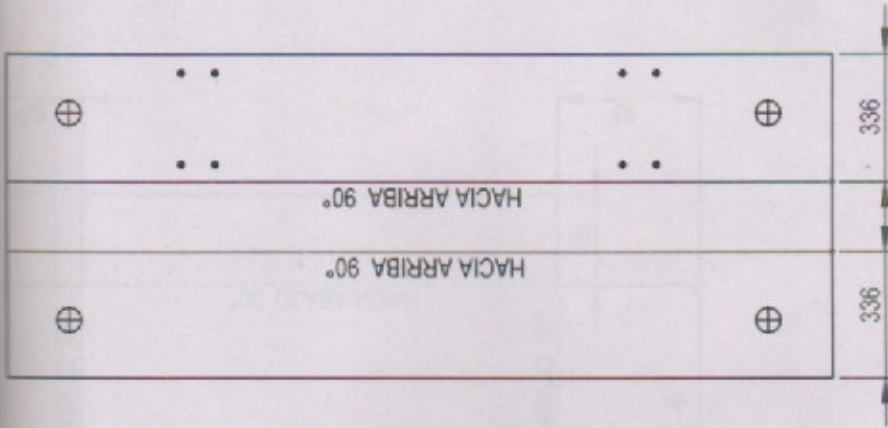
UTN
UNIVERSIDAD TECNOLÓGICA NACIONAL

FECHA: 9/4/2018
DIBUJO: AGUIRRE ALEJANDRO
CONTROL: MEDEI URIEL
APROBÓ:

CONJUNTO VIGAS SECUNDARIAS + RIEL + APOYOS

MATERIAL: SAE 1010
CÓDIGO: MA105-027

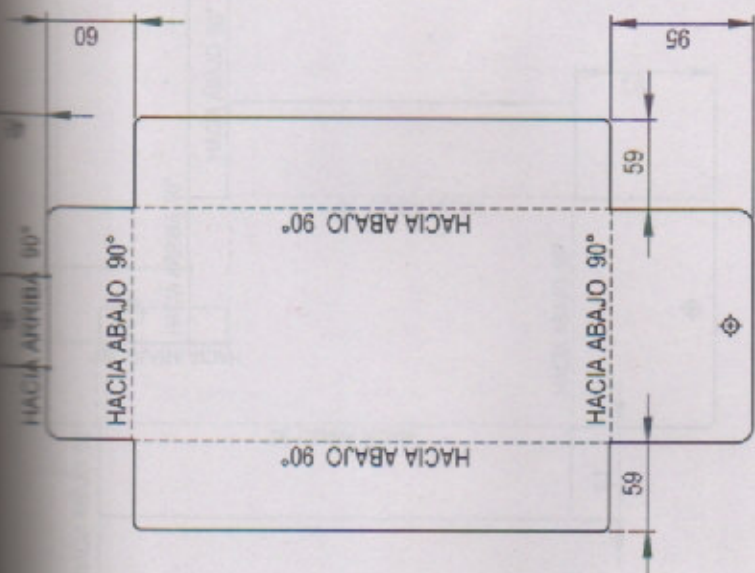
TIPO DE PLANO: SOLDADURA
ESCALA: 1:15



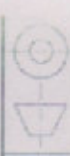
VISTA ISOMÉTRICA
ESCALA 1:20

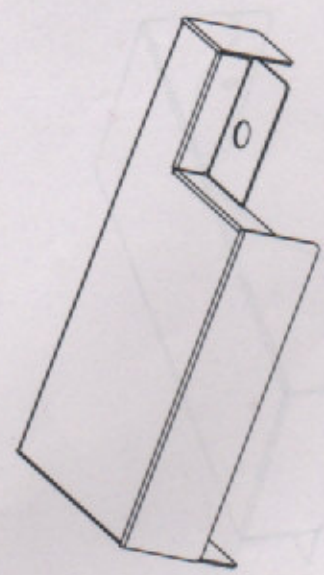
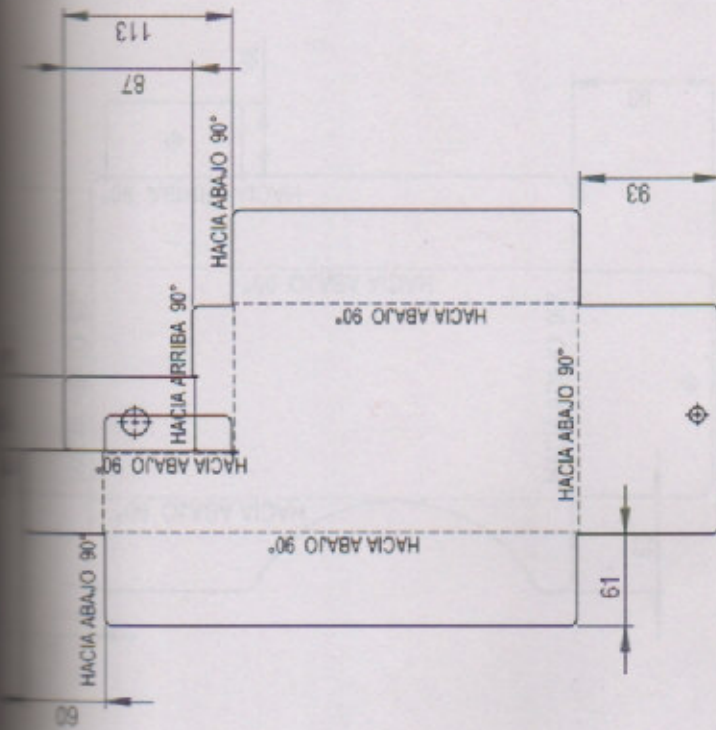
| | | | | | | | |
|--|--|--------------------|-----------------------------|--------------------------|----------------------|---------------------------|-----------------|
|  UTN UNIVERSIDAD TECNOLÓGICA NACIONAL | | FECHA 10/3/2018 | DIBUJO AGUIRRE ALEJANDRO | CONTROLADO MEDEIURIEL | MATERIAL SAE 1010 | TIPO DE PLANO: PLEGADO | ESCALA: 1:20 |
| | | | | | CÓDIGO MA105-001 | | |

TESTERA

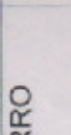


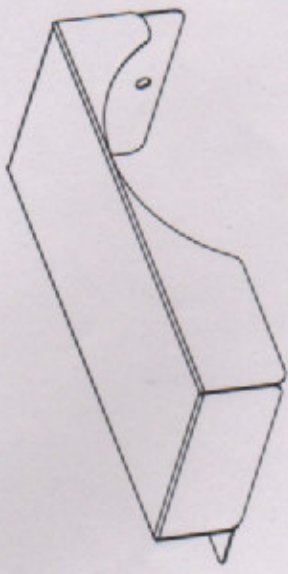
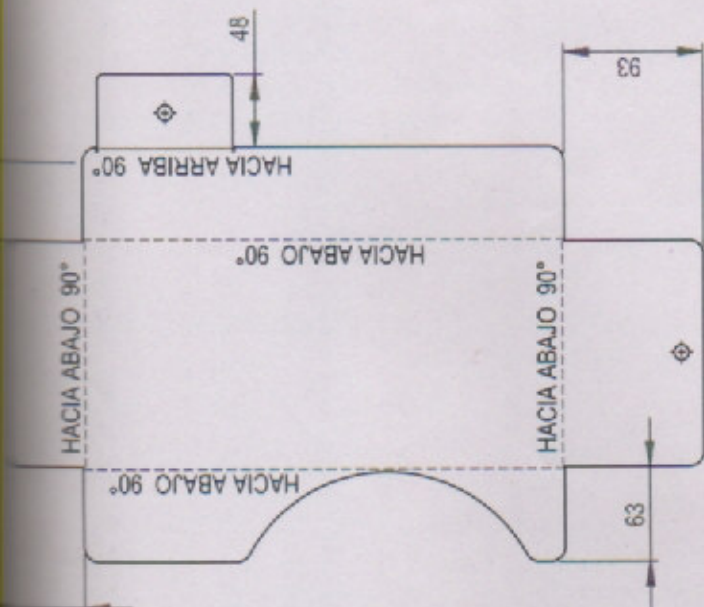
VISTA ISOMETRICA
ESCALA 1:5

| | | | | | | |
|---|-------------|--------|-------------------|------------------------|----------|---|
|  UNIVERSIDAD TECNOLÓGICA NACIONAL | | FECHA | 10/3/2018 | CUBRE RUEDA CARRO GUÍA | |  ESCALA: 1:5 |
| | | DIBUJO | AGUIRRE ALEJANDRO | MATERIAL | SAE 1010 | |
| CONTROLADO | MEDEI URIEL | CÓDIGO | AP-105-026 | | | |
| APROBÓ | - | | | | | |



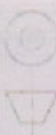
VISTA ISOMETRICA
ESCALA 1:5

| | | | | | | |
|--|-------------|----------|-------------------|-------------------|---------|---|
|  UTN UNIVERSIDAD TECNOLÓGICA NACIONAL | | FECHA | 10/3/2018 | CUBRE RUEDA CARRO | |   ESCALA: 1:5 |
| | | DIBUJO | AGUIRRE ALEJANDRO | REDUCTOR | | |
| CONTROLLO | MEDEI URIEL | MATERIAL | SAE 1010 | TIPO DE PLANO: | PLEGADO | |
| APROBÓ | - | CÓDIGO | AP105-027 | | | |



VISTA ISOMÉTRICA
ESCALA 1:5

ANEXOS, CATÁLOGOS
Y NORMAS

| | | | | | |
|---|--------------------------|--------------------|----------------------------------|---------------------------|---|
|  UNIVERSIDAD TECNOLÓGICA NACIONAL | | FECHA 10/3/2018 | CUBRE RUEDA CARRO TRANSMISIÓN | |  ESCALA: 1:5 |
| DIBUJO AGUIRRE ALEJANDRO | CONTROLLO MEDEI URIEL | APROBÓ - | MATERIAL SAE 1010 | TIPO DE PLANO: PLEGADO | |
| | | | CÓDIGO AP105-028 | | |

Calculo y dimensionamiento de cables para máquinas de elevación

En la norma DIN 4130 se encuentra reglas para el dimensionamiento, basadas en ensayos y experiencias prácticas.

Deben de tener en cuenta las condiciones de explotación de la máquina. Se distinguen cinco grupos, según la frecuencia de los movimientos (movimiento de precisión, movimiento poco frecuente, movimiento frecuente) y la importancia de la carga (rara vez plena carga, plena carga, plena carga en la industria siderúrgica).

La tabla da la clasificación de los diferentes tipos de máquinas según la tabla 5.6.1-3. el diámetro del cable se calcula por la fórmula:

$$d = k * \sqrt{F_{\max}} \quad (\text{mm})$$

que garantiza una duración suficiente. Para el diámetro de tambores y de poleas se utiliza la fórmula:

$$D = c * \sqrt{F_{\max}} \quad (\text{mm}) \quad [5.6.1-5]$$

Donde:

F_{\max} → Tracción máxima, sobre un ramal del cable, en Kg.;

d → Diámetro del cable en mm.;

D → Diámetro primitivo del tambor o de la polea en mm.;

k y c → Coeficiente según la tabla 5.6.1-5.

Clasificación en grupos de los cables para las máquinas de elevación (extraída de la DIN 4130)

| Grupo | Frecuencia de los movimientos | Importancia de la carga |
|-------|-------------------------------|--|
| I | Movimiento de precisión | Sin precisar |
| II | Movimiento poco frecuente | Raramente a plena carga |
| III | Movimiento frecuente | Raramente a plena carga |
| | Movimiento poco frecuente | Plena carga |
| IV | Movimiento frecuente | Plena carga |
| V | Movimiento frecuente | Todas las cargas en la industria siderúrgica |

Clasificación en grupos de los cables para máquinas de elevación (Extraída de la DIN 4130)

Los coeficientes k y c de la tabla 5.6.1-5 son valederos para las calidades de 160 y 180[Kg/mm²]. Los coeficientes de seguridad v están, por el contrario, solamente calculados para 160[Kg/mm²], y deben ser mayorados en 1/8" para un cable de alambre de 180[Kg/mm²]. Si se elige un cable de diámetro superior al diámetro calculado en 1,25 veces, no es necesario aumentar por ello los diámetros de las poleas y tambores más allá de los valores calculados por medio de los coeficientes "c".

Tabla 5.6.1-4.- Clasificación de las máquinas según los grupos de la tabla 5.6.1-3 (extraído de la DIN 4130)

| | Tipo de aparato | Movimiento | Grupo | Observaciones |
|----|---|-----------------------|----------|---|
| 1 | Polipasto y cabrestantes manuales | Cabrestante | II | |
| 2 | Puente grúa de central | Cabrestante | II | |
| 3 | puente grúa para locomotoras | Cabrestante | II o III | III si trabaja normalmente a plena carga |
| 4 | Puente grúa de taller y de parque de pequeña potencia | Cabrestante | II o III | ver 3 |
| 5 | Puente grúa de taller y de parque de gran potencia | Cabrestante auxiliar | II o III | |
| | | Cabrestante principal | II | |
| 6 | Puente grúa de montaje | Cabrestante | II | |
| 7 | Puentes grúa de fundición | Cabrestante | II o III | Ver 3, grupo IV o V para las grúas decolada |
| 8 | Grúas de suspensión para máquinas de remachar | Cabrestante | II o III | |
| 9 | Grúas de astillero | Cabrestante | II o III | Ver 3 |
| 10 | Grúas gigantes (también flotantes) | Variación de alcance | I | Grupo III o IV en el caso de riesgos elevados |
| | | Cabrestante | I o II | |
| 11 | Grúas giratorias | Variación de alcance | I | |
| | a) Trabajo con gancho | Cabrestante | II o III | Ver 3 |
| | b) Con cuchara prensora | Cabrestante | III o IV | IV si trabaja normalmente con cuchara. Las poleas de la cuchara tendrán el mismo diámetro que las otras |
| 12 | Grúas de canteras | Cabrestante | III | |
| 13 | Pórticos de descarga | Traslación del carro | I | |
| | a) Trabajo con gancho | Cabrestante | II o III | |
| | b) Trabajo con cuchara | Cabrestante | IV | |
| 14 | Volcadores de vagones | Variación de alcance | I | |
| 15 | Grúas de obra de edificación | Variación de alcance | I | |
| | | Cabrestante | II | |

Tabla 5.6.1-5.- Factores de seguridad v y coeficientes k y c (extraído de la DIN 4130)

| Grupo | Cable | | Tambor | Polea | Polea de compensación |
|-------|--------------------------------|----------------------------------|--------|---------|-----------------------|
| | Valores de v para 160 Kg. / mm | k | c | c | c |
| | | Para cables de 160 y 180 Kg. /mm | | | |
| I | 5,5 a 6 | 0,30 a 0,32 | 5 a 6 | 5,5 a 7 | 4,5 a 5 |
| II | 5,5 a 6 | 0,30 a 0,32 | 6 a 7 | 7 a 8 | 4,5 a 5 |
| III | 6 a 7 | 0,32 a 0,34 | 7 a 8 | 8 a 10 | 5 a 6 |
| IV | 7 a 8 | 0,34 a 0,37 | 8 a 9 | 9 a 12 | 6 a 7,5 |
| V | 8 a 9,5 | 0,37 a 0,4 | 8 a 9 | 9 a 12 | 6 a 7,5 |

Fuente de origen: Hellmut Ernst "Aparatos de Elevación y Transporte"

Se debe elegir el valor superior del coeficiente c, si el mismo elemento de cable pasa por un número elevado de poleas, o si es plegado en sentido inverso. Hay siempre libertad de elegir diámetros mayores que los tambores y las poleas.



TABLAS DE BROCAS RECOMENDADAS PARA MACHUELAR

| FRACCION | PORTADA | | | | | MEDIDAS DE TORNILLOS | | | PARA TUBO | | |
|----------|-----------------|-------|----------|------|-------|----------------------|-----------------|-------|-----------|-----------------|---------|
| | HILOS X PULGADA | BROCA | MACHUELO | PASO | BROCA | MACHUELO | HILOS X PULGADA | BROCA | MACHUELO | HILOS X PULGADA | BROCA |
| 64NS | 3/64 | | 1.00 | 0.25 | 0.75 | 0 | 80NF | 3/64 | 1/16 | 27 | 0 |
| 48NS | 49 | | 1.20 | 0.25 | 0.95 | 1 | 64NC | 53 | 1/8 | 27 | 11/32 |
| 40NS | 38 | | 1.40 | 0.30 | 1.10 | 1 | 72NF | 53 | 1/4 | 18 | 7/16 |
| 32NS | 1/8 | | 1.50 | 0.35 | 1.10 | 2 | 56NC | 50 | 3/8 | 18 | 37/64 |
| 36 NS | 30 | | 1.70 | 0.35 | 1.35 | 2 | 64NF | 49 | 1/2 | 14 | 23/32 |
| 24NS | 26 | | 2.00 | 0.40 | 1.60 | 3 | 48NC | 46 | 3/4 | 14 | 59/64 |
| 32NS | 22 | | 2.30 | 0.40 | 1.90 | 3 | 56NF | 45 | | 11.5 | 1 5/32 |
| 24NS | 16 | | 2.50 | 0.45 | 2.00 | 4 | 36NS | 44 | 1 1/4 | 11.5 | 1 1/2 |
| 32NS | 12 | | 2.60 | 0.45 | 2.10 | 4 | 40NC | 43 | 1 1/2 | 11.5 | 1 47/64 |
| 20NC | 7 | | 3.00 | 0.50 | 2.50 | 4 | 48NF | 42 | 2 | 11.5 | 2 7/32 |
| 28NF | 3 | | 3.50 | 0.60 | 2.90 | 5 | 40NC | 38 | 2 1/2 | 8 | 2 5/8 |
| 18NF | F | | 4.00 | 0.70 | 3.30 | 5 | 44NF | 37 | 3 | 8 | 3 1/4 |
| 24NF | I | | 4.50 | 0.75 | 3.75 | 6 | 32NC | 36 | 3 1/2 | 8 | 3 3/4 |
| 16NC | 5/16 | | 5.00 | 0.80 | 4.20 | 6 | 40NF | 33 | 4 | 8 | 4 1/4 |
| 24NF | Q | | 5.50 | 0.90 | 4.60 | 8 | 32NC | 29 | | | |
| 14NC | U | | 6.00 | 1.00 | 5.00 | 8 | 36NF | 29 | | | |
| 20NF | 25/64 | | 7.00 | 1.00 | 6.00 | 10 | 24NC | 25 | | | |
| 13NC | 27/64 | | 8.00 | 1.25 | 6.80 | 10 | 32NF | 21 | | | |
| 20NF | 29/64 | | 9.00 | 1.25 | 7.80 | 12 | 24NC | 16 | | | |
| 12NC | 31/64 | | 10.00 | 1.50 | 8.60 | 12 | 28NF | 14 | | | |
| 18NF | 33/64 | | 11.00 | 1.50 | 9.60 | 14 | 20NS | 10 | | | |
| 11NC | 17/32 | | 12.00 | 1.75 | 10.50 | 14 | 24NS | 7 | | | |
| 18NF | 37/64 | | 13.00 | 1.75 | 11.50 | | | | | | |
| 11NS | 19/32 | | 14.00 | 2.00 | 12.00 | | | | | | |
| 16NS | 5/8 | | 15.00 | 2.00 | 13.00 | | | | | | |
| 10NC | 21/32 | | 16.00 | 2.00 | 14.00 | | | | | | |
| 16NF | 11/16 | | 17.00 | 2.00 | 15.00 | | | | | | |
| 10NS | 23/32 | | 18.00 | 2.00 | 16.00 | | | | | | |
| 9NC | 49/64 | | 19.00 | 2.50 | 16.50 | | | | | | |
| 14NF | 13/16 | | 20.00 | 2.50 | 17.50 | | | | | | |
| 18NS | 53/64 | | 22.00 | 2.50 | 19.50 | | | | | | |
| 9NS | 53/64 | | 24.00 | 3.00 | 21.00 | | | | | | |
| 8NC | 7/8 | | | | | | | | | | |
| 14NF | 15/16 | | | | | | | | | | |
| 7NC | 63/64 | | | | | | | | | | |
| 12NF | 1 3/64 | | | | | | | | | | |
| 7NC | 1 7/64 | | | | | | | | | | |
| 12 NF | 1 11/64 | | | | | | | | | | |
| 6NC | 1 13/63 | | | | | | | | | | |
| 12NC | 1 19/64 | | | | | | | | | | |
| 6NC | 1 11/32 | | | | | | | | | | |
| 12 NF | 1 27/64 | | | | | | | | | | |
| 5 1/2 NS | 1 29/64 | | | | | | | | | | |
| 4 NC | 1 9/16 | | | | | | | | | | |
| 5 NS | 1 11/16 | | | | | | | | | | |
| 4 1/2 NC | 1 25/32 | | | | | | | | | | |

FORMULA PARA OBTENER DIAMETROS DEL BARRENO NECESARIO PARA MACHUELAR

$$\text{BARRENO} = \text{DIAM. MAYOR DE ROSCA} - \frac{0.01299 \times \text{PORC. DE ROSCA}}{\text{NO. DE HILO/PULGADA}}$$

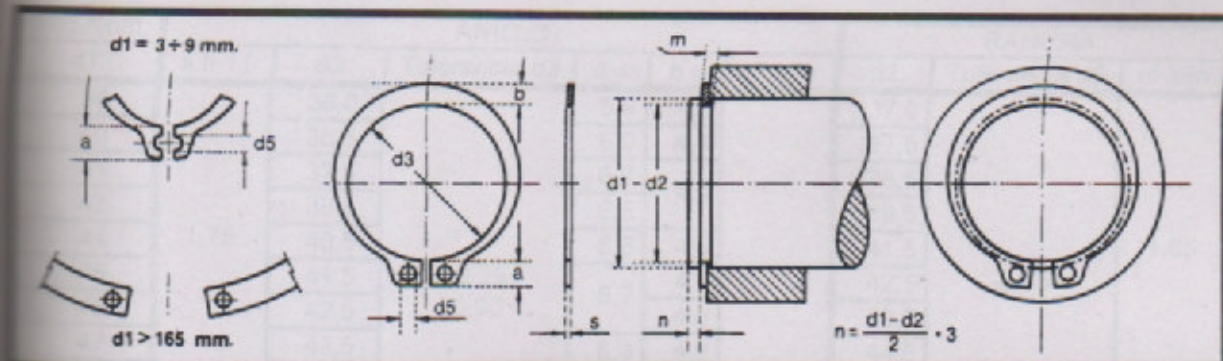
$$\text{BARRENO} = \text{DIAM. MAYOR DE CDA.} - (0.6495 \times \text{PASO} \times \text{PORC. DE ROSCA} \times 2)$$

PARA PORCENTAJE DE ROSCA DE 70% AL 75% APROXIMADAMENTE, SE PUEDE UTILIZAR LA SIGUIENTE FORMULA

$$\text{BARRENO} = \text{DIAM. MAYOR DE ROSCA} - \text{PASO}$$

FORMULA PARA OBTENER EL PORCENTAJE DE ROSCA ABIERTO EN UN BARRENO DE DIAMETRO DETERMINADO

$$\text{HILOS} = (\text{DIAM. MAYOR DE ROSCA} - \text{DIAM. DE BROCA SELECCIONADO})$$

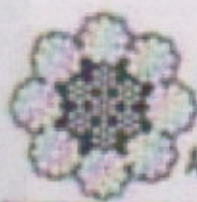


| Med. Nom. | ANILLO | | | | | | RANURA | | | | | |
|-----------|--------|--------|----------------|---------------|-----|------|---------|-------|---------------|--------|-----|------|
| | d1 | s h 11 | d3 | Tolerancia d3 | a ≈ | b ≈ | d5 Min. | d2 | Tolerancia d2 | m Min. | | |
| 3 | 0,4 | 2,7 | +0,04 -0,15 | 1,9 | 0,8 | 1,0 | 2,8 | -0,04 | 0,50 | | | |
| 4 | | 3,7 | | 2,2 | 0,9 | | 3,8 | | | | | |
| 5 | | 4,7 | | 2,5 | 1,1 | | 4,8 | | | | | |
| 6 | 0,7 | 5,6 | +0,06 -0,18 | 2,7 | 1,3 | 1,2 | 5,7 | -0,06 | 0,80 | | | |
| 7 | 0,8 | 6,5 | | 3,1 | 1,4 | | 6,7 | | 0,90 | | | |
| 8 | | 7,4 | | 3,2 | 1,5 | | 7,6 | | | | | |
| 9 | 1,0 | 8,4 | +0,10 -0,36 | 3,3 | 1,7 | 1,5 | 8,6 | -0,11 | 1,10 | | | |
| 10 | | 9,3 | | | 2,0 | | 1,7 | | | 9,6 | | |
| 11 | | 10,2 | | | | | | | | 2,2 | 1,7 | 10,5 |
| 12 | | 11,0 | | | | | | | | | | 2,3 |
| 13 | | 11,9 | | 2,4 | | 1,7 | | | | | | |
| 14 | | 12,9 | | | 2,5 | | 1,7 | | | | | |
| 15 | | 13,8 | | | | | | | | 2,6 | 1,7 | |
| 16 | | 14,7 | | | | | | | | | | 2,7 |
| 17 | 15,7 | 2,8 | 1,7 | 16,2 | | | | | | | | |
| 18 | 16,5 | | | 2,9 | 1,7 | 17,0 | | | | | | |
| 19 | 17,5 | | | | | 3,0 | 1,7 | 18,0 | | | | |
| 20 | 18,5 | | | | | | | 3,1 | 1,7 | 19,0 | | |
| 21 | 19,5 | 3,2 | 1,7 | | | | | | | 20,0 | | |
| 22 | 20,5 | | | 3,3 | 1,7 | | | | | 21,0 | | |
| 23 | 21,5 | | | | | 3,4 | 1,7 | | | 22,0 | | |
| 24 | 22,2 | | | | | | | 3,5 | 1,7 | 22,9 | | |
| 25 | 23,2 | 3,6 | 1,7 | | | | | | | 23,9 | | |
| 26 | 24,2 | | | 3,7 | 1,7 | | | | | 24,9 | | |
| 27 | 24,9 | | | | | 3,8 | 1,7 | | | 25,6 | | |
| 28 | 25,9 | | | | | | | 3,9 | 1,7 | 26,6 | | |
| 29 | 26,9 | 4,0 | 1,7 | | | | | | | 27,6 | | |
| 30 | 27,9 | | | 4,1 | 1,7 | | | | | 28,6 | | |
| 31 | 28,6 | | | | | 4,2 | 1,7 | | | 29,3 | | |
| 32 | 29,6 | | | | | | | 4,3 | 1,7 | 30,3 | | |
| 33 | 30,5 | 4,4 | 1,7 | | | | | | | 31,3 | | |
| 34 | 31,5 | | | 4,5 | 1,7 | | | | | 32,3 | | |
| 35 | 32,2 | | | | | 4,6 | 1,7 | | | 33,0 | | |
| 36 | 33,2 | | | | | | | 4,7 | 1,7 | 34,0 | | |
| 37 | 34,2 | 4,8 | 1,7 | | | | | | | 35,0 | | |
| 38 | 35,2 | | | 4,9 | 1,7 | | | | | 36,0 | | |

| Med. Nom. | ANILLO | | | | | | RANURA | | |
|-----------|--------|--------|----------------|---------------|----------------|------|---------|-------|---------------|
| | d1 | s h 11 | d3 | Tolerancia d3 | a ≈ | b ≈ | d5 Min. | d2 | Tolerancia d2 |
| 39 | 1,75 | 36,0 | +0,39 -0,90 | 5,9 | 4,3 | 2,5 | 37,0 | -0,25 | 1,85 |
| 40 | | 36,5 | | 6,0 | 4,4 | | 37,5 | | |
| 41 | | 37,5 | | 6,2 | 4,5 | | 38,5 | | |
| 42 | | 38,5 | | 6,5 | 4,6 | | 39,5 | | |
| 44 | | 40,5 | | 6,6 | 4,7 | | 41,5 | | |
| 45 | | 41,5 | | 6,7 | 4,8 | | 42,5 | | |
| 46 | | 42,5 | | 6,8 | 4,9 | | 43,5 | | |
| 47 | | 43,5 | | 6,9 | 5,0 | | 44,5 | | |
| 48 | | 44,5 | | 7,0 | 5,1 | | 45,5 | | |
| 50 | | 2,0 | | 45,8 | +0,46 -1,10 | | 7,1 | | |
| 52 | 47,8 | | 7,2 | 5,3 | | 49,0 | | | |
| 54 | 49,8 | | 7,3 | 5,4 | | 51,0 | | | |
| 55 | 50,8 | | 7,4 | 5,5 | | 52,0 | | | |
| 56 | 51,8 | | 7,5 | 5,6 | | 53,0 | | | |
| 57 | 52,8 | | 7,6 | 5,8 | | 54,0 | | | |
| 58 | 53,8 | | 7,7 | 6,0 | | 55,0 | | | |
| 60 | 55,8 | | 7,8 | 6,2 | | 57,0 | | | |
| 62 | 57,8 | | 7,9 | 6,3 | | 59,0 | | | |
| 63 | 58,8 | | 8,0 | 6,4 | | 60,0 | | | |
| 65 | 2,5 | 60,8 | +0,54 -1,30 | 8,1 | 6,5 | 3,5 | 62,0 | -0,35 | 2,65 |
| 67 | | 62,5 | | 8,2 | 6,6 | | 64,0 | | |
| 68 | | 63,5 | | 8,3 | 6,8 | | 65,0 | | |
| 70 | | 65,5 | | 8,4 | 7,0 | | 67,0 | | |
| 72 | | 67,5 | | 8,5 | 7,2 | | 69,0 | | |
| 75 | | 70,5 | | 8,6 | 7,3 | | 72,0 | | |
| 77 | | 72,5 | | 8,7 | 7,4 | | 74,0 | | |
| 78 | | 73,5 | | 8,8 | 7,6 | | 75,0 | | |
| 80 | | 74,5 | | 8,9 | 7,8 | | 76,5 | | |
| 82 | | 76,5 | | 9,0 | 8,0 | | 78,5 | | |
| 85 | 3,0 | 79,5 | +0,54 -1,30 | 9,1 | 8,1 | 4,0 | 81,5 | -0,54 | 3,15 |
| 87 | | 81,5 | | 9,2 | 8,2 | | 83,5 | | |
| 88 | | 82,5 | | 9,3 | 8,4 | | 84,5 | | |
| 90 | | 84,5 | | 9,4 | 8,6 | | 86,5 | | |
| 92 | | 86,5 | | 9,5 | 8,8 | | 88,5 | | |
| 95 | | 89,5 | | 9,6 | 9,0 | | 91,5 | | |
| 97 | | 91,5 | | 9,7 | 9,2 | | 93,5 | | |
| 98 | | 92,5 | | 9,8 | 9,3 | | 94,5 | | |
| 100 | | 94,5 | | 9,9 | 9,5 | | 96,5 | | |
| 102 | | 95,0 | | 10,0 | 9,6 | | 98,0 | | |
| 105 | 4,0 | 98,0 | +0,54 -1,30 | 10,1 | 9,7 | 4,5 | 101,0 | -0,54 | 4,15 |
| 107 | | 100,0 | | 10,2 | 9,8 | | 103,0 | | |
| 108 | | 101,0 | | 10,3 | 9,9 | | 104,0 | | |
| 110 | | 103,0 | | 10,4 | 10,0 | | 106,0 | | |
| 112 | | 105,0 | | 10,5 | 10,1 | | 108,0 | | |
| 115 | | 108,0 | | 10,6 | 10,2 | | 111,0 | | |
| 117 | 110,0 | 10,7 | 10,3 | 113,0 | | | | | |
| 118 | 111,0 | 10,8 | 10,4 | 114,0 | | | | | |



6x19
ALMA DE FIBRA
ACERO ARADO MEJORADO



6x19
ALMA DE ACERO
ACERO ARADO MEJORADO

| DIAMETRO pulg | Peso Aprox. en Kgs. por metro | Resistencia a la ruptura en toneladas Efectiva | Peso Aprox. en Kgs. por metro | Resistencia a la ruptura en toneladas Efectiva |
|------------------|-------------------------------------|---|-------------------------------------|---|
| 1/8" | 0.040 | 0.63 | 0.040 | 0.69 |
| 3/16" | 0.080 | 1.4 | 0.100 | 1.43 |
| 1/4" | 0.150 | 2.4 | 0.170 | 2.74 |
| 5/16" | 0.240 | 3.86 | 0.280 | 4.25 |
| 3/8" | 0.360 | 5.53 | 0.390 | 6.08 |
| 7/16" | 0.460 | 7.50 | 0.510 | 8.25 |
| 1/2" | 0.620 | 9.71 | 0.690 | 10.68 |
| 9/16" | 0.790 | 12.2 | 0.870 | 13.48 |
| 5/8" | 0.980 | 15.1 | 1.080 | 16.67 |
| 3/4" | 1.400 | 21.6 | 1.540 | 23.75 |
| 7/8" | 1.900 | 29.2 | 2.100 | 32.13 |
| 1" | 2.480 | 37.9 | 2.750 | 41.71 |
| 1-1/8" | 3.120 | 47.7 | 3.470 | 52.49 |
| 1-1/4" | 3.760 | 58.6 | 4.200 | 64.47 |
| 1-3/8" | 4.550 | 70.5 | 5.150 | 77.54 |
| 1-1/2" | 5.430 | 83.5 | 6.200 | 91.80 |
| 1-5/8" | 6.370 | 97.1 | 7.140 | 106.77 |
| 1-3/4" | 7.380 | 112.0 | 8.300 | 123.74 |
| 1-7/8" | 8.480 | 128.0 | 9.520 | 140.70 |
| 2" | 9.640 | 145.0 | 10.820 | 159.66 |

Construcciones

- 6 X 19 (9/0/1) SEALE
- 6 X 19 (12/0/6/1) FILLER
- 6 X 19 (12/6/1) - 2 OPERACIONES
- 6 X 16 (10/5/5/1) FILLER

Línea **MSEJ**



motores con
Freno



**Motores
Tri-
fásicos**

MOTORES CZERWENY S.A.

MOTORES TRIFÁSICOS CON FRENO

El motor con freno CZERWENY es la conjunción de un motor de inducción trifásico que tiene acoplado a un freno electromagnético monodisco de corriente continua.

Este producto combina la confiabilidad del motor eléctrico CZERWENY con uno de los mayores y más reconocidos fabricantes de frenos a nivel mundial, para ofrecer un nuevo producto caracterizado por su diseño integral y compacto.

La construcción del freno electromagnético es robusta con un número reducido de partes móviles, lo que asegura una larga vida útil del conjunto con un mínimo de mantenimiento.

El principio de accionamiento del freno es un resorte que aporta la fuerza de frenado a dos superficies de fricción, garantizando una operación completamente segura cuando el motor está detenido. En el momento que el motor está energizado, la bobina del freno está excitada, el resorte comprimido y el eje liberado para el giro.

Aplicaciones

El campo de aplicación más común de los motores con freno CZERWENY es en dispositivos como:

- Grúas para elevación, transporte horizontal y combinado
- Reductores mecánicos de velocidad
- Dispositivo de izaje
- Ascensores y elevadores
- Puentes grúa
- Guillotinas
- Transportadores y conveyors
- Máquinas herramientas
- Dispositivos de elevada inercia
- Máquinas de carpintería
- Posicionamiento de precisión
- Máquinas embotelladoras
- Máquinas de impresión
- Operación con variadores de frecuencia e inversers

En síntesis, el campo de aplicación de los motores con freno, es cualquier tipo de máquina que demande paradas rápidas y bloqueo del eje, por razones de seguridad o de productividad

durante su operación.

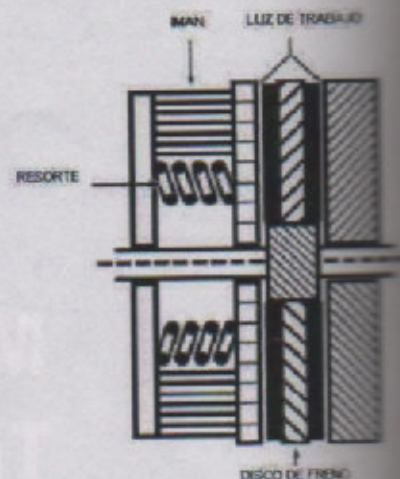
Instalación

El motor con freno puede ser instalado en cualquier posición, siempre que el freno no sea expuesto a cantidades excesivas de aceite o polvo abrasivo, que pueda penetrar en las aberturas de ventilación. Debe observarse únicamente que la instalación no se realice en medios donde exista riesgo de formación de hielo en su interior.

Cuando el motor se encuentra montado en posición horizontal, el grado de protección del conjunto es IP55.

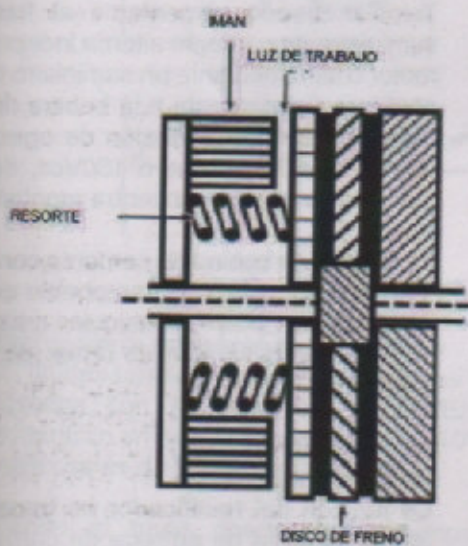
Como funciona un freno

Un disco de freno, que está clavado al eje, es atrapado entre dos platos de metal, de los cuales uno está fijo y el otro se desliza libremente bajo la presión de un resorte. Cuando la bobina electromagnética del freno de corriente continua se energiza cuando la alimentación de corriente se conecta, atrayendo el plato móvil, comprime de este modo el resorte y liberando al disco de los platos. Esto permite al eje del motor girar libremente.





Cuando la bobina electromagnética del freno es desenergizada, es decir que se desconecta la alimentación eléctrica del motor, la fuerza de atracción que la misma producía desaparece, el resorte se descomprime y aplica nuevamente la presión a los platos de metal, actuando a su vez sobre el disco de freno deteniéndolo junto con el eje.



Si es necesario liberar el eje cuando el motor se encuentra detenido se cuenta con la opción de realizarlo manualmente usando la palanca de desbloqueo. Esta maniobra debe realizarse por un corto período de tiempo y la palanca retorna automáticamente a su posición original después de su uso.

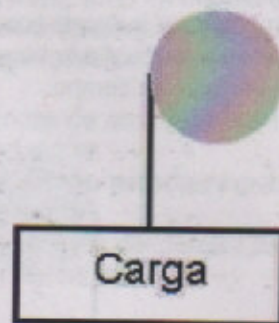
Modos de frenado

Los modos de frenado son dependientes de la aplicación y de los requerimientos de frenado. Es conveniente especificar los detalles de este modo de frenado en el requerimiento del producto para asegurarse su correcta selección.

Los más usuales son:

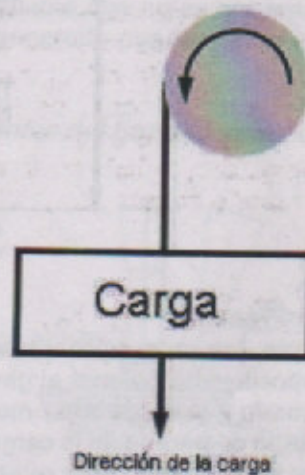
Sostener

Este modo de frenado es el usado cuando se desea fijar una carga estacionaria.



Frenado sobrecargado

Este modo es el que se presenta cuando la carga actúa en contra de la acción de frenado.



Frenado asistido por la carga

Este es el modo de frenado donde la carga asiste a la acción de frenado.



Frenado suave

Este modo es el indicado cuando se desea que el frenado sea gradual a lo largo de una distancia o de un periodo de tiempo.



Par Frenante

El par frenante es la capacidad que tiene el dispositivo en detener el giro del eje. Está relacionado a la carga a ser movida y determina el tiempo de parada de la carga además del poder que tiene el freno para retenerla. En la mayoría de las aplicaciones se considera satisfactorio un valor de 150% del par nominal a plena carga. Para algunas aplicaciones más severas es necesario un valor de par frenante mayor.

El par nominal de un motor puede calcularse a partir de los parámetros de la placa de características o de los datos publicados en los catálogos empleando la siguiente fórmula

$$T_{nom} = \frac{kW \times 9550}{n}$$

T_{nom}: Par nominal a plena carga [Nm]
 KW: Potencia nominal del motor [KW]
 n: Velocidad a plena carga [RPM]

Freno de Corriente Continua (CC)

Los motores con freno CZERWENY consisten en un motor trifásico con un freno cuya bobina electromagnética debe ser alimentada con corriente continua.

Como el motor es de corriente alterna, la alimentación del freno se realiza mediante un diodo o un rectificador conectado a la bornera del motor. También puede alimentarse el freno con el suministro de corriente alterna independiente al motor o bien mediante un suministro de corriente continua directamente a la bobina del freno. El valor nominal de la tensión de operación de la bobina es 100-120Vcc o 180Vcc, dependiendo del modelo que se encuentra montado.

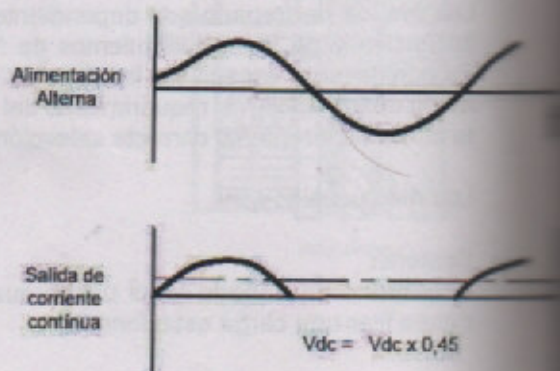
El sistema de bobina de corriente continua es extremadamente robusto y es improbable que presente una falla aun cuando cualquier materia extraña entre en el entrehierro o la luz de trabajo del freno.

Rectificadores

Rectificador Standard

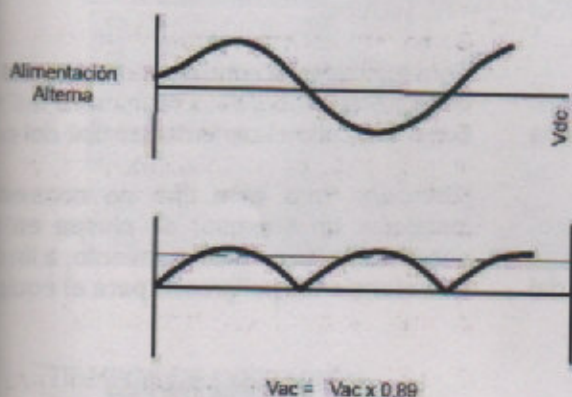
La función del rectificador es transformar la forma de onda de entrada de corriente alterna en una de corriente continua.

El rectificador de media onda (que es el usado en los motores con freno CZERWENY) solo entrega a la salida la mitad de la forma de onda de entrada con un valor de tensión de corriente continua equivalente al 45% del valor de tensión de alterna.





Existe otro tipo de rectificador que es el de onda completa, este entrega a la salida un valor de tensión equivalente al 89% del valor de corriente alterna de la entrada.



Cuando el freno tiene un trabajo cíclico, el límite de números de arranques y paradas que puede desarrollar depende de tres factores:

- 1- El número de arranque por hora que tiene permitido el motor
- 2- El número de paradas por hora que debe soportar el freno
- 3- La combinación de inercias del motor y de la carga a ser detenida

Como el número de arranques por hora está limitado por los parámetros de diseño en 6 arranques por hora, el límite de uso estará en el disco de freno. Este está limitado en la capacidad térmica a disipar por hora, por lo que debe verificarse que no se sobrepase el límite de calor generado con las sucesivas paradas del motor.

Efectos de la temperatura en el freno

Los límites térmicos de operación de los frenos provistos con los motores CZERWENY se encuentran entre un rango de -20°C y 40°C, sin restricciones de humedad ambiente.

Cuando el freno opera a una temperatura ambiente mayor, será necesario desclasificar la capacidad térmica del disco de freno. Si el freno opere con temperaturas ambientes por debajo de -20°C y en condiciones de alta humedad, será necesario instalar dispositivos calentadores en el freno que prevengan la formación de hielo en el interior del mismo.

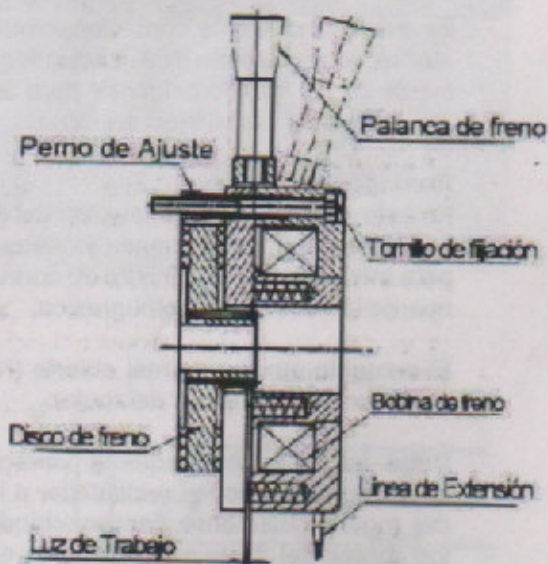
En todos los casos debe observarse que el flujo de aire para la refrigeración del conjunto no sea obstruido por ningún motivo.

Ciclo de vida del disco de freno

El ciclo de vida de un disco de freno depende de la combinación de factores de operación como ser:

- Trabajo cíclico
- Combinación entre carga e inercia a ser frenado
- Tiempo de frenado
- Temperatura ambiente

Componentes del freno electromagnético



Opciones de conexión del freno y tiempo de respuesta del frenado

El freno que se encuentra instalado en los motores CZERWENY, puede ser alimentado eléctricamente con diferentes conexiones. En función de cual sea esta conexión, el tiempo de frenado será normal, rápido o instantáneo.



Frenado normal

El circuito rectificador que suministra energía a la bobina electromagnética, se conecta directamente a los terminales del motor, sin ningún tipo de interrupción. La conmutación se realiza con los mismos contactos del contactor que alimenta al motor.

Con este esquema de frenado, el eje del motor puede girar una o dos vueltas más antes de detenerse.

Esta es la conexión con la que se entrega el producto de fábrica y provee el frenado necesario para la mayoría de las aplicaciones fuera del caso de cargas suspendidas

Frenado rápido

En este caso un contacto auxiliar del interruptor o del contactor que comanda al motor es usado para interrumpir el circuito de corriente alterna que alimenta el rectificador.

Es esencial que este contactor posea contacto auxiliar normal abierto (N.A.), actuando conjuntamente con el mando del motor para asegurar el accionamiento simultáneo del freno.

Frenado instantáneo

En este caso un contacto auxiliar del interruptor o del contactor que comanda al motor es usado para interrumpir el suministro de corriente continua de la bobina electromagnética.

El contacto auxiliar normal abierto (N.A.) debe pertenecer al contactor del motor.

Debe hacerse una pequeña variación en la conexión de fábrica el rectificador a la bornera del motor, solamente desconectando uno de los cables del freno e intercalando el contacto auxiliar

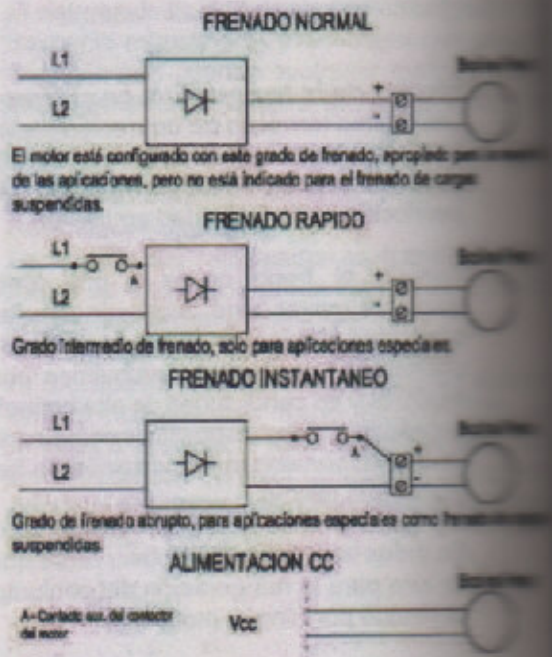
Alimentación con corriente continua

En este caso no es necesario el empleo del rectificador dado que se excita directamente la bobina del freno electromagnético con una señal de corriente continua.

Para los motores cuya potencia sea menor a 4HP, la tensión de alimentación del freno es 100-120Vcc. En los motores de potencia mayor o igual a 4HP la tensión de alimentación es 170-180Vcc.

Para realizar esta conexión es necesario primero desconectar uno de los terminales del rectificador e intercalar el contacto auxiliar del contactor.

Atención: Para este tipo de conexión debe instalarse un supresor de chispa en paralelo con el contacto de accionamiento, a fin de evitar sobretensiones peligrosas para el equipo.





PARÁMETROS DEL FRENO

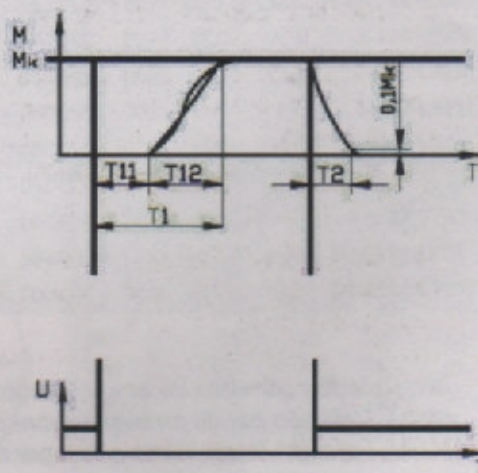
| CARCASA | Luz de trabajo (mm) | Par de frenado estático (Nm) | Luz de trabajo máxima (mm) | Tiempo de frenado sin carga nominal (mseg) | |
|---------|---------------------|------------------------------|----------------------------|--|----------------|
| | | | | Frenado Lento | Frenado Rápido |
| 63 - 71 | 0,3 - 0,6 | 4 | 0,8 | <0,2 | <0,5 |
| 80 | 0,3 - 0,8 | 7,5 | 1,0 | <0,2 | <0,5 |
| 90 | 0,3 - 0,8 | 15 | 1,0 | <0,2 | <0,5 |
| 100 | 0,3 - 0,8 | 30 | 1,0 | <0,2 | <0,5 |
| 112 | 0,3 - 0,8 | 40 | 1,0 | <0,25 | <0,8 |
| 132 | 0,4 - 0,9 | 80 | 1,2 | <0,25 | <0,6 |
| 160 | 0,4 - 1 | 150 | 1,2 | <0,35 | <1,0 |

TIEMPOS DE OPERACIÓN

| CARCASA | Par de frenado estático (Nm) | Velocidad máxima de rotación (RPM) | Máxima Energía disipable en una única operación (J) | Tiempo de operación para luz de trabajo nominal (mseg) | | | |
|---------|------------------------------|------------------------------------|---|--|-----------------|----------------|----------------|
| | | | | Enganche | | Desenganche | |
| | | | | t ₁₁ | t ₁₂ | t ₂ | t ₂ |
| 63 - 71 | 4 | 3000 | 3000 | 25 | 30 | 55 | 63 |
| 80 | 7,5 | 3000 | 7500 | 35 | 40 | 75 | 87 |
| 90 | 15 | 3000 | 12000 | 50 | 45 | 95 | 110 |
| 100 | 30 | 3000 | 20000 | 50 | 70 | 120 | 140 |
| 112 | 40 | 3000 | 25000 | 60 | 70 | 130 | 152 |
| 132 | 80 | 3000 | 36000 | 75 | 65 | 140 | 165 |
| 160 | 150 | 3000 | 60000 | 75 | 105 | 180 | 214 |

La transición del estado sin freno al estado frenado estacionario se efectúa siempre con un retraso. Los tiempos de enganche que se muestran corresponden al accionamiento desde el lado de corriente continua. En el caso de accionamiento desde el lado de corriente alterna, los tiempos de retardo se multiplican por 10. El tiempo de desenganche no está influenciado por la conexión.

El gráfico muestra el retraso durante el enganche t₁₁, el tiempo de elevación del par frenante t₁₂ y el tiempo de enganche t₁ = t₁₁ + t₁₂, así como el tiempo de desenganche t₂, en función del tiempo de aplicación de la V_{cc}.



Motores Trifásicos Línea

Motores

Motores asíncronos trifásicos, con freno de corriente continua, rotor jaula de ardilla.
Ventilación exterior (IC141)
Servicio continuo S1, clase F, IP55, 50Hz

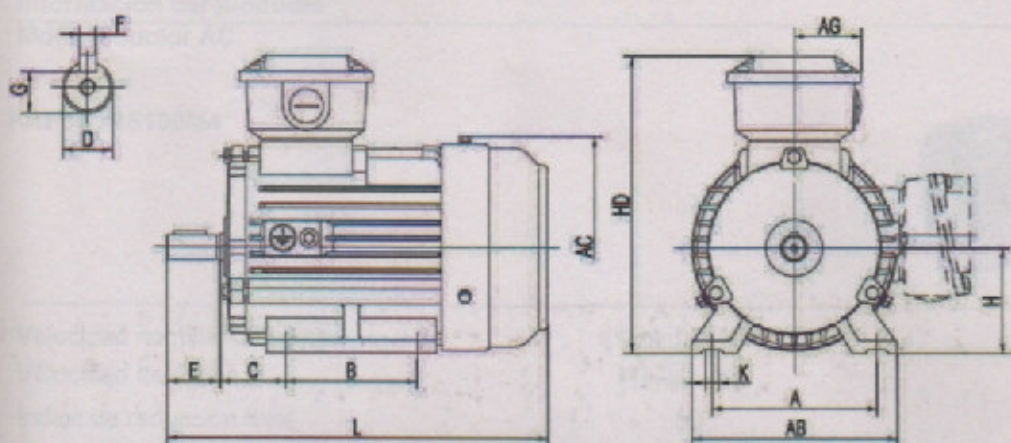
| Tipo | P _n | | n v/min | Tensión V | I nominal Amps | Par frenante estático (Nm) [*] | Consumo freno (W) | Tiempo de retardo (seg) | I _a /I _n | M/M _n % | cos φ |
|----------------|----------------|------|------------|--------------|-------------------|--|----------------------|----------------------------|--------------------------------|-----------------------|-------|
| | kW | CV | | | | | | | | | |
| 2 Polos | | | | | | | | | | | |
| MSEJ 631-2 | 0,18 | 0,25 | 2900 | 220/380 | 0,57/0,53 | 4 | 18 | <0,2 | 5,5 | 65 | 0,8 |
| MSEJ 632-2 | 0,25 | 0,33 | 2900 | 220/380 | 1,17/0,88 | 4 | 18 | <0,2 | 5,5 | 68 | 0,81 |
| MSEJ 711-2 | 0,37 | 0,5 | 2690 | 220/380 | 1,65/0,95 | 4 | 18 | <0,2 | 4,5 | 66,8 | 0,81 |
| MSEJ 712-2 | 0,55 | 0,75 | 2900 | 220/380 | 2,33/1,36 | 4 | 18 | <0,2 | 6,1 | 65 | 0,82 |
| MSEJ 801-2 | 0,75 | 1 | 2730 | 220/380 | 3,03/1,75 | 7,5 | 50 | <0,2 | 8,2 | 75,5 | 0,84 |
| MSEJ 802-2 | 1,1 | 1,5 | 2750 | 220/380 | 4,42/2,55 | 7,5 | 50 | <0,2 | 8,3 | 78,3 | 0,86 |
| MSEJ 90S-2 | 1,5 | 2 | 2720 | 220/380 | 6,01/3,84 | 15 | 60 | <0,2 | 6 | 78,2 | 0,85 |
| MSEJ 90L-2 | 2,2 | 3 | 2775 | 220/380 | 8,6/4,98 | 15 | 60 | <0,2 | 6 | 77,3 | 0,86 |
| MSEJ 100L-2 | 3 | 4 | 2870 | 380/660 | 6,3/3,63 | 30 | 80 | <0,2 | 7,2 | 80,4 | 0,87 |
| MSEJ 112M-2 | 4 | 5,5 | 2890 | 380/660 | 8,2/4,7 | 40 | 110 | <0,25 | 7,4 | 81,8 | 0,87 |
| MSEJ 112L-2 | 5,5 | 7,5 | 2900 | 380/660 | 11/6,3 | 75 | 130 | <0,25 | 9,8 | 86,2 | 0,88 |
| 4 Polos | | | | | | | | | | | |
| MSEJ 632-4 | 0,18 | 0,25 | 1340 | 220/380 | 1,12/0,65 | 4 | 18 | <0,2 | 4,4 | 60,7 | 0,73 |
| MSEJ 711-4 | 0,25 | 0,33 | 1390 | 220/380 | 1,44/0,83 | 4 | 18 | <0,2 | 4,4 | 61,7 | 0,74 |
| MSEJ 712-4 | 0,37 | 0,5 | 1375 | 220/380 | 1,94/1,12 | 4 | 18 | <0,2 | 5,2 | 65 | 0,75 |
| MSEJ 801-4 | 0,55 | 0,75 | 1380 | 220/380 | 2,69/1,56 | 7,5 | 50 | <0,2 | 6 | 67,8 | 0,76 |
| MSEJ 802-4 | 0,75 | 1 | 1380 | 220/380 | 3,48/2,01 | 7,5 | 50 | <0,2 | 6 | 74,9 | 0,76 |
| MSEJ 90S-4 | 1,1 | 1,5 | 1390 | 220/380 | 4,74/2,75 | 15 | 60 | <0,2 | 6,5 | 74,4 | 0,78 |
| MSEJ 90L-4 | 1,5 | 2 | 1410 | 220/380 | 6,31/3,65 | 15 | 60 | <0,2 | 6,5 | 75,5 | 0,79 |
| MSEJ 100L1-4 | 2,2 | 3 | 1430 | 220/380 | 8,6/5 | 30 | 80 | <0,2 | 7 | 81 | 0,82 |
| MSEJ 100L2-4 | 3 | 4 | 1430 | 380/660 | 6,78/3,9 | 30 | 80 | <0,2 | 8,3 | 83,4 | 0,81 |
| MSEJ 112M-4 | 4 | 5,5 | 1430 | 380/660 | 8,8/5,1 | 40 | 110 | <0,25 | 6,4 | 83,3 | 0,82 |
| MSEJ 132S-4 | 5,5 | 7,5 | 1430 | 380/660 | 12/6,9 | 75 | 130 | <0,25 | 7 | 85,5 | 0,84 |
| 6 Polos | | | | | | | | | | | |
| MSEJ 801-6 | 0,37 | 0,5 | 915 | 220/380 | 2,24/1,3 | 7,5 | 50 | <0,2 | 4,5 | 64,3 | 0,75 |
| MSEJ 802-6 | 0,55 | 0,75 | 920 | 220/380 | 3,08/1,79 | 7,5 | 50 | <0,2 | 4,5 | 63,5 | 0,69 |
| MSEJ 90S-6 | 0,75 | 1 | 930 | 220/380 | 4/2,3 | 15 | 60 | <0,2 | 5,5 | 72,9 | 0,68 |
| MSEJ 90L-6 | 1,1 | 1,5 | 930 | 220/380 | 5,5/3,2 | 15 | 60 | <0,2 | 5,5 | 74,9 | 0,72 |
| MSEJ 100L-6 | 1,5 | 2 | 950 | 220/380 | 6,39/4 | 30 | 80 | <0,2 | 6 | 77,5 | 0,74 |
| MSEJ 112M-6 | 2,2 | 3 | 950 | 220/380 | 9,7/5,8 | 40 | 110 | <0,25 | 6 | 80,5 | 0,74 |
| MSEJ 132S-6 | 3 | 4 | 950 | 220/380 | 12,4/7,2 | 75 | 130 | <0,25 | 6,5 | 83 | 0,76 |
| MSEJ 132M1-6 | 4 | 5,5 | 950 | 380/660 | 9,4/5,4 | 75 | 130 | <0,25 | 6,5 | 84 | 0,77 |
| MSEJ 132M2-6 | 5,5 | 7,5 | 950 | 380/660 | 13/7,5 | 75 | 130 | <0,25 | 6,5 | 85,3 | 0,78 |

I_a/I_n: Relación corriente de arranque sobre corriente nominal

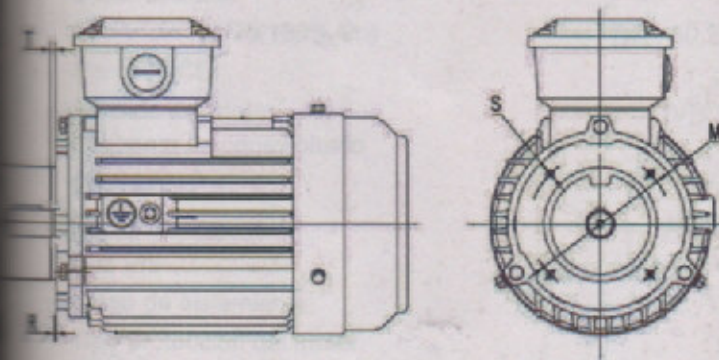
M_a/M_n: Relación par de arranque sobre par nominal

M_k/M_n: Relación Par máximo sobre par nominal

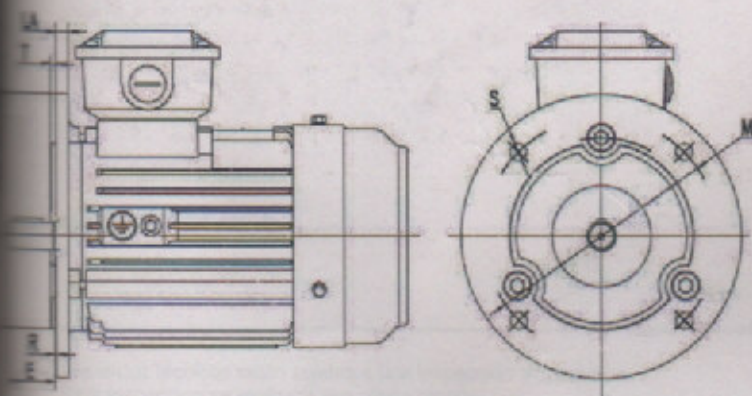




| Carcasa Tipo | Medidas (mm) | | | | | | | | | Medidas Generales (mm) | | | | |
|-----------------|--------------|-----|----|----|----|----|------|-----|----|------------------------|-----|-----|-----|-----|
| | A | B | C | D | E | F | G | H | K | AB | AC | AD | HD | L |
| 63 | 100 | 80 | 40 | 11 | 23 | 4 | 8,5 | 63 | 7 | 130 | 130 | 115 | 165 | 252 |
| 71 | 112 | 90 | 45 | 14 | 30 | 5 | 11 | 71 | 7 | 145 | 145 | 125 | 185 | 291 |
| 80 | 125 | 100 | 50 | 19 | 40 | 6 | 15,5 | 80 | 10 | 160 | 165 | 135 | 215 | 340 |
| 90S | 140 | 100 | 56 | 24 | 50 | 8 | 20 | 90 | 10 | 180 | 185 | 145 | 235 | 384 |
| 90L | 140 | 125 | 56 | 24 | 50 | 8 | 20 | 90 | 10 | 180 | 185 | 145 | 235 | 384 |
| 100L | 160 | 140 | 63 | 28 | 60 | 8 | 24 | 100 | 12 | 205 | 215 | 170 | 255 | 444 |
| 112M | 190 | 140 | 70 | 28 | 60 | 8 | 24 | 112 | 12 | 245 | 240 | 180 | 285 | 453 |
| 132S | 216 | 140 | 89 | 38 | 80 | 10 | 33 | 132 | 12 | 260 | 275 | 195 | 325 | 576 |
| 132M | 216 | 178 | 89 | 38 | 80 | 10 | 33 | 132 | 12 | 260 | 275 | 195 | 325 | 576 |



| Carcasa Tipo | Montaje IM B14 | | | | |
|-----------------|----------------|-----|-----|-----|-----|
| | M | N | P | S | T |
| 63 | 75 | 60 | 90 | M5 | 2,5 |
| 71 | 85 | 70 | 100 | M6 | 2,5 |
| 80 | 100 | 80 | 120 | M6 | 3 |
| 90S | 115 | 95 | 140 | M8 | 3 |
| 90L | 115 | 95 | 140 | M8 | 3 |
| 100L | 130 | 110 | 160 | M8 | 3,5 |
| 112M | 130 | 110 | 160 | M8 | 3,5 |
| 132S | 165 | 130 | 200 | M10 | 4 |
| 132M | 165 | 130 | 200 | M10 | 4 |



| Carcasa Tipo | Montaje IM B5 | | | | |
|-----------------|---------------|-----|-----|----|-----|
| | M | N | P | S | T |
| 63 | 115 | 95 | 140 | 10 | 3 |
| 71 | 130 | 110 | 160 | 10 | 3,5 |
| 80 | 165 | 130 | 200 | 12 | 3,5 |
| 90S | 165 | 130 | 200 | 12 | 3,5 |
| 90L | 165 | 130 | 200 | 12 | 3,5 |
| 100L | 215 | 180 | 250 | 15 | 4 |
| 112M | 215 | 180 | 250 | 15 | 4 |
| 132S | 265 | 230 | 300 | 15 | 4 |
| 132M | 265 | 230 | 300 | 15 | 4 |



Información del producto**Motorreductor AC****KAF58DRS100M4**

| | |
|---|-----------------------------|
| Velocidad nominal del motor | [1/min] : 1400 |
| Velocidad de salida | [1/min] : 28 |
| Índice de reducción total | : 50 |
| Par de salida | [Nm] : 1190 |
| Factor de servicio SEW-FB | : 1,30 |
| Posición de montaje | : M1A |
| Pintura imprimación/CapaFinal | : 7031 Gris azul (20070310) |
| Posición de conexión/caja de bornas | [°] : 0 |
| Entrada de cable/ Posición del conector | : X |
| Eje hueco | [mm] : 35 |
| Salida permitida con carga radial n=1400 | [N] : 9450 |
| Cantidad de lubricante 1er reductor | [Litro] : 1,6 |
| Diámetro de la brida | [mm] : 210 |
| Potencia del motor | [kW] : 2,2 |
| Factor de duración | : S1-100% |
| Clase eficiente | : IE1 |
| Eficiencia (50/75/100% Pn) | [%] : 80,2 / 76,7 / 73,4 |
| Marcado CE | : No |
| Tensión del motor | [V] : 220/380 |
| Esquema de conexionado | : R13 |
| Frecuencia | [Hz] : 50 |
| Corriente nominal | [A] : 8,75 / 5,0 |
| Cos Phi | : 0,82 |
| Clase de aislamiento | : 130(B) |
| Tipo protección del motor | : IP54 |
| Requisito del diseño | : IEC |
| Motor equipado con freno electromagnético de disco CC | |

Los datos técnicos están sujetos a una inspección técnica final.

Esta inspección se realizará con oferta creada.

Puede encontrar el peso neto exacto en la confirmación del pedido. Por razones técnicas, el peso real puede diferir de esta información.

Información del producto
Motorreductor AC**SAF62RDS100S1**

| | |
|---|-----------------------------|
| Velocidad nominal del motor | [1/min] : 1400 |
| Velocidad de salida | [1/min] : 23,3 |
| Índice de reducción total | : 60 |
| Par de salida | [Nm] : 1178 |
| Factor de servicio SEW-FB | : 1,30 |
| Posición de montaje | : S1A |
| Pintura imprimación/CapaFinal | : 7031 Gris azul (20070310) |
| Posición de conexión/caja de bornas | [°] : 90 |
| Entrada de cable/ Posición del conector | : X |
| Eje hueco | [mm] : 60 |
| Salida permitida con carga radial n=1400 | [N] : 9450 |
| Cantidad de lubricante 1er reductor | [Litro] : 1,6 |
| Diámetro de la brida | [mm] : 250 |
| Potencia del motor | [kW] : 2,2 |
| Factor de duración | : S1-100% |
| Clase eficiente | : IE1 |
| Eficiencia (50/75/100% Pn) | [%] : 86,3 / 84,1 / 80,2 |
| Marcado CE | : No |
| Tensión del motor | [V] : 220/380 |
| Esquema de conexionado | : R13 |
| Frecuencia | [Hz] : 50 |
| Corriente nominal | [A] : 8,75 / 5,0 |
| Cos Phi | : 0,82 |
| Clase de aislamiento | : 130(B) |
| Tipo protección del motor | : IP54 |
| Requisito del diseño | : IEC |
| Motor equipado con freno electromagnético de disco CC | |

Los datos técnicos están sujetos a una inspección técnica final.

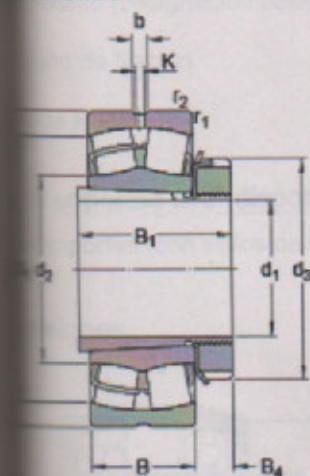
Esta inspección se realizará con oferta creada.

Puede encontrar el peso neto exacto en la confirmación del pedido. Por razones técnicas, el peso real puede diferir de esta información.

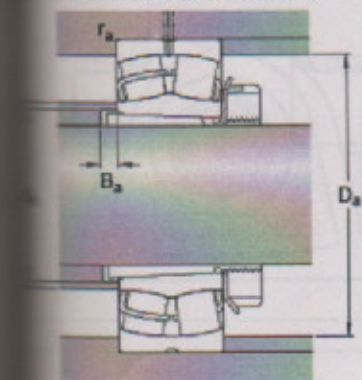
215 EK + H 315

Explorer

Dimensiones



Dimensiones de los resaltes



Factores del cálculo

| | | | |
|------------------------------------|----------------|------|-------|
| Capacidad de carga dinámica básica | C | 217 | kN |
| Capacidad de carga estática básica | C ₀ | 240 | kN |
| Carga límite de fatiga | P _u | 26.5 | kN |
| Velocidad de referencia | | 4800 | r/min |
| Velocidad límite | | 6300 | r/min |
| Factor de cálculo | e | 0.22 | |
| Factor de cálculo | Y ₁ | 3 | |
| Factor de cálculo | Y ₂ | 4.6 | |
| Factor de cálculo | Y ₀ | 2.8 | |

| | | |
|------------------|----------|----|
| d ₁ | 65 | mm |
| D | 130 | mm |
| B | 31 | mm |
| d ₂ | ≈ 87.8 | mm |
| d ₃ | 98 | mm |
| D ₁ | ≈ 115 | mm |
| B ₁ | 55 | mm |
| B ₄ | 14.5 | mm |
| b | 6 | mm |
| K | 3 | mm |
| r _{1,2} | min. 1.5 | mm |

| | | |
|----------------|----------|----|
| d _a | max. 87 | mm |
| d _b | min. 80 | mm |
| D _a | max. 121 | mm |
| B _a | min. 12 | mm |
| r _a | max. 1.5 | mm |

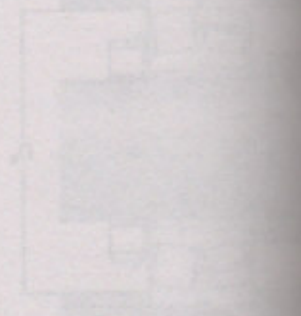
Masa

Rodamiento incl. manguito

2.45

kg

| | | |
|----|------|---|
| mm | 20 | B |
| mm | 25 | D |
| mm | 30 | B |
| mm | 35 | B |
| mm | 40 | B |
| mm | 45 | D |
| mm | 50 | B |
| mm | 55 | B |
| mm | 60 | B |
| mm | 65 | B |
| mm | 70 | B |
| mm | 75 | B |
| mm | 80 | B |
| mm | 85 | B |
| mm | 90 | B |
| mm | 95 | B |
| mm | 100 | B |
| mm | 105 | B |
| mm | 110 | B |
| mm | 115 | B |
| mm | 120 | B |
| mm | 125 | B |
| mm | 130 | B |
| mm | 135 | B |
| mm | 140 | B |
| mm | 145 | B |
| mm | 150 | B |
| mm | 155 | B |
| mm | 160 | B |
| mm | 165 | B |
| mm | 170 | B |
| mm | 175 | B |
| mm | 180 | B |
| mm | 185 | B |
| mm | 190 | B |
| mm | 195 | B |
| mm | 200 | B |
| mm | 205 | B |
| mm | 210 | B |
| mm | 215 | B |
| mm | 220 | B |
| mm | 225 | B |
| mm | 230 | B |
| mm | 235 | B |
| mm | 240 | B |
| mm | 245 | B |
| mm | 250 | B |
| mm | 255 | B |
| mm | 260 | B |
| mm | 265 | B |
| mm | 270 | B |
| mm | 275 | B |
| mm | 280 | B |
| mm | 285 | B |
| mm | 290 | B |
| mm | 295 | B |
| mm | 300 | B |
| mm | 305 | B |
| mm | 310 | B |
| mm | 315 | B |
| mm | 320 | B |
| mm | 325 | B |
| mm | 330 | B |
| mm | 335 | B |
| mm | 340 | B |
| mm | 345 | B |
| mm | 350 | B |
| mm | 355 | B |
| mm | 360 | B |
| mm | 365 | B |
| mm | 370 | B |
| mm | 375 | B |
| mm | 380 | B |
| mm | 385 | B |
| mm | 390 | B |
| mm | 395 | B |
| mm | 400 | B |
| mm | 405 | B |
| mm | 410 | B |
| mm | 415 | B |
| mm | 420 | B |
| mm | 425 | B |
| mm | 430 | B |
| mm | 435 | B |
| mm | 440 | B |
| mm | 445 | B |
| mm | 450 | B |
| mm | 455 | B |
| mm | 460 | B |
| mm | 465 | B |
| mm | 470 | B |
| mm | 475 | B |
| mm | 480 | B |
| mm | 485 | B |
| mm | 490 | B |
| mm | 495 | B |
| mm | 500 | B |
| mm | 505 | B |
| mm | 510 | B |
| mm | 515 | B |
| mm | 520 | B |
| mm | 525 | B |
| mm | 530 | B |
| mm | 535 | B |
| mm | 540 | B |
| mm | 545 | B |
| mm | 550 | B |
| mm | 555 | B |
| mm | 560 | B |
| mm | 565 | B |
| mm | 570 | B |
| mm | 575 | B |
| mm | 580 | B |
| mm | 585 | B |
| mm | 590 | B |
| mm | 595 | B |
| mm | 600 | B |
| mm | 605 | B |
| mm | 610 | B |
| mm | 615 | B |
| mm | 620 | B |
| mm | 625 | B |
| mm | 630 | B |
| mm | 635 | B |
| mm | 640 | B |
| mm | 645 | B |
| mm | 650 | B |
| mm | 655 | B |
| mm | 660 | B |
| mm | 665 | B |
| mm | 670 | B |
| mm | 675 | B |
| mm | 680 | B |
| mm | 685 | B |
| mm | 690 | B |
| mm | 695 | B |
| mm | 700 | B |
| mm | 705 | B |
| mm | 710 | B |
| mm | 715 | B |
| mm | 720 | B |
| mm | 725 | B |
| mm | 730 | B |
| mm | 735 | B |
| mm | 740 | B |
| mm | 745 | B |
| mm | 750 | B |
| mm | 755 | B |
| mm | 760 | B |
| mm | 765 | B |
| mm | 770 | B |
| mm | 775 | B |
| mm | 780 | B |
| mm | 785 | B |
| mm | 790 | B |
| mm | 795 | B |
| mm | 800 | B |
| mm | 805 | B |
| mm | 810 | B |
| mm | 815 | B |
| mm | 820 | B |
| mm | 825 | B |
| mm | 830 | B |
| mm | 835 | B |
| mm | 840 | B |
| mm | 845 | B |
| mm | 850 | B |
| mm | 855 | B |
| mm | 860 | B |
| mm | 865 | B |
| mm | 870 | B |
| mm | 875 | B |
| mm | 880 | B |
| mm | 885 | B |
| mm | 890 | B |
| mm | 895 | B |
| mm | 900 | B |
| mm | 905 | B |
| mm | 910 | B |
| mm | 915 | B |
| mm | 920 | B |
| mm | 925 | B |
| mm | 930 | B |
| mm | 935 | B |
| mm | 940 | B |
| mm | 945 | B |
| mm | 950 | B |
| mm | 955 | B |
| mm | 960 | B |
| mm | 965 | B |
| mm | 970 | B |
| mm | 975 | B |
| mm | 980 | B |
| mm | 985 | B |
| mm | 990 | B |
| mm | 995 | B |
| mm | 1000 | B |



SE 515-612

Productos adecuados

Acabamiento (designación básica)

22215 K

Regueto de fijación

H 315

Cable de fijación

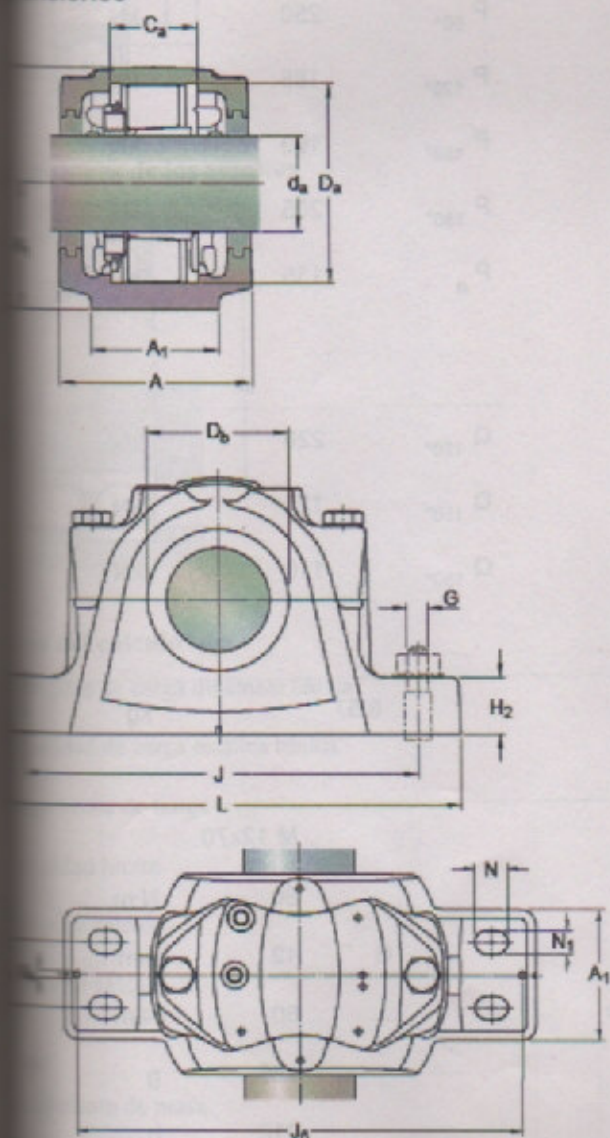
2 x FRB 12.5/130

Linea de soportes SKF disponibles

Linea de soportes (con sellos de cuatro labios)

FSE 22515 TL

Dimensiones



| | | |
|-------|-----|----|
| d_a | 65 | mm |
| C_a | 56 | mm |
| D_a | 130 | mm |
| D_b | 87 | mm |
| A | 115 | mm |
| A_1 | 80 | mm |
| H | 156 | mm |
| H_1 | 80 | mm |
| H_2 | 30 | mm |
| J | 230 | mm |
| J_1 | 40 | mm |
| L | 280 | mm |
| N | 20 | mm |
| N_1 | 15 | mm |

Fijas de situación

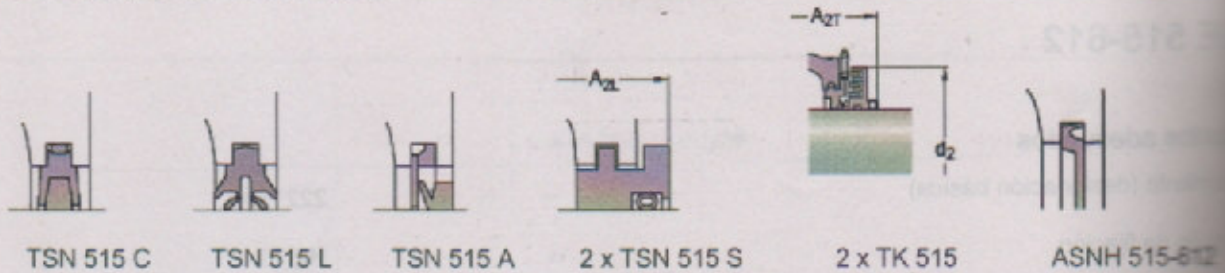
| | | |
|-------|--------|----|
| J_6 | 257 | mm |
| N_4 | max. 8 | mm |

Dimensiones

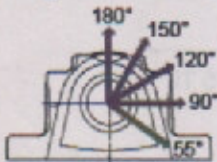
Seal dimensions

| | | |
|----------|-----|----|
| A_{2L} | 127 | mm |
| A_{2T} | 176 | mm |

Sellos y tapa lateral adecuados

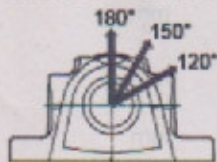


Cargas de rotura, soporte



| | | |
|-----------------|-----|----|
| P_{0° | 290 | kN |
| P_{55° | 410 | kN |
| P_{90° | 250 | kN |
| P_{120° | 185 | kN |
| P_{150° | 160 | kN |
| P_{180° | 205 | kN |
| P_a | 135 | kN |

Límite de elasticidad, pernos de tapa



| | | |
|-----------------|-----|----|
| Q_{120° | 220 | kN |
| Q_{150° | 125 | kN |
| Q_{180° | 110 | kN |

Masa

| | | |
|-----------------|------|----|
| Soporte de masa | 8.57 | kg |
|-----------------|------|----|

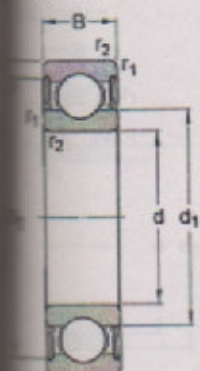
Información de montaje

| | | |
|---|---------|-----|
| Perno de tapa, tamaño | M 12x70 | |
| Par de apriete recomendado para el perno de tapa | 80 | N·m |
| Tamaño de tornillos de fijación adecuados | G 12 | mm |
| Tornillo de fijación adecuado, par de apriete recomendado | 80 | N·m |
| Llenado inicial de grasa, 20% | 125 | g |
| Llenado inicial de grasa, 40% | 210 | g |

6207-2RS1

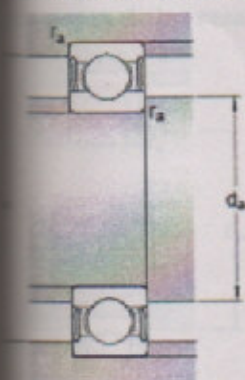
table_popular_item[87]

Dimensiones



| | | |
|------------------|----------|----|
| d | 35 | mm |
| D | 72 | mm |
| B | 17 | mm |
| d ₁ | 47.6 | mm |
| D ₂ | 64.83 | mm |
| r _{1,2} | min. 1.1 | mm |

Dimensiones de los resaltes



| | | |
|----------------|-----------|----|
| d _a | min. 41.5 | mm |
| d _a | max. 46.5 | mm |
| D _a | max. 65.5 | mm |
| r _a | max. 1 | mm |

Características del cálculo

| | | | |
|------------------------------------|----------------|-------|-------|
| Capacidad de carga dinámica básica | C | 22.1 | kN |
| Capacidad de carga estática básica | C ₀ | 15.3 | kN |
| Carga límite de fatiga | P _u | 0.655 | kN |
| Velocidad límite | | 6000 | r/min |
| Factor de cálculo | k _r | 0.03 | |
| Factor de cálculo | f ₀ | 13.9 | |

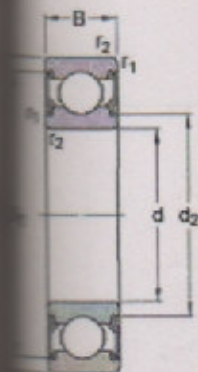
Contenido de masa

0.28 kg

612-2RSH

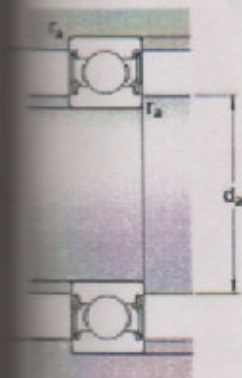
table_popular_item[87]
Explorer

Dimensiones



| | | |
|------------------|----------|----|
| d | 60 | mm |
| D | 130 | mm |
| B | 31 | mm |
| d ₂ | 77.566 | mm |
| D ₂ | 112.75 | mm |
| r _{1,2} | min. 2.1 | mm |

Dimensiones de los resaltes



| | | |
|----------------|-----------|----|
| d _a | min. 72 | mm |
| d _a | max. 77.2 | mm |
| D _a | max. 118 | mm |
| r _a | max. 2 | mm |

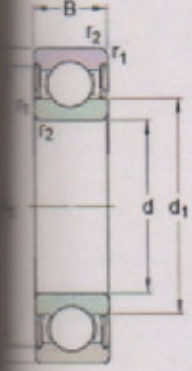
Valores del cálculo

| | | | |
|------------------------------------|----------------|------|-------|
| Capacidad de carga dinámica básica | C | 85.2 | kN |
| Capacidad de carga estática básica | C ₀ | 52 | kN |
| Carga límite de fatiga | P _u | 2.2 | kN |
| Velocidad límite | | 3400 | r/min |
| Factor de cálculo | k _r | 0.03 | |
| Factor de cálculo | f ₀ | 13.1 | |
| Peso | | | |
| Peso de masa | | 1.76 | kg |

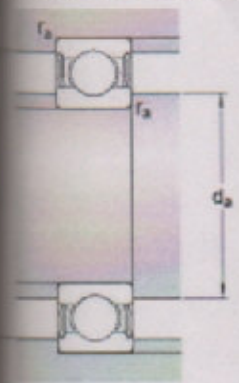
13-2RS1

table_popular_item[87]
explorer

Dimensiones



Dimensiones de los resaltes



| Dimensiones (mm) | | | |
|------------------|-----------------|------------------|---------------|
| Diámetro [mm] | Número de bolas | Profundidad [mm] | Diámetro [mm] |
| 0.79375 | 18 | 0.18062222 | 0.29510165 |
| 0.9825 | 16 | 0.2032 | 0.44073865 |
| 1.1125 | 14 | 0.237225 | 0.6275 |
| 1.27 | 12 | 0.270833 | 0.7635 |
| 1.42875 | 12 | 0.270833 | 1.00275 |
| 1.5675 | 11 | 0.28373864 | 1.310243 |
| 1.74625 | 11 | 0.29625 | 1.652625 |
| 1.905 | 10 | 0.31 | 1.9547 |
| 2.06375 | 10 | 0.323125 | 2.392343 |
| 2.2225 | 9 | 0.331244 | 2.83496 |
| 2.38125 | 9 | 0.341744 | 3.277577 |
| 2.54 | 8 | 0.3494 | 3.573165 |
| 2.69875 | 7 | 0.46445714 | 4.40542942 |
| 2.8575 | 7 | 0.46445714 | 5.74622418 |
| 3.01625 | 6 | 0.541875 | 6.68701884 |

| | | |
|-----------|-----------|----|
| d | 65 | mm |
| D | 140 | mm |
| B | 33 | mm |
| d_1 | 88.35 | mm |
| D_2 | 121.3 | mm |
| $r_{1,2}$ | min. 2.1 | mm |
| d_a | min. 77 | mm |
| d_a | max. 88.3 | mm |
| D_a | max. 128 | mm |
| r_a | max. 2 | mm |

Factores del cálculo

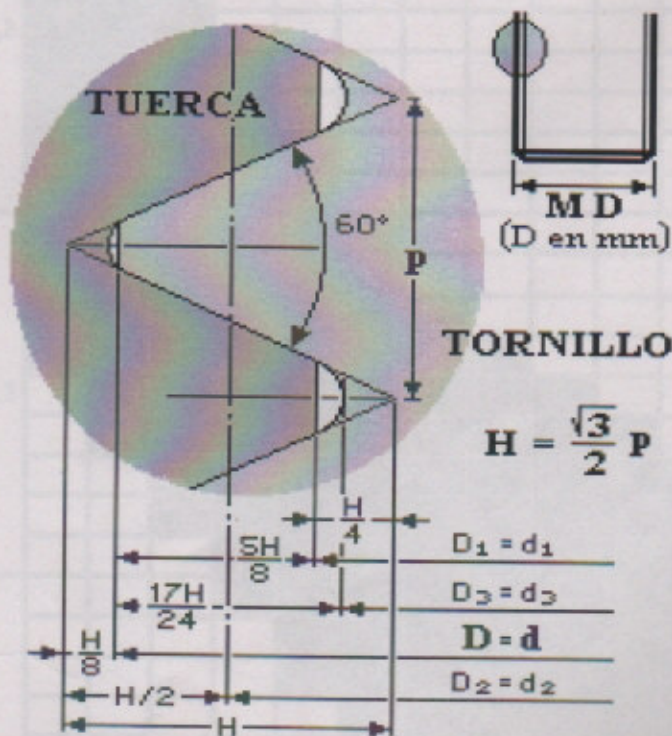
| | | | |
|------------------------------------|-------|------|-------|
| Capacidad de carga dinámica básica | C | 97.5 | kN |
| Capacidad de carga estática básica | C_0 | 60 | kN |
| Carga límite de fatiga | P_u | 2.5 | kN |
| Velocidad límite | | 3200 | r/min |
| Factor de cálculo | k_r | 0.03 | |
| Factor de cálculo | f_0 | 13.2 | |

| | | |
|---------------------------|------|----|
| Peso de la unidad de masa | 2.16 | kg |
|---------------------------|------|----|

El peso de la unidad de masa se refiere a una sola vez al realizar el cálculo del momento de inercia. Al calcular el momento de inercia se debe multiplicar por el número de unidades de masa.

Roscas Whitworth

| Díámetro [cm] | Hilos | Profundidad | Sección [cm ²] |
|---------------|-------|-------------|----------------------------|
| 0,79375 | 18 | 0,18062222 | 0,29510165 |
| 0,9525 | 16 | 0,2032 | 0,44073863 |
| 1,11125 | 14 | 0,23222857 | 0,60655276 |
| 1,27 | 12 | 0,27093333 | 0,78353535 |
| 1,42875 | 12 | 0,27093333 | 1,05232346 |
| 1,5875 | 11 | 0,29556364 | 1,31024316 |
| 1,74625 | 11 | 0,29556364 | 1,65202538 |
| 1,905 | 10 | 0,32512 | 1,95937634 |
| 2,06375 | 10 | 0,32512 | 2,37292491 |
| 2,2225 | 9 | 0,36124444 | 2,71945371 |
| 2,38125 | 9 | 0,36124444 | 3,20313162 |
| 2,54 | 8 | 0,4064 | 3,57351543 |
| 2,8575 | 7 | 0,46445714 | 4,49542348 |
| 3,175 | 7 | 0,46445714 | 5,76742843 |
| 3,4925 | 6 | 0,54186667 | 6,8343961 |



La profundidad se resta una sola vez al realizar el cálculo del diámetro neutro, lo verifique calculando la sección indicada en la tabla.

PERFILES DIN 6880

Medida nominal de 8x7 A 40x14

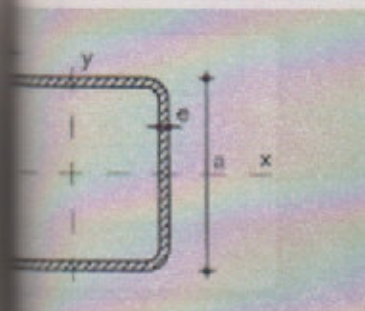


| Medida nominal b x h 1) | Diferencia admisible para | | | r | Peso Kg/m s | Utilizable para | | | | | | |
|-------------------------------|---------------------------------|--------|--------|-----------|-------------------|---|---|---|---|---|--|----------|
| | según zona de tolerancia ISA | | | | | chavetas media caña según DIN 6881 | chavetas planas según DIN 6883 | chavetas planas con cabeza según DIN 6884 | lengüetas de ajuste y chavetas según DIN 6885 DIN 6886 | chavetas con cabeza según DIN 6887 | chavetas media caña con cabeza según DIN 6889 | |
| | b | h | | | | | | | | | | |
| [8 x 7] | -0,036 | -- | -0,080 | 0,4 + 0,2 | 0,440 | | | 8 x 7 | | | | |
| [10 x 8] | | | | | 0,628 | | 8 x 5 | 10 x 8 | | 10 x 4 | | |
| [12 x 8] | -0,043 | -0,036 | -- | 0,5 + 0,2 | 0,754 | | | 12 x 8 | 8 x 7 | 12 x 4 | | |
| [12 x 10] | | | | | | | 0,943 | | | | 10 x 8 | |
| [14 x 9] | | | | | | | 0,989 | | | 14 x 9 | | 14 x 4,5 |
| [16 x 10] | | | | | | | -0,090 | 1,26 | | | 16 x 10 | |
| [18 x 11] | -0,052 | -- | -- | 0,6 + 0,2 | 1,55 | | | 18 x 11 | | 18 x 5 | | |
| [20 x 12] | | | | | | | 1,88 | | | 20 x 12 | | |
| [22 x 14] | | | | | | | 2,42 | | | 22 x 14 | | |
| [25 x 14] | | | | | | -0,110 | 2,75 | | | 25 x 14 | | |
| [25 x 22] | | | | | | -0,130 | 4,32 | | 25 x 9 | | 25 x 14 | 25 x 7 |
| [28 x 16] | | | | | | -0,110 | 3,52 | | | 28 x 16 | | |
| [28 x 25] | -0,062 | -- | -- | 0,8 + 0,3 | -0,130 | | | 28 x 10 | | 28 x 16 | 28 x 7,5 | |
| [32 x 18] | | | | | | | -0,110 | 4,52 | | 32 x 18 | | |
| [32 x 30] | | | | | | -0,130 | 7,54 | | 32 x 11 | | 32 x 18 | 32 x 6,5 |
| [36 x 20] | | | | | | -0,130 | 5,65 | | | 36 x 20 | | |
| [36 x 34] | | | | | | -0,160 | 9,61 | | 36 x 12 | | 36 x 20 | 36 x 9 |
| [40 x 22] | | | | | | -0,130 | 6,91 | | | 40 x 22 | | |
| [40 x 38] | | | | | | -0,160 | 11,9 | | 40 x 14 | | 40 x 22 | |
| [45 x 25] | | | | | | -0,130 | 8,83 | | | 45 x 25 | | |
| [45 x 43] | | | | | | -0,160 | 15,2 | | 45 x 16 | | 45 x 25 | |
| [50 x 28] | | | | | | -0,130 | 11,0 | | 50 x 18 | | 50 x 28 | |
| [50 x 48] | -0,074 | -- | -- | 1,2 + 0,4 | 18,8 | | | 50 x 18 | | 50 x 28 | | |
| [56 x 32] | | | | | | | 14,1 | | | 56 x 32 | | |
| [63 x 32] | | | | | | -0,160 | 15,8 | | | 63 x 32 | | |
| [70 x 36] | | | | | | 19,8 | | | | 70 x 36 | | |
| [80 x 40] | | | | | | 25,1 | | | | 80 x 40 | | |
| [90 x 45 ³⁾] | | | | | | 31,8 | | | | 90 x 45 | | |
| [100 x 50] | -0,087 | | | 39,3 | | | 100 x 50 | | | | | |
| [5 x 3] | -0,030 | -- | -- | 0,2 + 0,1 | 0,118 | | | 5 x 3 | | | | |
| [6 x 4] | | | | | | | -0,075 | 0,188 | | | 6 x 4 | |
| [7 x 4] | 0,036 | -0,030 | -- | 0,4 + 0,2 | 0,220 | | | | | 4 x 4 | | |
| [8 x 5] | | | | | | | 0,314 | 8 x 3,5 | 8 x 5 | 8 x 5 | 5 x 5 | |
| [10 x 6] | -0,043 | -- | -- | 0,5 + 0,2 | 0,471 | 10 x 4 | 10 x 6 | 10 x 6 | 6 x 6 | | | |
| [12 x 6] | | | | | | | 0,565 | 12 x 4 | 12 x 6 | 12 x 6 | | |
| [14 x 6] | | | | | | | -0,075 | 0,659 | 14 x 4,5 | 14 x 6 | 14 x 6 | |
| [16 x 7] | | | | | | 0,879 | 16 x 5 | 16 x 7 | 16 x 7 | | | |
| [18 x 7] | | | | | | 0,989 | 18 x 5 | 18 x 7 | 18 x 7 | | | |
| [20 x 8] | | | | | | -0,090 | 1,26 | 20 x 6 | 20 x 8 | 20 x 8 | | |
| [22 x 9] | -0,052 | -- | -- | 0,6 + 0,2 | 1,55 | 22 x 7 | 22 x 9 | 22 x 9 | | | | |
| [25 x 9] | | | | | | | 1,77 | 25 x 7 | 25 x 9 | 25 x 9 | | |
| [28 x 10] | | | | | | 2,20 | 28 x 7,5 | 28 x 10 | 28 x 10 | | | |
| [32 x 11] | | | | | | -0,110 | 2,76 | 32 x 6,5 | 32 x 11 | 32 x 11 | | |
| [36 x 12] | -0,062 | -- | -- | 1,0 + 0,3 | 3,39 | 36 x 9 | 36 x 12 | 36 x 12 | | | | |
| [40 x 14] | | | | | | | 4,40 | 40 x 14 | 40 x 14 | | | |

Las dimensiones entre corchetes pueden fabricarse de medidas de acero laminado normalizadas sólo por estirado múltiple.
Se emplea sólo para lengüetas de ajuste para herramientas según DIN 138.
Para esta medida nominal no hay disponible material previo con dimensiones normales.

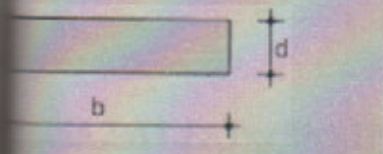
MEDIDA NOMINAL de 2x2 a 22x22

PERFIL CUADRADO



- r = Radio exterior de redondeo
- u = Perímetro
- A = Área de la sección
- S = Momento estático de media sección, respecto al eje X o Y
- I = Momento de inercia de la sección, respecto al eje X o Y
- W = 2I : d. Módulo resistente de la sección, respecto al eje X o Y
- i = $\sqrt{I/A}$. Radio de giro de la sección, respecto al eje X o Y
- J = Módulo de torsión de la sección

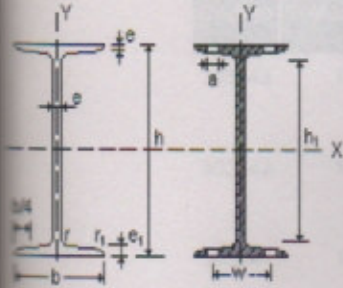
| Dimensiones | | | | Terminos de sección | | | | | | Peso | |
|-------------|----|----|-----|---------------------|-----------------|-----------------|-----------------|------|-----------------|-------|---|
| a | e | r | u | A | S | I | W | i | J | P | |
| mm | mm | mm | mm | cm ² | cm ³ | cm ⁴ | cm ³ | cm | cm ⁴ | kg/m | |
| 40 | 2 | 5 | 151 | 2,90 | 2,04 | 6,60 | 3,40 | 1,53 | 11,3 | 2,28 | P |
| 40 | 3 | 8 | 147 | 4,13 | 2,80 | 9,01 | 4,51 | 1,48 | 15,6 | 3,24 | P |
| 40 | 4 | 10 | 143 | 5,21 | 3,40 | 10,50 | 5,26 | 1,42 | 18,9 | 4,09 | P |
| 45 | 2 | 5 | 171 | 3,30 | 2,63 | 9,94 | 4,42 | 1,74 | 16,3 | 2,59 | C |
| 45 | 3 | 8 | 167 | 4,73 | 3,65 | 13,40 | 5,95 | 1,68 | 22,9 | 3,71 | C |
| 45 | 4 | 10 | 163 | 6,01 | 4,49 | 15,90 | 7,07 | 1,63 | 28,2 | 4,72 | C |
| 50 | 2 | 5 | 191 | 3,70 | 3,30 | 13,90 | 5,57 | 1,94 | 22,7 | 2,91 | P |
| 50 | 3 | 8 | 187 | 5,33 | 4,62 | 19,00 | 7,59 | 1,89 | 32,0 | 4,18 | P |
| 50 | 4 | 10 | 183 | 5,81 | 5,73 | 22,90 | 9,15 | 1,83 | 39,9 | 5,35 | P |
| 55 | 2 | 5 | 211 | 4,10 | 4,04 | 18,90 | 6,86 | 2,14 | 30,5 | 3,22 | C |
| 55 | 3 | 8 | 207 | 5,93 | 5,70 | 25,90 | 9,43 | 2,09 | 43,4 | 4,66 | C |
| 55 | 4 | 10 | 203 | 7,61 | 7,12 | 31,60 | 11,50 | 2,04 | 54,5 | 5,97 | C |
| 60 | 2 | 5 | 231 | 4,50 | 4,86 | 24,80 | 8,28 | 2,35 | 39,9 | 3,53 | P |
| 60 | 3 | 8 | 227 | 6,53 | 6,89 | 34,40 | 11,50 | 2,30 | 57,1 | 5,13 | P |
| 60 | 4 | 10 | 223 | 8,41 | 8,66 | 42,30 | 14,10 | 2,24 | 72,2 | 6,60 | P |
| 60 | 5 | 13 | 219 | 10,10 | 10,20 | 48,50 | 16,20 | 2,19 | 85,2 | 7,96 | C |
| 70 | 2 | 5 | 271 | 5,30 | 6,71 | 40,30 | 11,50 | 2,76 | 64,1 | 4,16 | P |
| 70 | 3 | 8 | 267 | 7,73 | 9,60 | 56,60 | 16,20 | 2,71 | 92,6 | 6,07 | P |
| 70 | 4 | 10 | 263 | 10,00 | 12,20 | 70,40 | 20,10 | 2,65 | 118,0 | 7,86 | P |
| 70 | 5 | 13 | 259 | 12,10 | 14,50 | 82,00 | 23,40 | 2,60 | 141,0 | 9,53 | P |
| 80 | 3 | 8 | 307 | 8,93 | 12,80 | 86,60 | 21,70 | 3,11 | 140,0 | 7,01 | P |
| 80 | 4 | 10 | 303 | 11,60 | 16,30 | 108,80 | 27,20 | 3,06 | 180,0 | 9,11 | P |
| 80 | 5 | 13 | 299 | 14,10 | 19,50 | 128,00 | 32,00 | 3,01 | 217,0 | 11,10 | P |
| 80 | 6 | 15 | 294 | 16,50 | 22,40 | 144,00 | 36,00 | 2,95 | 250,0 | 13,00 | C |
| 90 | 3 | 8 | 347 | 10,10 | 16,40 | 126,00 | 37,90 | 3,52 | 202,0 | 7,95 | P |
| 90 | 4 | 10 | 343 | 13,20 | 21,10 | 159,00 | 35,40 | 3,47 | 281,0 | 10,40 | P |
| 90 | 5 | 13 | 339 | 16,10 | 25,30 | 189,00 | 41,90 | 3,42 | 316,0 | 12,70 | P |
| 90 | 6 | 15 | 334 | 18,90 | 29,20 | 214,00 | 47,60 | 3,36 | 366,0 | 14,90 | P |
| 100 | 3 | 8 | 387 | 11,30 | 20,10 | 175,00 | 35,00 | 3,93 | 279,0 | 8,89 | P |
| 100 | 4 | 10 | 383 | 14,80 | 26,40 | 223,00 | 44,60 | 3,88 | 363,0 | 11,60 | P |
| 100 | 5 | 13 | 379 | 18,10 | 31,90 | 266,00 | 53,10 | 3,83 | 440,0 | 14,20 | P |
| 100 | 6 | 15 | 374 | 21,30 | 37,00 | 304,00 | 60,70 | 3,77 | 513,0 | 16,70 | P |
| 120 | 4 | 10 | 463 | 18,00 | 38,90 | 397,00 | 66,20 | 4,70 | 638,0 | 14,10 | P |
| 120 | 5 | 13 | 459 | 22,10 | 47,20 | 478,00 | 79,60 | 4,64 | 780,0 | 17,40 | P |
| 120 | 6 | 15 | 454 | 26,10 | 55,10 | 551,00 | 91,80 | 4,59 | 913,0 | 20,50 | C |
| 140 | 5 | 13 | 539 | 26,10 | 65,60 | 780,00 | 111,00 | 5,46 | 260,0 | 20,50 | P |
| 140 | 6 | 15 | 534 | 30,90 | 76,80 | 905,00 | 129,00 | 5,41 | 480,0 | 24,30 | P |
| 140 | 8 | 20 | 526 | 40,00 | 97,50 | 1.130,00 | 161,00 | 5,30 | 890,0 | 31,40 | P |
| 160 | 5 | 13 | 619 | 30,10 | 86,90 | 1.190,00 | 149,00 | 6,28 | 1.901,0 | 23,70 | P |
| 160 | 6 | 15 | 614 | 35,70 | 102,00 | 1.390,00 | 173,00 | 6,23 | 2.240,0 | 28,00 | P |
| 160 | 8 | 20 | 609 | 46,40 | 131,00 | 1.740,00 | 218,00 | 6,12 | 2.890,0 | 36,50 | P |
| 170 | 5 | 13 | 659 | 32,10 | 98,70 | 1.440,00 | 169,00 | 6,69 | 2.290,0 | 25,20 | C |
| 170 | 6 | 15 | 654 | 38,10 | 116,00 | 1.680,00 | 198,00 | 6,64 | 2.710,0 | 29,90 | C |
| 170 | 8 | 20 | 646 | 49,60 | 149,00 | 2.120,00 | 249,00 | 6,53 | 3.410,0 | 39,00 | P |



A = Área de la sección
 p = Peso por m

| p | | b-d | A | p | | b-d | A | p | | b-d | A | p | | b-d | A | p | |
|-------|---|-------|-----------------|-------|---|--------|-----------------|-------|---|--------|-----------------|-------|---|--------|-----------------|-------|---|
| kp/m | | mm mm | cm ² | kp/m | | mm mm | cm ² | kp/m | | mm mm | cm ² | kp/m | | mm mm | cm ² | kp/m | |
| 0,928 | C | 45,12 | 5,40 | 4,24 | C | 70,20 | 14,00 | 11,00 | P | 100,30 | 30,00 | 23,60 | C | 160,25 | 40,0 | 31,4 | C |
| 0,785 | C | 45,15 | 6,75 | 5,30 | C | 70,25 | 17,50 | 13,70 | P | 100,35 | 35,00 | 27,50 | C | 160,30 | 48,0 | 37,7 | C |
| 0,942 | C | 45,20 | 9,00 | 7,07 | C | 70,30 | 21,00 | 16,50 | C | 100,40 | 40,00 | 31,40 | C | 160,35 | 56,0 | 44,0 | C |
| 1,260 | C | 45,25 | 11,20 | 8,83 | C | 70,35 | 24,50 | 19,20 | C | 110,4 | 4,40 | 3,45 | C | 160,40 | 64,0 | 50,2 | C |
| 1,570 | C | 45,30 | 13,50 | 10,60 | C | 70,40 | 28,00 | 22,00 | C | 110,5 | 5,50 | 4,32 | C | 180,8 | 14,4 | 11,3 | C |
| 1,880 | C | 45,35 | 15,80 | 12,40 | C | 75,4 | 3,00 | 2,36 | C | 110,6 | 6,80 | 5,18 | C | 180,10 | 18,0 | 14,1 | C |
| 2,360 | C | 45,40 | 18,00 | 14,10 | C | 75,5 | 3,75 | 2,94 | C | 110,8 | 8,80 | 6,91 | C | 180,12 | 21,6 | 17,0 | C |
| 0,785 | C | 50,4 | 2,00 | 1,57 | P | 75,6 | 4,50 | 3,53 | C | 110,10 | 11,00 | 8,64 | C | 180,15 | 27,0 | 21,2 | C |
| 0,981 | C | 50,5 | 2,50 | 1,96 | P | 75,8 | 6,00 | 4,71 | C | 110,12 | 13,20 | 10,40 | C | 180,20 | 36,0 | 28,3 | C |
| 1,180 | C | 50,6 | 3,00 | 2,36 | P | 75,10 | 7,50 | 5,89 | C | 110,15 | 16,50 | 13,00 | C | 180,25 | 45,0 | 35,3 | C |
| 1,570 | C | 50,8 | 4,00 | 3,14 | P | 75,12 | 9,00 | 7,07 | C | 110,20 | 22,00 | 17,30 | C | 180,30 | 54,0 | 42,4 | C |
| 1,960 | C | 50,10 | 5,00 | 3,93 | P | 75,15 | 11,20 | 8,83 | C | 110,25 | 27,50 | 21,60 | C | 180,35 | 63,0 | 49,5 | C |
| 2,360 | C | 50,12 | 6,00 | 4,71 | C | 75,20 | 15,00 | 11,80 | C | 110,30 | 33,00 | 25,90 | C | 180,40 | 72,0 | 56,5 | C |
| 2,940 | C | 50,15 | 7,50 | 5,89 | C | 75,25 | 18,80 | 14,70 | C | 110,35 | 38,50 | 30,20 | C | 200,8 | 18,0 | 12,6 | C |
| 3,930 | C | 50,20 | 10,00 | 7,85 | C | 75,30 | 22,50 | 17,70 | C | 110,40 | 44,00 | 34,50 | C | 200,10 | 20,0 | 15,7 | C |
| 0,942 | P | 50,25 | 12,50 | 9,81 | C | 75,35 | 26,20 | 20,60 | C | 120,4 | 4,80 | 3,77 | C | 200,12 | 24,0 | 18,8 | C |
| 1,180 | P | 50,30 | 15,00 | 11,80 | C | 75,40 | 30,00 | 23,60 | C | 120,5 | 6,00 | 4,71 | C | 200,15 | 30,0 | 23,6 | C |
| 1,410 | P | 50,35 | 17,50 | 13,70 | C | 80,4 | 3,20 | 2,51 | C | 120,6 | 7,20 | 5,65 | C | 200,20 | 40,0 | 31,4 | C |
| 1,880 | C | 50,40 | 20,00 | 15,70 | C | 80,5 | 4,00 | 3,14 | C | 120,8 | 9,60 | 7,54 | C | 200,25 | 50,0 | 39,2 | C |
| 2,360 | C | 55,4 | 2,20 | 1,73 | C | 80,6 | 4,80 | 3,77 | P | 120,10 | 12,00 | 9,42 | P | 200,30 | 60,0 | 47,1 | C |
| 2,830 | C | 55,5 | 2,75 | 2,16 | C | 80,8 | 6,40 | 5,02 | P | 120,12 | 14,40 | 11,30 | P | 200,35 | 70,0 | 55,0 | C |
| 3,530 | C | 55,6 | 3,30 | 2,59 | C | 80,10 | 8,00 | 6,28 | P | 120,15 | 18,80 | 14,10 | P | 200,40 | 80,0 | 62,8 | C |
| 4,710 | C | 55,8 | 4,40 | 3,45 | C | 80,12 | 9,60 | 7,54 | P | 120,20 | 24,00 | 18,80 | P | 250,8 | 20,0 | 15,7 | C |
| 5,890 | C | 55,10 | 5,50 | 4,32 | C | 80,15 | 12,00 | 9,42 | P | 120,25 | 30,00 | 23,60 | P | 250,10 | 25,0 | 19,6 | C |
| 1,100 | C | 55,12 | 6,60 | 5,18 | C | 80,20 | 16,00 | 12,60 | P | 120,30 | 36,00 | 28,50 | C | 250,12 | 30,0 | 23,6 | C |
| 1,370 | C | 55,15 | 8,25 | 6,48 | C | 80,25 | 20,00 | 15,70 | P | 120,35 | 42,00 | 33,00 | C | 250,15 | 37,5 | 29,4 | C |
| 1,650 | C | 55,20 | 11,00 | 8,64 | C | 80,30 | 24,00 | 18,80 | C | 120,40 | 48,00 | 37,70 | C | 250,20 | 50,0 | 39,2 | C |
| 2,200 | C | 55,25 | 13,80 | 10,80 | C | 80,35 | 28,00 | 22,00 | C | 140,8 | 11,2 | 8,79 | C | 250,25 | 62,5 | 49,1 | C |
| 2,750 | C | 55,30 | 16,50 | 13,00 | C | 80,40 | 32,00 | 25,10 | C | 140,10 | 14,0 | 11,00 | C | 250,30 | 75,0 | 58,9 | C |
| 3,300 | C | 55,35 | 19,30 | 15,10 | C | 90,4 | 3,60 | 2,85 | C | 140,12 | 16,8 | 13,20 | P | 250,35 | 87,5 | 68,7 | C |
| 4,120 | C | 55,40 | 22,00 | 17,30 | C | 90,5 | 4,50 | 3,53 | C | 140,15 | 21,0 | 16,50 | P | 250,40 | 100,0 | 78,5 | C |
| 5,500 | C | 60,4 | 2,40 | 1,88 | C | 90,6 | 5,40 | 4,24 | C | 140,20 | 28,0 | 22,00 | P | 300,8 | 24,0 | 18,8 | C |
| 6,870 | C | 60,5 | 3,00 | 2,36 | P | 90,8 | 7,20 | 5,85 | C | 140,25 | 35,0 | 27,50 | P | 300,10 | 30,0 | 23,6 | C |
| 8,240 | C | 60,6 | 3,60 | 2,83 | P | 90,10 | 9,00 | 7,07 | C | 140,30 | 42,0 | 33,00 | C | 300,12 | 36,0 | 28,3 | C |
| 1,26 | P | 60,8 | 4,80 | 3,77 | P | 90,12 | 10,80 | 8,48 | C | 140,35 | 49,0 | 38,50 | C | 300,15 | 45,0 | 35,3 | C |
| 1,57 | P | 60,10 | 6,00 | 4,71 | P | 90,15 | 13,50 | 10,60 | C | 140,40 | 56,0 | 44,00 | C | 300,20 | 60,0 | 47,1 | C |
| 1,88 | P | 60,12 | 7,20 | 5,65 | P | 90,20 | 18,00 | 12,10 | C | 150,8 | 12,0 | 9,42 | C | 300,25 | 75,0 | 58,9 | C |
| 2,51 | P | 60,15 | 9,00 | 7,07 | P | 90,25 | 22,50 | 17,70 | C | 150,10 | 15,0 | 11,80 | C | 300,30 | 90,0 | 70,6 | C |
| 3,14 | C | 60,20 | 12,00 | 9,42 | P | 90,30 | 27,00 | 21,20 | C | 150,12 | 18,0 | 14,10 | C | 300,35 | 105,0 | 82,4 | C |
| 3,77 | C | 60,25 | 15,00 | 11,80 | P | 90,35 | 31,50 | 24,70 | C | 150,15 | 22,5 | 17,70 | C | 300,40 | 120,0 | 94,2 | C |
| 4,71 | C | 60,30 | 18,00 | 14,10 | C | 90,40 | 36,00 | 28,30 | C | 150,20 | 30,0 | 23,60 | C | 400,8 | 32,0 | 25,1 | C |
| 6,28 | C | 60,35 | 21,00 | 16,50 | C | 100,4 | 4,00 | 3,14 | C | 150,25 | 37,5 | 29,40 | C | 400,10 | 40,0 | 31,4 | C |
| 7,85 | C | 60,40 | 24,00 | 18,80 | C | 100,5 | 5,00 | 3,93 | C | 150,30 | 45,0 | 35,30 | C | 400,12 | 48,0 | 37,7 | C |
| 9,42 | C | 70,4 | 2,80 | 2,20 | C | 100,6 | 6,00 | 4,71 | C | 150,35 | 52,5 | 41,20 | C | 400,15 | 60,0 | 47,1 | C |
| 11,00 | C | 70,5 | 3,50 | 2,75 | P | 100,8 | 8,00 | 6,23 | P | 150,40 | 60,0 | 47,10 | C | 400,20 | 80,0 | 62,8 | C |
| 1,41 | C | 70,6 | 4,20 | 3,30 | P | 100,10 | 10,00 | 7,85 | P | 160,8 | 12,8 | 10,0 | C | 400,25 | 100,0 | 78,5 | C |
| 1,77 | C | 70,8 | 5,60 | 4,40 | P | 100,12 | 12,00 | 9,42 | P | 160,10 | 16,0 | 12,6 | C | 400,30 | 120,0 | 94,2 | C |
| 2,12 | C | 70,10 | 7,00 | 5,50 | P | 100,15 | 15,00 | 11,80 | P | 160,12 | 19,2 | 15,1 | C | 400,35 | 140,0 | 110,0 | C |
| 2,83 | C | 70,12 | 8,40 | 6,59 | P | 100,20 | 20,00 | 15,70 | P | 160,15 | 24,0 | 18,8 | C | 400,40 | 160,0 | 126,0 | C |
| 3,53 | C | 70,15 | 10,50 | 8,24 | P | 100,25 | 25,00 | 19,60 | P | 160,20 | 32,0 | 25,1 | C | | | | |

Tabla 2.A1.1.- Perfiles IPN



A = Área de la sección
 S_x = Momento estático de media sección, respecto a X.
 I_x = Momento de inercia de la sección, respecto a X.
 $W_x = 2I_x : h$. Módulo resistente de la sección, respecto a X.
 $i_x = (I_x : A)^{1/2}$. Radio de giro de la sección, respecto a X.
 I_y = Momento de inercia de la sección, respecto a Y.
 $W_y = 2I_y : b$. Módulo resistente de la sección, respecto a Y.
 $i_y = (I_y : A)^{1/2}$. Radio de giro de la sección, respecto a Y.

I_t = Módulo de torsión de la sección.
 I_a = Módulo de alabeo de la sección.
 u = Perímetro de la sección.
 a = Diámetro del agujero del roblón normal.
 w = Gramil, distancia entre ejes de agujeros.
 h_1 = Altura de la parte plana del alma.
 e_2 = Espesor del ala en el eje del agujero.
 p = Peso por metro.

| Perfil | Dimensiones | | | | | | | Términos de sección | | | | | | | | | | Agujeros | | | Peso p kp/m |
|---------|-------------|--------|---------------|---------------------|---------------------|---------------------|---------|----------------------|-----------------------------------|-----------------------------------|-----------------------------------|----------------------|-----------------------------------|-----------------------------------|----------------------|-----------------------------------|-----------------------------------|----------|--------|----------------------|----------------|
| | h m | b m | e = r m | e ₁ m | r ₁ m | h ₁ m | u mm | A cm ² | S _x cm ³ | I _x cm ⁴ | W _x cm ³ | i _x cm | I _y cm ⁴ | W _y cm ³ | i _y cm | I _t cm ⁴ | I _a cm ⁶ | w m | a m | e ₂ mm | |
| IPN 80 | 80 | 42 | 3,9 | 5,9 | 2,3 | 59 | 304 | 7,58 | 11,4 | 77,8 | 19,5 | 3,20 | 6,29 | 3,00 | 0,91 | 0,93 | 87,5 | 22 | - | 4,43 | 5,95 |
| IPN 100 | 100 | 50 | 4,5 | 6,8 | 2,7 | 75 | 370 | 10,6 | 19,9 | 171 | 34,2 | 4,01 | 12,2 | 4,88 | 1,07 | 1,72 | 288 | 28 | - | 5,05 | 8,32 |
| IPN 120 | 120 | 58 | 5,1 | 7,7 | 3,1 | 92 | 439 | 14,2 | 31,8 | 328 | 54,7 | 4,81 | 21,5 | 7,41 | 1,23 | 2,92 | 685 | 32 | - | 5,67 | 11,2 |
| IPN 140 | 140 | 66 | 5,7 | 8,6 | 3,4 | 109 | 502 | 18,3 | 47,7 | 573 | 81,9 | 5,61 | 35,2 | 10,7 | 1,40 | 4,66 | 1540 | 34 | 11 | 6,29 | 14,4 |
| IPN 160 | 160 | 74 | 6,3 | 9,5 | 3,8 | 125 | 575 | 22,8 | 68,0 | 935 | 117 | 6,40 | 54,7 | 14,8 | 1,55 | 7,08 | 3138 | 40 | 11 | 6,91 | 17,9 |
| IPN 180 | 180 | 82 | 6,9 | 10,4 | 4,1 | 142 | 640 | 27,9 | 93,4 | 1450 | 161 | 7,20 | 81,3 | 19,8 | 1,71 | 10,3 | 5924 | 44 | 13 | 7,53 | 21,9 |
| IPN 200 | 200 | 90 | 7,5 | 11,3 | 4,5 | 159 | 709 | 33,5 | 125 | 2140 | 214 | 8,00 | 117 | 26,0 | 1,87 | 14,6 | 10520 | 48 | 13 | 8,15 | 26,3 |
| IPN 220 | 220 | 98 | 8,1 | 12,2 | 4,9 | 175 | 775 | 39,6 | 162 | 3060 | 278 | 8,80 | 162 | 33,1 | 2,02 | 20,1 | 17760 | 52 | 13 | 8,77 | 31,1 |
| IPN 240 | 240 | 106 | 8,7 | 13,1 | 5,2 | 192 | 844 | 46,1 | 206 | 4250 | 354 | 9,59 | 221 | 41,7 | 2,20 | 27,0 | 28730 | 56 | 17 | 9,39 | 36,2 |
| IPN 260 | 260 | 113 | 9,4 | 14,1 | 5,6 | 208 | 906 | 53,4 | 257 | 5740 | 442 | 10,4 | 288 | 51,0 | 2,32 | 36,1 | 44070 | 60 | 17 | 10,15 | 41,9 |
| IPN 280 | 280 | 119 | 10,1 | 15,2 | 6,1 | 225 | 966 | 61,1 | 316 | 7590 | 542 | 11,1 | 364 | 61,2 | 2,45 | 47,8 | 64580 | 62 | 17 | 11,04 | 48,0 |
| IPN 300 | 300 | 125 | 10,8 | 16,2 | 6,5 | 241 | 1030 | 69,1 | 381 | 9800 | 653 | 11,9 | 451 | 72,2 | 2,56 | 61,2 | 91850 | 64 | 21 | 11,83 | 54,2 |
| IPN 320 | 320 | 131 | 11,5 | 17,3 | 6,9 | 257 | 1090 | 77,8 | 457 | 12510 | 782 | 12,7 | 555 | 84,7 | 2,67 | 78,2 | 128800 | 70 | 21 | 12,72 | 61,1 |
| IPN 340 | 340 | 137 | 12,2 | 18,3 | 7,3 | 274 | 1150 | 86,8 | 540 | 15700 | 923 | 13,5 | 674 | 98,4 | 2,80 | 97,5 | 176300 | 74 | 21 | 13,51 | 68,1 |
| IPN 360 | 360 | 143 | 13,0 | 19,5 | 7,8 | 290 | 1210 | 97,1 | 638 | 19610 | 1090 | 14,2 | 818 | 114 | 2,90 | 123 | 240100 | 76 | 23 | 14,50 | 76,2 |
| IPN 380 | 380 | 149 | 13,7 | 20,5 | 8,2 | 306 | 1270 | 107 | 741 | 24010 | 1260 | 15,0 | 975 | 131 | 3,02 | 150 | 318700 | 82 | 23 | 15,29 | 84,0 |
| IPN 400 | 400 | 155 | 14,4 | 21,6 | 8,6 | 323 | 1330 | 118 | 857 | 29210 | 1460 | 15,7 | 1160 | 149 | 3,13 | 183 | 419600 | 86 | 23 | 16,18 | 92,6 |
| IPN 450 | 450 | 170 | 16,2 | 24,3 | 9,7 | 363 | 1478 | 147 | 1200 | 45850 | 2040 | 17,7 | 1730 | 203 | 3,43 | 288 | 791100 | 94 | 25 | 18,35 | 115 |
| IPN 500 | 500 | 185 | 18,0 | 27 | 10,8 | 404 | 1626 | 180 | 1620 | 68740 | 2750 | 19,6 | 2480 | 268 | 3,72 | 449 | 1403000 | 100 | 28 | 20,53 | 141 |
| IPN 550 | 550 | 200 | 19,0 | 30 | 11,9 | 445 | 1787 | 213 | 2120 | 99180 | 3610 | 21,6 | 3490 | 349 | 4,02 | 616 | 2389000 | 110 | 28 | 23,0 | 167 |
| IPN 600 | 600 | 215 | 21,6 | 32,4 | 13 | 485 | 1924 | 254 | 2730 | 139000 | 4630 | 23,4 | 4670 | 443 | 4,30 | 875 | 3821000 | 120 | 28 | 24,88 | 199 |

BULONES WITWORTH

Datos técnicos

| Código | Medidas | Descripción |
|--------|---------|--|
| 303443 | 1/8" | BULON WITWORTH BSW (ANSI B 18.2.1) 1/8" x 7/8" 40 hilos 304 |
| 303442 | 1/8" | BULON WITWORTH BSW (ANSI B 18.2.1) 1/8" x 1" 40 hilos 304 |
| 303441 | 1/8" | BULON WITWORTH BSW (ANSI B 18.2.1) 1/8" x 1 1/4" 40 hilos 304 |
| 303440 | 1/8" | BULON WITWORTH BSW (ANSI B 18.2.1) 1/8" x 1 1/2" 40 hilos 304 |
| 340488 | "5/32" | BULON WITWORTH (ANSI B 18.2.1) 5/32" x 3/8" 304 |
| 340489 | "5/32" | BULON WITWORTH (ANSI B 18.2.1) 5/32" x 5/8" 304 |
| 340490 | "5/32" | BULON WITWORTH (ANSI B 18.2.1) 5/32" x 7/8" 304 |
| 303458 | 3/16" | BULON WITWORTH BSW (ANSI B 18.2.1) 3/16" x 3/8" 24 hilos 304 |
| 303459 | 3/16" | BULON WITWORTH BSW (ANSI B 18.2.1) 3/16" x 3/8" 24 hilos 316 |
| 303451 | 3/16" | BULON WITWORTH BSW (ANSI B 18.2.1) 3/16" x 1/2" 24 hilos 304 |
| 303452 | 3/16" | BULON WITWORTH BSW (ANSI B 18.2.1) 3/16" x 1/2" 24 hilos 316 |
| 303460 | 3/16" | BULON WITWORTH BSW (ANSI B 18.2.1) 3/16" x 5/8" 24 hilos 304 |
| 340508 | "3/16" | BULON WITWORTH (ANSI B 18.2.1) 3/16" x 5/8" 316 |
| 303456 | 3/16" | BULON WITWORTH BSW (ANSI B 18.2.1) 3/16" x 3/4" 24 hilos 304 |
| 340509 | "3/16" | BULON WITWORTH (ANSI B 18.2.1) 3/16" x 7/8" 316 |
| 303449 | 3/16" | BULON WITWORTH BSW (ANSI B 18.2.1) 3/16" x 1" 24 hilos 304 |
| 303450 | 3/16" | BULON WITWORTH BSW (ANSI B 18.2.1) 3/16" x 1" 24 hilos 316 |
| 303446 | 3/16" | BULON WITWORTH BSW (ANSI B 18.2.1) 3/16" x 1 1/4" 24 hilos 304 |

| | | |
|--------|--------|---|
| 303447 | 3/16" | BULON WITWORTH BSW (ANSI B 18.2.1) 3/16" x 1 1/4" 24 hilos 316 |
| 303444 | 3/16" | BULON WITWORTH BSW (ANSI B 18.2.1) 3/16" x 1 1/2" 24 hilos 304 |
| 303448 | 3/16" | BULON WITWORTH BSW (ANSI B 18.2.1) 3/16" x 1 3/4" 24 hilos 304 |
| 340510 | "3/16" | BULON WITWORTH (ANSI B 18.2.1) 3/16" x 1 3/4" 316 |
| 340511 | "3/16" | BULON WITWORTH (ANSI B 18.2.1) 3/16" x 2" 316 |
| 303454 | 3/16" | BULON WITWORTH BSW (ANSI B 18.2.1) 3/16" x 2 1/4" 24 hilos 304 |
| 340512 | "3/16" | BULON WITWORTH (ANSI B 18.2.1) 3/16" x 2 1/4" 316 |
| 340513 | "3/16" | BULON WITWORTH (ANSI B 18.2.1) 3/16" x 2 1/2" 316 |
| 303433 | 1/4" | BULON WITWORTH UNC (ANSI B 18.2.1) 1/4" x 3/8" 20 hilos 304 |
| 303419 | 1/4" | BULON WITWORTH UNC (ANSI B 18.2.1) 1/4" x 1/2" 20 hilos 304 |
| 303420 | 1/4" | BULON WITWORTH UNC (ANSI B 18.2.1) 1/4" x 1/2" 20 hilos 316 |
| 303635 | 1/4" | BULON WITWORTH UNF (ANSI B 18.2.1) 1/4" x 1/2" 28 hilos 304 |
| 303436 | 1/4" | BULON WITWORTH UNC (ANSI B 18.2.1) 1/4" x 5/8" 20 hilos 304 |
| 303437 | 1/4" | BULON WITWORTH UNC (ANSI B 18.2.1) 1/4" x 5/8" 20 hilos 316 |
| 303431 | 1/4" | BULON WITWORTH UNC (ANSI B 18.2.1) 1/4" x 3/4" 20 hilos 304 |
| 303432 | 1/4" | BULON WITWORTH UNC (ANSI B 18.2.1) 1/4" x 3/4" 20 hilos 316 |
| 303417 | 1/4" | BULON WITWORTH UNC (ANSI B 18.2.1) 1/4" x 1" 20 hilos 304 |
| 303418 | 1/4" | BULON WITWORTH UNC (ANSI B 18.2.1) 1/4" x 1" 20 hilos 316 |
| 303413 | 1/4" | BULON WITWORTH UNC (ANSI B 18.2.1) 1/4" x 1 1/4" 20 hilos 304 |
| 303411 | 1/4" | BULON WITWORTH UNC (ANSI B 18.2.1) 1/4" x 1 1/2" 20 hilos 304 |

| | | |
|--------|--------|--|
| 303415 | 1/4" | BULON WITWORTH UNC (ANSI B 18.2.1) 1/4" x 1 3/4" 20 hilos 304 |
| 303426 | 1/4" | BULON WITWORTH UNC (ANSI B 18.2.1) 1/4" x 2" 20 hilos 304 |
| 303421 | 1/4" | BULON WITWORTH UNC (ANSI B 18.2.1) 1/4" x 2 1/2" 20 hilos 304 |
| 303422 | 1/4" | BULON WITWORTH UNC (ANSI B 18.2.1) 1/4" x 2 1/2" 20 hilos 316 |
| 303425 | 1/4" | BULON WITWORTH UNC (ANSI B 18.2.1) 1/4" x 2 3/4" 20 hilos 304 |
| 340504 | "1/4"" | BULON WITWORTH (ANSI B 18.2.1) 1/4" x 2 3/4" 316 |
| 303429 | 1/4" | BULON WITWORTH UNC (ANSI B 18.2.1) 1/4" x 3" 20 hilos 304 |
| 303430 | 1/4" | BULON WITWORTH UNC (ANSI B 18.2.1) 1/4" x 3" 20 hilos 316 |
| 303428 | 1/4" | BULON WITWORTH UNC (ANSI B 18.2.1) 1/4" x 3 1/2" 20 hilos 304 |
| 340505 | "1/4"" | BULON WITWORTH (ANSI B 18.2.1) 1/4" x 3 1/2" 316 |
| 303435 | 1/4" | BULON WITWORTH UNC (ANSI B 18.2.1) 1/4" x 4" 20 hilos 304 |
| 340506 | "1/4"" | BULON WITWORTH (ANSI B 18.2.1) 1/4" x 4" 316 |
| 329614 | 1/4" | BULON WITWORTH BSW (ANSI B 18.2.1) 1/4" x 4 1/2" 304 |
| 340507 | "1/4"" | BULON WITWORTH (ANSI B 18.2.1) 1/4" x 4 1/2" 316 |
| 303550 | 5/16" | BULON WITWORTH UNC (ANSI B 18.2.1) 5/16" x 3/8" 18 hilos 304 |
| 303551 | 5/16" | BULON WITWORTH UNC (ANSI B 18.2.1) 5/16" x 3/8" 18 hilos 316 |
| 303535 | 5/16" | BULON WITWORTH UNC (ANSI B 18.2.1) 5/16" x 1/2" 18 hilos 304 |
| 303536 | 5/16" | BULON WITWORTH UNC (ANSI B 18.2.1) 5/16" x 1/2" 18 hilos 316 |
| 303555 | 5/16" | BULON WITWORTH UNC (ANSI B 18.2.1) 5/16" x 5/8" 18 hilos 304 |
| 303548 | 5/16" | BULON WITWORTH UNC (ANSI B 18.2.1) 5/16" x 3/4" 18 hilos 304 |

| | | |
|--------|-------|---|
| 303549 | 5/16" | BULON WITWORTH UNC (ANSI B 18.2.1) 5/16" x 3/4" 18 hilos 316 |
| 303567 | 5/16" | BULON WITWORTH UNC (ANSI B 18.2.1) 5/16" x 7/8" 18 hilos 304 |
| 303558 | 5/16" | BULON WITWORTH UNC (ANSI B 18.2.1) 5/16" x 7/8" 18 hilos 316 |
| 303533 | 5/16" | BULON WITWORTH UNC (ANSI B 18.2.1) 5/16" x 1" 18 hilos 304 |
| 303534 | 5/16" | BULON WITWORTH UNC (ANSI B 18.2.1) 5/16" x 1" 18 hilos 316 |
| 330560 | 5/16" | BULON WITWORTH UNC (ANSI B 18.2.1) 5/16" x 1 1/8" 304 |
| 303530 | 5/16" | BULON WITWORTH UNC (ANSI B 18.2.1) 5/16" x 1 1/4" 18 hilos 316 |
| 303527 | 5/16" | BULON WITWORTH UNC (ANSI B 18.2.1) 5/16" x 1 1/2" 18 hilos 304 |
| 303531 | 5/16" | BULON WITWORTH UNC (ANSI B 18.2.1) 5/16" x 1 3/4" 18 hilos 304 |
| 303543 | 5/16" | BULON WITWORTH UNC (ANSI B 18.2.1) 5/16" x 2" 18 hilos 304 |
| 303544 | 5/16" | BULON WITWORTH UNC (ANSI B 18.2.1) 5/16" x 2" 18 hilos 316 |
| 303539 | 5/16" | BULON WITWORTH UNC (ANSI B 18.2.1) 5/16" x 2 1/4" 18 hilos 304 |
| 303540 | 5/16" | BULON WITWORTH UNC (ANSI B 18.2.1) 5/16" x 2 1/4" 18 hilos 316 |
| 303537 | 5/16" | BULON WITWORTH UNC (ANSI B 18.2.1) 5/16" x 2 1/2" 18 hilos 304 |
| 303538 | 5/16" | BULON WITWORTH UNC (ANSI B 18.2.1) 5/16" x 2 1/2" 18 hilos 316 |
| 303541 | 5/16" | BULON WITWORTH UNC (ANSI B 18.2.1) 5/16" x 2 3/4" 18 hilos 304 |
| 303546 | 5/16" | BULON WITWORTH UNC (ANSI B 18.2.1) 5/16" x 3" 18 hilos 304 |
| 303545 | 5/16" | BULON WITWORTH UNC (ANSI B 18.2.1) 5/16" x 3 1/2" 18 hilos 304 |
| 329619 | 5/16" | BULON WITWORTH BSW (ANSI B 18.2.1) 5/16" x 5" 304 |

| | | |
|--------|--------|---|
| 303517 | 3/8" | BULON WITWORTH UNC (ANSI B 18.2.1) 3/8" x 3" 16 hilos 304 |
| 303516 | 3/8" | BULON WITWORTH UNC (ANSI B 18.2.1) 3/8" x 3 1/2" 16 hilos 304 |
| 340516 | "3/8" | BULON WITWORTH (ANSI B 18.2.1) 3/8" x 3 1/2" 316 |
| 303521 | 3/8" | BULON WITWORTH UNC (ANSI B 18.2.1) 3/8" x 4" 16 hilos 304 |
| 332213 | 3/8" | BULON UNC (ANSI B 18.2.1) 3/8" x 4 1/2" 16 hilos 304 |
| 340487 | "3/8" | BULON WITWORTH (ANSI B 18.2.1) 3/8" x 5" 304 |
| 332214 | 3/8" | BULON UNC (ANSI B 18.2.1) 3/8" x 5 1/2" 16 hilos 304 |
| 332215 | 3/8" | BULON UNC (ANSI B 18.2.1) 3/8" x 6" 16 hilos 304 |
| 340518 | "7/16" | BULON WITWORTH (ANSI B 18.2.1) 7/16" x 3/4" 316 |
| 340492 | "7/16" | BULON WITWORTH (ANSI B 18.2.1) 7/16" x 7/8" 304 |
| 340519 | "7/16" | BULON WITWORTH (ANSI B 18.2.1) 7/16" x 7/8" 316 |
| 303597 | 7/16" | BULON WITWORTH UNC (ANSI B 18.2.1) 7/16" x 1" 14 hilos 304 |
| 303598 | 7/16" | BULON WITWORTH UNC (ANSI B 18.2.1) 7/16" x 1" 14 hilos 316 |
| 303595 | 7/16" | BULON WITWORTH UNC (ANSI B 18.2.1) 7/16" x 1 1/4" 14 hilos 304 |
| 340520 | "7/16" | BULON WITWORTH (ANSI B 18.2.1) 7/16" x 1 1/4" 316 |
| 303593 | 7/16" | BULON WITWORTH UNC (ANSI B 18.2.1) 7/16" x 1 1/2" 14 hilos 304 |
| 303594 | 7/16" | BULON WITWORTH UNC (ANSI B 18.2.1) 7/16" x 1 1/2" 14 hilos 316 |
| 340521 | "7/16" | BULON WITWORTH (ANSI B 18.2.1) 7/16" x 1 3/4" 316 |
| 303599 | 7/16" | BULON WITWORTH UNC (ANSI B 18.2.1) 7/16" x 2" 14 hilos 304 |
| 340522 | "7/16" | BULON WITWORTH (ANSI B 18.2.1) 7/16" x 2 1/4" 316 |
| 329627 | 7/16" | BULON WITWORTH BSW (ANSI B 18.2.1) 7/16" x 2 1/2" 304 |
| 340523 | "7/16" | BULON WITWORTH (ANSI B 18.2.1) 7/16" x 2 3/4" 316 |
| 303601 | 7/16" | BULON WITWORTH UNC (ANSI B 18.2.1) 7/16" x 3" 14 hilos 304 |

| | | |
|--------|--------|--|
| 340524 | "7/16" | BULON WITWORTH (ANSI B 18.2.1) 7/16" x 3" 316 |
| 340525 | "7/16" | BULON WITWORTH (ANSI B 18.2.1) 7/16" x 3 1/2" 316 |
| 340526 | "7/16" | BULON WITWORTH (ANSI B 18.2.1) 7/16" x 4" 316 |
| 340527 | "7/16" | BULON WITWORTH (ANSI B 18.2.1) 7/16" x 4 1/2" 316 |
| 340528 | "7/16" | BULON WITWORTH (ANSI B 18.2.1) 7/16" x 5" 316 |
| 340529 | "7/16" | BULON WITWORTH (ANSI B 18.2.1) 7/16" x 5 1/2" 316 |
| 340530 | "7/16" | BULON WITWORTH (ANSI B 18.2.1) 7/16" x 6" 316 |
| 340502 | "1/2" | BULON WITWORTH (ANSI B 18.2.1) 1/2" x 5/8" 316 |
| 303409 | 1/2" | BULON WITWORTH BSW (ANSI B 18.2.1) 1/2" x 7/8" 12 hilos 304 |
| 340503 | "1/2" | BULON WITWORTH (ANSI B 18.2.1) 1/2" x 7/8" 316 |
| 303386 | 1/2" | BULON WITWORTH BSW (ANSI B 18.2.1) 1/2" x 1" 12 hilos 304 |
| 303387 | 1/2" | BULON WITWORTH BSW (ANSI B 18.2.1) 1/2" x 1" 12 hilos 316 |
| 303382 | 1/2" | BULON WITWORTH BSW (ANSI B 18.2.1) 1/2" x 1 1/4" 12 hilos 304 |
| 303383 | 1/2" | BULON WITWORTH BSW (ANSI B 18.2.1) 1/2" x 1 1/4" 12 hilos 316 |
| 303380 | 1/2" | BULON WITWORTH BSW (ANSI B 18.2.1) 1/2" x 1 1/2" 12 hilos 304 |
| 303381 | 1/2" | BULON WITWORTH BSW (ANSI B 18.2.1) 1/2" x 1 1/2" 12 hilos 316 |
| 303384 | 1/2" | BULON WITWORTH BSW (ANSI B 18.2.1) 1/2" x 1 3/4" 12 hilos 304 |
| 303394 | 1/2" | BULON WITWORTH BSW (ANSI B 18.2.1) 1/2" x 2" 12 hilos 304 |
| 303395 | 1/2" | BULON WITWORTH BSW (ANSI B 18.2.1) 1/2" x 2" 12 hilos 316 |
| 303390 | 1/2" | BULON WITWORTH BSW (ANSI B 18.2.1) 1/2" x 2 1/4" 12 hilos 304 |
| 303388 | 1/2" | BULON WITWORTH BSW (ANSI B 18.2.1) 1/2" x 2 1/2" 12 hilos 304 |

| | | |
|--------|--------|--|
| 303586 | 5/8" | BULON WITWORTH UNC (ANSI B 18.2.1) 5/8" x 4 1/2" 11 hilos 304 |
| 340491 | "5/8"" | BULON WITWORTH (ANSI B 18.2.1) 5/8" x 5 1/2" 304 |
| 303591 | 5/8" | BULON WITWORTH UNC (ANSI B 18.2.1) 5/8" x 6" 11 hilos 316 |
| 329647 | 5/8" | BULON WITWORTH BSW (ANSI B 18.2.1) 5/8" x 6" 304 |
| 340515 | "3/4"" | BULON WITWORTH (ANSI B 18.2.1) 3/4" x 9/16" 316 |
| 303467 | 3/4" | BULON WITWORTH UNC (ANSI B 18.2.1) 3/4" x 1" 10 hilos 304 |
| 303468 | 3/4" | BULON WITWORTH UNC (ANSI B 18.2.1) 3/4" x 1" 10 hilos 316 |
| 340514 | "3/4"" | BULON WITWORTH (ANSI B 18.2.1) 3/4" x 1 1/4" 316 |
| 303462 | 3/4" | BULON WITWORTH UNC (ANSI B 18.2.1) 3/4" x 1 1/2" 10 hilos 304 |
| 303463 | 3/4" | BULON WITWORTH UNC (ANSI B 18.2.1) 3/4" x 1 1/2" 10 hilos 316 |
| 303465 | 3/4" | BULON WITWORTH UNC (ANSI B 18.2.1) 3/4" x 1 3/4" 10 hilos 304 |
| 303476 | 3/4" | BULON WITWORTH UNC (ANSI B 18.2.1) 3/4" x 2" 10 hilos 304 |
| 303471 | 3/4" | BULON WITWORTH UNC (ANSI B 18.2.1) 3/4" x 2 1/4" 10 hilos 304 |
| 303469 | 3/4" | BULON WITWORTH UNC (ANSI B 18.2.1) 3/4" x 2 1/2" 10 hilos 304 |
| 303470 | 3/4" | BULON WITWORTH UNC (ANSI B 18.2.1) 3/4" x 2 1/2" 10 hilos 316 |
| 303473 | 3/4" | BULON WITWORTH UNC (ANSI B 18.2.1) 3/4" x 2 3/4" 10 hilos 304 |
| 303484 | 3/4" | BULON WITWORTH UNC (ANSI B 18.2.1) 3/4" x 3" 10 hilos 304 |
| 303485 | 3/4" | BULON WITWORTH UNC (ANSI B 18.2.1) 3/4" x 3" 10 hilos 316 |
| 303478 | 3/4" | BULON WITWORTH UNC (ANSI B 18.2.1) 3/4" x 3 1/2" 10 hilos 304 |
| 303479 | 3/4" | BULON WITWORTH UNC (ANSI B 18.2.1) 3/4" x 3 1/2" 10 hilos 316 |

| | | |
|--------|------|--|
| 303489 | 3/4" | BULON WITWORTH UNC (ANSI B 18.2.1) 3/4" x 4" 10 hilos 304 |
| 303490 | 3/4" | BULON WITWORTH UNC (ANSI B 18.2.1) 3/4" x 4" 10 hilos 316 |
| 303486 | 3/4" | BULON WITWORTH UNC (ANSI B 18.2.1) 3/4" x 4 1/2" 10 hilos 304 |
| 303494 | 3/4" | BULON WITWORTH UNC (ANSI B 18.2.1) 3/4" x 5" 10 hilos 316 |
| 303495 | 3/4" | BULON WITWORTH UNC (ANSI B 18.2.1) 3/4" x 6" 10 hilos 304 |
| 303496 | 3/4" | BULON WITWORTH UNC (ANSI B 18.2.1) 3/4" x 7" 10 hilos 304 |
| 340493 | 7/8" | BULON WITWORTH (ANSI B 18.2.1) 7/8" x 2" 304 |
| 340494 | 7/8" | BULON WITWORTH (ANSI B 18.2.1) 7/8" x 2 1/4" 304 |
| 303605 | 7/8" | BULON WITWORTH UNC (ANSI B 18.2.1) 7/8" x 2 1/2" 9 hilos 304 |
| 303606 | 7/8" | BULON WITWORTH UNC (ANSI B 18.2.1) 7/8" x 2 1/2" 9 hilos 316 |
| 340495 | 7/8" | BULON WITWORTH (ANSI B 18.2.1) 7/8" x 2 3/4" 304 |
| 303607 | 7/8" | BULON WITWORTH UNC (ANSI B 18.2.1) 7/8" x 3" 9 hilos 304 |
| 303609 | 7/8" | BULON WITWORTH UNC (ANSI B 18.2.1) 7/8" x 4" 9 hilos 304 |
| 303410 | 7/8" | BULON WITWORTH RW (ANSI B 18.2.1) 7/8" x 4 3/4" 9 hilos 304 |
| 332217 | 7/8" | BULON UNC (ANSI B 18.2.1) 7/8" x 5" 9 hilos 304 |
| 332218 | 7/8" | BULON UNC (ANSI B 18.2.1) 7/8" x 5 1/2" 9 hilos 304 |
| 332219 | 7/8" | BULON WITWORTH UNC (ANSI B 18.2.1) 7/8" x 6" 9 hilos 304 |
| 332220 | 7/8" | BULON UNC (ANSI B 18.2.1) 7/8" x 7" 9 hilos 304 |
| 332221 | 7/8" | BULON UNC (ANSI B 18.2.1) 7/8" x 9" 9 hilos 304 |
| 332222 | 7/8" | BULON UNC (ANSI B 18.2.1) 7/8" x 10" 9 hilos 304 |
| 329649 | 1" | BULON WITWORTH BSW (ANSI B 18.2.1) 1" x 2" 304 |
| 340500 | 1" | BULON WITWORTH (ANSI B 18.2.1) 1" x 2 1/4" 304 |

| | | |
|--------|--------|---|
| 329650 | 1" | BULON WITWORTH BSW (ANSI B 18.2.1) 1" x 2 1/2" 304 |
| 340501 | "1" | BULON WITWORTH (ANSI B 18.2.1) 1" x 2 3/4" 304 |
| 332203 | 1" | BULON UNC (ANSI B 18.2.1) 1" x 3" 8 hilos 304 |
| 332204 | 1" | BULON WITWORTH UNC (ANSI B 18.2.1) 1" x 3 1/2" 8 hilos 304 |
| 332205 | 1" | BULON WITWORTH UNC (ANSI B 18.2.1) 1" x 4" 8 hilos 304 |
| 332206 | 1" | BULON UNC (ANSI B 18.2.1) 1" x 4 1/2" 8 hilos 304 |
| 332207 | 1" | BULON WITWORTH UNC (ANSI B 18.2.1) 1" x 5" 8 hilos 304 |
| 332209 | 1" | BULON UNC (ANSI B 18.2.1) 1" x 6" 8 hilos 304 |
| 332210 | 1" | BULON UNC (ANSI B 18.2.1) 1" x 7" 8 hilos 304 |
| 332211 | 1" | BULON UNC (ANSI B 18.2.1) 1" x 9" 8 hilos 304 |
| 332212 | 1" | BULON UNC (ANSI B 18.2.1) 1" x 10" 8 hilos 304 |
| 303378 | 1 1/4" | BULON UNC (ANSI B 18.2.1) 1 1/4" x 6 3/4" 7 hilos 304 |